

รายงานการวิจัย

การบำบัดน้ำเสียรูปแบบใหม่ด้วยระบบ UASB และระบบ Downflow

Hanging Sponge

(A Novel Wastewater Treatment System Using a UASB Reactor

and a Downflow Hanging Sponge)

ได้รับทุนอุดหนุนการวิจัยจาก
มหาวิทยาลัยเทคโนโลยีสุรนารี

ผลงานวิจัยเป็นความรับผิดชอบของหัวหน้าโครงการวิจัยแต่เพียงผู้เดียว



รายงานการวิจัย

การนำบัดน้ำเสียรูปแบบใหม่ด้วยระบบ UASB และระบบ Downflow

Hanging Sponge

(A Novel Wastewater Treatment System Using a UASB Reactor
and a Downflow Hanging Sponge)

คณะผู้วิจัย

หัวหน้าโครงการวิจัย
ผู้ช่วยศาสตราจารย์ ดร.บุญชัย วิจิตรเต็มยิร
สาขาวิชาวิศวกรรมสิ่งแวดล้อม
สำนักวิชาวิศวกรรมศาสตร์

ผู้ร่วมวิจัย

1. นางสาวพัชรินทร์ รา祚
2. นางสาวศิริกานดา ธรรมพร

ได้รับทุนอุดหนุนการวิจัยจากมหาวิทยาลัยเทคโนโลยีสุรนารี ปีงบประมาณ 2548-2549

ผลงานวิจัยเป็นความรับผิดชอบของหัวหน้าโครงการวิจัยแต่เพียงผู้เดียว

เมษายน 2553

กิตติกรรมประกาศ

รายงานวิจัยฉบับนี้สำเร็จลุล่วงไปด้วยความกรุณาอย่างดีเยี่งจากผู้ช่วยศาสตราจารย์บุญรักษ์
วิจิตรเลธีร อาจารย์ที่ปรึกษาและหัวหน้าโครงการวิจัยที่กรุณาให้คำแนะนำในด้านต่าง ๆ พร้อมทั้ง
ตรวจทานแก้ไขข้อบกพร่องและข้อเสนอแนะ คณะผู้วิจัยขอกราบขอบคุณเป็นอย่างสูงไว้ ณ
โอกาสนี้

ขอขอบพระคุณคณะเจ้าหน้าที่ประจำห้องปฏิบัติการวิศวกรรมสิ่งแวดล้อมทุกท่าน และคุณ
นารี กลั่นกลาง เจ้าหน้าที่บริหารงานทั่วไปสาขาวิชาวิศวกรรมสิ่งแวดล้อม สำหรับความช่วยเหลือ
ให้โครงการสำเร็จได้ด้วยดี

ขอขอบพระคุณมหาวิทยาลัยเทคโนโลยีสุรนารี ที่ได้ให้ทุนอุดหนุนการทำวิจัย

สุดท้ายความดีหรือประโยชน์ที่ได้รับจากการวิจัยฉบับนี้ คณะผู้วิจัยขอขอบคุณและบุพการี
ผู้มีพระคุณทุกท่านและครูอาจารย์ที่ได้ประทิษฐิ์ประสาทวิชาความรู้ให้แก่คณะผู้วิจัยมาตั้งแต่อดีต
จนถึงปัจจุบัน

คณะผู้วิจัย

กุมภาพันธ์ 2553

บทคัดย่อ

การศึกษาประสิทธิภาพของระบบ Downflow hanging sponge (DHS) เพื่อเป็นระบบบำบัดขึ้นหลังให้กับระบบ UASB ในกระบวนการบำบัดน้ำเสียอุตสาหกรรมที่มีความเข้มข้นของสารอินทรีย์และไนโตรเจนสูง แต่โดยทั่วไประบบกรองชีวภาพจำเป็นต้องควบคุมค่าภาระบรรทุกสารอินทรีย์ให้ต่ำและคงที่ เนื่องจากในภาวะบรรทุกสารอินทรีย์สูงจะสนับสนุนการเจริญเติบโตของจุลชีพกลุ่มเชกแท็งโรทรอฟทำให้มวลชีวภาพในระบบสูงซึ่งเกิดการอุดตันขึ้นกรองได้ อีกทั้งการถังข้อมูลไม่สามารถทำได้ในระบบ DHS เชื้อราจึงได้รับความสนใจเพื่อนำมาเป็นจุลชีพในระบบ DHS เมื่อจากสามารถสร้างเอนไซม์ได้หลายชนิดและย่อยสลายสารอินทรีย์ที่มีโมเลกุลเชิงซ้อน เช่น สารเคมีด้อยและเซลล์ที่ตายแล้วได้ดี ดังนั้นการศึกษานี้จึงมีวัตถุประสงค์เพื่อประเมินประสิทธิภาพของระบบ DHS โดยใช้เชื้อรา (FDHS) และแบคทีเรีย (BDHS) เป็นจุลชีพในการเป็นบำบัดน้ำทึบจากระบบ UASB ในอุตสาหกรรมแป้งมันสำปะหลัง โดยแบ่งการทดลองออกเป็น 3 ช่วงเวลาซึ่งมีระยะเวลาในการถักเก็บใน RUN I เท่ากับ 4 ชั่วโมง และใน RUN II และ III เท่ากับ 1 ชั่วโมง จากผลการศึกษาพบว่าประสิทธิภาพการกำจัดสารอินทรีย์ของระบบ FDHS สูงกว่าระบบ BDHS ในทุกช่วงของการศึกษา โดยมีประสิทธิภาพการกำจัดค่าบีโอดีทั้งหมด (TBOD) ในช่วง 83-95% ส่วนประสิทธิภาพการกำจัดในโตรเจนพบว่าระบบ BDHS พบสูงสุดใน RUN I โดยสามารถกำจัดในโตรเจนทั้งหมดได้ประมาณ 68% แต่ระบบ FDHS ไม่สามารถกำจัดในโตรเจนด้วยกระบวนการไนโตรฟิเกชันและดีไนตรฟิเกชันได้ อีกทั้งจากการศึกษาค่าคงที่ทางจลดาสตอร์พบอัตราการเจริญเติบโตของจุลชีพ (μ_{max}) สูงสุดในระบบ FDHS ส่วนที่ 1 ซึ่งเป็นส่วนที่สามารถกำจัดค่า TBOD ได้สูงสุดเช่นกัน ส่วนการศึกษาองค์ประกอบของตะกอนพบว่าค่าของแข็งระเหยง่าย (VSS) ในตะกอนที่อยู่ในตัวกลางฟองน้ำของระบบ FDHS มีค่าต่ำกว่าค่าของแข็งระเหยง่ายในระบบ UASB และการเกิดเส้นใยของเชื้อราทำให้โครงสร้างของระบบพิล์มตึงหลวมและการถ่ายเทมวลของอาหารและออกซิเจนเข้าสู่ภายในพิล์มตึงเกิดได้ อีกทั้งการศึกษายังพบว่าระบบ DHS ทั้งสองระบบมีเสถียรภาพเมื่อมีการเปลี่ยนแปลงค่า HLR อีกทั้งผลสรุปของผลการศึกษายังระบุว่าระบบ DHS เป็นระบบที่มีประสิทธิภาพในการเป็นระบบบำบัดน้ำเสียขั้นหลังของระบบ UASB

คำสำคัญ: ระบบ downflow hanging sponge, ระบบพิล์มตึงของเชื้อรา, ระบบพิล์มตึงของเชื้อแบคทีเรีย, น้ำเสียจากอุตสาหกรรมแป้งมันสำปะหลัง, ความหนาแน่นของพิล์มตึง

ABSTRACT

Investigations were carried out to evaluate the performance of downflow hanging sponge (DHS) system as a post treatment for industrial wastewater effluents containing high organic and nitrogen concentration. In general, it is important to keep the organic waste load for biofilter constant and as low as possible because a high heterotroph bacteria combined with biofilm detachment may clog a biofilter, backwashing is not possible in DHS system. Fungi offer an attractive culture in DHS system. They have a wide range of enzymes, and are capable of metabolizing complex mixtures of organic compounds such as particulate matters and dead cells. Thus, this study aimed at performance evaluation of mixed fungal (FDHS) and bacterial (BDHS) downflow hanging sponge system for post treatment of UASB effluents in tapioca starch industry. The whole experimental period was divided into three runs (RUN I, RUN II and III) with the hydraulic retention time (HRT) at 4 h, 1 h and 1 h, respectively. The organic removal efficiency of FDHS system was higher than BDHS system during three runs, ranging 83%-95%. The highest total nitrogen removal efficiency was found during RUN I about 68% for BDHS system. But nitrogen was not significantly removed in FDHS system by and nitrification and denitrification. Values of biokinetic coefficients of aerobic heterotrophs indicated that substrate utilization rate (r_x) and maximum specific growth rate (μ_{max}) were higher in the first segment of fungal culture in FDHS system. Moreover, the VSS concentration in retained sludge of FDHS system remained almost constant suggesting that the degradation of old biomass nearly balanced the accumulation of the fresh one. Filamentous fungi formed as loose biofilm that presence sufficient high substrate and oxygen mass transport.

Furthermore, two DHS systems exhibited substantial stability with respect to fluctuations in hydraulic loading. The results of this study showed that the proposed DHS systems maybe promising post treatment for UASB effluents.

Keywords: DOWNFLOW HANGING SPONGE / FUNGAL BIOFILM / BACTERIAL BIOFILM / TAPIOCA STARCH WASTEWATER / BIOFILM DENSITY

สารบัญ

หน้า

กิตติกรรมประกาศ	ก
บทคัดย่อ (ไทย)	ข
บทคัดย่อ (อังกฤษ)	ค
สารบัญ	จ
สารบัญตาราง	ฉ
สารบัญรูป	ท
คำอธิบายสัญลักษณ์	ญ

บทที่

1 บทนำ	1
1.1 ความสำคัญและที่มาของปัญหาการวิจัย	1
1.2 วัตถุประสงค์ของการวิจัย	2
1.3 ขอบเขตของการวิจัย	2
1.4 ข้อตกลงเบื้องต้น	3
1.5 ประโยชน์ที่ได้รับจากการวิจัย	3
2 ปริศนาระบบ	4
2.1 อุตสาหกรรมเป็นมันสำปะหลัง	4
2.2 ลักษณะน้ำเสียจากอุตสาหกรรมเป็นมีมลพิษ	4
2.3 ระบบบำบัดน้ำเสียในอุตสาหกรรมเป็นมันสำปะหลัง	6
2.3.1 ระบบบำบัดน้ำเสียทางกายภาพและเคมี	6
2.3.2 ระบบบำบัดน้ำเสียทางชีวภาพ	7
2.3.3 ระบบบำบัดน้ำเสียแบบหลายระบบร่วมกัน	11
2.4 ระบบ Downflow Hanging Sponge (DHS)	13
2.4.1 ชนิดของลังปฏิกรณ์ DHS	14

สารบัญ (ต่อ)

หน้า

2.4.2 การศึกษาที่ผ่านมาของระบบ DHS	17
2.5 การเปรียบเทียบประสิทธิภาพของระบบ DHS กับ การบำบัดน้ำเสียรูปแบบอื่น	19
2.6 การใช้ชี้วัดในการบำบัดน้ำเสีย	23
2.6.1 การบำบัดตะกอน	23
2.6.2 การบำบัดสีที่ปนเปื้อนในน้ำเสีย.....	24
2.6.3 ระบบบำบัดน้ำเสียจากอุตสาหกรรมอาหาร	25
3 วิธีดำเนินการวิจัย	26
3.1 สถานที่เก็บตัวอย่างน้ำที่มาจากระบบ UASB	26
3.2 การเลี้ยงและปรับสภาพตะกอน	27
3.2.1 การเลี้ยงตะกอนเชื้อราและแบคทีเรีย.....	27
3.2.2 การปรับสภาพตะกอน.....	27
3.3 ระบบ Downflow Hanging Sponge.....	29
3.3.1 ตัวกลางฟองน้ำ.....	29
3.3.2 ถังปฏิกรณ์ BDHS และ FDHS	30
3.4 การศึกษารักษณะทางชลศาสตร์	31
3.5 การศึกษาผลผลกระทบเนื่องจากการบรรเทาทุกอินทรี.....	35
3.6 การศึกษาค่าคงที่ทางชลศาสตร์	33
3.7 การศึกษารักษณะของตะกอน	34
3.7.1 ความเข้มข้นของตะกอนในระบบ DHS	34
3.7.2 การจำแนกชนิดของจุลชีพ	34
3.7.3 รูปร่างของพิล์มชีวภาพ.....	35
3.7.4 Extracellular Polymeric Substances (EPS).....	35
3.8 แผนการศึกษา	36
3.9 วิธีการวิเคราะห์ที่ใช้ในการศึกษา	37

สารบัญ (ต่อ)

หน้า

4 ผลการศึกษาและการวิเคราะห์ข้อมูล	37
4.1 ลักษณะทางชลศาสตร์ของระบบ DHS	37
4.2 ลักษณะของน้ำเสีย	39
4.3 ประสิทธิภาพการเติมอากาศของระบบ DHS	40
4.4 ประสิทธิภาพการกำจัดสารอินทรีย์	41
4.5 ประสิทธิภาพการกำจัดในไตรเจน	45
4.6 สัดส่วนสารอินทรีย์ในน้ำทึบจากระบบ DHS	48
4.7 ผลกระทบของการให้แสงรีดกั๊บของน้ำทึบต่อประสิทธิภาพของระบบ DHS	50
4.8 ค่าคงที่ทางชลศาสตร์	53
4.9 ลักษณะตะกอนในระบบ DHS	54
4.9.1 ความเข้มข้นของ volatile suspended solids	54
4.9.2 ความเข้มข้นของ extracellular polymeric substances (EPS)	54
4.9.3 ผลกระทบของค่า EPS ต่อความเข้มข้นสารอินทรีย์ในน้ำทึบจากระบบ DHS	56
4.9.4 การศึกษาโครงสร้างของเซลล์	56
4.10 การจำแนกจุลชีพในตะกอน DHS	58
4.10.1 จุลชีพในระบบ FDHS	58
4.10.2 จุลชีพในระบบ BDHS	61
4.11 การควบคุมปั๊มหานในการเดินระบบ DHS	64
4.11.1 ปั๊มหานเรื่องแมลงและหนองในระบบ	64
4.11.2 ปั๊มหานเรื่องการอุดตันในชั้นกรอง	65
5 สรุปผลการศึกษา	66
4.1 สรุปผลการศึกษา	66
4.2 ข้อเสนอแนะ	67

สารบัญ (ต่อ)

หน้า

บรรณานุกรม.....	68
ภาคผนวก ก	76
ภาคผนวก ข	78
ภาคผนวก ค	84
ภาคผนวก ง	107
ภาคผนวก ช	123
ภาคผนวก ฉ	127
ภาคผนวก ช	130
ประวัตินักวิจัย	139

สารบัญตาราง

หน้า

ตารางที่ 2.1	ลักษณะน้ำเสียจากอุตสาหกรรมเป็นมันสำปะหลัง	6
ตารางที่ 2.2	ระบบบำบัดน้ำเสียแบบไร์ออกซิเจนในอุตสาหกรรมเป็นมันสำปะหลัง	8
ตารางที่ 2.3	ลักษณะน้ำทึบจากระบบ UASB ในอุตสาหกรรมเป็นมันสำปะหลัง	10
ตารางที่ 2.4	ระบบบำบัดน้ำเสียแบบไร์ออกซิเจนในอุตสาหกรรมเป็นมันสำปะหลัง	12
ตารางที่ 2.5	การเปรียบเทียบการเดินระบบ DHS กับระบบบำบัดอื่น ในการบำบัดน้ำเสียชุมชน	20
ตารางที่ 2.6	คุณภาพน้ำทึบจากระบบบำบัดน้ำเสียต่างๆ ใน การบำบัดน้ำเสียชุมชน	21
ตารางที่ 2.7	การเปรียบเทียบค่าใช้จ่ายในการเดินระบบบำบัดน้ำเสีย	22
ตารางที่ 3.1	พารามิเตอร์ควบคุมในขั้นตอนการปรับสภาพเชื้อราและแบคทีเรีย	29
ตารางที่ 3.2	ลักษณะสมบัติของตัวกลางฟองน้ำ	29
ตารางที่ 3.3	พารามิเตอร์ควบคุมในระบบ DHS	33
ตารางที่ 3.4	พารามิเตอร์ควบคุมในการศึกษาค่าคงที่ทางชลศาสตร์	34
ตารางที่ 3.5	พารามิเตอร์และวิธีการวิเคราะห์	36
ตารางที่ 4.1	ผลการศึกษาสารติดตามในระบบ DHS	37
ตารางที่ 4.2	ลักษณะน้ำทึบจากระบบ UASB	39
ตารางที่ 4.3	การระบบรุ่งสารอินทรีย์และไนโตรเจนในระบบ DHS	42
ตารางที่ 4.4	ประสิทธิภาพของระบบ FDHS และ BDHS	43
ตารางที่ 4.5	ค่าคงที่ทางชลศาสตร์ของตะกอนในระบบ DHS	53
ตารางที่ 4.6	ความเข้มข้นของ VSS และ SS ในระบบ DHS	54
ตารางที่ 4.7	ความเข้มข้นของค่า Soluble EPS ในน้ำทึบจากระบบ DHS	56
ตารางที่ ข.1	ข้อมูลการศึกษาลักษณะทางชลศาสตร์ด้วยสารติดตามที่ค่า HRT 0.9 ชั่วโมง	70
ตารางที่ ข.2	ข้อมูลการศึกษาลักษณะทางชลศาสตร์ด้วยสารติดตามที่ค่า HRT 1.7 ชั่วโมง	80
ตารางที่ ข.3	ข้อมูลการศึกษาลักษณะทางชลศาสตร์ด้วยสารติดตามที่ค่า HRT 2.6 ชั่วโมง	81
ตารางที่ ข.4	ข้อมูลการศึกษาลักษณะทางชลศาสตร์ด้วยสารติดตามที่ค่า HRT 6.9 ชั่วโมง	82
ตารางที่ ข.5	ข้อมูลการศึกษาลักษณะทางชลศาสตร์ด้วยสารติดตามที่ค่า HRT 11.5 ชั่วโมง	83

สารบัญตาราง (ต่อ)

หน้า

ตารางที่ ค.1	ประสิทธิภาพการกำจัดค่า SCOD ในช่วงศึกษาการเดินระบบระยะเวลา 522 วัน....	85
ตารางที่ ค.2	ผลการศึกษาค่า TCOD, TBOD, SCOD และ SBOD ในน้ำเสียที่เข้าสู่ระบบ DHS (RUN I).....	92
ตารางที่ ค.3	ผลการศึกษาค่า TCOD, TBOD, SCOD และ SBOD ในน้ำทึบจาก segment 1 ของระบบ DHS (RUN I).....	93
ตารางที่ ค.4	ผลการศึกษาค่า TCOD, TBOD, SCOD และ SBOD ในน้ำทึบจาก segment 2 ของระบบ DHS (RUN I).....	94
ตารางที่ ค.5	ผลการศึกษาค่า TCOD, TBOD, SCOD และ SBOD ในน้ำทึบจาก segment 3 ของระบบ DHS (RUN I)	95
ตารางที่ ค.6	ผลการศึกษาค่า TCOD, TBOD, SCOD และ SBOD ในน้ำทึบจาก segment 4 ของระบบ DHS (RUN I)	96
ตารางที่ ค.7	ผลการศึกษาค่า TCOD, TBOD, SCOD และ SBOD ในน้ำเสียที่เข้าสู่ระบบ DHS (RUN II)	97
ตารางที่ ค.8	ผลการศึกษาค่า TCOD, TBOD, SCOD และ SBOD ในน้ำทึบจาก segment 1 ของระบบ DHS (RUN II).....	98
ตารางที่ ค.9	ผลการศึกษาค่า TCOD, TBOD, SCOD และ SBOD ในน้ำทึบจาก segment 2 ของระบบ DHS (RUN II).....	99
ตารางที่ ค.10	ผลการศึกษาค่า TCOD, TBOD, SCOD และ SBOD ในน้ำทึบจาก segment 3 ของระบบ DHS (RUN I).....	100
ตารางที่ ค.11	ผลการศึกษาค่า TCOD, TBOD, SCOD และ SBOD ในน้ำทึบจาก segment 4 ของระบบ DHS (RUN I).....	101
ตารางที่ ค.12	ผลการศึกษาค่า TCOD, TBOD, SCOD และ SBOD ในน้ำเสียที่เข้าสู่ระบบ DHS (RUN II)	102
ตารางที่ ค.13	ผลการศึกษาค่า TCOD, TBOD, SCOD และ SBOD ในน้ำทึบจาก segment 1 ของระบบ DHS (RUN III)	103

สารบัญตาราง (ต่อ)

หน้า

ตารางที่ ค.14 ผลการศึกษาค่า TCOD, TBOD, SCOD และ SBOD ในน้ำทึ่งจาก segment 2 ของระบบ DHS (RUN III)	104
ตารางที่ ค.15 ผลการศึกษาค่า TCOD, TBOD, SCOD และ SBOD ในน้ำทึ่งจาก segment 3 ของระบบ DHS (RUN III)	105
ตารางที่ ค.16 ผลการศึกษาค่า TCOD, TBOD, SCOD และ SBOD ในน้ำทึ่งจาก segment 4 ของระบบ DHS (RUN I)	106
ตารางที่ ง.1 ความเข้มข้นของไนโตรเจนในน้ำทึ่งจากระบบ UASB บำบัดน้ำเสีย จากอุตสาหกรรมแป้งมันสำปะหลัง (RUN I)	108
ตารางที่ ง.2 ความเข้มข้นของไนโตรเจนในน้ำทึ่งจาก segment 1 ของระบบ DHS (RUN I)	109
ตารางที่ ง.3 ความเข้มข้นของไนโตรเจนในน้ำทึ่งจาก segment 2 ของระบบ DHS (RUN I)	110
ตารางที่ ง.4 ความเข้มข้นของไนโตรเจนในน้ำทึ่งจาก segment 3 ของระบบ DHS (RUN I)	111
ตารางที่ ง.4 ความเข้มข้นของไนโตรเจนในน้ำทึ่งจาก segment 4 ของระบบ DHS (RUN I)	112
ตารางที่ ง.5 ความเข้มข้นของไนโตรเจนในน้ำทึ่งจากระบบ UASB บำบัดน้ำเสีย จากอุตสาหกรรมแป้งมันสำปะหลัง (RUN II)	113
ตารางที่ ง.7 ความเข้มข้นของไนโตรเจนในน้ำทึ่งจาก segment 1 ของระบบ DHS (RUN II)	114
ตารางที่ ง.8 ความเข้มข้นของไนโตรเจนในน้ำทึ่งจาก segment 2 ของระบบ DHS (RUN II)	115
ตารางที่ ง.9 ความเข้มข้นของไนโตรเจนในน้ำทึ่งจาก segment 3 ของระบบ DHS (RUN II)	116
ตารางที่ ง.10 ความเข้มข้นของไนโตรเจนในน้ำทึ่งจาก segment 4 ของระบบ DHS (RUN II)	117

สารบัญตาราง (ต่อ)

หน้า

ตารางที่ ง.11 ความเข้มข้นของไนโตรเจนในน้ำทึ้งจากระบบ UASB นำบัดน้ำเสีย จากอุตสาหกรรมเบื้องมันสำปะหลัง (RUN III).....	118
ตารางที่ ง.12 ความเข้มข้นของไนโตรเจนในน้ำทึ้งจาก segment 1 ของระบบ DHS (RUN III)	119
ตารางที่ ง.13 ความเข้มข้นของไนโตรเจนในน้ำทึ้งจาก segment 2 ของระบบ DHS (RUN III)	120
ตารางที่ ง.14 ความเข้มข้นของไนโตรเจนในน้ำทึ้งจาก segment 3 ของระบบ DHS (RUN III)	121
ตารางที่ ง.15 ความเข้มข้นของไนโตรเจนในน้ำทึ้งจาก segment 4 ของระบบ DHS (RUN III)	122
ตารางที่ จ.1 ผลการศึกษาการแยกสัดส่วนของค่า COD (COD fractionation) ในระบบ BDHS (RUN I).....	124
ตารางที่ จ.2 ผลการศึกษาการแยกสัดส่วนของค่า COD (COD fractionation) ในระบบ FDHS (RUN I)	124
ตารางที่ จ.3 ผลการศึกษาการแยกสัดส่วนของค่า COD (COD fractionation) ในระบบ BDHS (RUN II)	125
ตารางที่ จ.4 ผลการศึกษาการแยกสัดส่วนของค่า COD (COD fractionation) ในระบบ FDHS (RUN II).....	125
ตารางที่ จ.5 ผลการศึกษาการแยกสัดส่วนของค่า COD (COD fractionation) ในระบบ BDHS (RUN III)	126
ตารางที่ จ.6 ผลการศึกษาการแยกสัดส่วนของค่า COD (COD fractionation) ในระบบ FDHS (RUN III)	126
ตารางที่ ฉ.1 ผลการศึกษาค่าคงที่ทางกลศาสตร์ในระบบ BDHS	128
ตารางที่ ฉ.2 ผลการศึกษาค่าคงที่ทางกลศาสตร์ในระบบ FDHS.....	129
ตารางที่ ฉ.1 ผลการศึกษาค่า MLSS และ MLVSS ในระบบ DHS (RUN I)	131

สารบัญตาราง (ต่อ)

หน้า

ตารางที่ ช.2	ผลการศึกษาค่า MLSS และ MLVSS ในระบบ DHS (RUN II).....	132
ตารางที่ ช.3	ผลการศึกษาค่า MLSS และ MLVSS ในระบบ DHS (RUN III)	133
ตารางที่ ช.4	ผลการศึกษาความเข้มข้นของ EPS ในระบบ DHS (RUN I)	134
ตารางที่ ช.5	ผลการศึกษาความเข้มข้นของ EPS ในระบบ DHS (RUN II).....	135
ตารางที่ ช.5	ผลการศึกษาความเข้มข้นของ EPS ในระบบ DHS (RUN III).....	136

สารบัญ

หน้า

รูปที่ 2.1	ขั้นตอนการผลิตแป้งมันสำปะหลังและจุดกำนิคน้ำเสียในกระบวนการผลิตแป้งมันสำปะหลัง.....	5
รูปที่ 2.2	แผนภาพจำลองระบบบำบัดน้ำเสียในการศึกษาของ Hein et al (1999)	12
รูปที่ 2.3	แผนภาพจำลองระบบบำบัดน้ำเสียในการศึกษาของ Mai et al (1999)	13
รูปที่ 2.4	แผนภาพระบบบำบัดน้ำเสียของบริษัท เจนเนอร์ลัลสตาร์ช จำกัด และบริษัท สีมาอินเตอร์โปรดักส์ จำกัด	13
รูปที่ 2.5	ระบบ DHS แบบ cube type.....	15
รูปที่ 2.6	ระบบ DHS แบบ curtain type	15
รูปที่ 2.7	ระบบ DHS แบบ trickling filter type	16
รูปที่ 2.8	ระบบ DHS แบบ random type	17
รูปที่ 2.9	ระบบ DHS แบบ closed type	17
รูปที่ 3.1	ลักษณะของถังปฏิกรณ์ UASB และจุดเก็บน้ำเสีย	26
รูปที่ 3.2	ขั้นตอนการเติ่งและการเพิ่มจำนวนจุลทรรศพเพื่อใช้ในการเดินระบบ DHS	28
รูปที่ 3.2	ขั้นตอนการปรับสภาพเชื้อราและแบคทีเรียในน้ำทึบจากระบบ UASB เพื่อใช้ในการเดินระบบ DHS	28
รูปที่ 3.4	ลักษณะของตัวกลางฟองน้ำ	30
รูปที่ 3.5	การติดตั้งระบบ BDHS และ FDHS	30
รูปที่ 3.6	รูปแบบการเดินระบบ DHS ใน RUN I, RUN II และ RUN III	32
รูปที่ 3.7	การติดตั้งระบบ respirometer	33
รูปที่ 3.8	แผนการศึกษา	36
รูปที่ 4.1	ความเข้มข้นของสารติดตามในระบบ DHS ตามระยะเวลาเก็บ	38
รูปที่ 4.2	C-curve และดงแบบจำลองการกระจายใน closed vessel.....	38
รูปที่ 4.3	ประสิทธิภาพการเติมอากาศของระบบ DHS	40
รูปที่ 4.4	ประสิทธิภาพการกำจัด SCOD ของระบบ FDHS.....	42
รูปที่ 4.5	ประสิทธิภาพการกำจัด SCOD ของระบบ BDHS	43

สารบัญรูป (ต่อ)

หน้า

รูปที่ 4.6 ประสิทธิภาพการกำจัดสารอินทรีย์ตามระดับความสูง ของระบบ BDHS และ FDHS	44
รูปที่ 4.7 ประสิทธิภาพการกำจัดในโตรเจนตามระดับความสูง ของระบบ BDHS	47
รูปที่ 4.8 สัดส่วนของสารอินทรีย์ในระบบ DHS	49
รูปที่ 4.9 ผลกระทบของการไหลดีเวียนกลับของน้ำทึ่งจากระบบ DHS ต่อประสิทธิภาพการกำจัดค่า BOD	52
รูปที่ 4.10 ผลกระทบของการไหลดีเวียนกลับของน้ำทึ่งจากระบบ DHS ต่อประสิทธิภาพการกำจัดค่าในโตรเจนในระบบ BDHS	52
รูปที่ 4.11 ความเข้มข้นของ EPS ในตะกอนของระบบ BDHS และ FDHS	55
รูปที่ 4.12 ลักษณะยีดเกาะของตะกอนในตัวกลางฟองน้ำ.....	57
รูปที่ 4.13 ลักษณะของเซลล์ในระบบ BDHS ภาพถ่ายด้วย SEM	57
รูปที่ 4.14 ลักษณะของเซลล์ในระบบ FDHS ภาพถ่ายด้วย SEM	58
รูปที่ 4.15 <i>Trichoderma cultures</i>	59
รูปที่ 4.16 <i>Aspergillus cultures</i>	60
รูปที่ 4.17 <i>Candida cultures</i>	61
รูปที่ 4.18 <i>Psuedomonas cultures</i>	62
รูปที่ 4.19 <i>Bacillus cultures</i>	63
รูปที่ 4.20 <i>Nitrosomonas cultures</i>	63
รูปที่ 4.21 <i>Nitrobactor cultures</i>	64

คำอธิบายสัญลักษณ์

DHS	Downflow Hanging Sponge
FDHS	Fungal Downflow Hanging Sponge
BDHS	Bacterial Downflow Hanging Sponge
TCOD	ค่าซีไอดีทั้งหมด
SCOD	ค่าซีไอดีคลาบน้ำ
TBOD	ค่าบีไอดีทั้งหมด
SBOD	ค่าบีไอดีคลาบน้ำ
UPCOD	ค่าซีไอดีแขวนลอยค์ที่ย่อยสลายทางชีวภาพไม่ได้
USCOD	ค่าซีไอดีคลาบน้ำที่ย่อยสลายทางชีวภาพไม่ได้
BPCOD	ค่าค่าซีไอดีแขวนลอยค์ที่ย่อยสลายทางชีวภาพได้
BSCOD	ค่าค่าซีไอดีคลาบน้ำที่ย่อยสลายทางชีวภาพได้
OLR	ค่ากระบวนการอินทรีย์
HLR	ค่ากระบวนการทุกทางชลศาสตร์
F/M ratio	อัตราส่วนสารอินทรีย์ต่อจุลชีพ
MLSS	ค่าของแข็งแขวนลอยในระบบ
MLVSS	ค่าของแข็งแขวนลอยระยะยาวในระบบทุบ
EPS	Extracellular Polymeric Substances

บทที่ 1

บทนำ

1.1 ความสำคัญและที่มาของปัญหาการวิจัย

ปัจจุบันระบบ Upflow Anaerobic Sludge Blanket (UASB) ได้รับความนิยมอย่างสูงในอุตสาหกรรมเป็นมันส์ปัจจุบันเนื่องจากเป็นระบบบำบัดน้ำเสียที่มีความสามารถในการบำบัดสารอินทรีย์ด้วยกระบวนการบรรทุกอินทรีย์ (OLR) สูงๆ ได้อย่างมีประสิทธิภาพ ค่าใช้จ่ายในการก่อสร้าง และเดินระบบต่ำ ประหยัดพื้นที่ในการก่อสร้างระบบ ตอกอนตัววนเกินจากระบบเกิดน้อย อีกทั้งมีผลพลอยได้จากการบำบัดน้ำเสีย เช่น พลังงานจากก๊าซชีวภาพ แต่อย่างไรก็ตาม โดยทั่วไปแล้วระบบ UASB เป็นระบบบำบัดน้ำเสียแบบไม่ใช้ออกซิเจนสามารถกำจัดค่าซีโอดีได้ประมาณ 90-95% แต่ยังมีข้อจำกัดคือค่าซีโอดีที่เหลือในน้ำทึ้งจากระบบ UASB ในอุตสาหกรรมเป็นมันส์ปัจจุบันยังคงสูงกว่าที่มาตรฐานน้ำทึ้งอุตสาหกรรมกำหนด (Amtaya, 1999; Annachhtre and Amtaya, 2000; Annachhtre and Amornkaew, 2001) และมีค่าแอมโมนเนียมในໂຕຣເຈນค่อนข้างสูงเนื่องจากกระบวนการแอมโมนิฟิเคชั่น (ammonification) ซึ่งมีการเปลี่ยนสารอินทรีย์ในໂຕຣເຈນให้เป็นแอมโมนเนียมในໂຕຣເຈນในกระบวนการย่อยสลายแบบไม่ใช้ออกซิเจน ทำให้ต้องมีระบบบำบัดขั้นหลัง (post treatment) เพื่อบำบัดน้ำทึ้งจากระบบ UASB ในอุตสาหกรรมเป็นมันส์ปัจจุบันเพื่อกำจัดค่าซีโอดีและในໂຕຣເຈນ

ระบบ Down-flow Hanging Sponge (DHS) เป็นระบบบำบัดน้ำเสียทางชีวภาพขั้นหลังแบบใช้ออกซิเจนที่ถูกพัฒนาขึ้นโดยทีมนักวิจัยของ Nagaoka University of Technology ในประเทศญี่ปุ่น นานา民族 20 ปี เพื่อเป็นระบบบำบัดขั้นหลังให้กับระบบ UASB ซึ่งระบบ DHS เป็นระบบฟิล์มตรึงแบบใช้ออกซิเจน (aerobic biofilms) แต่ไม่ต้องการพลังงานเพื่อการเติมอากาศ โดยมีหลักการคล้ายกับ Trickling filter และมีฟองน้ำเป็นตัวกลาง (polyurethane foam media) มีช่องว่าง (void space) มากกว่า 90% และพื้นที่สัมผัสของตัวกลางฟองน้ำสูงถึง $2,400 \text{ m}^2/\text{m}^3$ ทำให้เกิดการกักจุลชีพใช้ในระบบได้ปริมาณสูงถึง 34 gVSS/L-sponge และเวลาในการกักตะกอน (SRT) สูงถึงประมาณ 10-100 วันอีกด้วย การเติมอากาศของระบบ DHS เกิดเนื่องจากการที่น้ำไหลผ่านตัวกลางฟองน้ำที่ถูกอยู่ในอากาศทำให้น้ำเกิดการกระจายตัวของน้ำเสียทำให้มีพื้นที่ผิวสัมผัสของน้ำเสียกับอากาศเพิ่มมากขึ้นทำให้การถ่ายเทมวลของออกซิเจนเข้าสู่น้ำเสียได้มากขึ้นตามไปด้วย การเติมอากาศจะเกิดโดยไม่ต้องใช้พัลส์งาน (Tandurkar et. al., 2006a) ระบบ DHS มีลักษณะของพื้นที่การ

เกิดปฏิกิริยา 2 ลักษณะคือ (1) บริเวณที่มีออกซิเจน (aerobic zone) คือ ผิวสัมผัสด้านนอกของตัวกลางฟองน้ำและส่วนที่ลึกลงไปประมาณ 0.75 เซนติเมตร และ (2) บริเวณที่เป็นแบบกึ่งไม้ออกซิเจน (anoxic zone) คือ ส่วนที่ลึกจากผิวด้านนอกของตัวกลางมากกว่า 0.75 เซนติเมตรลงไปถึงจุดศูนย์กลางของตัวกลางฟองน้ำ ทำให้ระบบ DHS มีประสิทธิภาพในการกำจัดสารอินทรีย์ด้วยแบบที่เรียกว่า aerobic heterotrops และสามารถกำจัดในโตรเจนด้วยกระบวนการ Nitrification-Denitrification (Araki et. al., 1999) ระบบ UASB-DHS ได้รับการยืนยันด้วยการศึกษาจากหลายงานวิจัยว่าเป็นระบบบำบัดสารอินทรีย์และในโตรเจนขั้นหลังระบบ UASB ที่มีประสิทธิภาพในการบำบัดน้ำเสียชุมชน (Agrawal et. al., 1997, Araki et. al., 1999, Chuang et. al., 2007, Machdar et. al., 1997, Machdar et. al., 2000, Tandurkar et. al., 2005, Tandurkar et. al., 2006a, Tandurkar et. al., 2006b, Tawfik et. al., 2006a, Tawfik et. al., 2006b) และการบำบัดน้ำเสียในอุตสาหกรรมฟอกซ์้ม (Ohashi et. al., 2006) แต่อย่างไรก็ตามน้ำทึบจากระบบ UASB ในอุตสาหกรรมเปลี่ยนมันสำปะหลังมีความเข้มข้นของสารอินทรีย์สูงกว่าในการบำบัดน้ำเสียชุมชนมากกว่า 5 เท่าตัว (มีค่าบีโอดีละลายน้ำประมาณ 200-500 mg/L) และมีการเพิ่อนของแอมโมเนียมในโตรเจนสูงถึงประมาณ 63-270 mg-N/L (Racho and Wichitsathian, 2008) อีกทั้งในปัจจุบันยังขาดการศึกษาประสิทธิภาพของระบบ DHS เพื่อเป็นระบบบำบัดขั้นหลังให้กับระบบ UASB เพื่อบำบัดน้ำเสียในอุตสาหกรรม เป้าหมายสำปะหลัง

1.2 วัตถุประสงค์ของการวิจัย

- 1.2.1 เพื่อศึกษาประสิทธิภาพของระบบ Downflow Hanging Sponge (DHS) ในการบำบัดน้ำทึบจากระบบ UASB ในอุตสาหกรรมผลิตแป้งมันสำปะหลัง
- 1.2.2 เพื่อศึกษาพารามิเตอร์ที่มีผลกระทบต่อประสิทธิภาพของระบบ Downflow Hanging Sponge (DHS) 在การบำบัดน้ำทึบจากระบบ UASB ในอุตสาหกรรมผลิตแป้งมันสำปะหลัง

1.3 ขอบเขตของการวิจัย

- 1.3.1 ระบบ Downflow Hanging Sponge (DHS) ที่ใช้ในการศึกษาเป็นถังปฏิกรณ์ขนาดนำร่อง (pilot scale) ติดตั้งณ อาคารเครื่องมือ 4 (F4) มหาวิทยาลัยเทคโนโลยีสุรนารี

- 1.3.2 นำ้เตี้ยที่ใช้ในการศึกษาเป็นน้ำทึ่งจากระบบ UASB เพื่อบำบัดนำ้เสียในอุตสาหกรรมเป็นมันสัมปะหลัง โดยระบบ UASB ที่ใช้ในการศึกษาเป็นระบบบำบัดชิริงติดตั้ง ณ บริษัท เจนเนอร์ลสตาร์ช จำกัด อำเภอครุภูรี จังหวัดนครราชสีมา
- 1.3.3 ประสิทธิภาพของระบบ DHS ทำการศึกษาโดยศึกษาประสิทธิภาพในการกำจัดค่าบีโอดี ซีโอดี ในโทรศัพท์ ลักษณะของตะกอน ค่าคงที่ทางจลคลาสตร์ และระบุเชื้อจุลทรรศน์ที่จัดที่เด่นในระบบ DHS

1.4 ข้อตกลงเบื้องต้น

หลังจากดำเนินการศึกษาแล้วเสร็จผลการศึกษาต้องถูกนำมาเผยแพร่ในการประชุมวิชาการระดับชาติหรือระดับนานาชาติ

1.5 ประโยชน์ที่ได้รับจากการวิจัย

- 1.5.1 การพัฒนาระบบการจัดการนำ้เสียในอุตสาหกรรมเป็นมันสำปะหลังรูปแบบใหม่ ซึ่งเป็นระบบบำบัดที่มีประสิทธิภาพในการบำบัดสารอินทรีย์และในโทรศัพท์ พลังงานในการเติมอากาศ พื้นที่ในการก่อสร้างระบบน้อย ค่าใช้จ่ายในการก่อสร้างและเดินระบบต่ำ และตะกอนส่วนเกินเกิดขึ้นน้อย ซึ่งเป็นองค์ประกอบหนึ่งหนึ่งในกลไกการพัฒนาการจัดการของเสียอุตสาหกรรมแบบยั่งยืน
- 1.5.2 การพัฒนาระบบบำบัดนำ้เสียเพื่อเป็นระบบบำบัดขั้นหลังให้กับระบบ UASB ซึ่งมีประสิทธิภาพในการกำจัดหิ้งสารอินทรีย์และในโทรศัพท์ขั้นตอนการบำบัดที่ไม่ซับซ้อน และไม่ต้องการบุคคลากรที่มีความชำนาญสูงในการดูแลระบบ
- 1.5.3 การศึกษากลไกการทำงานของระบบ DHS และปัจจัยที่มีผลกระทบในการออกแบบและความคุณภาพของระบบ DHS เพื่อให้เกิดความเข้าใจและการพัฒนาประสิทธิภาพการบำบัดสารอินทรีย์และในโทรศัพท์ของระบบให้สูงขึ้น

บทที่ 2

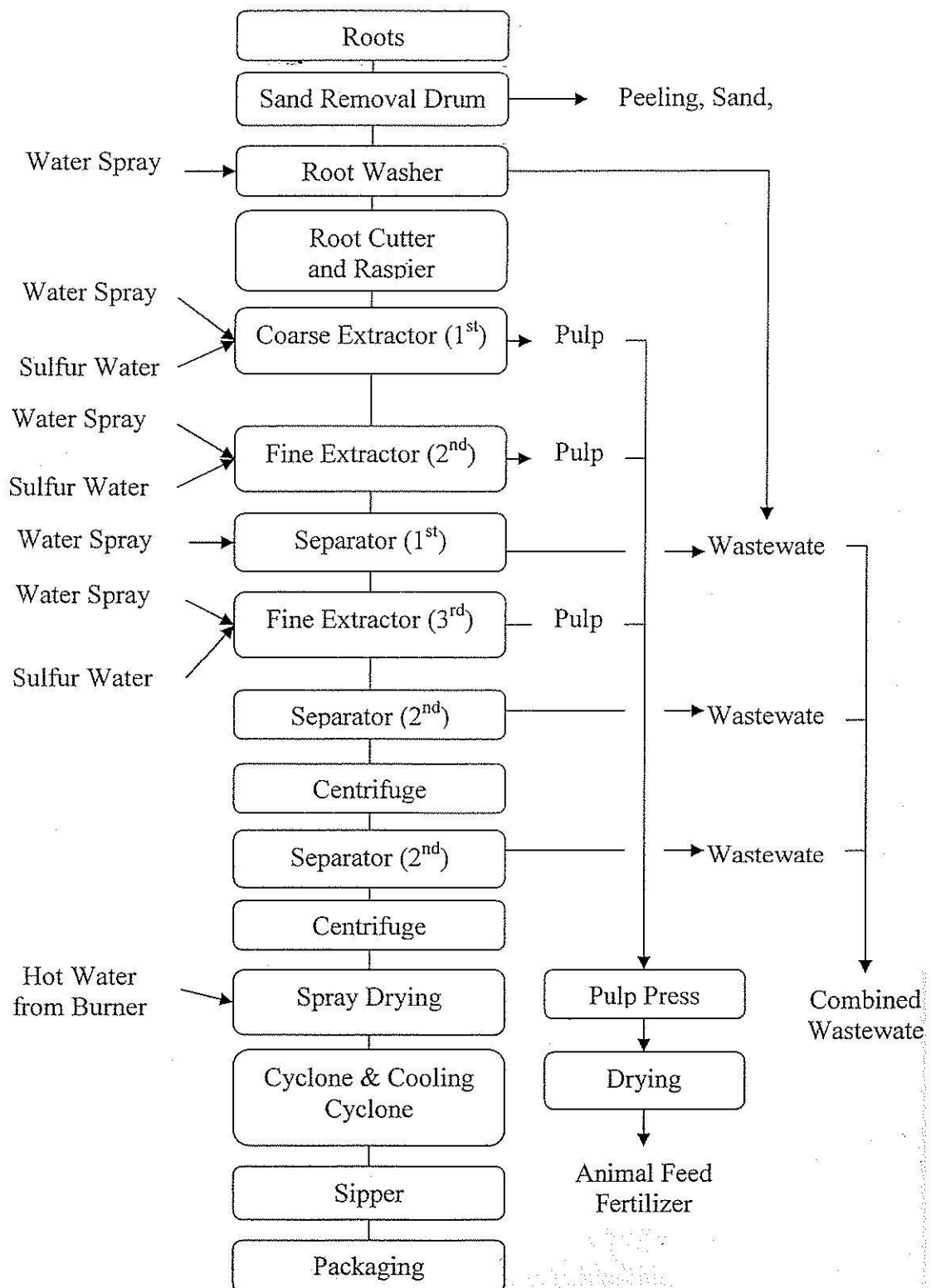
ปริศน์วรรณกรรม

2.1 อุตสาหกรรมแป้งมันสำปะหลัง

อุตสาหกรรมแป้งมันสำปะหลัง เป็นอุตสาหกรรมการเกษตรที่สำคัญของประเทศไทยให้เนื่องจากมันสำปะหลังเป็นพืชเศรษฐกิจหลักและหัวมันสำปะหลังสดซึ่งเป็นวัตถุคุณภาพที่หาได้ภายในประเทศ อีกทั้งเป็นอุตสาหกรรมที่ตอบสนองนโยบายการพัฒนาพืชเศรษฐกิจของไทย ในปัจจุบันประเทศไทยมีโรงงานผลิตแป้งมันสำปะหลังมากกว่า 60 โรงงาน โดยแป้งมันสำปะหลังที่ผลิตได้ประมาณร้อยละ 54 จะถูกส่งไปประจำหน่วยยังต่างประเทศ ซึ่งในกระบวนการผลิตแป้งมันสำปะหลังมีการใช้น้ำค่อนข้างสูงประมาณ 30 ลูกบาศก์เมตรต่อตันแป้ง (Loha et. al., 2003) โดยน้ำเสียส่วนใหญ่จะเกิดในขั้นตอน wet processing ดังแสดงในแผนภาพในรูปที่ 2.1 โดยน้ำเสียรวมจะเป็นน้ำเสียจากการล้างหัวมันและกระบวนการหีบห่ยแยกเพื่อแยกแป้งออกจากน้ำ

2.2 ลักษณะน้ำเสียจากอุตสาหกรรมแป้งมันสำปะหลัง

น้ำเสียจากอุตสาหกรรมแป้งมันสำปะหลังเกิดจาก 2 กระบวนการหลัก คือ (1) ขั้นตอนการล้างหัวมัน น้ำเสียในขั้นตอนนี้มีสารปนเปื้อนส่วนใหญ่เป็นสารอนินทรีย์ที่อยู่ในรูปสารแขวนลอยสามารถนำมาผ่านกระบวนการตกร่องและนำกลับมาใช้ใหม่ได้ (2) น้ำเสียจาก extraction process ซึ่งมีสารอินทรีย์ปนเปื้อนสูงเนื่องจากมีการปนเปื้อนของน้ำแป้งคงคุณสมบัติที่แสดงในตารางที่ 2.1 ซึ่งพบว่าจากความเข้มข้นสารอินทรีย์สูงแล้วขั้นตอนพัฒนาความเข้มข้นของสารแขวนลอยความเป็นกรดสูง อีกทั้งพัฒนาการปนเปื้อนของไชยาในคือคัววิ กระบวนการย่อยสลายทางชีวภาพซึ่งเป็นวิธีที่มีความเหมาะสมในการบำบัดน้ำเสียจากอุตสาหกรรมผลิตแป้งมันสำปะหลัง เนื่องจากพนสักส่วนของ $BOD/COD > 0.5$ ซึ่งในการศึกษาของ Deng et. al. (2006) ระบุว่าถ้าอัตราส่วน $BOD/COD > 0.45$ น้ำเสียเกิดย่อยสลายทางชีวภาพได้ดี; $BOD/COD = 0.30-0.45$ เกิดการย่อยสลายทางชีวภาพได้ และถ้าหากกว่า 0.20 น้ำเสียนั้นไม่มีความเหมาะสมในการย่อยสลายทางชีวภาพ



รูปที่ 2.1 ขั้นตอนการผลิตแป้งมันสำปะหลังและจุกกำนันดินน้ำเสีย (Loha et al., 2003)

ตารางที่ 2.1 ลักษณะน้ำเสียจากอุตสาหกรรมแป้งมันสำปะหลัง

Parameters/ Processes	Extraction step	Combined wastewater	Combined wastewater	Combined wastewater	Washing step	Extraction step
pH	3.4-3.7	3.8-4.5	4.1-4.3	-	5.1-5.6	4.3-5.6
TSS (g/L)	0.4-1.8	2.2-4.0	5.5-9.0	2.5-7.8	10.5-12.8	4.2-7.6
COD _t (g/L)	12.9-15.5	13.5-25.0	21.5-25.0	4.0-27.3	4.5-7.6	12.1-19.1
COD _f (g/L)	-	10.4-24.5	-	-	-	-
BOD _s (g/L)	9.9-12.9	-	13.0-16.0	2.4-13.7	-	-
TKN (mg/L)	259.0-462.0	85.0-250.0	85.0-180.0	59.6-297.9	-	-
Org-N (mg/L)	196.0-392	-	-	-	-	-
NH ₃ -N (mg/L)	63.0-77.0	-	-	-	67.0-85.0	161.0-187.0
Total P (mg/L)	39.0-73.0	-	50.0-85.0	41.0-235.0	-	-
Ortho-PO ₄ ³⁻	-	25.0-48.0	-	-	-	-
CN ⁻ (mg/L)	30.1-35.6	10.0	-	-	-	4.5-6.7
BOD:COD	0.8	-	0.6	0.5	-	-
References	Mai et.al. (2004)	Annachhatre & Amatya (2000) and Annachhatre &Amornkeaw (2001)	Polprasert & Chatsanguth ai (1988)	Reampim (2002)	Hein et.al. (1999)	

2.3 ระบบบำบัดน้ำเสียในอุตสาหกรรมแป้งมันสำปะหลัง

ปัจจุบันระบบบำบัดน้ำเสียในอุตสาหกรรมแป้งมันสำปะหลังประกอบด้วยการบำบัดค่าสารเคมีด้วยวิธีทางกายภาพและเคมีซึ่งใช้เป็นระบบบำบัดเบื้องต้น (pretreatments) ระบบบำบัดน้ำเสียทางชีวภาพ (biological treatment) เป็นระบบบัดหลัก และระบบบำบัดด้วยวิธีธรรมชาติเป็นระบบบำบัดขั้นหลัง (post treatments) โดยมีน้ำท้ายรูปแบบ เช่น anaerobic lagoon, anaerobic digestion, activated sludge และ stabilization pond เป็นต้น โดยมีรายละเอียดดังต่อไปนี้

2.3.1 ระบบบำบัดทางกายภาพและเคมี (Physical and Chemical Treatments)

น้ำเสียจากอุตสาหกรรมผลิตแป้งมันมีค่าสารเคมีและค่าสารเคมีต่อไปนี้ ทำให้ส่งผลกระทบต่อประสิทธิภาพของระบบบำบัดน้ำเสียทางชีวภาพ ซึ่งในหลายกรณี (Lettinga and Hulshoff, 1991; Hein et. al., 1999; Annachhatre and Amatya, 2000; Annachhatre and

Amornkaew, 2001 และ Seejuhn, 2002) แนะนำให้มีกระบวนการตกรตะกอนน้ำเสียเพื่อกำจัดค่า SS ก่อนนำเข้าสู่ระบบบำบัดทางชีวภาพ ตัวอย่างเช่นในการศึกษาของ Olivera et. al. (2001) ทำการบำบัดน้ำเสียในอุตสาหกรรมแป้งมันสำปะหลังด้วยกระบวนการก่อตะกอนและรวมตะกอน (coagulation-flocculation) แล้วทำการตกรตะกอน (sedimentation) โดยการใช้เกลืออัลูминัม (aluminum salts) เป็นสารก่อตะกอนพนว่าสามารถลดค่า COD จาก 14,000 mg/L เป็น 2,000 mg/L ก่อนนำไปบำบัดด้วยระบบ activated sludge ต่อไป จากผลการศึกษาของ Olivera et. al. (2001) แสดงให้เห็นว่าค่า COD ส่วนใหญ่ในน้ำเสียจากอุตสาหกรรมแป้งมันสำปะหลังเป็นสารแขวนลอยและ/หรือสารคงคล้อยค์

2.3.2 ระบบบำบัดน้ำเสียทางชีวภาพ (Biological Treatments)

ระบบทางชีวภาพเป็นระบบบำบัดหลักในการบำบัดน้ำเสียจากอุตสาหกรรมแป้งมันสำปะหลัง ซึ่งมีทั้งระบบบำบัดน้ำเสียแบบใช้อกซิเจนและระบบบำบัดแบบไร้อกซิเจน โดยมีรายละเอียดดังต่อไปนี้

2.3.2.1 ระบบบำบัดน้ำเสียแบบไร้อกซิเจน

ระบบบำบัดน้ำเสียแบบไร้อกซิเจนเป็นระบบบำบัดน้ำเสียที่ได้รับความนิยมมากในอุตสาหกรรมแป้งมันสำปะหลัง เพราะสามารถรองรับการบรรเทาสารอินทรีย์ (OLR) ได้สูง ประดับพลังงาน และมีก้าชีวภาพเป็นผลผลอยได้ ระบบบำบัดน้ำเสียแบบไร้อกซิเจนจึงถูกนำมาใช้เป็นระบบบำบัดหลักในการบำบัดน้ำเสียจากอุตสาหกรรมแป้งมันสำปะหลัง โดยมีตัวอย่างและประสิทธิภาพของระบบบำบัดน้ำเสียแบบไร้อกซิเจนแสดงดังตารางที่ 2.2 ระบบบำบัดน้ำเสียแบบไร้อกซิเจนในประเทศไทยในอดีตส่วนใหญ่เป็นระบบบำบัดน้ำเสียแบบบ่อผึ้ง ไร้อกซิเจน (anaerobic lagoon) ซึ่งค่อนข้างมีปัญหารံออกลิ่นของ H_2S จากระบบบำบัดน้ำเสีย จากการศึกษาของ Polprasert and Chatsaguthai (1989) ได้พบว่าค่า pH และ OLR เป็นปัจจัยที่มีผลต่อการเกิดกลิ่นในระบบ anaerobic lagoon โดยการปรับเพิ่มค่า pH ของน้ำเสียให้มีค่าประมาณ 8 และลด OLR ลงให้เหลือประมาณ $0.25 \text{ kgCOD/m}^3\text{-d}$ สามารถลดกลิ่นได้แต่กลับทำให้ค่าใช้จ่ายในการเดินระบบและการใช้พื้นที่สูงขึ้น ซึ่งโดยปกติการใช้พื้นที่ของระบบ anaerobic lagoon ก็ค่อนข้างสูงอยู่แล้ว ซึ่งตามรายงานในการศึกษาของ Rajbhandari and Annachhatre (2004) พบว่าที่อัตราการไหลของน้ำเสีย $5,000 \text{ m}^3/\text{d}$ ใช้พื้นที่สำหรับก่อสร้างบ่อ anaerobic ponds เท่ากับ 7.39 ha และพื้นที่สำหรับก่อสร้าง facultative ponds อีกประมาณ 29.11 ha และพบว่ามีประสิทธิภาพในการกำจัดค่า COD และ SS ได้ 90% อีกทั้งสามารถกำจัด cyanide ได้ 51%

ตารางที่ 2.2 ระบบบำบัดน้ำเสียแบบไร์օอกซิเจนในอุตสาหกรรมเป้ามันสำปะหลัง

Treatments	OLR (kgCOD/m ³ -d)	HRT (d)	COD removal (%)	References
UASB	33.0-40.0	0.5	94.0-98.0	Hein et.al. (1999)
UASB	10.0-16.0	0.2	>95.0	Annachhtre and Amatya (2000)
UASB	28.6-42.7	0.3	84.3-90.2	Mai et.al. (2004)
AFF	2.0-10.0	2.0-4.0	70.0-80.0	Chaiprasert et.al. (2003)
AFF	2.3	3.0	88.9	Barana and Cereda (2000)
Anaerobic contactor	-	1.0-10.0	32.0-80.0	Reampim (2002)
Anaerobic pond	2.8	10.0	57.0	Polprasert and Chatsanguthai (1989)
Anaerobic attached growth waste stabilization pond	-	8.0	60.0-70.0	Rukvichitkul (2002)

และต่อมาในการศึกษาของ Rukvichitkul (2002) ได้ทำการศึกษาการใช้ตัวกลางเพื่อให้จุลชีพเกาะระบบบ่อผึ้งไร์օากาศ (anaerobic attached growth stabilization ponds) เพื่อลดการใช้พื้นที่ของระบบบำบัดน้ำเสียแบบบ่อ พนวจว่าสามารถลดค่า HRT และพื้นที่ในการก่อสร้างบ่อบำบัดแบบไร์օอกซิเจนลงได้ถึง 50% แต่ยังไร์ก์ตามการใช้พื้นที่กึ่งคงจัดอยู่ในระดับที่ค่อนข้างสูง อีกทั้งในปัจจุบันชุมชนเมืองมีการขยายตัวมากขึ้น เกิดปัญหาเรื่องกลิ่นในระบบบ่อผึ้งส่งผลกระทบต่อบุปผา นำไปสู่การศึกษาเพื่อพัฒนาระบบ anaerobic lagoons ไปเป็นระบบ cover lagoons เพื่อลดกลิ่น รบกวนและเป็นการรวมรวมก้าชชีวภาพมาใช้ในการผลิตพลังงาน บ่อหมักแบบ covered lagoon เป็นบ่อหมักก้าชชีวภาพอีกรูปแบบหนึ่ง โครงสร้างบ่ออาจเป็นบ่อคอนกรีตหรือดินบุกดีไซน์ที่เป็นบ่อคินชุด อาจปูแผ่นยางที่ใช้ปูกระเบื้องน้ำมานปูทับ เพื่อไม่ให้เกิดการรั่วซึมของของเสียลงได้

ดิน ค้านบดของบ่อคูลมค่าวัตถุพลาสติกขนาดใหญ่เพื่อร่วบรวมก้าชชีวภาพที่เกิดขึ้นก่อนนำก้าชไปใช้ประโยชน์ และเพื่อป้องกันไม่ให้ก้อนน้ำเสียจากอุดตันออกໄไป ระบบนี้สามารถดัดแปลงจากระบบบ่อผึ้งจึงไม่จำเป็นต้องสร้างบ่อใหม่

แต่อย่างไรก็ตามการพัฒนารูปแบบของระบบบำบัดแบบไร้ออกซิเจนในปัจจุบันส่วนใหญ่ให้ความสนใจเกี่ยวกับกระบวนการย่อยสลายสารอินทรีย์โดยที่สามารถรองรับกระบวนการทุกสารอินทรีย์สูง (high rate anaerobic reactors) เพื่อบำบัดน้ำเสียจากอุดตันห้องรับประทาน เช่นเชื้อพื้นที่ในการบำบัดน้ำ oily เกิดตatkอนส่วนเกินน้อย และสามารถเก็บรวบรวมก้าชชีวภาพซึ่งเป็นพลังงานทดแทนได้ง่าย โดยมีตัวอย่างของการศึกษาที่ผ่านมาดังต่อไปนี้

- Barana and Cetreda (2000) ทำการศึกษาระบบ anaerobic biological digester แบบ 2 เฟส โดยเฟสที่ 1 คือ acidogenic fermentation เป็นการหมักแบบกะ (batch process) เฟสที่ 2 เป็น methanogenic fermentation เป็นระบบ up-flow anaerobic fixed bed reactor โดยใช้ท่อ PVC ตัดขนาดยาว 3 เมตร x เส้นผ่าศูนย์กลาง 2.5 เมตร ซึ่งทำการศึกษาประสิทธิภาพการผลิตก้าชมีเทนด้วยการแปรเปลี่ยนค่า OLR ของการเดินระบบให้อยู่ในช่วง 0.33-8.48 gCOD/L-d พน ประสิทธิภาพของก้าชชีวภาพสูงสุดที่ค่า OLR 0.33 gCOD/L-d โดยมีอัตราส่วนของมีเทน 80.9% และประสิทธิภาพของก้าชชีวภาพต่ำสุดที่ค่า OLR 8.48 gCOD/L-d โดยมีอัตราส่วนของมีเทน 56.8% ส่วนประสิทธิภาพการกำจัดค่า COD สูงสุดที่ค่า OLR 2.25 gCOD/L-d เท่ากับ 80.9% และประสิทธิภาพการกำจัดค่า COD ต่ำสุดที่ค่า OLR 8.48 gCOD/L-d เท่ากับ 54.95%

- Chaiprasert et. al. (2003) ทำการศึกษาระบบ anaerobic fixed film (AFF) reactor เพื่อบำบัดน้ำเสียจากอุดตันห้องรับประทาน เช่นเชื้อพื้นที่ในการเดินระบบด้วยค่า OLR 2-10 kgCOD/m³-d หรือ HRT 2-4 วัน พน ประสิทธิภาพการผลิตก้าชชีวภาพเท่ากับ 0.4-0.5 m³/kgCOD_{removed} ซึ่งประกอบด้วยมีเทน 60-70% แต่อย่างไรก็ตาม fixed film process เป็นระบบที่ต้องใช้ระยะเวลาในการ start up ระบบค่อนข้างนาน

- Roh et. al. (2006) ทำการศึกษาระบบ anaerobic digester membrane โดยใช้ hollow fiber membrane เป็นเมมเบรนแบบจม (immersed membrane) เพื่อบำบัดน้ำเสียที่มีสารปนเปื้อนหลักเป็นแป้ง เดินระบบด้วยระยะเวลา กักเก็บ (HRT) 1.5-10 วัน พน ประสิทธิภาพการกำจัดอยู่ระหว่าง 80-95% ขึ้นกับค่า HRT พน อัตราการผลิตก้าชชีวภาพเท่ากับ 0.74 m³/kgCOD_{removed} แต่อย่างไรก็ตามราคาค่าก่อสร้างระบบ anaerobic digester membrane ค่อนข้างสูง

จากการพัฒนาระบบบำบัดแบบไร้ออกซิเจนในหลายรูปแบบ พน ว่าระบบ up-flow sludge blanket (UASB) เป็นกระบวนการย่อยสลายสารอินทรีย์โดยไม่ใช้ออกซิเจนที่รองรับ OLR ได้สูงที่สุด ได้รับความนิยมมากที่สุดในประเทศไทยเนื่องจาก (1) ไม่ต้องมีตัวกลางในถังปฏิกรณ์ (2) ระยะเวลา

ในการเริ่มเดินระบบสั้น และ (3) ไม่ต้องมีการไหลวนกลับน้ำเสีย (recirculation) เมื่อในระบบ fluidized bed reactors โดยในหลายกรณีศึกษาพบว่าระบบ UASB สามารถกำจัดสารอินทรีย์ได้ถึง 95% ที่ค่า OLR 10-16 kgCOD/m³-d และมีอัตราการผลิตก๊าซชีวภาพประมาณ 5-8 m³/m³-d และพบประสิทธิภาพในการกำจัดไฮยาไนด์ได้ถึง 93-98% (Annachhatre and Amatya, 2000; Annachhatre and Amornkaew, 2001; Hein et. al ,1999; Mai et. al, 2004) โดยคุณภาพน้ำทึ้งจากระบบ UASB แสดงดังตารางที่ 2.3 ในการศึกษาของ Mai et.al (2004) ค่า COD ในน้ำทึ้งจากระบบ UASB ประมาณ 1,005-2,627 mg/L สัดส่วนค่า COD:N:P เท่ากับ 100:4:2 ซึ่งพบว่าความเข้มข้นของแอมโมเนียมในโตรเจนในการศึกษาของ Mai et. al. (2004) ค่อนข้างต่ำและแตกต่างกันน้ำทึ้งจากระบบ UASB ซึ่งทำการเดินระบบจริงของบริษัท เจนอรัลสตาร์ช จำกัดและบริษัท สีนา อินเตอร์โปรดักส์ จำกัด ในจังหวัดครราษสีมา พนสัดส่วนค่า COD:N:P เท่ากับ 100:49:1.3 และ 100:25:0.9 ตามลำดับ (ตารางที่ 2.3) จึงทำให้ระบบบำบัดขึ้นหลังระบบ UASB จึงต้องมีประสิทธิภาพในการกำจัดสารอินทรีย์และในโตรเจน โดยเมื่อพิจารณาความสามารถในการกำจัดในโตรเจนด้วยกระบวนการ nitrification-denitrification ในน้ำทึ้งจากระบบ UASB พนว่าจะเกิดสภาวะขาดแคลนสารอินทรีย์เพื่อเป็นแหล่งคาร์บอนในกระบวนการ denitrification ซึ่งในการศึกษา Grady et. al. (1999) ระบุว่า BOD/TKN <2.5, BOD/NH₃ <4 และ BOD/TKN <5 แสดงว่าระบบต้องการแหล่งคาร์บอนจากภายนอกซึ่งทำให้ค่าใช้จ่ายในการเดินระบบเพิ่มขึ้นอีกด้วย

ตารางที่ 2.3 ลักษณะน้ำทึ้งจากระบบ UASB ในอุตสาหกรรมแป้งมันสำปะหลัง

Parameters/ References	Mai et.al. (2004)	Sima-Inter Products Co.,Ltd.	General Starch Co.,Ltd.
pH	7.8-8.3	7.3-7.7	7.2-7.5
TSS (mg/L)	120-320	500-1,000	300-500
COD _t (mg/L)	1,005-2,627	734-1,006	250-550
BOD _s (mg/L)	-	-	125-295
TKN (mg/L)	57-95	200-250	141-250
Org-N (mg/L)	15-31	5-7	5-11
NH ₃ -N (mg/L)	36-68	195-243	130-245
Total P (mg/L)	12-60	7.5	5.2
COD/TKN	25	4	2
COD:N:P	100:4:2	100:25:0.9	100:49:1.3

2.3.2.2 ระบบบำบัดน้ำเสียแบบใช้ออกซิเจน

ระบบบำบัดน้ำเสียแบบใช้ออกซิเจนเพื่อบำบัดน้ำเสียในอุตสาหกรรมแบ่งมันสำปะหลังนิยมใช้เป็นระบบบำบัดขั้นหลัง (post treatments) ให้กับระบบบำบัดน้ำเสียแบบไร้ออกซิเจน เนื่องด้วยความเข้มข้นสารอินทรีย์ในน้ำเสียจากอุตสาหกรรมแบ่งมันสำปะหลังสูงมาก การบำบัดน้ำเสียด้วยระบบบำบัดแบบใช้ออกซิเจนเพียงอย่างเดียวจึงถือเป็นค่าใช้จ่ายในการเติมอากาศสูง แต่ยังไรมีความสามารถในการรับน้ำเสียที่มีความเข้มข้นของสารอินทรีย์สูงกว่ามาตรฐาน อีกทั้งมีค่าแอนโนเนนซ์ในโตรเรนสูงจากกระบวนการ ammonification เพื่อย่อยสลาย organic nitrogen ในสภาวะไร้ออกซิเจน ตัวอย่างการศึกษาที่ผ่านมาของระบบบำบัดน้ำเสียแบบใช้ออกซิเจนเพื่อเป็นระบบบำบัดขั้นหลังในอุตสาหกรรมผลิตแบ่งมันสำปะหลัง เช่น การศึกษาของ Hein et. al. (1999) ทำการบำบัดน้ำทึบจากการรับน้ำเสียจากอุตสาหกรรมแบ่งมันสำปะหลังด้วยระบบ UASB ด้วยระบบเติมอากาศร่วมกับระบบฟิล์มชีวภาพแบบจบพร้อมประสิทธิภาพในการกำจัดค่า COD มากกว่า 85% โดยค่า COD จากค่าเริ่มต้น 500-400 mg/L เป็นน้อยกว่า 87 mg/L ที่ค่า HRT เท่ากับ 10 ชั่วโมง และ SRT เท่ากับ 10 วัน การศึกษาของ Oliveira et. al. (1999) ทำการศึกษาระบบบำบัดน้ำเสียจากอุตสาหกรรมแบ่งมันสำปะหลังด้วยระบบ activated sludge โดยมีระบบก่อนหน้าคือระบบ flocculation และ sedimentation พบประสิทธิภาพการกำจัดค่า COD จาก 2,000 mg/L เหลือประมาณ 140-220 mg/L คิดเป็นประสิทธิภาพในการกำจัดค่า COD ประมาณ 89-93% และประสิทธิภาพในการกำจัดเชื้อราในด้วยประมาณ 95-99% อีกทั้งไม่พบ fecal และ total coliforms หลังกระบวนการ flocculation และ sedimentation และการศึกษาของ Mai et. al. (2004) ซึ่งทำการศึกษาถังปฏิกรณ์แบบเติมอากาศ (aerated reactor) เริ่มเดินระบบด้วย OLR เท่ากับ 0.5 kgCOD/m³-d และค่า F/M ratio เท่ากับ 0.3-0.4 โดยใช้ตะกอนจากถัง septic เป็นตะกอนเริ่มต้น และทำการเพิ่มค่า OLR ขึ้นตามลำดับจนถึง 2.1 kgCOD/m³-d พบประสิทธิภาพในการกำจัดค่าซีโอดีประมาณ 93-95% ดังแสดงในตารางที่ 2.4

2.3.3 ระบบบำบัดน้ำเสียแบบหลายระบบร่วมกัน (Combined Treatments)

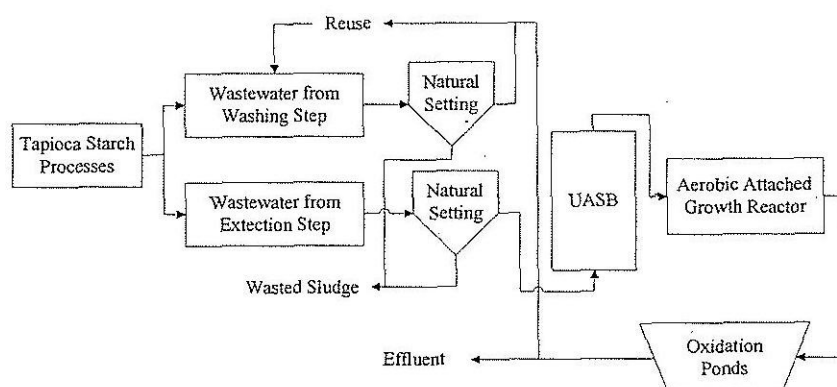
น้ำเสียจากอุตสาหกรรมแบ่งมันสำปะหลังมีความเข้มข้นของสารอินทรีย์สูง ทำให้การใช้ระบบบำบัดเพียงระบบเดียวไม่เพียงพอที่จะลดค่า COD ในน้ำเสียให้ต่ำกว่ามาตรฐานน้ำทึบอุตสาหกรรมได้ ในการศึกษาของ Hein et. al. (1999) จึงได้จำลองระบบบุบบำบัดน้ำเสียจากโรงงานผลิตแบ่งมันสำปะหลังขนาดใหญ่ให้มีขนาดทดลองในห้องปฏิบัติการ (laboratory scale) ดังแสดงตามแผนภาพในรูปที่ 2.2 ประกอบด้วยระบบต踢กอนเบื้องต้น ระบบ UASB และถังเติมอากาศแบบฟิล์มตรึงแบบจบพร้อมการถักค่า COD จากค่าเริ่มต้น 11,077-19,083 mg/L ให้มีค่า

ต่ำกว่า 87 mg/L ในน้ำทึ้งจากถังเติมอากาศ และน้ำทึ้งจากถังเติมอากาศจะพักเพื่อปรับสภาพในระบบ oxidation ponds เป็นระยะเวลา 12-20 วัน แล้วจึงนำกลับไปใช้ในเป็นน้ำใช้ในการเกษตร

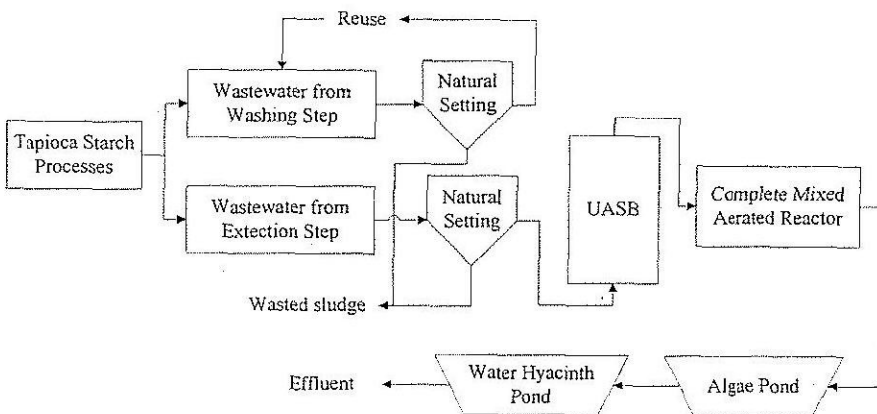
ตารางที่ 2.4 ระบบบำบัดน้ำเสียแบบใช้อกซิเจนในอุตสาหกรรมแป้งมันสำปะหลัง

Treatments	OLR (kgCOD/m ³ -d)	HRT (d)	COD removal (%)	References
Activated sludge	0.5-1.4	1.4-4.2	>90	Oliverira et.al. (2001)
Attached growth reactor	1-1.4	0.5	83-87	Hein et.al. (1999)
Aerated pond	2.1	0.5	93-97	Mai et.al. (2004)

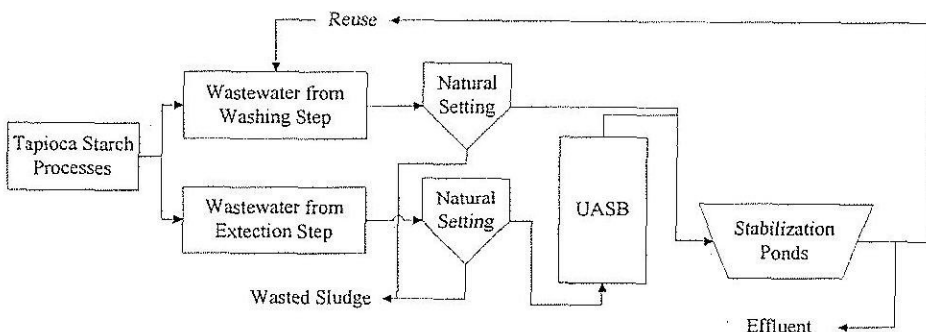
การศึกษาของ Mai et. al. (2004) แสดงดังรูปที่ 2.4 ประกอบด้วยระบบ upflow anaerobic process (UAF) เพื่อเป็นระบบบำบัดเบื้องต้นในการกำจัดค่าสารแขวนลอยก่อนจะเข้าสู่ระบบ UASB ตามด้วยระบบเติมอากาศและระบบบ่อชั่วคราวที่เชื่อมต่อไปยังระบบ UASB ตามที่ Hein et. al. (1999) และจากการสำรวจโรงงานผลิตแป้งมันสำปะหลังในจังหวัดนครราชสีมาจำนวน 2 โรงงานได้แก่ บริษัท เจนอรัลสตาร์ช จำกัดและบริษัท สีเมอาินเตอร์โปรดักส์ จำกัดดังแสดงในรูปที่ 2.4 ประกอบด้วยระบบต่อตอกก่อน ระบบ UASB และระบบบ่อผึ่งตามลำดับ จากการศึกษาข้อมูลในการศึกษาที่ผ่านมาพบว่าการบำบัดน้ำทึ้งจากระบบ UASB โดยส่วนใหญ่ในประเทศไทยยังคงเป็นระบบบำบัดที่มีการใช้พื้นที่ในการก่อสร้างระบบสูงและรองรับค่า OLR ได้ต่ำ (slow rate wastewater treatments)



รูปที่ 2.2 แผนภาพการจำลองระบบบัดน้ำเสียในการศึกษาของ Hein et.al. (1999)



รูปที่ 2.3 แผนภาพการจำลองระบบบัดน้ำเสียในการศึกษาของ Mai et.al. (2004)



รูปที่ 2.4 แผนภาพระบบบัดน้ำเสียของบริษัท เจนอร์คสตาร์ช จำกัด
และบริษัท สีมาอินเตอร์ โปรดักต์ จำกัด

2.4 ระบบ Downflow Hanging Sponge (DHS)

ระบบ Downflow Hanging Sponge (DHS) เป็นระบบบำบัดน้ำเสียที่ทำการศึกษาเพื่อเป็นระบบบำบัดขึ้นหลังให้กับระบบ UASB โดยการพัฒนาของกลุ่มนักวิจัยชาวญี่ปุ่นแห่ง Nagaoka University of Technology มานานกว่า 20 ปี ในการบำบัดน้ำเสียชุมชน (Agrawal et. al., 1997; Araki et. al., 1999; Chuang et. al., 2007; Machdar et. al., 1997; Machdar et. al., 2000; Tandurkar et. al., 2005; Tandurkar et. al., 2006a; Tawfik et. al., 2006a; Tawfik et. al., 2006b) และในอุดสาหกรรมฟอกซ์ลอน (Ohashi et. al., 2006) ระบบ Down-flow Hanging Sponge (DHS) เป็นระบบน้ำเสียทางชีวภาพแบบใช้อกซิเจน ที่ไม่ต้องการพลังงานเพื่อการเติมอากาศมีหลักการคล้ายกับ Trickling filter แต่ใช้ฟองน้ำเป็นตัวกลางในชั้นกรอง (Polyurethane foam media) ซึ่งตัวกลางฟองน้ำมีช่องว่าง (void space) มากกว่า 90% ทำให้สามารถถักกักอ๊อกซิเจนไว้ในระบบ ได้มากกว่าตัวกลาง

ในระบบ Trickling filter ทั่วไป และสามารถย่อยตัดกอนส่วนเกินในระบบได้เป็นอย่างดีทำให้ระยะเวลาในการกักตัดกอน (SRT) ค่อนข้างนาน การเติมอากาศของระบบ DHS เกิดจากการที่น้ำไหลผ่านตัวกลางฟองน้ำซึ่งลอยอยู่ในอากาศ ทำให้น้ำเกิดกระบวนการการระบายตัวและมีการถ่ายเทมวลของออกซิเจนลงสู่น้ำได้ จึงทำให้เกิดการเติมอากาศโดยไม่ต้องใช้พลังงาน (Tandukar, 2006a) ระบบ DHS มีพื้นที่การเกิดปฏิกิริยา 2 บริเวณคือ (i) บริเวณที่มีออกซิเจน (aerobic zone) คือด้านนอกของตัวฟองน้ำและส่วนที่ลึกลงไปประมาณ 0.75 เซนติเมตร เป็นบริเวณที่แบคทีเรียกลุ่ม aerobic heterotrophs สามารถเจริญเติบโตได้ในบริเวณนี้และ (ii) บริเวณที่เป็นแบบกึ่งมีออกซิเจน (anoxic zone) คือบริเวณที่ลึกจากผิวด้านนอกของตัวกลางมากกว่า 0.75 เซนติเมตร เป็นบริเวณที่ facultative bacteria สามารถเจริญเติบโตได้และสามารถกำจัดในไตรทและในเตรทในกระบวนการ denitrification จึงทำให้ระบบ DHS มีประสิทธิภาพในการกำจัดสารอินทรีย์และในโตรเจนด้วยกระบวนการ Nitrification-Denitrification (Araki et. al., 1999)

2.4.1 ชนิดของถังปฏิกิริณ์ DHS

ระบบ DHS มีการศึกษาและพัฒนาฐานรูปแบบของถังปฏิกิริณ์ DHS เพื่อให้เกิดการพัฒนาประสิทธิภาพในการกำจัดสารอินทรีย์และในโตรเจน โดยจากการศึกษาที่ผ่านพ้นการพัฒนาฐานรูปแบบของระบบ DHS ดังรายละเอียดต่อไปนี้

2.4.1.1 Cube Type Reactor

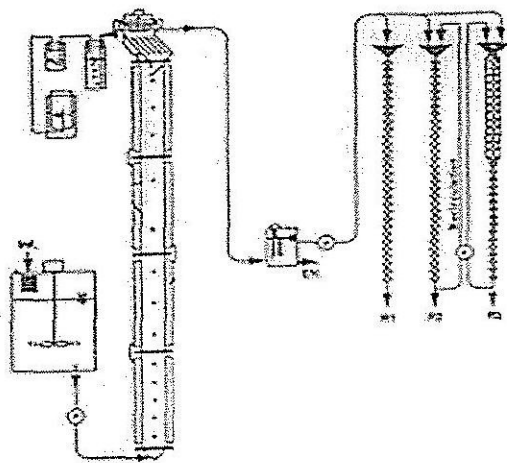
การศึกษาของระบบ DHS รูปแบบแรก คือ cube type reactor โดย Agrawal et. al. (1997) เป็นการศึกษาในรูปแบบของ laboratory scale ตัวกลางฟองน้ำรูปทรงลูกบาศก์ขนาด $1.5 \times 1.5 \times 1.5$ เซนติเมตรห้อยติดกันเป็นมุนทแยกตามแนวตั้งดังแสดงในรูปที่ 2.5

2.4.1.2 Curtain Type Reactor

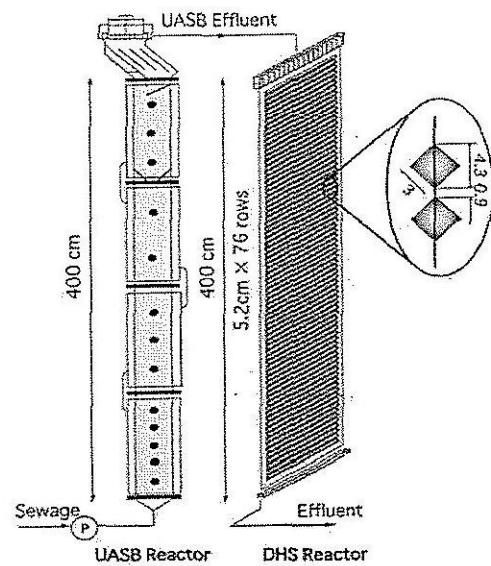
ถังปฏิกิริณ์ DHS ชนิดที่สอง คือ curtain type มีลักษณะคล้ายผ้าม่านหรือผู้ลี้ซึ่งทำการศึกษาโดย Mechdar et. al. (2000) และ Tandukar et. al. (2006a) ตัวกลางฟองน้ำมีรูปร่างแบบปริซึมสี่เหลี่ยมขนาด $3 \times 3 \times 75$ เซนติเมตรห้อยติดกันเป็นมุนทแยกตามแนวตั้งดังแสดงในรูปที่ 2.6 ถังปฏิกิริณ์แบบ curtain type มีระบบที่ก่อสร้างจริงในประเทศไทยได้แก่ โครงการคุณภาพ Yamuna Action Plan (Tandukar et. al., 2006a)

2.4.1.3 Trickling Filter Type Reactor

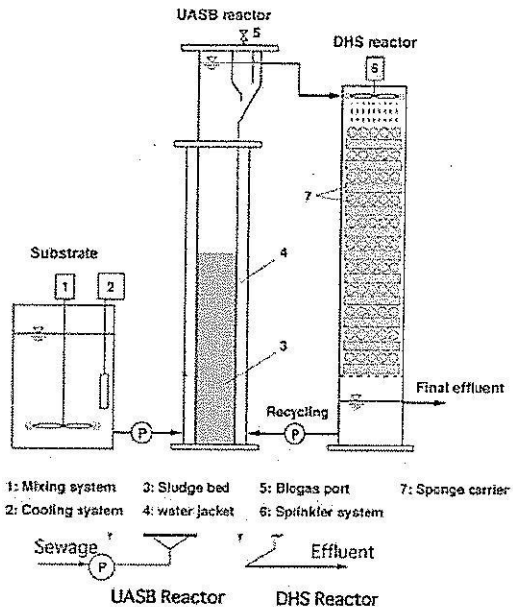
ถังปฏิกิริณ์ DHS ชนิดที่สองคือ trickling filter type reactor มีลักษณะคล้าย trickling filter ซึ่งทำการศึกษาโดย Tandukar et. al. (2005) และ Tandukar et. al. (2006b) ใช้ตัวกลางฟองน้ำแบบเส้นขนาด $2.5 \times 2.5 \times 50$ เซนติเมตร วางสามลับกันในแต่ละชั้นดังแสดงในรูปที่ 2.7



រូប 2.5 រោប់ DHS ឃុំ cube type



រូប 2.6 រោប់ DHS ឃុំ curtain type



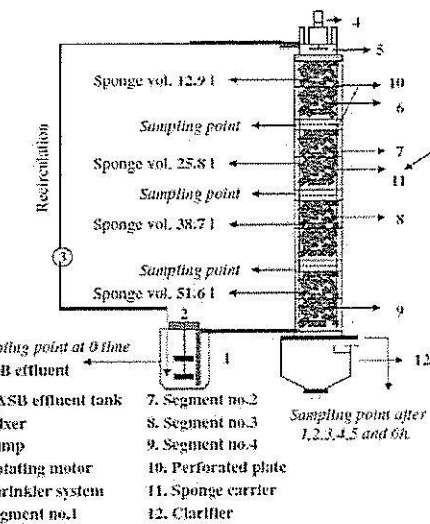
รูปที่ 2.7 ระบบ DHS แบบ trickling filter type

2.4.1.4 Random Type Reactor

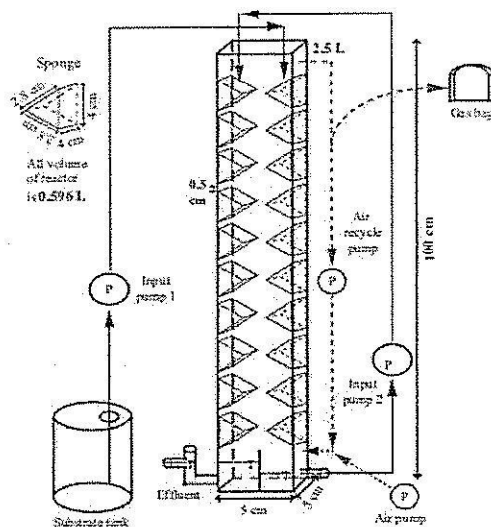
ระบบ DHS แบบ random type ถูกออกแบบขึ้นเพื่อให้ง่ายในการก่อสร้างระบบ และเหมาะสมกับการใช้งานจริงมากขึ้น ในการศึกษาของ Tawfik et. al. (2006a) และ Tawfik et. al. (2006b) ใช้ตัวกลางฟองน้ำมีรูปทรงกรวยกว้าง 2.4 เซนติเมตร × เส้นผ่านศูนย์กลาง 2.2 เซนติเมตรและมีความสูงพลาสติกวัสดุเป็น polypropylene หุ้มเพื่อสร้างความแข็งแรงและป้องกันการยุบตัวของฟองน้ำ ตัวกลางฟองน้ำถูกบรรจุในถังปฏิกรณ์ DHS แบบเติมปกติเหมือนกับตัวกลางใน biofilter ทั่วไปทำให้เกิดการกระจายตัวกลางโดยการวางเรียงต่ำบันด้านแบบสุ่ม (random type) ในถังปฏิกรณ์ DHS ดังแสดงในรูปที่ 2.8

2.4.1.5 Closed DHS Reactor

ระบบ DHS แบบ closed type ถูกสร้างขึ้นโดยมีวัตถุประสงค์เพื่อให้เกิดกระบวนการ partial nitrification ในระบบ DHS เป็นระบบปิดและมีการใช้พลังงานในการเติมอากาศจากภายนอกแบบกะเพื่อให้เกิดสภาพ aerobic แบบไม่สมบูรณ์และเกิดปฏิกิริยา nitrification บางส่วน ได้สารผลิตภัณฑ์กือในไทรทเพื่อเป็นสารตั้งต้นร่วมกับแอมโมเนียมในกระบวนการ anaerobic ammonium oxidation (ANAMMOX) ตัวกลางฟองน้ำรูปทรงปริซึมสามเหลี่ยมขนาด $2.8 \times 2.8 \times 4$ เซนติเมตรติดตั้งระบบแสดงดังรูปที่ 2.9



รูปที่ 2.8 ระบบ DHS แบบ random type



รูปที่ 2.9 ระบบ DHS แบบ closed type

2.4.2 การศึกษาที่ผ่านมาของระบบ DHS

จากการศึกษาและพัฒนาประสิทธิภาพของระบบ DHS มานานกว่า 20 ปี พบรates ที่สูง และสภาวะความคุณในการเดินระบบ (operating conditions) โดยสรุปแสดงในตารางที่ 2.5 ซึ่ง การศึกษาแรกของระบบ DHS คือชนิด cube type reactor โดย Machdar et. al. (1997) เป็นการศึกษาใน laboratory scale ทำการเดินระบบเป็นระยะเวลา 6 เดือนเพื่อบำนัดค่าเสียชุมชน พบร่วมระบบ

UASB-DHS มีประสิทธิภาพการกำจัด TCOD 94% และ SCOD 81% ส่วนค่า SS และ TBOD ได้เกือบ 100 % ที่ระยะเวลา ก็เก็บของทั้งสองระบบรวมเท่ากัน 8.3 ชั่วโมง (UASB 7 ชั่วโมง; DHS 1.3 ชั่วโมง) และประสิทธิภาพการกำจัดแอมโมเนียในไตรเจน 73-78% ด้วยกระบวนการ nitrification หากความสำเร็จในการศึกษาของ Mechdar et. al. (1997) ทำให้ระบบ DHS ได้รับความสนใจในการพัฒนาให้เป็นระบบบำบัดน้ำเสียขั้นหลังให้กับระบบ UASB เพื่อกำจัดสารอินทรีย์และไนโตรเจนในน้ำเสียชุมชน อีกทั้งในการศึกษาของ Araki et. al. (1999) ทำการศึกษาเพื่อยืนยันประสิทธิภาพการกำจัดไนโตรเจนโดยการประยุกต์ใช้เทคนิค Fluorescence In-Situ Hybridization (FISH) เพื่อศึกษาอัตราส่วน *Nitrosomonas* และ *Nitrobacter* กับเซลล์ทั้งหมด พบรดัชนี้ส่วนของ *Nitrosomonas* และ *Nitrobacter* เท่ากับ 1.40% และ 0.18% ตามลำดับ ซึ่งการตรวจสอบความเข้มข้นของเซลล์ nitrifying bacteria เป็นการยืนยันถึงความสามารถและกลไกในการออกซิไดซ์แอมโมเนียและออกซิไดซ์ไนโตรเจนในไตรเจนในระบบ DHS ว่าเกิดเนื่องจากปฏิกิริยา nitrification

ในยุคที่สองของการศึกษาเป็นการพัฒนาระบบ DHS คือชนิด curtain type ใน การศึกษาของ Mechadar et. al. (2000) เป็นการศึกษาประสิทธิภาพของระบบ DHS โดยการเดินระบบเป็นระยะเวลา 550 วันพบว่าระบบ UASB-DHS มีประสิทธิภาพในการกำจัด TBOD, TCOD และ SS จากน้ำเสียชุมชนเท่ากับ 94-97%, 81-84% และ 63-79% ตามลำดับ และประสิทธิภาพการกำจัด แอมโมเนียในไตรเจนเท่ากับ 52-61% ที่ระยะเวลา ก็เก็บรวมเท่ากัน 8 ชั่วโมง (UASB 6 ชั่วโมง; DHS 2 ชั่วโมง) แต่อย่างไรก็ตามพบประสิทธิภาพการกำจัดไนโตรเจนทั้งหมดเพียง 25-31% เท่านั้น ซึ่งอาจเนื่องจากเกิดการขาดแคลนสารอินทรีย์ในกระบวนการ denitrification ใน การศึกษาของ Uemura et. al. (2002) ทำการศึกษาประสิทธิภาพการกำจัดเชื้อโรค (pathogenic removal) พบรดัชนี้ทั้งจากระบบ DHS มีค่า total coliphages, RNA coliphages และ fecal coliforms เท่ากับ 2.01 log, 2.02 log และ 2.57 log ตามลำดับ และในการศึกษาของ Tandukar et. al. (2006a) ทำการศึกษาโดยการเดินระบบ DHS ชนิด curtain type เป็นระยะเวลานานถึง 3.5 ปี ด้วยการ แบ่งเปลี่ยนค่าภาระบรรทุกอินทรีย์เป็น 3 ช่วงตามระยะเวลาโดยในทุกช่วงการศึกษาพบ ประสิทธิภาพการกำจัด TCOD 80%, TBOD 95% และ SS 70% และค่าออกซิเจนละลายน้ำในน้ำทั้ง จากระบบ DHS ประมาณ 5-7 mg/L อีกทั้งในการศึกษาของ Tandukar et. al. (2006a) ทำการศึกษา ผลกระทบของการเพิ่มค่า OLR และภาระบรรทุกทางชลศาสตร์ (HLR) แบบเฉียบพลันต่อ ประสิทธิภาพการกำจัดสารอินทรีย์และไนโตรเจนในระบบ DHS พบรดัชนี้ว่าประสิทธิภาพการเกิด nitrification ลดลงเมื่อมีการเพิ่ม OLR และ HLR แบบเฉียบพลัน แต่อย่างไรก็ตามเมื่อการเดินระบบ เก้าสู่สภาวะปกติประสิทธิภาพของระบบ DHS ก็กลับคืนอย่างรวดเร็วเช่นกัน

ในยุคที่ 3 ของการศึกษาที่เกี่ยวข้องกับระบบคือ DHS ชนิด trickling type ทำการศึกษาโดย Tandurka et. al. (2005) และ Tandurka et. al. (2006b) ทำการเดินระบบคัวระยะเวลาในการกักเก็บของระบบ UASB-DHS เท่ากับ 8 ชั่วโมง (UASB 6 ชั่วโมง; DHS 2 ชั่วโมง) โดยระบบ UASB รองรับ OLR เท่ากับ $2.15 \text{ kgCOD/m}^3\text{-d}$ และระบบ DHS รองรับ OLR $2.35 \text{ kgCOD/m}^3\text{-d}$ พบ ประสิทธิภาพการกำจัด TCOD, TBOD และการเกิดปฏิกิริยาในตริฟิเคลชั่นเท่ากับ 91%, 96% และ 28% ตามลำดับ ซึ่งประสิทธิภาพการกำจัดในโตรเจนของระบบ DHS ชนิด trickling filter ค่อนข้างต่ำกว่าระบบ DHS ชนิดอื่น

ในยุคที่ 4 ของการศึกษาที่เกี่ยวข้องกับระบบ DHS เป็นระบบ DHS ชนิด random type ซึ่งทำการศึกษาโดย Tawfik et. al. (2006a) และ Tawfik et. al. (2006b) ทำการเดินระบบเป็นระยะเวลา 6 เดือนคัวระยะเวลาในการกักเก็บของระบบ UASB-DHS เท่ากับ 10.7 ชั่วโมง (UASB 8 ชั่วโมง; DHS 2.7 ชั่วโมง) SRT 88 วัน พบประสิทธิภาพการกำจัด TCOD, TBOD และ TKN เท่ากับ 90%, 98% และ 77% ตามลำดับ ในการศึกษาของ Tawfik et. al. (2006a) ทำการศึกษาประสิทธิภาพของระบบ DHS แยกเป็น segment 1, 2, 3, 4 ตามลำดับ พบประสิทธิภาพในการกำจัดสารอินทรีย์ส่วนใหญ่เกิดใน segment 1 แต่ไม่พบการเกิดปฏิกิริยาในตริฟิเคลชั่นใน segment 1 เนื่องจากยังมีสารอินทรีย์อยู่ในปริมาณสูงทำให้ heterotroph bacteria เจริญเติบโตได้ดีจึงเกิดการยั่งยั่งการเจริญเติบโตของ nitrifying bacteria แต่อย่างไรก็ตามใน segment 2, 3, 4 สามารถเกิดปฏิกิริยาในตริฟิเคลชั่นได้เนื่องจากผลกระทบของสารอินทรีย์ใน segment 3 คังกล่าว

ในยุคที่ 5 ของการศึกษาที่เกี่ยวข้องกับระบบ DHS เป็นการศึกษาระบบ DHS ชนิด closed type ทำการศึกษาโดย Chuang et. al. (2005) ในการศึกษามีความต้องการให้เกิดกระบวนการ partial nitrification ขึ้นในระบบ DHS ซึ่งเป็นระบบแบบปิดและมีการใช้พลังงานในการเติมอากาศแบบกะเพื่อให้เกิดในไทรทในกระบวนการในตริฟิเคลชั่นไม่สมบูรณ์เพื่อเป็นสารตั้งต้นในกระบวนการ anaerobic ammonium oxidation (ANAMMOX)

2.5 การเปรียบเทียบประสิทธิภาพของระบบ DHS กับระบบบำบัดขึ้นหลังรูปแบบอื่น

การทบทวนวรรณกรรมในส่วนนี้มีวัตถุประสงค์เพื่อหาระบบบำบัดขึ้นหลังที่มีความเหมาะสมในการเป็นระบบบำบัดขึ้นหลัง (Post Treatment) ให้กับระบบบำบัดน้ำเสียแบบไร์ออกซิเจนในอุตสาหกรรมเป็นมันสำปะหลัง โดยคำนึงถึงปัจจัยที่เป็นข้อจำกัดของระบบบำบัดน้ำเสียแบบไร์ออกซิเจนรวมถึงความสามารถในการบำบัดสารอินทรีย์และไนโตรเจน ซึ่งในปัจจุบันมีการศึกษาที่เกี่ยวข้องกับระบบบำบัดคู่ร่วมระหว่างระบบบำบัดแบบไร์ออกซิเจนกับแบบใช้ออกซิเจนค่อนข้างมากทั้งในระดับการวิจัย และการใช้งานจริง ตารางที่ 2.5 2.6 และ 2.7 แสดงการเปรียบเทียบ

เชิงวิเคราะห์ระหว่างระบบ DHS และระบบบำบัดขึ้นหลังรูปแบบอื่น (Chernicharo, 2006; Tawfik et. al., 2006a; Tandurkar et. al., 2007) ซึ่งมีรายละเอียดดังต่อไปนี้

- ตารางที่ 2.5 แสดงการเปรียบเทียบสถานะการเดินระบบ DHS กับระบบบำบัดขึ้นหลังอื่นๆ ในการศึกษาที่ผ่านมาเพื่อเป็นระบบบำบัดขึ้นหลังให้กับระบบ UASB ในการบำบัดน้ำเสียชุมชน
- ตารางที่ 2.6 แสดงค่าเฉลี่ยความเข้มข้นของค่าและประสิทธิภาพการกำจัดมลพิษในน้ำเสียของระบบ DHS เปรียบเทียบกับระบบบำบัดขึ้นหลังอื่นๆ ในการบำบัดน้ำเสียชุมชน
- ตารางที่ 2.7 แสดงการเปรียบเทียบค่าใช้จ่ายในการเดินระบบและก่อสร้างระบบบำบัดน้ำเสียของระบบ DHS เปรียบเทียบกับระบบบำบัดขึ้นหลังอื่นๆ ใน การบำบัดน้ำเสียชุมชน

ตารางที่ 2.5 การเปรียบเทียบการเดินระบบ DHS กับระบบบำบัดขึ้นหลังอื่นในการบำบัดน้ำเสียชุมชน

ระบบ/การเดินระบบ	DHS	RBC	Trickling Filter
1. ภาระบรรทุกสารอินทรี ($\text{kgBOD}/\text{m}^2\text{-d}$)	$(0.6-1.4)\times 10^{-2}$	$(1.0-6.5)\times 10^{-2}$	$(0.5-1.0)\times 10^{-2}$
2. ภาระบรรทุกทางเคมีสตอร์ ($\text{m}_\text{ww}^3/\text{m}^2\text{-d}$)	30-40	4.0×10^{-2}	20-250
3. ภาระบรรทุกไนโตรเจน ($\text{kgNH}_4^+/\text{m}^2\text{-d}$)	0.5×10^{-2}	$(0.2-1.8)\times 10^{-3}$	$(0.1-0.3)\times 10^{-2}$

ที่มา: Chernicharo, (2006); Tawfik et al., (2006a); Tandurkar et al., (2006); Grady et al. (1999);

Eding et al. (2006); Al-Ahmady (2005); Demetrios et al., (2006)

ตารางที่ 2.6 คุณภาพน้ำที่ทางการระบุสำหรับแต่ละ ในการบำบัดน้ำเสียชุมชน

Systems	Average quality of effluent						Average removal efficiency							
	BOD ₅ (mg/L)	COD (mg)	TSS (mg/L)	NH ₄ -N (mg/L)	Total N (mg/L)	Total P (mg/L)	FC (log units)	BOD ₅ (%)	COD (%)	TSS (%)	NH ₄ -N (%)	Total N (%)	Total P (%)	FC (log units)
1. UASB reactor	70-100	180-270	60-100	>15	>20	>4	10 ⁶ -10 ⁷	60-75	55-70	65-80	<50	<60	<35	1-2
2. UASB + Activated Sludge	20-50	60-150	20-40	5-15	>20	>4	10 ⁶ -10 ⁷	83-93	75-88	87-93	50-85	<60	<35	1-2
3. UASB + Submerge aerated biofilter	20-50	60-150	20-40	5-15	>20	>4	10 ⁶ -10 ⁷	83-93	75-88	87-93	50-85	<60	<35	1-2
4. UASB + high rate trickling filter	20-60	70-180	20-40	>15	>20	>4	10 ⁶ -10 ⁷	83-93	73-88	87-93	<50	<60	<35	1-2
5. UASB + anaerobic filter	40-80	100-200	30-60	>15	>20	>4	10 ⁶ -10 ⁷	75-87	70-80	80-90	<50	<60	<35	1-2
6. UASB + dissolved air floatation	20-50	60-100	10-30	>20	>30	1-2	10 ⁶ -10 ⁷	83-93	83-90	90-97	<30	<30	75-88	1-2
7. UASB + polishing ponds	40-70	100-180	50-80	10-15	15-20	<4	10 ² -10 ⁴	77-87	70-83	73-83	50-65	50-65	>50	3-5
8. UASB + overland flow	30-70	90-180	20-60	10-20	>15	>4	10 ⁴ -10 ⁶	77-90	70-85	80-93	35-65	<65	<35	2-3
9. UASB + DHS system	4-30	32-92	4-32	3-15	12-24	-	<10 ⁴	94.3	89.7	94.8	59.9	55.9	-	4

แหล่ง: ปรัชญา Chernicharo (2006); Tawfik et al. (2006a) and Tandukar et al. (2007)

ตารางที่ 2.7 การประยุกต์ใช้สำหรับการศึกษาในกระบวนการบำบัดน้ำเสีย

Systems	Land requirements (m ² /inhab)	Power for aeration		Sludge volume		Cost
		Install power (W/inhab.year)	Consumed power (kWh/inhab.year)	Liquid sludge to be treated (l/inhab/year)	Dewatered sludge to be disposed of (l/inhab.year)	
1. UASB reactor	0.03-0.10	0	0	70-220	10-35	12-20
2. UASB + Activated Sludge	0.08-0.2	1.8-3.5	14-20	180-400	15-60	30-45
3. UASB + Submerge aerated biofilter	0.05-0.15	1.8-3.5	14-20	180-400	15-55	25-40
4. UASB + high rate trickling filter	0.1-0.2	0	0	180-400	15-55	25-35
5. UASB + anaerobic filter	0.05-0.15	0	0	150-300	10-50	20-30
6. UASB + dissolved air floatation	0.05-0.15	1.0-1.5	8-12	300-470	25-75	25-35
7. UASB + polishing ponds	1.5-2.5	0	0	150-250	10-35	15-30
8. UASB + overland flow	1.5-3.0	0	0	70-220	10-35	20-35
9. UASB + DHS system	0.1-0.2	0	0	12-27	1-4	25-35 ^(a)
						2.0-3.0 ^(b)

หมายเหตุ: Construction, operation and maintenance costs based Brazilian experience (basis: year 2002)

a, b were taken from the cost as same as UASB + high rate tricking filter combined wastewater treatment system

ที่มา: ปรีภูรุจิ Chernicharo (2006); Tawfik et al. (2006a) and Tandukar et al. (2007)

2.6 การใช้เชื้อร่าในการบำบัดน้ำเสีย

การศึกษาเชื้อร่าในการบำบัดน้ำเสียเริ่มประมาณปี ก.ศ. 1950-1960 ในปัจจุบันเชื้อร่าได้รับความสนใจในการบำบัดน้ำเสียก่อนข้างมาก เนื่องจากสามารถเจริญเติบโตได้ในสารตั้งต้น (substrate) ที่หลากหลายและสามารถผลิตเอนไซด์เพื่อย่อยสลายสารอินทรีย์ไม่เกลอกวนหาดใหญ่ได้ (Geust and Smith, 2002) ซึ่งตัวอย่างของการบำบัดน้ำเสียที่ใช้เชื้อร่าเป็นจุลชีพมีรายละเอียดแยกตามชนิดของน้ำเสียดังต่อไปนี้

2.6.1 ใช้ในการบำบัดตะกอน

ปัจจุบันตะกอนจากการบำบัดน้ำเสียเป็นปัญหานั่งในด้านสิ่งแวดล้อม เชื้อร่าเป็นจุลชีพ มีความสามารถในการย่อยสลายสารอินทรีย์ที่มีไม่เกลอกวนหาดใหญ่ เช่น ตะกอนชีวภาพ ได้เป็นอย่างดี ซึ่งได้รับความสนใจและพัฒนาให้เป็นจุลชีพในกระบวนการเปลี่ยนรูปทางชีวภาพ (bioconversion) หรือกระบวนการเปลี่ยนสัดส่วนของ soluble organic/insoluble organic ให้เกิดการย่อยสลาย ตะกอนและกำจัดค่า COD ที่อยู่ในรูปสารคล้าย (SCOD) อีกทั้งยังเป็นการเพิ่มนูณค่าของตะกอน เนื่องจากเชื้อร่าเป็นเซลล์โปรตีน (single cells proteins) สามารถนำมาเป็นวัตถุคิบในกระบวนการ พฤตอาหารสัตว์ได้ โดยตัวอย่างรายละเอียดของการใช้เชื้อร่าในการบำบัดตะกอนแสดงดังต่อไปนี้

- Alam et. al. (2003) ได้ทำการเลือก *Penicillium corylphilum*, *Aspergillus niger* และ *Trichoderma hazianum* และ *Phanerochate chrysosporium* พบระสีทิชีภาพการ กำจัดค่า COD ในตะกอนสูงสุดถึง 90% และลดระยะเวลาในการกรองตะกอนลดลงได้ อีกด้วยในการบำบัดเชื้อที่เพาะเลี้ยงแบบผสม (mixed cultures) ระหว่าง *Penicillium c.* และ *Aspergillus n.* อีกทั้งยังพบว่าค่า pH เป็นพารามิเตอร์ที่มีผลกระทบต่อ ประสิทธิภาพการบำบัดตะกอน
- Mannan et. al. (2005) ทำการศึกษาการย่อยตะกอนจากการบำบัด activated sludge ในการ บำบัดน้ำเสียชุมชน ด้วยเชื้อร่าแบบสีน้ำเงิน 2 ชนิด คือ *Penicillium corylphilum* และ *Aspergillus niger* การศึกษาทำภัยได้สภาวะธรรมชาติโดยไม่มี sterilized conditions ใน การศึกษาพบว่าเชื้อร่าทั้งสองชนิดสามารถเจริญเติบโตและเป็นจุลชีพเด่นในการ บำบัดตะกอนได้ภัยใน 2 วัน และพบว่า *Penicillium c.* มีประสิทธิภาพในการกำจัดค่า COD เพากับ 94.40% การกำจัดค่าความชุนในกระบวนการกรองเท่ากับ 98.95% อีกทั้ง ในการศึกษาพบว่า *Penicillium c.* มีประสิทธิภาพดีกว่า *Aspergillus n.* และการย่อย ตะกอนของเชื้อร่าเกิดได้ในสภาวะที่เป็นกรด

- Fakhru'l-Razi and Molla (2007) ทำการศึกษาการใช้เชื้อร่า *Mucor hiemalis* เพื่อบำบัดตะกอนจากระบบบำบัดน้ำเสียชุมชน พบว่าเชื้อรานินดี้มีประสิทธิภาพในการกำจัดค่า COD เท่ากับ 87% การกำจัดค่าความทุ่นเท่ากับ 99% และกำจัดค่า TSS ในกระบวนการกรองได้เท่ากับ 98%

2.6.2 การกำจัดสีที่ปนเปื้อนในน้ำเสีย

การศึกษาเชื้อร่าเพื่อกำจัดสีที่ปนเปื้อนน้ำเสียได้รับความสนใจและพัฒนาให้กลายเป็นส่วนหนึ่งระบบน้ำเสียซึ่งเพิ่มเติมจากการบำบัดสารอินทรีย์และสารอาหารจากกระบวนการการบำบัดน้ำเสียปกติ เนื่องจากสีเป็นปัญหาสำคัญในระบบบำบัดน้ำเสียเนื่องจากโครงสร้างของโมเลกุลมีขนาดใหญ่เกิดการย่อยสลายทางชีวภาพได้ยาก เนื่องจากเชื้อร่าสามารถผลิตเอนไซน์ในกลุ่ม Lactase Peroxidase และ Linin peroxidase (Tripathi et. al., 2007; Thanh and Simard, 1973) เพื่อย่อยสารอินทรีย์โมเลกุลซึ่งซ่อน (Complex organic compounds) เช่น สารแขวนลอย (suspended solids) และ Lignocellulosic substrates ได้เป็นอย่างดี (Mannan et. al., 2005; Tung et. al., 2004; Guest et. al.; 2002) โดยมีตัวอย่างรายละเอียดของการใช้เชื้อร่าในการกำจัดสีดังต่อไปนี้

- Fu and Viraraghvan (2001) เป็นการศึกษาโดยการทบทวนเอกสารที่เกี่ยวข้องกับเชื้อร่าในการกำจัดสี พบประสิทธิภาพของเชื้อร่าหลายชนิดด้วยกันที่มีความสามารถในการกำจัดสี และพบว่าประสิทธิภาพส่วนใหญ่เกิดเนื่องจากกลไกการย่อยสารประกอบเชิงซ้อนของสีโดยเซลล์เชื้อร่าที่มีชีวิตมากกว่าการเกิดกระบวนการ biosorption ที่บริเวณพื้นที่ผิวสัมผัสของเซลล์เชื้อร่าที่ตายแล้ว
- Hai et. al. (2006) การศึกษาระบบ submerged microfiltration membrane โดยใช้เชื้อร่า white-rot fungus, *Coriolus versicolor* เป็นจุลชีพในการบำบัดน้ำเสียจากอุตสาหกรรมถังห้อ พบว่าเป็นระบบที่มีเสถียรภาพและประสิทธิภาพในการกำจัดค่า TOC ได้ถึง 97% และกำจัดสีได้ถึง 99%
- Dbouib et. al. (2006); Ahmadi et. al. (2006); Eusébio et. al. (2007) ทำการศึกษาการบำบัดน้ำเสียในโรงสีมะกอก (olive mill wastewater, OMW) ซึ่งมีการปนเปื้อนของสาร phenolic compounds ทำให้สารอินทรีย์สูงและน้ำเสียจากกระบวนการสีมะกอก (olive mill) มีสีดำเข้มอีกด้วย โดยทั้งสามการศึกษาใช้ white-rot fungi ในกระบวนการบำบัดสารอินทรีย์และย่อยสลายลิกนินในน้ำเสีย OMW พบว่า white-rot fungi เป็นเชื้อร่าที่มีประสิทธิภาพในการย่อยสลายสารอินทรีย์และสีได้อย่างมีประสิทธิภาพ
- Blánquez et. al. (2007) การศึกษาระบบ fluidized bed bioreactor โดยใช้เชื้อร่า *Trametes versicolor* เป็นจุลชีพในการบำบัดน้ำเสียจากอุตสาหกรรมฟอกย้อม พบ

ประสิทธิภาพการกำจัดสี $>80\%$ ที่ค่า HRT ในช่วง 18-120 ชั่วโมง หรือคิดเป็นอัตราเร็วในการกำจัด เท่ากับ 6.73 ถึง 1.16 mg/L·h

2.6.3 การนำบัดน้ำเสียจากอุตสาหกรรมอาหาร

ในอุตสาหกรรมอาหารเชื้อราค่อนข้างมีบทบาทสำคัญทึ้งในการกำจัดน้ำเสียและกระบวนการผลิตเนื่องจากมีประสิทธิภาพในการย่อย complex polymers เช่น cellulose, hemicellulose และ lignin ซึ่งสามารถสร้างเซลล์ได้จำนวนมาก โดยปกติเชื้อราสามารถเจริญเติบโตได้ดีในสภาพที่เป็นกรด และน้ำเสียจากอุตสาหกรรมอาหารที่มีสภาพเป็นกรดเท่านั้นการใช้เชื้อราเป็นจุดชี้พหลักในการนำบัดน้ำเสียจากอุตสาหกรรมอาหารจึงทำให้ไม่สืบเปลี่ยนสารเคมีในการปรับสภาพน้ำ (Jasti et. al., 2006) โดยมีตัวอย่างรายละเอียดของการใช้เชื้อราในการนำบัดน้ำเสียจากอุตสาหกรรมอาหารดังต่อไปนี้

- Jin et. al. (1999) ทำการศึกษาการนำบัดของเสียจากอุตสาหกรรมอาหารโดยการเปลี่ยนสารอินทรีย์เหลือใช้ให้มีนูลด์ค่าโดยการย่อยสถาายน้ำเชื้อรา ซึ่งเป็นการสร้างเซลล์โปรตีน (single cell protein) ที่สามารถกลับมาใช้ประโยชน์ได้
- Tung et. al. (2004) ทำการทดลองใช้เชื้อรา *Aspergillus oryzae* ในการนำบัดน้ำเสียในอุตสาหกรรมแป้งมันสำปะหลัง การศึกษานี้ทำในระดับห้องปฏิบัติการพบว่า *Aspergillus o.* สามารถย่อยสถาายน้ำเสียจากอุตสาหกรรมแป้งสำปะหลังได้ดี และมีความสามารถในการเจริญเติบโตแบบเป็นเม็ดตะกอน (micilial growth) ได้อีกด้วย
- Jasti et. al. (2006) ทำการศึกษาการนำบัดน้ำเสียจาก corn processing โดยใช้ระบบนำบัดน้ำเสียแบบ attached growth ด้วยเชื้อรากนิด *Rhizopus oligosporus* ซึ่งเป็นการศึกษาในระดับห้องปฏิบัติการ พบระบบประสิทธิภาพการกำจัด COD สูงสุดเท่ากับ 78% ที่ HRT 5 ชั่วโมง โดยมี biomass yield เท่ากับ 0.44 gVSS/gCOD_{removed} และ biomass yield มีค่าเพิ่มขึ้นเท่ากับ 0.48 gVSS/gCOD_{removed} เมื่อลดค่า HRT ลงเท่ากับ 2.5 ชั่วโมง แต่อย่างไรก็ตามพบประสิทธิภาพการกำจัด COD ลดลงเป็น 70%

บทที่ 3

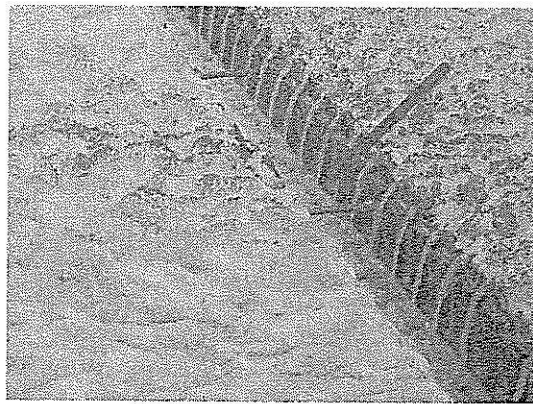
วิธีการดำเนินการวิจัย

3.1 สถานที่เก็บตัวอย่างน้ำทึบจากระบบ UASB

ตัวอย่างน้ำทึบจากระบบ UASB ที่ใช้ในการศึกษานี้เป็นน้ำทึบจากระบบ UASB ที่มีการเดินระบบบริการติดตั้ง ณ บริษัท เจนเนอร์ลสตรีช จำกัด อำเภอรณูรี จังหวัดนครราชสีมา มีเส้นผ่านศูนย์กลาง 23 m สูง 11 m ขนาดความจุ (working volume) 3,428 m³ เดินระบบด้วยอัตราการไหล 150 m³/h บริเวณด้านบนของระบบ UASB เป็นส่วนที่ใช้ในการแยกก้าชชีวภาพ ทำการเก็บตัวอย่างน้ำเสียเพื่อใช้ในการศึกษาระบบ UASB โดยทำการเก็บตัวอย่างครั้งละประมาณ 3 m³ ทุก 2-4 สัปดาห์และนำมาเก็บรักษาที่ห้องเย็นอุณหภูมิ 4°C ในมหาวิทยาลัยเทคโนโลยีสุรนารีก่อนนำมาใช้ในการศึกษาและเดินระบบ DHS รูปที่ 3.1 แสดงลักษณะของถังปฏิกิริย์ UASB และจุดเก็บน้ำทึบเพื่อใช้ในการศึกษา



(ก) ลักษณะของถังปฏิกิริย์ UASB



(ข) จุดเก็บน้ำทึบจากระบบ UASB

รูปที่ 3.1 ลักษณะของถังปฏิกิริย์ UASB และจุดเก็บน้ำเสีย

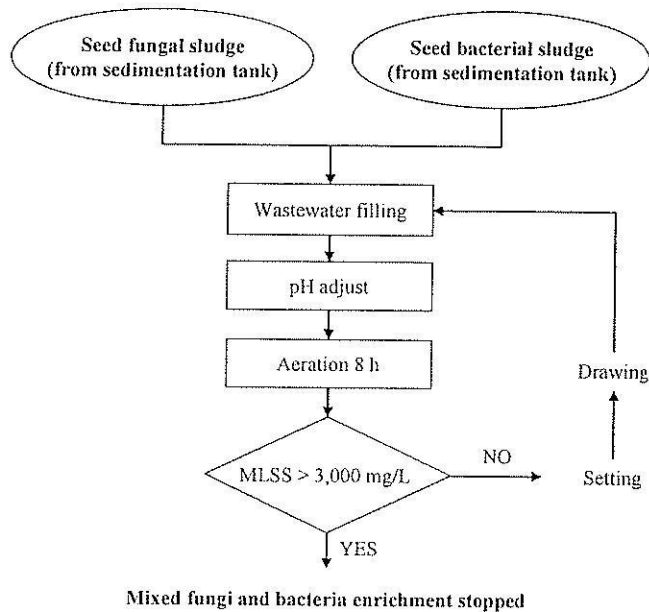
3.2 การเติ้งและปรับสภาพตะกอน (Seed and Acclimatized Sludge)

3.2.1 การเติ้งตะกอนเชื้อราและแบคทีเรีย

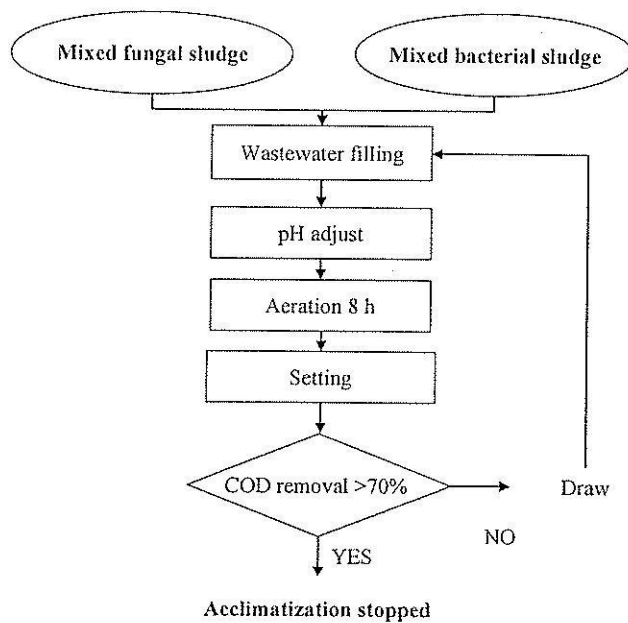
การเติ้งตะกอนเพื่อใช้ในการเดินระบบ DHS ทำการเลี้ยงจากตะกอนเริ่มต้นในก้นบ่อผึ้ง (stabilization pond) เพื่อรักษาในน้ำทึ่งจากระบบ UASB ในอุดสาหกรรมผลิตแม่น้ำมันสัมปะหลัง เนื่องจากเป็นตะกอนที่มีแนวโน้มที่จะมีเชื้อแบคทีเรียและเชื้อราผสมอยู่และสามารถย่อยสลายสารอินทรีย์ในน้ำทึ่งจากระบบ UASB ได้ดี ขั้นตอนการเติ้งตะกอนเชื้อราและแบคทีเรียเพื่อให้เพิ่มจำนวนก่อนนำมาใช้ในการเดินระบบ Fungal Downflow Hanging Sponge (FDHS) และระบบ Bacterial Downflow Hanging Sponge (BDHS) คำแนะนำการตามขั้นตอนในรูปที่ 3.2 การเติ้งตะกอน ทำการศึกษาด้วยการเติมและถ่ายน้ำเติมแบบกะ (fill-draw processes) ตัวyan้ำทึ่งจากระบบ UASB ในอุดสาหกรรมแม่น้ำมันสัมปะหลัง ตะกอนจากก้นบ่อพักน้ำทึ่งจากระบบ UASB จะถูกแยกเลี้ยงในถังปฏิกรณ์ขนาด 36 ลิตร วัสดุทำจากโพลีเอทธิลีน (PE) จำนวน 2 ถัง โดยถังที่หนึ่งทำการควบคุมค่า pH เท่ากับ 4.0 ± 0.2 เพื่อสร้างสภาพที่เหมาะสมให้เชื้อราเจริญเติบโตและป้องกันการปนเปื้อนของแบคทีเรีย (Elmaleh et. al., 1996) ส่วนในถังใบที่สองทำการควบคุมค่า pH เท่ากับ 7.0 ± 0.2 เพื่อให้เหมาะสมกับการเจริญเติบโตของเชื้อแบคทีเรีย กระบวนการถ่ายและเติมน้ำเติมแบบกะคำแนะนำการตามรูปที่ 3.2 โดยมีระยะเวลาในการเติมอากาศ (aeration time) แต่ละกะเท่ากับ 8 ชั่วโมง ระยะเวลาในการตกตะกอน (settling time) 3 ชั่วโมง หลังจากนั้นทำการปล่อยน้ำเสียส่วนที่เป็นน้ำใส่ด้านบนทึ่งประมาณ 24 ลิตร แล้วจึงเริ่มเติมน้ำเสีย (fill-draw processes) จำนวน 24 ลิตร ระยะเวลาในการถ่ายและเติมน้ำเสียประมาณ 1 ชั่วโมง (เวลาในการกักเก็บของระบบเท่ากับ 12 ชั่วโมง) หลังจากนั้นทำการเติมอากาศในกะต่อไป การศึกษาการเติ้งตะกอนของเชื้อราและแบคทีเรียทำการวิเคราะห์ค่า MLSS ในระบบ โดยการศึกษาตีนสุดเมื่อค่า MLSS ของทึ่งสองระบบเพิ่มปริมาณขึ้นถึง $3,000 \text{ mg/L}$ จากค่า MLSS เริ่มต้นเท่ากับ 500 mg/L

3.2.2 การปรับสภาพตะกอน (Acclimatized Sludge)

หลังจากเติ้งตะกอนของเชื้อราและเชื้อแบคทีเรียมีการเพิ่มจำนวนจนมีค่า MLSS $3,000 \text{ mg/L}$ แล้วจึงทำการปรับสภาพดูดซึมในน้ำทึ่งจากระบบ UASB เพื่อให้มีประสิทธิภาพในการกำจัดสารอินทรีย์ การปรับสภาพตะกอนของเชื้อราและเชื้อแบคทีเรียทำโดยการเติมและถ่ายน้ำเติมแบบกะโดยมีขั้นตอนดังแสดงรูปที่ 3.3 โดยการปรับสภาพดูดซึมตีนสุดเมื่อประสิทธิภาพการกำจัดค่าซีโอดีคลาลายน้ำ (SCOD) มากกว่า 70% และพารามิเตอร์คุณค่าคงแสดงในตารางที่ 3.1



รูปที่ 3.2 ขั้นตอนการเลี้ยงและการเพิ่มจำนวนจุลชีพเพื่อใช้ในการเดินระบบ DHS



รูปที่ 3.3 ขั้นตอนการปรับสภาพเชื้อราและแบคทีเรียในน้ำทิ้ง
จากระบบ UASB เพื่อใช้ในการเดินระบบ DHS

ตารางที่ 3.1 พารามิเตอร์ควบคุมในขั้นตอนการปรับสภาพของเชื้อราและเชื้อแบคทีเรีย

Operating condition	Fungal sludge	Bacterial sludge
COD (mg/L)	400±100	400±100
pH	4.0±0.2	7.0±0.2
Temperature (°C)	30±5	30±5
MLSS (mg/L)	3,000	3,000
BOD/COD	0.5±0.2	0.5±0.2
HRT (h)	12	12

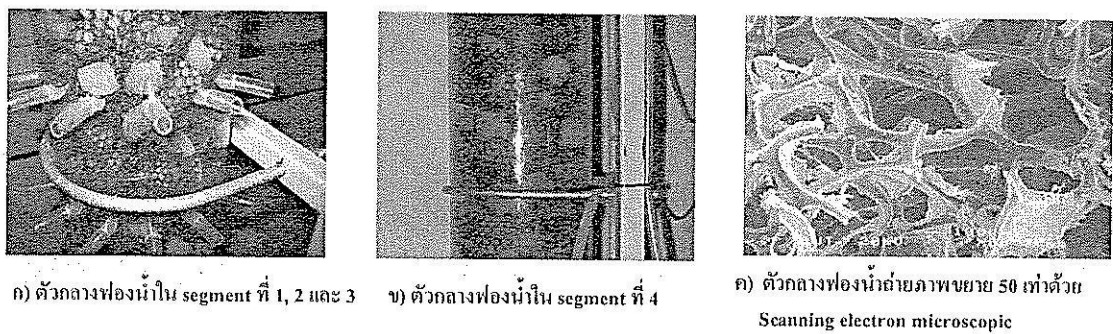
3.3 ระบบ Downflow Hanging Sponge (DHS)

3.3.1 ตัวกลางฟองน้ำ (Sponge Media Carriers)

ตัวกลางที่ใช้บรรจุอยู่ในถังกรองสำหรับให้เชิงทรรศ์จะเป็นตัวกลางฟองน้ำ (polyurethane foam) มีลักษณะและสมบัติของตัวกลางดังตารางที่ 3.2 ตัวกลางฟองน้ำถูกตัดเป็นรูปทรงสี่เหลี่ยมครึ่งตัดหักตามเส้นที่ต้องการ ตัวกลางฟองน้ำในรูปทรงสี่เหลี่ยมครึ่งตัดหักจะถูกตัดเป็น segments ขนาด 2×2×2 เซนติเมตร และใน segment 4 จะมีรูปทรงสี่เหลี่ยมขนาด 3×3×3 เซนติเมตร การเตรียมตัวกลางฟองน้ำก่อนนำไปใช้ในการเริ่มเดินระบบ FDHS และ BDHS ทำโดยการใช้ฟองน้ำเป็นตัวกลางเคลื่อนย้าย (moving bed media) เป็นระยะเวลา 1 เดือนด้วยกระบวนการ fill-draw processes ซึ่งมีขั้นตอนเหมือนกับการปรับสภาพตะกอนก่อนนำมาใช้เป็นตัวกลางในระบบ DHS

ตารางที่ 3.2 ลักษณะและสมบัติของตัวกลางฟองน้ำ (sponge media characteristics)

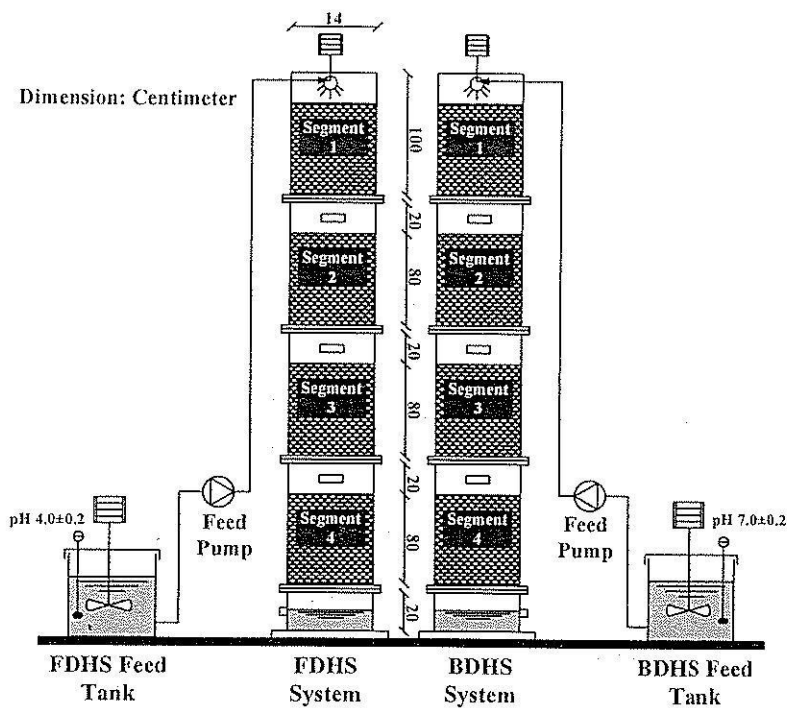
Characteristics	Dimensions
1. Specific surface area (m^2/m^3)	600
2. Void ratio	0.9
3. Pore size (mm)	0.7-1.0
4. Density (kg/m^3)	2.5
5. Sponge media loading (m^2/m^3 -reactor)	210



รูปที่ 3.4 ลักษณะของตัวกลางฟองน้ำในระบบ DHS

3.3.2 ถังปฏิกรณ์ BDHS และ FDHS

ระบบ DHS ที่ใช้คีกามาเป็นชนิด random type ประกอบด้วยสองถังปฏิกรณ์ คือ (1) ระบบ BDHS และ (2) ระบบ FDHS วัสดุทำจากห่ออะคิลิก เส้นผ่านศูนย์กลางภายใน 14 เซนติเมตร ถังปฏิกรณ์ DHS ประกอบด้วย 4 segments โดยแต่ละ segment สูง 1 เมตรหรือมีปริมาตรเท่ากับ 5.4 ลิตร และใน segment 1-3 มีการเจาะรูเป็นเส้นผ่านศูนย์กลางประมาณ 1 เซนติเมตร โดยรอบ เพื่อช่วยเพิ่มประสิทธิภาพในเดินอากาศให้กับระบบดังรายละเอียดในรูปที่ 3.4 (ก) และ 3.5



รูปที่ 3.5 การติดตั้งระบบ BDHS และ FDHS

3.4 การศึกษาลักษณะทางชลศาสตร์ (Tracer Study)

การศึกษาลักษณะทางชลศาสตร์ของถังปฏิกรณ์ DHS ด้วยสารติดตาม (Tracer study) ทำการศึกษาในระบบ DHS บรรจุตัวกลางฟองน้ำใหม่ซึ่งไม่มีจุลทรรศน์ การทดสอบลักษณะทางชลศาสตร์ของระบบ DHS ใช้น้ำเกลือ (NaCl) ความเข้มข้น 5 g/L เป็นสารติดตามที่อัตราการไหลเท่า 45, 75, 200, 300 และ 550 L/d ตามลำดับ โดยอ้างอิงตามการศึกษาของ Levenspeil (1972) ดังสมการ (3-1) ถึง (3-3) เพื่อคำนวณค่าเวลาภัยเก็บจริง (Actual HRT; T_a) และ Dispersion number ($D/\mu\text{L}$) และทำการประเมินสัดส่วนปริมาตรของตัวกลางในถังปฏิกรณ์ที่ไม่สัมผัสกับน้ำเสีย (fraction of dead volume) ตามการศึกษา Tandukar et. al. (2006b) ดังสมการที่ (3-4)

(i) Actual HRT, T_a

$$T_a = \frac{\sum_{i=0}^t t_i C_i dt_i}{\sum_{i=0}^t C_i dt_i} \quad (3-1)$$

(ii) Variance, σ^2

$$\sigma^2 = \frac{\sum_{i=0}^t t_i^2 C_i dt_i}{\sum_{i=0}^t C_i dt_i} - T_a^2 \quad (3-2)$$

(iii) Dispersion Number, $\frac{D}{uL} = d$

$$\sigma_0^2 = \frac{\sigma^2}{T_a^2} = 2d + 8d^2 \quad (3-3)$$

(iv) Fraction of Dead Volume (f)

$$f = \frac{T_t - T_a}{T_t} \quad (3-4)$$

โดยที่ C คือ ความเข้มข้นของ NaCl (mg/L)

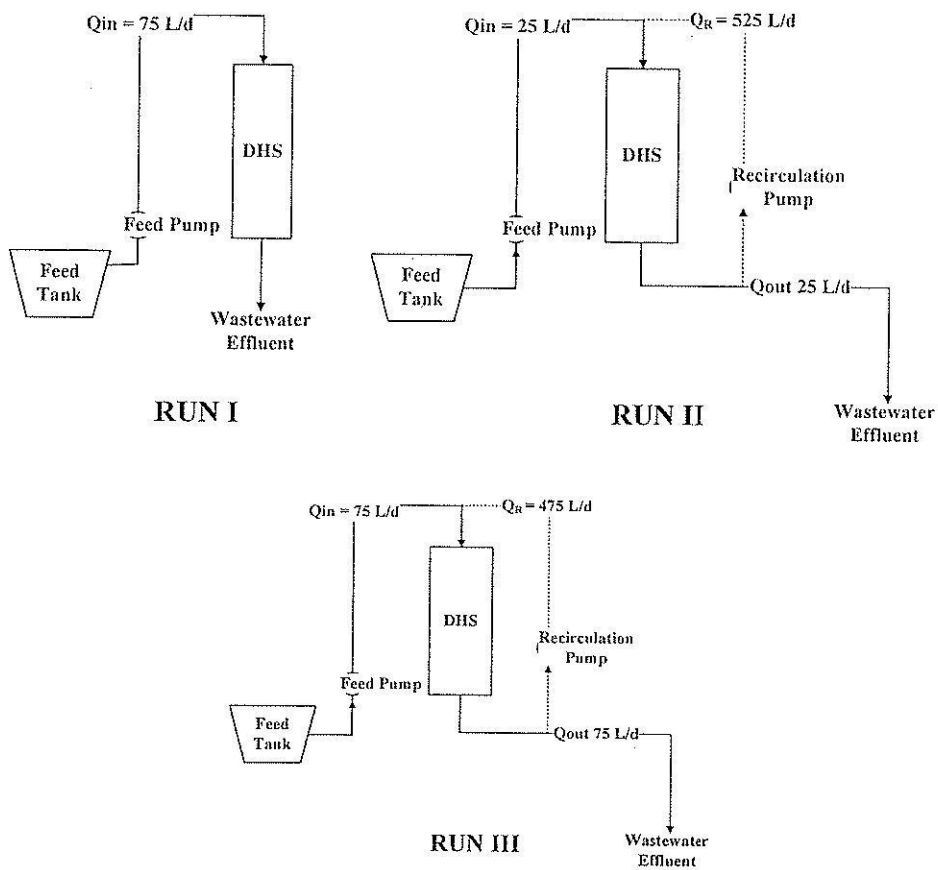
t คือ เวลา (นาที)

T_t คือ เวลาภัยเก็บตามทฤษฎี (นาที)

T_a กีอิ เวลาภักเก็บจริง (นาที)

3.5 การศึกษาผลกระบวนการนีองจากภาระบรรทุกอินทรีย์

การศึกษาประสิทธิภาพของระบบ DHS ด้วยการแปรเปลี่ยนค่าภาระบรรทุกอินทรีย์ (OLR) และภาระบรรทุกทางชลศาสตร์ (HLR) ทำโดยการแปรเปลี่ยนอัตราการไหลของน้ำเสียที่เข้าสู่ระบบ และอัตราการไหลวนกลับของน้ำที่ออกจากระบบ DHS เพื่อถังปฏิกรณ์ (recirculation flowrate) การติดตั้งการเดินระบบ DHS ใน RUN I, RUN II และ RUN III แสดงดังรูปที่ 3.6 และมีพารามิเตอร์ความคุณค้างตารางที่ 3.3 ตามลำดับ



รูปที่ 3.6 รูปแบบการเดินระบบ DHS ใน RUN I, RUN II และ RUN III

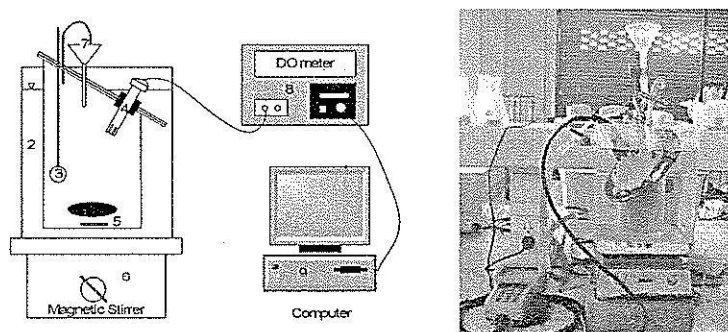
ตารางที่ 3.3 พารามิเตอร์ควบคุมในระบบ DHS

Operating conditions	RUN I	RUN II	RUN III
OLR ($\text{kgTBOD/m}^3\text{-d}$)	0.8-1.3	1.0-1.2	2.3-2.9
HLR ($\text{m}^3/\text{m}^3_{\text{Sponge}}\text{-d}$)	3.5	25.6	25.6
Flow rate (L/d)	75.0	25 (550*)	75 (475*)
HRT (h)	7.0	1.0	1.0
Downflow velocity (m/h)	0.2	1.5	1.5
Recirculation (L/d)	-	525	475

*inflow + recirculation

3.6 การศึกษาค่าคงที่ทางจลศาสตร์

การศึกษาค่าคงที่ทางจลศาสตร์ (biokinetic parameters) ของชุลชีพชนิด aerobic heterotrophs ด้วย respirometric techniques การศึกษาค่าคงที่กระบวนการ respirometrics ซึ่งเป็นการทดลองแบบงา (batch experiments) ซึ่งทำการศึกษา oxygen uptake rate (OUR) ของตะกอนในระบบ DHS ทั้ง 4 segments โดยการเปลี่ยนอัตราส่วนของ substrate/biomass (S_0/X_0) จำนวน 6 ค่า ชุดอุปกรณ์สำหรับทดลองประกอบด้วย (1) ถังปฏิกิริยาแบบปิดขนาด 0.92 ลิตร (2) DO meter พร้อม Data recorder และ (3) ชุดหมุนเวียนน้ำและ water bath เพื่อควบคุมอุณหภูมิ ดังรูปที่ 3.7 และทำการควบคุมพารามิเตอร์ดังแสดงในตารางที่ 3.4 ตามลำดับ ตะกอนที่ใช้ในการศึกษาเป็นตะกอนจากตัวกล่างฟองน้ำตามขั้นตอนซึ่งอ้างอิงตามการศึกษาของ Tawfik et. al. (2006a)



- | | | |
|----------------------|-----------------|----------------------|
| 1. Respiration cells | 2. Water jacket | 3. Air diffuser |
| 4. DO probe | 5. Magnetic bar | 6. Magnetic stirrer |
| 7. Expansion funnel | 8. DO meter | 9. Computer recorder |

รูปที่ 3.7 การติดตั้งระบบ Respirometer

ตารางที่ 3.4 พารามิเตอร์ควบคุมในการศึกษาค่าคงที่ทางจลศาสตร์

Operating conditions	Fungal culture	Bacterial culture
Initial pH	4.0±0.2	7.0±0.2
Temperature (°C)	30±0.5	30±0.5
X ₀ (mgMLVSS/L)	400	400
Substrate concentration, S ₀ (mgCOD/L)	20-320	20-320
S ₀ /X ₀	0.05-0.80	0.01-0.80
Nitrification inhibition	none	70 mg-NH ₃ -N/L ^(a)

ที่มา: ^aWichitsathian (2004)

3.7 การศึกษาลักษณะตะกอน (Sludge Characteristics)

การศึกษาลักษณะของตะกอนในระบบ DHS ทำการศึกษาภายใต้การเปลี่ยนสภาพควบคุมในการเดินระบบ RUN I, RUN II และ RUN III โดยมีรายละเอียดดังนี้

3.7.1 ความเข้มข้นของตะกอนในระบบ DHS

การศึกษาการกักตะกอนในระบบ DHS (retained in sponge media and excess sludge) ทำการศึกษาโดยการวิเคราะห์ค่า SS และ VSS ในน้ำเสียเข้าและออกจากระบบ DHS ทั้ง 4 segments และความเข้มข้นของค่า SS และ VSS ของตะกอนที่สะสมในตัวกล่องฟองน้ำโดยวิธีการแยกตะกอนจากตัวกล่องฟองน้ำตามการอ้างอิงในการศึกษาของ Tawfik et. al. (2006a)

3.7.2 การจำแนกชนิดของจุลชีพ (Microbial Identifying)

เมื่อระบบ FDHS และ BDHS เข้าสู่สภาพคงที่ของตะกอนจาก 4 segments ของทั้งสองระบบ ถูกนำมาทำการแยกจุลชีพให้เป็นเชื้อบริสุทธิ์ (purified cultures) ด้วยเทคนิคการเลี้ยงเชื้อแบบ spread plate ซึ่งมีรายละเอียดดังนี้

(ก) Fungal Sludge: ทำการแยกโดยการเลี้ยงแบบ spread plate บนอาหารเดี่ยวเชื้อ Potato Dextrose Agar (PDA) ที่มีการเติมสารต้านแบคทีเรีย (antibacterial)

(ก) Bacterial Sludge: ทำการแยกโดยการเลี้ยงแบบ spread plate บนอาหารเดี่ยงเชื้อ Tryptic-caseine Soy Agar (TSA)

หลังจากนั้นเชื้อที่แยกให้บริสุทธิ์แล้วจะถูกนำส่งวิเคราะห์ genus ที่ห้องปฏิบัติการเก็บรักษาสายพันธุ์ชุดใหญ่ หน่วยปฏิบัติการกลาง ไม่โอลิม ศูนย์พันธุ์วิเคราะห์และเทคโนโลยีชีวภาพแห่งชาติ คลองหนึ่ง จ.ปทุมธานี

3.7.3 รูปร่างของฟิล์มชีวภาพ (Biofilm Morphology)

ลักษณะและรูปร่างของฟิล์มชีวภาพที่ใช้ด็อกตินกับตัวกลางฟองน้ำทำการศึกษาด้วยเทคนิคการถ่ายภาพด้วย Scanning Electron Microscopic (SEM) โดยการตรึงตัวอย่างใน glutaraldehyde 2% (v/v) เป็นเวลา 4 ชั่วโมงเพื่อป้องกันเซลล์ญบตัว แล้วล้างตัวอย่างด้วย sodium cacodylate buffer 0.10M 3 รอบ และทำการกำจัดน้ำจากตะกอน (dehydrated sludge) โดยการล้างด้วย T-butyl alcohol ซึ่งมีการเพิ่มความเข้มข้นตามขั้นตอนดังนี้ 50, 70, 85, 95 และ 100% v/v หลังจากนั้นทำให้แห้งด้วยเครื่อง freeze dryer และเคลือบด้วยทองคำที่ 20 mA ในสภาวะไร์օอากาศ (high vacuum 2.8×10^{-3} Torr) และทำการลดอุณหภูมิให้อุณหภูมิต่ำ (-170°C) ด้วย cryo-chamber เป็นเวลา 90 วินาที แล้วนำไปถ่ายภาพด้วย SEM (Geng, et. al., 2004)

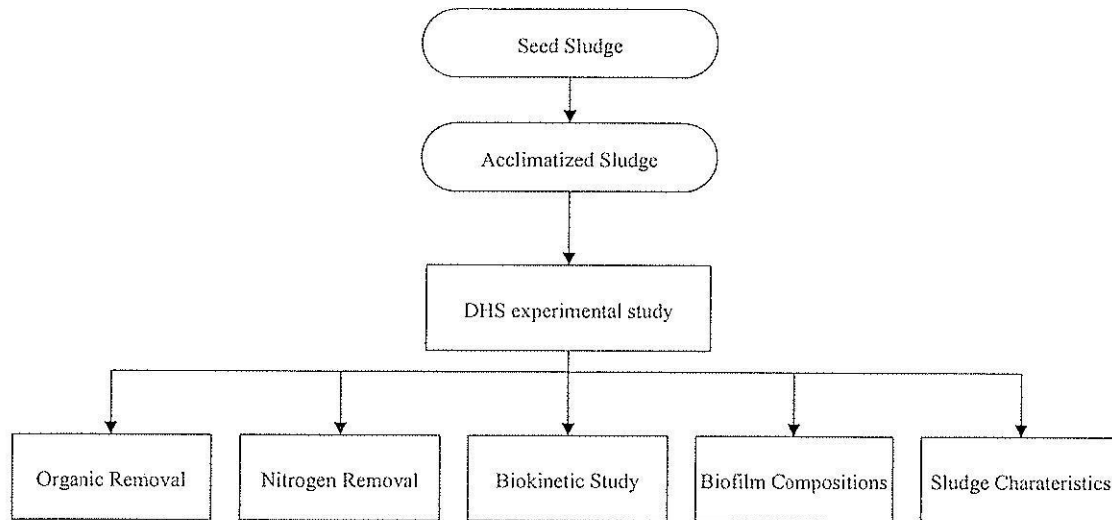
3.7.4 Extracellular Polymeric Substances (EPS)

การแยก EPS ออกจากตะกอนตามแบบด้วยความร้อน (Thermal extraction method) ตามขั้นตอนในการศึกษาของ Chang and Lee (1998) โดยมีรายละเอียดของขั้นตอนดังนี้

- การแยก Soluble EPS ออกจาก Bound EPS โดยการเหวี่ยงที่ความเร็วรอบเท่ากับ 3,200 rpm เป็นเวลา 30 นาที น้ำใสสีน้ำเงิน คือ ตัวอย่างที่เตรียมพร้อมสำหรับการวิเคราะห์ Soluble EPS ส่วนเม็ดตะกอนด้านล่างจะถูกนำไปแยก Bound EPS ในขั้นตอนต่อไป
- เม็ดตะกอนส่วนที่เหลือถูกนำมาแยก Bound EPS อีกครั้งด้วยการเติม 0.9% NaCl ในหอดอทคลองผ่านเกลียวแล้วปิดฝาให้สนิท แล้วเขย่าให้เกิดการแขวนโดยอีกครั้ง หลังจากนั้นนำตัวอย่างมาอบในตู้อบอุณหภูมิ 80°C เป็นเวลา 1 ชั่วโมง แล้วทำการเหวี่ยงที่ความเร็วรอบเท่ากับ 3,200 rpm เป็นเวลา 30 นาที น้ำใสสีน้ำเงิน คือ ตัวอย่างที่เตรียมพร้อมสำหรับการวิเคราะห์ Bound EPS

การวิเคราะห์ Soluble และ Bound EPS ทำการศึกษาโดยการวิเคราะห์ปริมาณโปรตีนด้วย Lowry method ด้วยการใช้ Bovine Serum Albumin (BSA) เป็นสารละลายมาตรฐาน (Lowry et. al., 1951) และการวิเคราะห์ปริมาณคาร์บอยเดรตด้วย Phenolic Sulfuric acid method โดยการใช้กลูโคสเป็นสารละลายมาตรฐาน (Dubois et. al., 1956)

3.8 แผนการศึกษา



รูปที่ 3.8 แผนผังการศึกษา

3.9 วิธีการวิเคราะห์ที่ใช้ในการศึกษา

ตารางที่ 3.5 พารามิเตอร์และวิธีการวิเคราะห์

Parameters	Methods	Equipments
pH	pH meter	pH meter
DO	DO meter	DO meter
COD	Dichromate reflux	Titration
BOD	Dilution method	BOD bottles
TKN	Marcro-Kjeldahl	Titration
NH ₃ -N	Nesslerization	Titration
MLSS	Dried at 103-105°C	Oven
MLVSS	Ignited at 550°C	Furnace
EPS extraction	Thermal and centrifugal method	Centrifugal equipment
Proteins	Lowry	Spectrophotometer
Carbohydrates	Phenolic-Sulfuric acid	Spectrophotometer
Microbial compositions	Microscopic	Scanning electron microscopic

บทที่ 4

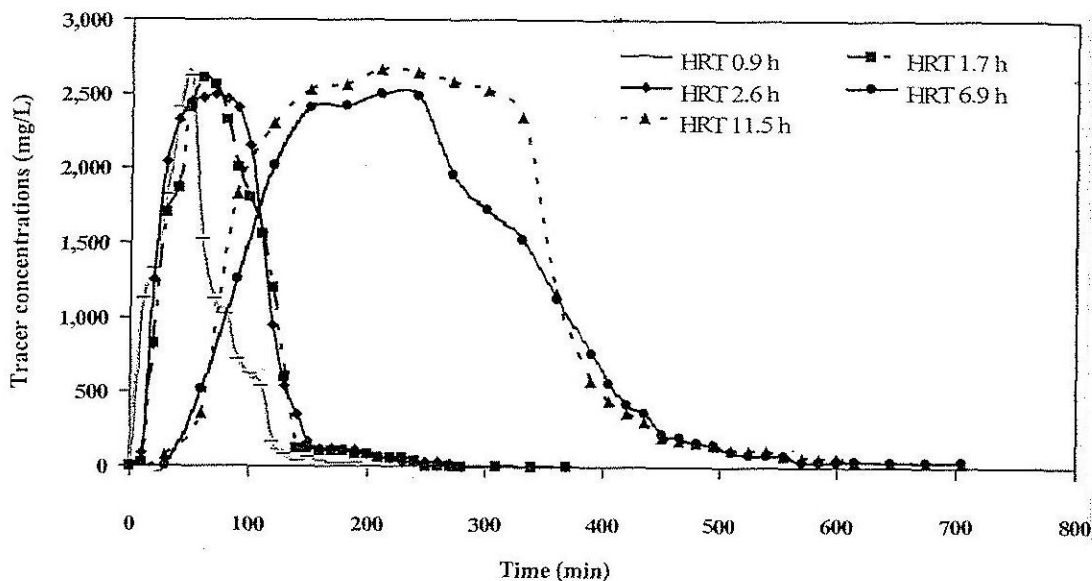
ผลการศึกษาและการวิเคราะห์ข้อมูล

4.1 ลักษณะทางชลศาสตร์ของระบบ DHS (Hydraulic Characteristics of DHS Systems)

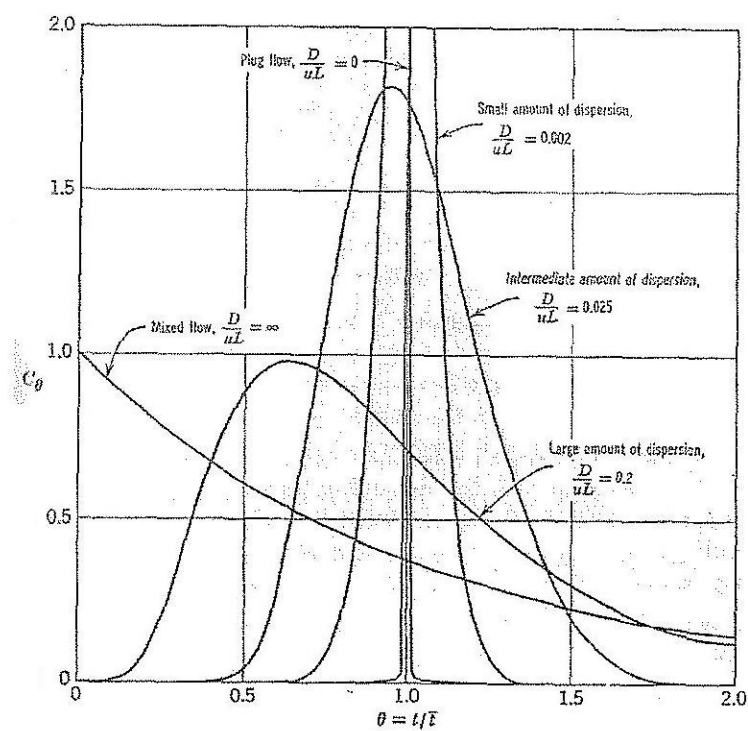
การศึกษาลักษณะทางชลศาสตร์ของระบบ DHS ด้วยสารติดตาม (Tracer Study) ทำการศึกษาในระบบ DHS ซึ่งบรรจุตัวกลางฟองน้ำที่ไม่มีจุลชีพเกะ การทดสอบลักษณะทางชลศาสตร์ของระบบ DHS ใช้น้ำเกลือ (NaCl) ความเข้มข้น 5 g/L เป็นสารติดตามที่อัตราการไหลเท่า $45, 75, 200, 300$ และ 550 litters/day ต่อวันตามลำดับ โดยอ้างอิงตามการศึกษาของ Levenspeil (1972) ซึ่งแสดงแบบจำลองการกระจายใน closed vessel ดังรูปที่ 4.1 และสมการที่ 3-1 ถึง 3-3 เพื่อคำนวณค่าเวลาภัยเงี่ยนจริง (Actual HRT, T_a) และ Dispersion Number ($D/\mu\text{L}$) พบค่า T_a เท่ากับ $3.94, 3.94, 1.25, 1.27$ และ 0.89 ชั่วโมง ค่า $D/\mu\text{L}$ เท่ากับ $0.077, 0.077, 0.105, 0.077$ และ 0.105 ที่อัตราการไหล $45, 75, 200, 300$ และ 550 litters/day (ตารางที่ 4.1) ซึ่งเมื่อพิจารณาการกระจายตัวของสารติดตาม ในแต่ละอัตราการไหลแสดงดังรูปที่ 4.2 พบแนวโน้มการกระจายตัวของสารติดตามเกิดมากขึ้นเจิงทำให้ fraction of dead volume มีค่าลดลงตามไปด้วย แต่อย่างไรก็ตามการกระจายตัวของสารติดตามในทุกอัตราการไหลมีค่า $D/\mu\text{L} < 0.2$ เมื่อเปรียบเทียบกับแบบจำลองการกระจายตัวใน closed vessel ตามการศึกษาของ Levenspeil (1972) พบแนวโน้มของการไหลในถังปฏิกิริยานี้ DHS เป็นแบบท่อ (plug flow regime) อีกทั้งในการศึกษาของ Tandukar et. al. (2006b) ระบุว่าแนวโน้มของ fraction of dead volume ในระบบ DHS มีค่าลดลงเมื่อตัวกลางฟองน้ำมีจุลชีพเกะ

ตารางที่ 4.1 ผลการศึกษาสารติดตามในระบบ DHS

Flow rate (L/d)	Theoretical HRT (h)	Actual HRT (h)	Dispersion Number ($D/\mu\text{L}$)	Fractions of Dead Volume
45	11.52	3.94	0.077	0.66
75	6.91	3.94	0.077	0.43
200	2.59	1.25	0.105	0.52
300	1.73	1.27	0.077	0.27
550	0.94	0.89	0.105	0.05



รูปที่ 4.1 ความเข้มของสารติดตามในระบบ DHS ตามระยะเวลาเก็บ (HRT)



รูปที่ 4.2 C-curve แสดงแบบจำลองการกระจายใน closed vessel (Levenspiel, 1972)

4.2 ลักษณะของน้ำเสีย (Wastewater Characteristics)

น้ำทึบจากระบบ UASB มีความเข้มข้นของสารอินทรีย์เหลือตกล้างในบริมาณค่อนข้างสูง โดยพบค่าซีโอดีทั้งหมด (TCOD) อยู่ในช่วง 594-1,494 mg/L ค่าซีโอดีคละลายน้ำ (SCOD) 294-574 mg/L ดังลักษณะของน้ำเสียซึ่งแสดงในตารางที่ 4.2 พบว่าอัตราส่วนของ TBOD/TCOD ประมาณ 0.29 และ SBOD/SCOD ประมาณ 0.50 แสดงว่าสารอินทรีย์ในรูปของ TCOD มีการย่อยสลายทางชีวภาพได้ค่อนข้างยาก แต่ในส่วนที่อยู่ในรูปของสารละลายสามารถย่อยสลายทางชีวภาพได้ดี

ตารางที่ 4.2 ลักษณะของน้ำทึบจากระบบ UASB

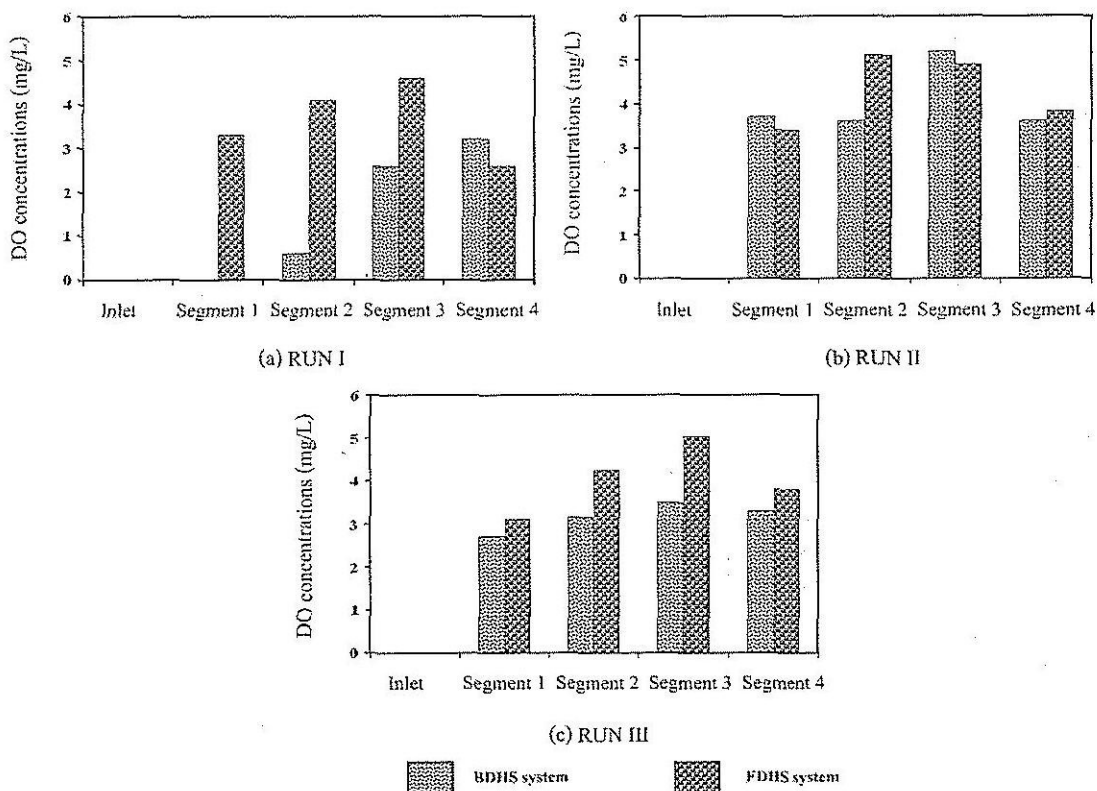
Parameters	Concentrations
1. pH	6.5-7.8
2. TSS (mg/L)	350-1,050
3. TCOD (mg/L)	594-1,494
4. SCOD (mg/L)	294-574
5. TBOD (mg/L)	227-385
6. SBOD (mg/L)	180-252
7. TKN (mg-N/L)	85-267
8. NH_4^+ -N (mg-N/L)	77-259
9. NO_3^- -N (mg-N/L)	<0.1
10. NO_2^- -N (mg-N/L)	<0.1
11. TBOD/TCOD	0.29
12. SBOD/SCOD	0.50
13. TBOD/TKN	1.74

ซึ่งการศึกษาของ Deng et. al. (2006) ระบุว่าอัตราส่วน $\text{BOD}/\text{COD} > 0.45$ น้ำเสียสามารถย่อยสลายทางชีวภาพได้ดี; $\text{BOD}/\text{COD} = 0.30-0.45$ เกิดการย่อยสลายทางชีวภาพได้ค่อนข้างดี; $\text{BOD}/\text{COD} = 0.20-0.30$ สามารถย่อยสลายทางชีวภาพได้ และถ้าต้องกว่า 0.20 น้ำเสียนั้นไม่มีความเหมาะสมในการย่อยสลายทางชีวภาพ และในการศึกษายังพบสัดส่วนของ TCOD/SCOD เฉลี่ยประมาณ 2.41 แสดงถึงแนวโน้มของสารอินทรีย์ในรูปแขวนลอย (PCOD) ค่อนข้างสูง และมีค่า TSS อยู่ในช่วง 350-1,050 mg/L อีกทั้งเมื่อพิจารณาความเข้มข้นของแอนามิเนียในไตรเจนในน้ำทึบจากระบบ

UASB ค่อนข้างสูง ซึ่งเป็นสาเหตุของปราศจากการณ์ยูโรฟิเกชั่นในแหล่งน้ำได้ และเมื่อพิจารณาสัดส่วนของ TBOD/TKN และ BOD/ $\text{NH}_4\text{-N}$ มีค่าน้อยกว่า 2.5 และ 4.5 ตามลำดับ ซึ่งความการศึกษาของ Grady et. al. (1995) ระบุว่า น้ำทึบจากระบบ UASB เพื่อบำบัดน้ำเสียในอุตสาหกรรมปั่งมันสำปะหลังจะเกิดสภาวะขาดออกเจลแห่งการรับอนุในกระบวนการ denitrification

4.3 ประสิทธิภาพการเติมอากาศของระบบ DHS

การเติมอากาศของระบบ DHS เกิดขึ้นเนื่องจากการที่น้ำเสียไหลผ่านตัวกลางฟองน้ำ ทำให้น้ำเสียเกิดการกระจายตัวเป็นการเพิ่ม surface area ของผิวน้ำและเกิดการถ่ายเทมวลของออกซิเจนลงสู่น้ำเสีย ได้มากขึ้น โดยไม่ต้องการใช้พลังงานเพื่อการเติมอากาศ จากการศึกษาการเตินระบบช่วงที่ 1 (RUN I) ประสิทธิภาพการเติมอากาศของระบบแสดงในรูปที่ 4.3 (a) พบว่า ในระบบ FDHS ความเข้มข้นของออกซิเจนละลายน้ำเท่ากับ 3.3, 4.1, 4.6 และ 2.6 mg/L ในน้ำทึบจากระบบ FDHS segment 1, 2, 3 และ 4 ตามลำดับ



รูปที่ 4.3 ประสิทธิภาพการเติมอากาศของระบบ DHS

ส่วนในระบบ BDHS พบว่ามีสภาวะขาดแคลนออกซิเจนเกิดขึ้นใน segment 1 และ 2 คือมีค่า DO ต่ำมากเท่ากับ 0 และ 0.6 mg/L ตามลำดับ และมีค่าสูงขึ้นใน segment 3 และ 4 คือมีค่าประมาณ 2.6 และ 3.2 mg/L แสดงให้เห็นถึงเชื้อรามีแนวโน้มการใช้ออกซิเจนต่อปริมาณสารอินทรีย์ที่กำจัดได้ต่ำกว่าแบบที่เรีย ดังนั้นการเดินระบบในช่วง 2 (RUN II) และ ช่วงที่ 3 (RUN III) จึงทำการ recirculation น้ำทึ่งจากระบบ DHS ทั้งสองระบบกลับเข้าสู่ระบบอีกรึ่งดังแผนภาพในรูปที่ 3.6 เพื่อให้มีปริมาณออกซิเจนละลายนเพียงพอต่อความต้องการของจุลชีพและเพิ่มแรงเนื้อนในระบบทำให้ตะกอนส่วนเกินหดหุดออกจากระบบอย่างสม่ำเสมอ พบประสิทธิภาพในการเติมอากาศของ RUN II และ RUN III ดังรูปที่ 4.3 (b, c) โดยไม่พบภาวะการขาดแคลนออกซิเจนในทุก segment ของทั้งระบบ BDHS และ FDHS

4.4 ประสิทธิภาพการกำจัดสารอินทรีย์

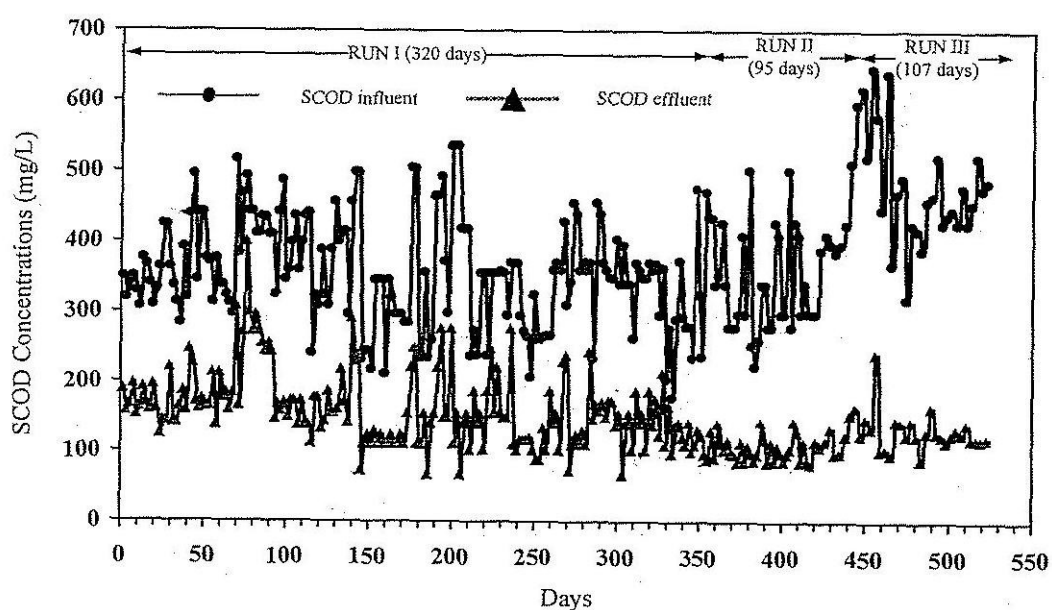
การศึกษาประสิทธิภาพของระบบ DHS ด้วยการเปลี่ยนค่ากระบวนการบรรทุกอินทรีย์ (OLR) และกระบวนการบรรทุกทางชลศาสตร์ (HLR) ดังตารางที่ 4.3 ซึ่งระบบ FDHS และ BDHS ใน การศึกษานี้ รองรับค่า OLR สูงกว่าระบบ DHS ในการศึกษาที่ผ่านมามากกว่า 5 เท่าตัวและยังสูงกว่าในระบบโปรดักซ์ (Trickling Filter) ทั่วไป การเดินระบบทั้ง 3 ช่วงการศึกษาร่วมเป็นระยะเวลาทั้งหมด 522 วันแบ่งออกเป็น RUN I เท่ากับ 320 วัน RUN II เท่ากับ 95 วัน และ RUN III เท่ากับ 107 วัน การศึกษาค่า SCOD เข้าและออกจากระบบ FDHS และ BDHS ทั่วๆ ไป 3 วันตลอดการศึกษา (522 วัน) เพื่อแสดงแนวโน้มการกำจัดสารอินทรีย์ของระบบแสดงดังรูปที่ 4.4 และ 4.5 ตามลำดับ ซึ่งพบ การเปลี่ยนแปลงของค่า SCOD ของน้ำทึ่งจากระบบ UASB ค่อนข้างสูง ความเข้มข้นของ SCOD ของน้ำออกจากระบบ BDHS และ FDHS มีการเปลี่ยนแปลงตามคุณภาพน้ำที่เข้าสู่ระบบ แต่ในระบบ FDHS ในช่วง RUN I และ RUN II กลับมีค่า SCOD ที่ออกจากระบบค่อนข้างคงที่ซึ่งมีรายละเอียดประสิทธิภาพในการกำจัดสารอินทรีย์ใน RUN I, RUN II และ RUN III ดังต่อไปนี้

RUN I: ช่วงแรกของการเดินระบบ DHS เป็นการเดินระบบด้วยกระบวนการบรรทุกอินทรีย์ (OLR) ประมาณ $1.06 \text{ kgTBOD/m}^3\text{-d}$ ระยะเวลา 320 วัน พบประสิทธิภาพการกำจัดค่าซีไอโอดีละลายน้ำของระบบ BDHS และ FDHS อยู่ในช่วงใกล้เคียงกันคือประมาณ 45-50% และประสิทธิภาพการกำจัดค่าบีไอโอดีละลายน้ำ (SBOD) อยู่ที่ 80% และ TBOD ประมาณ 85% ดังแสดงในผลการศึกษาตามตารางที่ 4.4 โดยมีประสิทธิภาพการกำจัดสารอินทรีย์ระดับความสูงที่แตกต่างกันในระบบ BDHS และ FDHS แสดงในรูปที่ 4.6a และ 4.6b ตามลำดับ ในระบบ FDHS พบว่าสารอินทรีย์ส่วนใหญ่ถูกกำจัด segment 1 (ประมาณ 70% ของ TBOD) แต่ในระบบ BDHS ค่า TBOD จะค่อนข้างถูกกำจัดและคงลงใน segment 1, 2, 3 และ 4 ตามลำดับจนมีประสิทธิภาพการกำจัด TBOD เท่ากับ 85% ใน

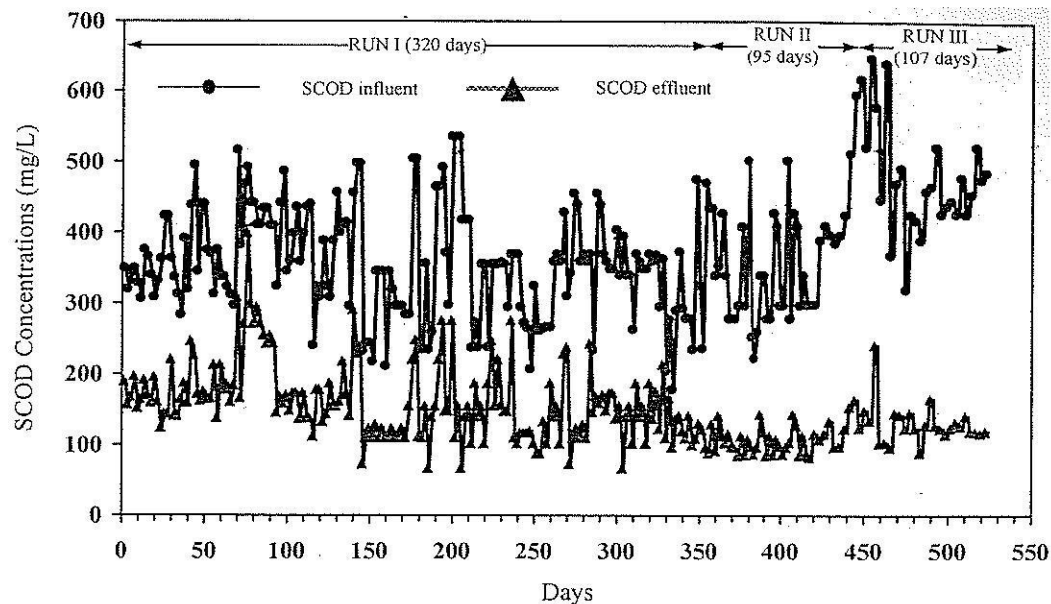
segment 4 แสดงให้เห็นแนวโน้มว่าเชื้อรากมีอัตราการย่อยสลายสารอินทรีย์ทางชีวภาพได้เร็วกว่าแบคทีเรียเนื่องจากเชื้อรากสามารถผลิตเอนไซน์ในกลุ่ม Lactase Peroxidase และ Linin peroxidase (Tripathi et. al., 2007; Thanh and Simard, 1973) เพื่อย่อยสารอินทรีย์ไม่เก沽เชิงซ้อน (complex organic compounds) เช่น สารแขวนลอย (suspended solids) และ Lignocellulosic substrates ได้ดี (Mannan et. al., 2005; Tung et. al., 2004; Guest et. al.; 2002) และเกิดสารผลิตภัณฑ์ (Soluble Microbial Products; SMPs) ที่เป็นสารอินทรีย์ไม่เก沽อย่างง่ายและคุณสมบัติของ cells ได้

ตารางที่ 4.3 ผลกระทบต่อการรับประทานสารอินทรีย์และในโตรเจนในระบบ DHS

Parameters	Segment 1		Segment 2		Segment 3		Segment 4		Overall	
	FDHS	BDHS	FDHS	BDHS	FDHS	BDHS	FDHS	BDHS	FDHS	BDHS
<u>Run I</u>										
OLR ($\text{kgTBOD}_5/\text{m}^3\text{sponge}^{-1}\text{d}$)	4.25	4.25	1.04	3.33	0.89	2.18	1.03	1.89	1.06	1.06
NLR ($\text{kg-N/m}^3\text{-d}$)	2.44	2.44	2.47	2.02	1.92	1.60	1.93	1.39	0.61	0.61
ALR ($\text{kg-N/m}^3\text{-d}$)	2.33	2.33	2.39	1.82	2.71	1.17	2.53	0.79	0.58	0.58
<u>Run II</u>										
OLR ($\text{kgTBOD}_5/\text{m}^3\text{sponge}^{-1}\text{d}$)	3.46	4.04	2.75	4.68	2.75	3.56	2.34	0.86	0.86	1.01
NLR ($\text{kg-N/m}^3\text{-d}$)	19.87	8.40	21.08	9.67	21.49	8.76	20.27	4.99	4.99	2.10
ALR ($\text{kg-N/m}^3\text{-d}$)	18.27	6.71	19.05	7.74	20.17	6.93	18.54	4.57	4.57	1.70
<u>Run III</u>										
OLR ($\text{kgTBOD}_5/\text{m}^3\text{sponge}^{-1}\text{d}$)	6.45	15.54	4.52	31.0	2.79	12.41	2.59	14.10	1.61	3.63
NLR ($\text{kg-N/m}^3\text{-d}$)	19.25	9.97	19.86	10.98	19.15	9.31	20.47	9.11	4.81	2.49
ALR ($\text{kg-N/m}^3\text{-d}$)	18.52	7.79	18.84	8.65	18.13	7.23	19.56	6.62	4.63	1.95



รูปที่ 4.4 ประสิทธิภาพการกำจัดค่า SCOD ของระบบ FDHS



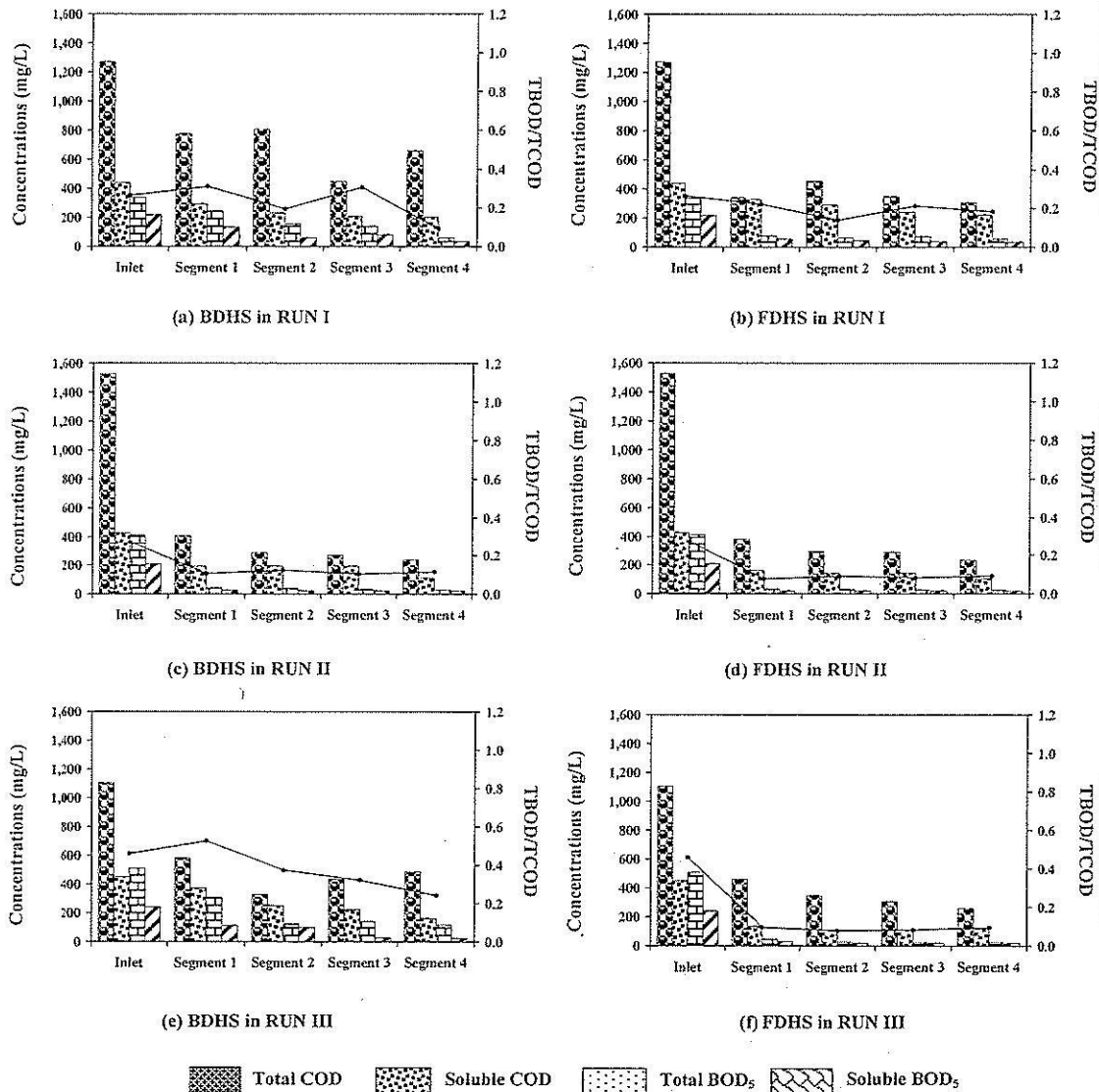
รูปที่ 4.5 ประสิทธิภาพการกำจัดค่า SCOD ของระบบ BDHS

ตารางที่ 4.4 ประสิทธิภาพของระบบ FDHS และ BDHS

Parameters	RUN I				RUN II				RUN III			
	Effluents		Efficiency (%)		Effluents		Efficiency (%)		Effluents		Efficiency (%)	
	FDHS	BDHS	FDHS	BDHS	FDHS	BDHS	FDHS	BDHS	FDHS	BDHS	FDHS	BDHS
TSS (mg/L)	65	195	91	72	70	77	90	89	82	164	88	76
TCOD (mg/L)	306	634	76	50	229	236	85	85	260	486	77	56
SCOD (mg/L)	222	201	50	54	102	111	72	76	119	162	74	64
TBOD (mg/L)	56	60	83	82	21	27	95	94	25	117	95	77
SBOD (mg/L)	34	35	85	84	16	21	92	90	18	25	93	90
Total N (mg-N/L)	178	62	-	68	197	78	-	59	191	78	-	56
NH ₄ -N (mg-N/L)	170	35	-	79	180	62	-	63	184	62	-	63
NO ₂ -N (mg-N/L)	<0.1	7.8	-	-	<0.1	0.4	-	-	<0.1	0.2	-	-
NO ₃ -N (mg-N/L)	<0.1	8.4	-	-	<0.1	7.3	-	-	<0.1	7.4	-	-

RUN II: ช่วงที่ 2 ของการเดินระบบ DHS เป็นการเดินระบบด้วยค่า OLR ในช่วง 0.86-1.01 kgTBOD/m³·d เป็นระยะเวลา 95 วัน พบประสิทธิภาพการกำจัดค่าซีโอดีคลาเรน้ำของระบบ FDHS และ BDHS ประมาณ 72% และ 74% ตามลำดับ ประสิทธิภาพการกำจัดค่าวีโอดีคลาเรน้ำ (SBOD) ประมาณ 92% และ 90% และ TBOD ประมาณ 96% และ 94% ตามลำดับ (ตารางที่ 4.4)

ซึ่งมีค่าสูงกว่า RUN I เนื่องจากค่า OLR ค่อนข้างต่ำและไม่มีสภาวะขาดแคลนออกซิเจนจึงทำให้ TBOD ส่วนใหญ่ถูกกำจัดใน segment 1 ของทั้งสองระบบ



รูปที่ 4.6 ประสิทธิภาพการกำจัดสารอินทรีย์ตามระดับความสูงของระบบ BDHS และ FDHS

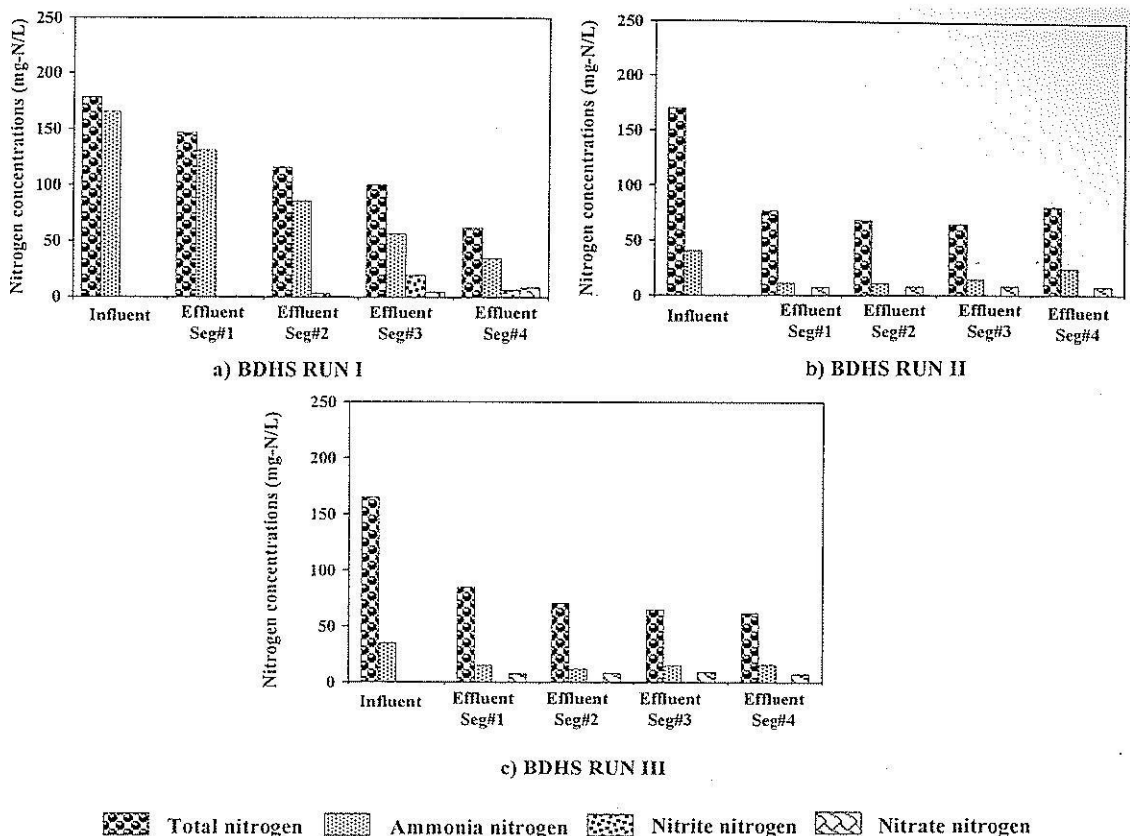
RUN III: ช่วงที่ 3 ของการเดินระบบ DHS เป็นการเดินระบบด้วยกระบวนการทุกอินทรีย์ในระบบ FDHS ประมาณ $1.60 \text{ kgTBOD/m}^3\text{-d}$ และ BDHS ประมาณ $3.63 \text{ kgTBOD/m}^3\text{-d}$ เป็นระยะเวลา 107 วัน ซึ่งความแตกต่างของกระบวนการทุกอินทรีย์ของทั้งสองระบบเกิดเนื่องจากคุณภาพ

น้ำทึ่งจากระบบ BDHS และ FDHS ที่ใช้ในการวนกลับเข้าสู่ระบบ (recirculation) มีความเข้มข้นของค่า TBOD มีค่าแตกต่างกันค่อนข้างมากคือประมาณ 117 mg/L ในน้ำทึ่งจากระบบ BDHS และในระบบ FDHS มีเพียง 25 mg/L (ตารางที่ 4.3) เนื่องจากกระบวนการบรรเทอกันทรีฟลูซึ่งเกิดต่อเนื่องของชุลชีพสูงและค่ากระบวนการบรรเทอกลศาสตร์ (HLR) ที่สูงทำให้ชุลชีพซึ่งสามารถอยู่ในระบบถูกชะลอหรือลดลงตามค่าขยะเร่งเสื่อมของน้ำเสีย ทำให้ค่า TCOD และ TBOD ที่ออกจากระบบ BDHS ก็มากตามไปด้วย แต่อย่างไรก็ตาม พนค่า TCOD และ TBOD ในน้ำทึ่งที่ออกจากระบบ FDHS มีค่าต่ำกว่าในระบบ BDHS แสดงถึงแนวโน้มของค่า sludge yield ของราเกิดได้ต่ำกว่ากว่าแบบที่เรียดและ/หรือประสิทธิภาพของเชื้อร้ายในการย่อยสลายต่อเนื่องสารอินทรีฟลูซึ่งทำให้ระบบ FDHS ไม่เกิดการอุดตันในชั้นกรองและต่อเนื่องที่ออกจากระบบมีน้อยตามไปด้วย การศึกษาใน RUN III พนประสิทธิภาพของระบบ FDHS และระบบ BDHS ในการกำจัดค่า TCOD เท่ากับ 77% และ 56%, TBOD เท่ากับ 95% และ 77%, SCOD เท่ากับ 74% และ 64% และ SBOD เท่ากับ 93% และ 90% ตามลำดับ และในระบบ FDHS พนแนวโน้มการกำจัดค่า TBOD ส่วนใหญ่เกิดขึ้นใน segment 1 ส่วนในระบบ BDHS ค่า TBOD ค่อยๆ ถูกกำจัดและลดลงใน segment 1, 2, 3 และ 4 ตามลำดับ

4.5 ประสิทธิภาพการกำจัดในໂຕເຈນ

การศึกษาประสิทธิภาพการกำจัดในໂຕເຈນของระบบ DHS ทำการศึกษาในทั้ง 3 ช่วงของการเดินระบบ DHS (RUN I, RUN II, RUN III) โดยมีความแตกต่างของค่ากระบวนการบรรเทอกันໂຕເຈນ ทั้งหมด (NLR) และกระบวนการบรรเทอก่อนไมเนียในໂຕເຈນ (ALR) ตามตารางที่ 4.3 ประสิทธิภาพการกำจัดในໂຕເຈນเกิดขึ้นในระบบ BDHS เท่านั้น ซึ่งในระบบ FDHS ไม่พนประสิทธิภาพในการกำจัดในໂຕເຈນและการเกิดไนเตรฟและไนไตรเนื่องจากระบบ FDHS มีการควบคุมค่า pH ของน้ำเสียที่เข้าสู่ระบบให้อยู่ในสภาพะที่เป็นกรด ($\text{pH} = 4.0 \pm 0.2$) เกิดการขับยั้งการเจริญเติบโตของ nitrifying bacteria โดยค่า pH ที่เหมาะสมในการเจริญเติบโตของ nitrosomas และ nitrobacter ประมาณ $\text{pH } 6.0\text{-}9.0$ และ $\text{pH } 6.3\text{-}9.4$ ตามลำดับ แต่การเกิดไนเตรฟเกิดขึ้นของเชื้อรากางชนิดสามารถเกิดได้ในสภาพะที่ค่า pH ต่ำกว่า 5 ได้ (Eding et. al., 2006) แต่อย่างไรก็ตามในการศึกษานี้ ไม่พนการเกิด nitrification ในระบบ FDHS โดยอาจเนื่องจาก (1) ระยะเวลาในการเกิดปฏิกิริยาไม่เพียงพอ (2) ชนิดของเชื้อรากันที่เด่นในระบบ FDHS ไม่สามารถเกิดปฏิกิริยา nitrification ได้เป็นต้น ซึ่งต้องทำการศึกษาในขั้นต่อไป โดยมีรายละเอียดผลการศึกษาประสิทธิภาพการกำจัดในໂຕເຈນในระบบ BDHS ในทั้ง 3 runs และคงดังต่อไปนี้

RUN I: การเดินระบบ DHS ในช่วงที่ 1 ทำการเดินระบบด้วยค่า NLR และ ALR เท่ากับ $0.61 \text{ kg-N/m}^3\text{-d}$ และ $0.58 \text{ kg-N/m}^3\text{-d}$ ตามลำดับ พนวาระบบ BDHS มีประสิทธิภาพการเกิดปฏิกิริยาในตรีฟิเคลชั่นสูงถึง 79% และประสิทธิภาพในการกำจัดไนโตรเจนทั้งหมด 68% ตามลำดับ โดยพนความเข้มข้นของค่าไนโตรเจนทั้งหมด แอมโมเนียไนโตรเจน ในเกรท และในไทรท ที่ออกจากระบบ BDHS เท่ากับ 62, 35, 7 และ 8 mg/L ตามลำดับ การเกิดปฏิกิริยาในตรีฟิเคลชั่นเกิดบริเวณด้านล่างของถังปฏิกิริยานี้คือใน segment 2, 3 และ 4 เนื่องจากการประภากลุ่มความเข้มข้นของไนโตรเจนในน้ำเสียที่ออกจากห้อง segments ดังกล่าว เนื่องจากมีการลดลงของสารอินทรีย์ในน้ำเสีย การใช้ออกซิเจนเพื่ออوكซิไซซ์สารอินทรีย์ของ heterotroph bacteria จึงลดลงตามไปด้วย ทำให้ออกซิเจนและออกซิเจนพื้นที่ในถังปฏิกิริยานี้เหลือสำหรับ autotroph bacteria ให้เจริญเติบโตและเกิดปฏิกิริยา nitrification โดยในสภาวะสารอินทรีย์สูงปกติในธรรมชาติ nitrifying bacteria จะแข่งขันกับ heterotroph bacteria ไม่ได้ (Chae et. al., 2004) อีกทั้งในการศึกษาของ Araki et. al. (1999) พนว่า nitrifying bacteria ในระบบ DHS เจริญเติบโตในบริเวณที่มีสภาวะแบบ aerobic คือที่บริเวณ 0.75 เมตรตั้งแต่ด้านนอกของคัวกกลางฟ่อน้ำ และบริเวณที่คีกลงกว่านี้จะมีสภาวะเป็น anoxic zone ซึ่งทำให้เกิดปฏิกิริยา denitrification ขึ้นได้



รูปที่ 4.7 ประสิทธิภาพการกำจัดในໂຕຣເຈນຕາມຮັດວາມສຸງຂອງຮະບນ BDHS

RUN II: ในช่วงที่ 2 เป็นการเดินระบบด้วยค่า NLR เท่ากับ $2.10 \text{ kg-N/m}^3\text{-d}$ และค่า ALR เท่ากับ $1.70 \text{ kg-N/m}^3\text{-d}$ พนประสิทธิภาพในการกำจัดในໂຕຣເຈນທີ່ໜົດໃນຮະບນ BDHS เท่ากับ 59 % และแອມໄວນៅឯងໃນໂຕຣເຈນเท่ากับ 63% ซึ่งประสิทธิภาพการกำจัดໃນໂຕຣເຈນลดลงเนื่องจากเพิ่มของค่า NLR เพื่อองจากการ recirculation ของນ້ຳເສີຍກັບເຂົ້າສູ່ຮະບນໂດຍຄວາມເຂັ້ມງັນຂອງໃນໂຕຣເຈນໃນນ້ຳທີ່ຈາກຮະບນ BDHS เท่ากับ 78 mg/L และ HLR ສູງขື້ນີ້ຈຶ່ງເກີດກະລຸ້າຕະກອນຈຸລິນທີ່ຢືນໄຫ້ຮູດອອກຈາກຮະບນມາກັບຂຶ້ນຕາມໄປດ້ວຍ ໃນກະຊວງ Tawfik et. al. (2002) ຮະນຸວ່າ nitrifying bacteria ອຸກະໂອກມາກັບค่า SS ໄດ້ເນື່ອງຈາກເຮັງເນື່ອນຂອງນ້ຳໃນສະກວາທີ່ມີຄ່າ HLR ສູງໄດ້

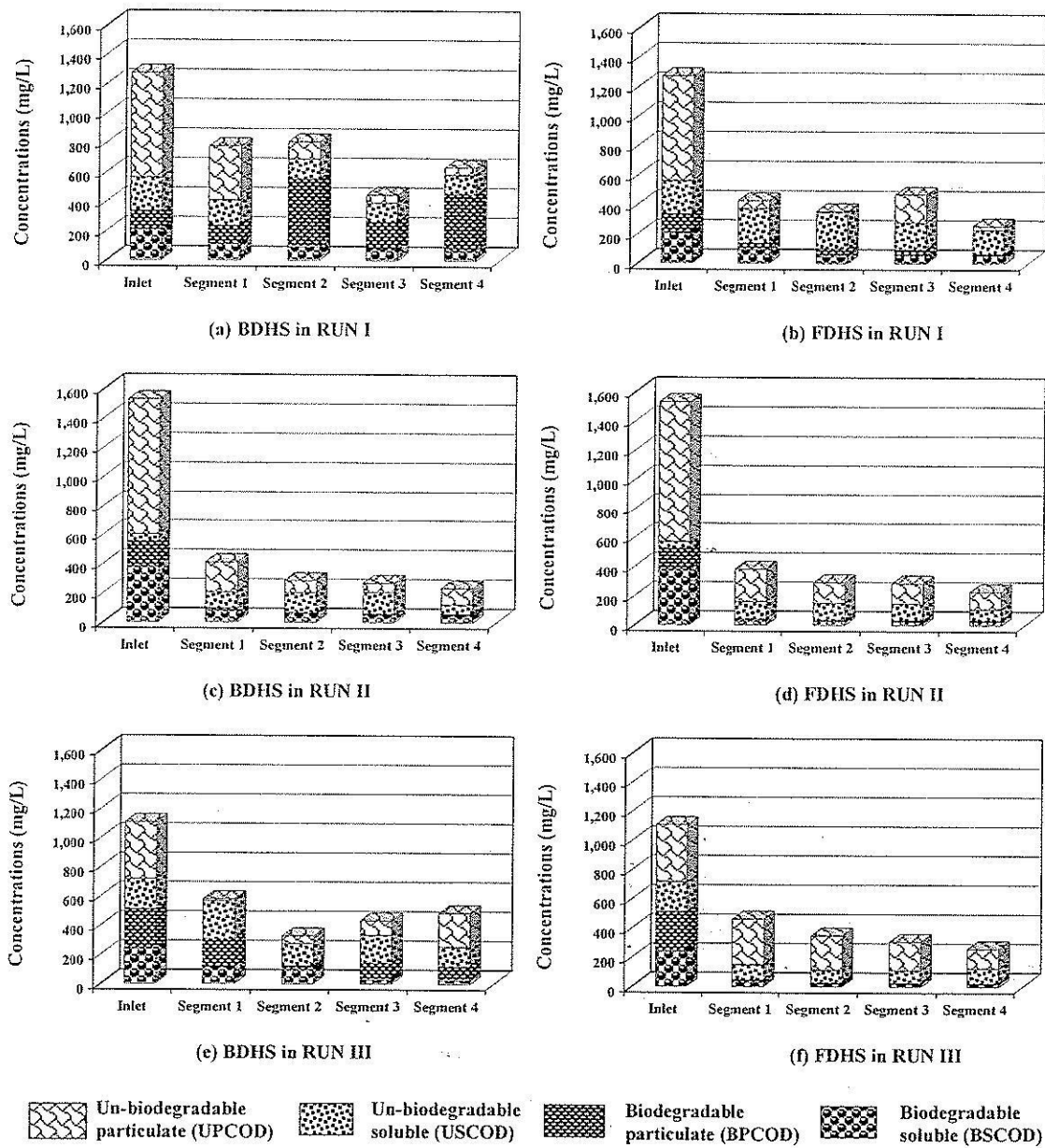
RUN III: ໃນກະຊວງໃນช่วงທີ່ 3 ຮະບນ BDHS ຮັບຄ່າ NLR ເທົ່ານັ້ນ $2.49 \text{ kg-N/m}^3\text{-d}$ ແລະ ALR ເທົ່ານັ້ນ $1.05 \text{ kg-N/m}^3\text{-d}$ ພນປະສິດທິພາພາກການກຳຈັດໃນໂຕຣເຈນທີ່ໜົດ 56% ແລະ ແອມໄວນៅឯງໃນໂຕຣເຈນ 63% ซึ่งປະສິດທິພາພາກໃນການກຳຈັດໃນໂຕຣເຈນໃນ RUN III ມີຄ່າໄກລ໌ເຄີຍກັນ RUN II ແຕ່ຕໍ່ກວ່າ RUN I ເກີດເນື່ອງຈາກຜົດກະທນຂອງຄ່າ NLR ແລະ HLR ທີ່ສູງແໜ້ອນກັນກັບກະຊວງໃນ RUN II

4.6 สัดส่วนของสารอินทรีย์ (COD fractionations) ในน้ำทึ้งจากระบบ DHS

การศึกษาสัดส่วนค่า COD ในระบบ DHS มีวัตถุประสงค์เพื่อประเมินความสามารถและกลไกในการย่อยสลายสารอินทรีย์ของเชื้อแบคทีเรียและเชื้อร้ายในระบบ DHS โดยการแบ่งสัดส่วนค่า COD ออกเป็น 4 ส่วน คือ (i) ค่า COD ที่ย่อยสลายทางชีวภาพไม่ได้และอยู่ในรูปสารแขวนลอยและคอลลอกอิค์ (UPCOD), (ii) ค่า COD ที่ย่อยสลายทางชีวภาพได้และอยู่ในรูปสารละลายน้ำ (USCOD), (iii) ค่า COD ที่ย่อยสลายทางชีวภาพได้และอยู่ในรูปสารแขวนลอยและคอลลอกอิค์หรือสารอินทรีย์ที่เกิดการย่อยสลายทางชีวภาพได้ช้า (BPCOD) และ (iv) ค่า COD ที่ย่อยสลายทางชีวภาพได้และอยู่ในรูปสารละลายน้ำหรือสารอินทรีย์ที่เกิดการย่อยสลายทางชีวภาพได้เร็ว (BSCOD) ดังผลการศึกษาในรูปที่ 4.8 ซึ่งมีรายละเอียดดังต่อไปนี้

RUN I: ผลการศึกษาสัดส่วนของค่า COD ในการเดินระบบ BDHS และ FDHS ในช่วงที่ 1 แสดงในรูปที่ 4.8 (a) และ 4.8 (b) ตามลำดับพบว่าค่า COD มีสัดส่วนที่ไม่สามารถย่อยสลายทางชีวภาพได้ประมาณ 73.6% ของค่า TCOD ทั้งหมดในน้ำทึ้งจากระบบ UASB ซึ่งคิดเป็น USCOD และ UPCOD เท่ากับ 17.9% และ 55.7% ตามลำดับ ส่วนค่า COD ที่ย่อยสลายทางชีวภาพได้มีเพียง 26.4% ของค่า TCOD เท่านั้น ซึ่งคิดเป็น BSCOD และ BPCOD เท่ากับ 16.6% และ 9.8% ของค่า TCOD ตามลำดับ จากผลการศึกษาพบว่าในน้ำทึ้งจากระบบ UASB มี inert fractions ในปริมาณสูง สารอินทรีย์ส่วนใหญ่ในน้ำเสียจึงย่อยสลายทางชีวภาพได้ไม่ดี และเมื่อพิจารณาประสิทธิภาพในการย่อยสลายพบว่า BSCOD ส่วนใหญ่จูกำจัดใน segment 1 ของระบบ BDHS และ FDHS โดยคิดเป็น 45% และ 56% ของค่า BSCOD ทั้งหมดที่สู่ระบบ DHS ตามลำดับ การย่อยสลาย BSCOD เกิดได้เร็วเนื่องจากเป็นค่า COD ที่มีโมเลกุลขนาดเล็ก ส่วนค่า BPCOD พนว่าในระบบ BDHS มีค่าเพิ่มมากขึ้นในน้ำเสียที่ออกจาก segment 2 และ 4 โดยมีค่าประมาณ 3-4 เท่าของค่า BPCOD ที่เข้าสู่ระบบ BDHS ซึ่งเกิดเนื่องจากเจริญเติบโตและสะสมของตะกอนจุลทรีพ (biomass) ในระบบมีปริมาณมากและถูกชะลุดออกจากระบบ BDHS ด้วยแรงเนื้อนองของน้ำเสีย ส่วนในระบบ FDHS พนค่า BPCOD ในน้ำทึ้งจากทุกๆ segment มีค่าต่ำกว่าค่า TCOD ประมาณ 45.2 mg/L, 56.0 mg/L, 39.4 mg/L และ 8.4 mg/L ในน้ำทึ้งจากระบบ FDHS segment 1, 2, 3 และ 4 ตามลำดับ และในช่วงที่ 2 พบว่า เชื้อร้ายมีประสิทธิภาพในการย่อยสลาย ตะกอนของเซลล์จุลทรีพที่ตายแล้วซึ่งเป็นสารอินทรีย์ที่มีโมเลกุลขนาดใหญ่ได้ดีกว่าแบคทีเรีย อีกทั้งในหลายกรณีการศึกษาพบว่าเชื้อร้ายความสามารถในการเกิด biotransformation ซึ่งสามารถเปลี่ยน suspended biomass ให้เป็น soluble polymer organic matters ทำให้เกิดการย่อยสลายทางชีวภาพได้ง่ายขึ้น (Coulibaly et. al., 2002; Alam et. al., 2003; Mannan et. al., 2005; Fakhru'l-Razi and Molla, 2007) อีกทั้งเชื้อร้ายมีโครงสร้างแบบเส้นไข่ปลาให้

สามารถขึ้นเคราะห์กับตัวกลางพองน้ำได้เป็นอย่างดี (Quek et. al., 2006; Nakamura et. al., 1999) ทำให้ระบบ FDHS สามารถรักษาสมดุลของปริมาณตะกอนในระบบได้ดี



รูปที่ 4.8 สัดส่วนของสารอินทรีย์ในระบบ DHS

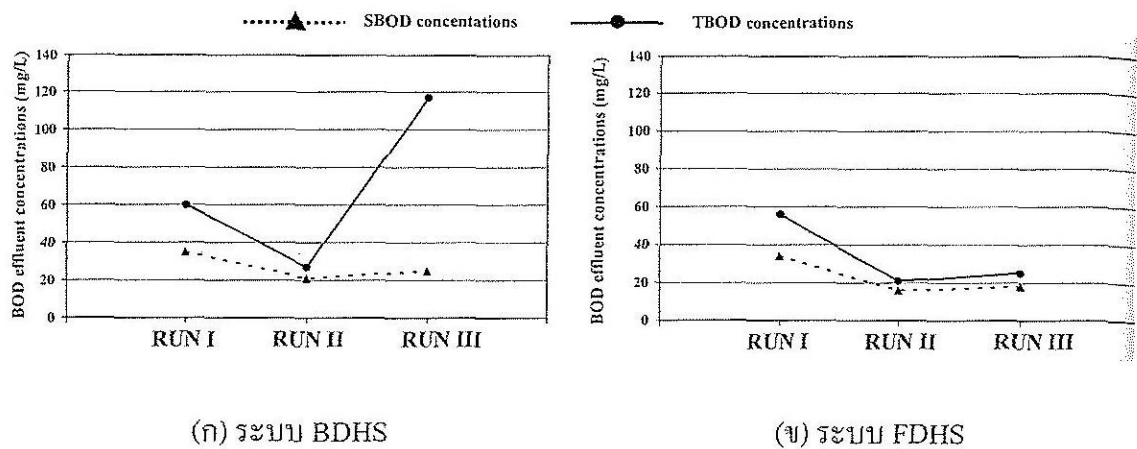
RUN II: การศึกษาสัดส่วนของค่า COD พบแนวโน้มของ inert fractions สูงในน้ำทึบจากระบบ UASB เช่นกันใน RUN I จากผลการศึกษาการย่อยสลายสารอินทรีย์ใน RUN II พบ inert fractions และสัดส่วนย่อยสลายทางชีวภาพได้มีแนวโน้มลดลงในทึ่งจากระบบ BDHS และ FDHS ดังแสดงในรูปที่ 4.8 (c) และ 4.8 (d) ซึ่งพบค่าความเข้มข้นของ UPCOD, USCOD, BPCOD และ BSCOD ในน้ำอุกอาจากระบบ BDHS เท่ากับ 115.4 mg/L, 65.6 mg/L, 10 mg/L และ 45 mg/L ตามลำดับ ส่วนน้ำทึบจากระบบ FDHS พบค่าความเข้มข้นของ UPCOD, USCOD, BPCOD และ BSCOD เท่ากับ 120.1 mg/L, 76.9 mg/L, 7 mg/L และ 25 mg/L ตามลำดับ โดยสัดส่วนค่า COD ในน้ำทึบจากระบบ BDHS และ FDHS มีค่ามิค่าใกล้เคียงกัน เนื่องจากอัตราการไหลของน้ำเสียลดลง และทำการหมุนวนน้ำทึบจากระบบ DHS กลับเข้าสู่ระบบ (recirculation) ทำให้สารอินทรีย์อยู่ในระบบนานขึ้นหรือทำให้ค่า HRT เพิ่มขึ้นจึงเป็นการเพิ่มระยะเวลาในการย่อยสลายสารอินทรีย์ที่มีไม่เลกุลขนาดใหญ่และประสิทธิภาพการย่อยสลายสารอินทรีย์ในรูปแบบต่างๆ เกิดได้ดีตามไปด้วย อีกทั้งในการศึกษาของ Confer and Logan (1991) พบความสามารถในการจับใช้สารอาหาร (uptake) ที่มีไม่เลกุลขนาดใหญ่ของของแบคทีเรียเกิดได้ขึ้นเมื่อมีการเพิ่มแรงดึงของน้ำเสียในระบบ Trickling filter

RUN III: การเดินระบบในช่วงที่ 3 เป็นการเดินระบบด้วยค่า HLR เท่ากับ RUN II และอัตราการไหลของน้ำเสียที่เข้าสู่ระบบเท่ากับ RUN I ทำให้ค่าภาระบรรทุกสารอินทรีย์ (OLR) สูงขึ้นมากกว่าทั้ง RUN I และ RUN II จากผลการศึกษาพบว่าสัดส่วนค่า COD ที่ย่อยสลายทางชีวภาพได้มีแนวโน้มลดลงในทึ่งจากระบบ BDHS และ FDHS ดังแสดงในรูปที่ 4.8 (e) และ 4.8 (f) ซึ่งพบค่าความเข้มข้นของ UPCOD, USCOD, BPCOD และ BSCOD ในน้ำอุกอาจากระบบ BDHS เท่ากับ 232.4 mg/L, 136.2 mg/L, 91.6 mg/L และ 25.4 mg/L ตามลำดับ ส่วนน้ำทึบจากระบบ FDHS พบค่าความเข้มข้นของ UPCOD, USCOD, BPCOD และ BSCOD เท่ากับ 133.8 mg/L, 101.1 mg/L, 7 mg/L และ 17.7 mg/L ตามลำดับ ผลการศึกษาสัดส่วนค่า COD ในการเดินระบบทั้ง 3 runs พบว่า ประสิทธิภาพการย่อยสลายทางชีวภาพสารอินทรีย์ที่มีไม่เลกุลขนาดเล็กและใหญ่ในระบบ FHDS เกิดได้ดีกว่าระบบ BDHS อีกทั้งยังมีสัดส่วนของสารในกระบวนการเปลี่ยนแปลงค่า OLR และ HLR อีกด้วย

4.7 ผลกระทบของการไหลเวียนกลับของน้ำทึบต่อประสิทธิภาพของระบบ DHS

การไหลเวียนกลับของน้ำทึบจากระบบ DHS มีวัตถุประสงค์หลักเพื่อหมุนเวียนออกซิเจน ละลายน้ำกลับเข้าสู่ระบบ DHS ทางด้านบนของถังปฏิกรณ์ซึ่งเป็นการลดภาวะขาดแคลนออกซิเจน บริเวณด้านบนของระบบ BDHS แต่ถ่ายไร้ความสามารถการหมุนเวียนกลับของน้ำทึบจากระบบ DHS

ส่งผลให้มีการเพิ่มขึ้นของค่าการระบบทุกอินทรีย์ (OLR) และการระบบทุกทางชลคลาสตอร์ (HLR) โดยพบว่าค่า OLR ของการเดินระบบใน RUN I ซึ่งไม่มีการหมุนเวียนกลับของน้ำทึบและ RUN II ซึ่งมีการหมุนเวียนกลับของน้ำทึบ (น้ำเสียเข้าสู่ระบบ 25 ลิตรต่อวันและน้ำทึบ ไอลวนกลับ 525 ลิตร ต่อวัน) อยู่ในช่วงใกล้เคียงกันคือประมาณ $0.86\text{-}1.06 \text{ kgTBOD/m}^3\text{-d}$ เมื่อจากในช่วง RUN II มีการลดน้ำเสียที่เข้าสู่ระบบลง (ตาราง 4.3) ทำให้ค่า HLR เพิ่มขึ้นจาก $3.5 \text{ m}^3/\text{m}^3_{\text{sponge}}\text{-d}$ ใน RUN I เป็น $25.6 \text{ m}^3/\text{m}^3_{\text{sponge}}\text{-d}$ ในช่วงการเดินระบบของ RUN II ส่วนการเดินระบบใน RUN III เป็นการเดินระบบด้วยอัตราการไอลวนน้ำเสียเข้าสู่ระบบ 75 ลิตรต่อวันและน้ำทึบ ไอลวนกลับ 475 ลิตรต่อวันทำให้ HLR มีค่าเท่ากับ RUN II แต่ค่า OLR เพิ่มขึ้นเป็น $1.61 \text{ kgTBOD/m}^3\text{-d}$ และ $3.63 \text{ kgTBOD/m}^3\text{-d}$ ในระบบ FDHS และ BDHS ตามลำดับ ซึ่งมีค่าแตกต่างกันเนื่องจากความเข้มข้นของน้ำทึบจากระบบ FDHS และ BDHS มีค่า TBOD แตกต่างกันดังตารางที่ 4.4 จากการศึกษาพบผลกระบวนการของการไอลวนเวียนกลับของน้ำทึบจากระบบ DHS ต่อประสิทธิภาพการกำจัดค่า BOD ของระบบ BDHS และ FDHS แสดงในรูปที่ 4.9 (ก) และ 4.9 (ข) พบว่าประสิทธิภาพการกำจัดค่า TBOD และ SBOD ของระบบ BDHS และ FDHS ใน RUN II มีค่าสูงกว่า RUN I ซึ่งแสดงให้เห็นถึงการเพิ่มค่า HLR ทำให้ประสิทธิภาพของระบบ DHS ทั้งสองระบบเพิ่มขึ้น โดยในการศึกษาของ Confer and Logan (1991) ได้อธิบายถึงประสิทธิภาพการไอลโตร ไลซีสและคุณค่าสารอินทรีย์ที่มีไมเลกุลขนาดใหญ่ในระบบ Trickling filter เกิดได้ด้วยเมื่อมีการเพิ่มแรงเฉือนของน้ำเสียในระบบ (shear force) และจากการยืนยันในการศึกษาของ Confer and Logan (1998) ได้ระบุถึงการไอลโตร ไลซีสใน Trickling filter เกิดได้ด้วยเมื่อมีการรีไซเคิลตะกอนที่หลุดออกจากระบบกลับเข้าสู่ระบบเนื่องจากเซลล์กลุ่มนี้มี hydrolytic enzymes อยู่อีกทั้งการหมุนวนน้ำกลับเข้าสู่ระบบใหม่เป็นการเพิ่มระยะเวลาในการย่อยสลายสารอินทรีย์ที่มีไมเลกุลขนาดใหญ่อีกด้วย แต่อย่างไรก็ตามการเดินระบบ RUN III เป็นการเพิ่มทั้ง OLR และ HLR ทำให้เกิดเพิ่มจำนวนของ heterotrophs แบคทีเรียเจริญเติบโตได้ดีในระบบ DHS ซึ่งส่งผลกระทบต่อประสิทธิภาพการกำจัด TBOD ของระบบ BDHS ซึ่งพบค่า TBOD ในน้ำทึบจากระบบค่อนข้างสูงเกิดเนื่องจากการเจริญเติบโตได้มากขึ้นของแบคทีเรียและเกิดการหลุดของฟิล์มชีวภาพออกจากกับน้ำทึบจากระบบ BDHS แต่อย่างไรก็ตามในระบบ FDHS พนสเตทีรภาพของระบบเมื่อมีการเพิ่มของ OLR และ HLR



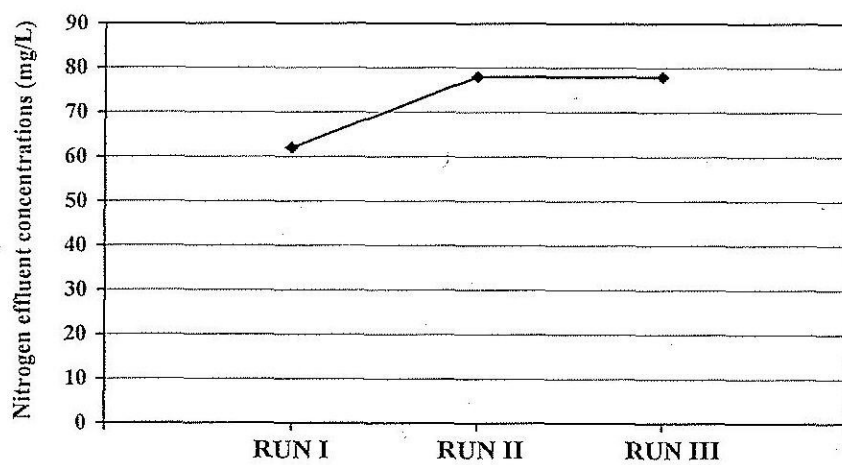
(ก) ระบบ BDHS

(ข) ระบบ FDHS

รูปที่ 4.9 ผลการทบทองการ ไอลดีวีอินกลับของน้ำทึ้งจากระบบ DHS

ต่อประสิทธิภาพการกำจัดค่า BOD

และจากผลการศึกษาการศึกษาผลกระทบของการไอลดีวีอินกลับของน้ำทึ้งจากระบบ DHS ต่อประสิทธิภาพการกำจัดในโตรเจนของระบบ BDHS ดังแสดงในรูปที่ 4.10 พบว่าการเพิ่มค่า OLR ไม่มีผลกระทบต่อประสิทธิภาพการกำจัดในโตรเจน เนื่องจาก nitrifying bacteria ส่วนใหญ่จะเจริญที่เติบโตได้ดีในส่วนที่ลึกลงไปของ biofilms (Chae et. al., 2004) และในส่วนด้านในของตัวกล่องฟองน้ำ (Araki et. al., 1999)

รูปที่ 4.10 ผลการทบทองการ ไอลดีวีอินกลับของน้ำทึ้งจากระบบ DHS
ต่อประสิทธิภาพการกำจัดค่าในโตรเจน ในระบบ BDHS

แต่เมื่อมีการเพิ่มค่า HLR (RUN I และ RUN II) พบว่าประสิทธิภาพการกำจัดในโตรเจนลดลง ซึ่งในการศึกษาของ Tandukar et. al. (2006) และ Tawfik et. al. (2002) อธิบายการเพิ่มค่า HLR ในระบบทำให้เวลาสัมผัสระหว่าง nitrifying bacteria กับ substrate ในระบบ BDHS ไม่เพียงพอและแรงลีนของน้ำเสียสามารถช่วยลดลงในคริโพล์ที่เรียวกันจากระบบ BDHS จึงทำให้ประสิทธิภาพการกำจัดในโตรเจนลดลง

4.8 ค่าคงที่ทางจลศาสตร์

การศึกษาค่าคงที่ทางจลศาสตร์ของ aerobic heterotrophs ทำการศึกษาในการเดินระบบ ในช่วงที่ 1 ผลการศึกษาแสดงในตารางที่ 4.65 พบว่าในระบบ FDHS มีค่า substrate utilization rate (r_x) และ maximum specific growth rate (μ_{max}) สูงสุดใน segment 1 ซึ่งสอดคล้องกับประสิทธิภาพ การกำจัดค่า TBOD ที่สูงสุดใน segment 1 เช่นกัน ส่วนใน segment 2, 3 และ 4 พบค่า r_x เท่ากับ 0.10, 0.09 และ 0.10 mgCOD/mgVSS-h และ μ_{max} เท่ากับ 1.60, 1.20 และ 1.60 d⁻¹ ตามลำดับ ซึ่งมีค่า ใกล้เคียงกันทั้งสาม segments แต่ค่าต่ำกว่า segment 1 ค่อนข้างมากเกิดเนื่องจากปริมาณ สารอินทรีย์ในน้ำเสียของทั้งสาม segments ค่อนข้างต่ำโดยมีความเข้มข้นของสารอินทรีย์ที่เข้าสู่ ระบบ FDHS ใน segments 1, 2, 3 และ 4 เท่ากับ 4.25, 1.04, 0.89 และ 1.03 kg-TBOD/m³-d ตามลำดับ และน้ำทึบออกจากระบบ FDHS มีค่า OLR เท่ากับ 0.61 kg-TBOD/m³-d ส่วนในระบบ BDHS พบค่า μ_{max} และ r_x สูงสุดใน segment 2 และ 4 พบค่า μ_{max} เท่ากับ 3.5 และ 3.6 d⁻¹ และ r_x เท่ากับ 0.16 และ 0.15 mgCOD/mgVSS-h ตามลำดับ ส่วนใน segment 2 พบค่า μ_{max} เท่ากับ 2.2 d⁻¹ และ r_x เท่ากับ 0.11 mgCOD/mgVSS-h และพบว่า μ_{max} และ r_x มีค่าต่ำสุดใน segment 3 คือมีค่า เท่ากับ 1.6 d⁻¹ และ 0.09 mgCOD/mgVSS-h ตามลำดับ โดยมีความพันธ์กับค่า TBOD ที่กำจัดได้ใน แต่ละ segments และค่า OLR เท่ากับ 4.25, 2.18, 2.18 และ 1.89 kg-TBOD_s/m³-d ใน segment 1, 2, 3 และ 4 ตามลำดับ

ตารางที่ 4.5 ค่าคงที่ทางจลศาสตร์ของตะกอนในระบบ DHS

Biokinetic parameters	Segment 1		Segment 2		Segment 3		Segment 4	
	BDHS	FDHS	BDHS	FDHS	BDHS	FDHS	BDHS	FDHS
μ_{max} (d ⁻¹)	2.20	3.40	3.50	1.60	1.60	1.20	3.60	1.60
r_x (mgCOD/mgVSS-h)	0.11	0.21	0.16	0.10	0.09	0.09	0.15	0.10
Y (mgVSS/mgCOD)	0.84	0.63	0.86	0.63	0.85	0.63	0.86	0.63
$\mu_{max}/Y.K_s \times 10^{-3}$ (L/mg-h)	1.99	2.35	2.09	1.12	1.57	1.53	1.74	1.30

4.9 ถักยณาของตะกอนในระบบ DHS

4.9.1 ความเข้มข้นของ Volatile Suspended Solids (VSS)

จากการศึกษาถักยณาของตะกอนในระบบ DHS โดยการศึกษาปริมาณของจุลชีพที่ถูกกักไว้ในระบบแสดงดังตารางที่ 4.6 พบว่าในระบบ FDHS ความเข้มข้นของ VSS ในระบบสูงกว่าระบบ BDHS อีกทั้งเมื่อพิจารณาในสัดส่วนของ VSS/SS ของตะกอนในระบบ BDHS และ FDHS พบค่าอยู่ในช่วง 0.66-0.85 และ 0.86-0.95 ตามลำดับ แสดงถึงแนวโน้มตะกอนในระบบ FDHS เกิดการย่อยสลายทางชีวภาพได้ดีกว่าระบบ BDHS หรือการสะสมของตะกอนอนินทรีย์ในระบบ FDHS มีน้อยกว่าระบบ BDHS และการย่อยสลาย particulate matter สามารถเกิดได้ดีกว่าชั่นกัน

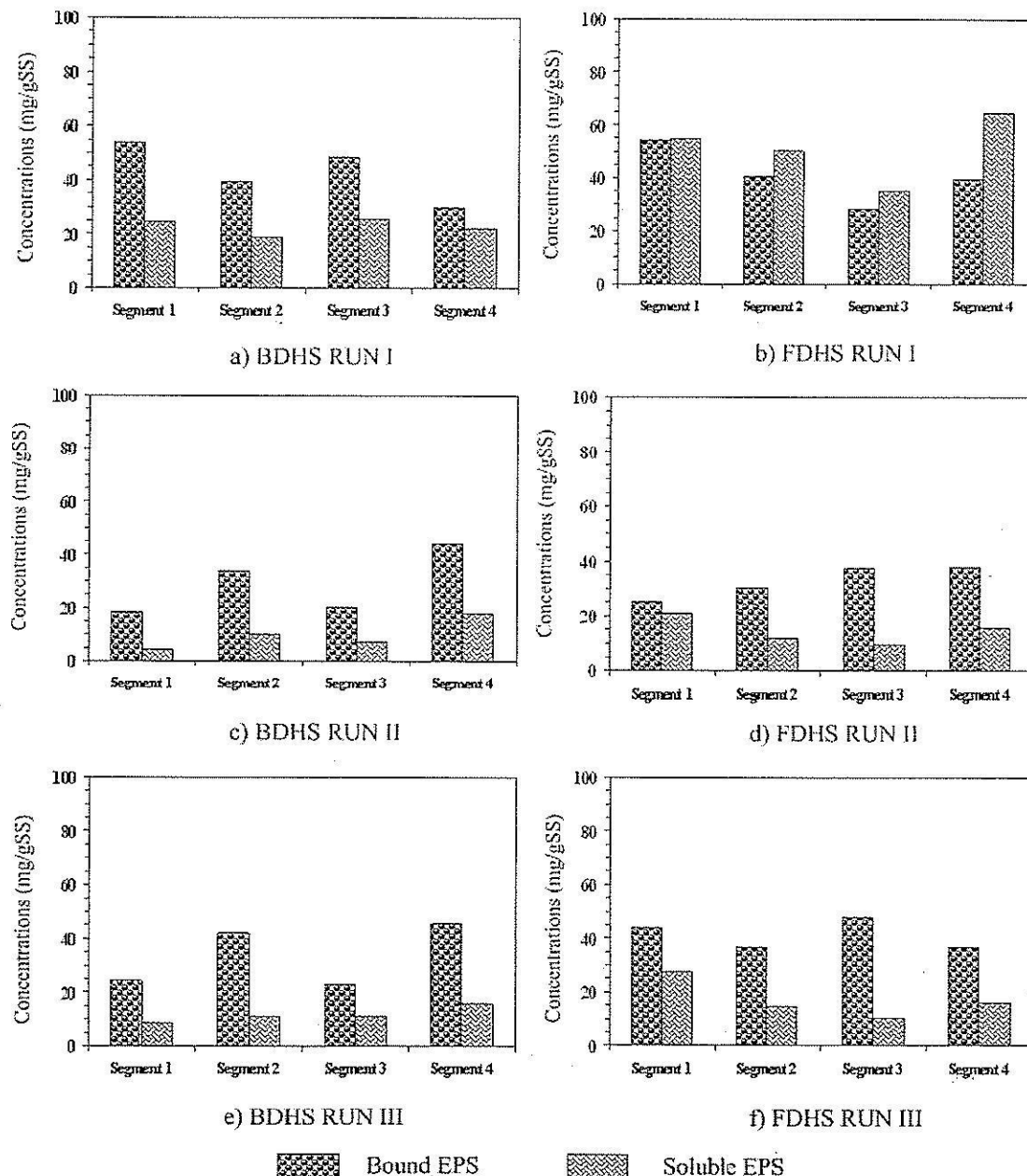
ตารางที่ 4.6 ความเข้มข้นของ VSS และ SS ในระบบ DHS

DHS profiles		Segment 1		Segment 2		Segment 3		Segment 4	
		FDHS	BDHS	FDHS	BDHS	FDHS	BDHS	FDHS	BDHS
RUN I	MLVSS (g/L)	75.6	30.3	12.1	21.4	28.8	20.0	41.9	50.4
	MLVSS/MLSS	0.97	0.76	0.95	0.72	0.92	0.66	0.94	0.85
RUN II	MLVSS (g/L)	50.9	20.0	12.3	18.5	25.8	15.5	35.6	30.2
	MLVSS/MLSS	0.93	0.76	0.97	0.71	0.97	0.68	0.94	0.89
RUN III	MLVSS (g/L)	55.4	25.5	13.4	19.4	27.2	18.3	38.5	42.5
	MLVSS/MLSS	0.94	0.77	0.95	0.75	0.96	0.67	0.96	0.85

4.9.2 ความเข้มข้นของ Extracellular Polymeric Substance (EPS)

ความเข้มข้นของ EPS ในตะกอนโดยทำการวิเคราะห์ 2 องค์ประกอบหลัก คือ ปริมาณโปรตีนและคาร์โบไฮเดรตและการศึกษาความเข้มข้นของ EPS ใน 2 รูปแบบคือ bound EPS และ soluble EPS เนื่องจากจุลชีพสามารถผลิต microbial products ได้ทั้งที่เป็นสารละลายและสารแขวนลอยใน mixed liquor sludge จากการศึกษาพบความเข้มข้นของ EPS ของการเดินระบบทั้งสามช่วงในการศึกษา (RUN I, RUN II, RUN III) แสดงดังรูปที่ 4.11 ชี้ว่า bound EPS เป็น polymer ที่จุลชีพสร้างขึ้นเพื่อให้เกิดการจับแน่น (adhered) ในระบบ biofilms หรือ floc เพื่อป้องกันเซลล์และเก็บรักษาอาหารในสภาพที่อาหารขาดแคลนเป็นต้น และเมื่อ bound EPS หรือ dead cells ถูก hydrolysis ด้วยระบบ enzymes ของจุลชีพจะเปลี่ยนเป็น EPS ที่อยู่ในรูปสารละลาย หรือ soluble EPS โดยจากการศึกษาในรูปที่ 4.8 พบว่าในระบบ FDHS มีแนวโน้มความสามารถในการ hydrolyzed dead cells และ bound EPS ได้ดีกว่าเมื่อจากมีปริมาณ soluble EPS ในระบบสูงกว่า ส่วน bound EPS พบว่าในระบบ FDHS เกิดได้มากกว่าระบบ BDHS ใน การเดินระบบ RUN I และ

RUN III โดยในหลายการศึกษาระบุว่า bound EPS excessive biomass การสะสมของ particulate matters มีผลทำให้การเกิดการอุดตันชั้นกรอง (Iluita et. al., 2005; Thullner et. al., 2004) แต่อย่างไรก็ตามไม่พบการอุดตันชั้นกรองในการเดินระบบ FDHS ซึ่งเกิดเนื่องจากเชื้อราสามารถใช้ EPS เป็นแหล่งคาร์บอนในสภาวะขาดแคลนได้



รูปที่ 4.11 ความเข้มข้นของ EPS ในตะกอนของระบบ BDHS และ FDHS

อีกทั้งผลการศึกษาในระบบ BDHS พบความเข้มข้นของ EPS ในตะกอนสูงใน segment 1 และ 3 แต่กลับพบค่า μ_{max} มีค่าต่ำกว่าอีกสอง segments ที่เหลือ โดยเฉพาะใน segment 3 ซึ่งพบค่า μ_{max} ต่ำที่สุด ในการศึกษาของ Laspidou (2003) ระบุว่า EPS มีผลกระทบต่ออัตราการเกิดปฏิกิริยา และอัตราการเจริญเติบโตของแบคทีเรียเนื่องจากกระบวนการต่อการถ่ายมวลของอาหารและอากาศ (mass transports) ในระบบ biofilms หรือ flocs เกิดได้ไม่ดี แต่ยังไร้ความสามารถพัฒนาของ EPS ต่ออัตราการเจริญเติบโตของชุลินทรีย์ยังขึ้นกับชนิดของชุลชีพอีกด้วย (Laspidou, 2003) โดยในการศึกษานี้ไม่พบผลกระทบของ EPS ต่อค่า biokinetic parameters ของเชื้อรา

4.9.3 ผลกระทบของค่า EPS ต่อความเข้มข้นของสารอินทรีย์ในน้ำทึบจากระบบ DHS

EPS เป็นผลิตภัณฑ์ของชุลชีพพบได้ทั้งชุลชีพในกลุ่ม สาหร่าย แบคทีเรีย ยีสต์ ซึ่งเป็นส่วนประกอบ เพื่อให้เกิดการยึดเกาะใน biofilms หรือ floc ในหลายการศึกษาได้ระบุว่า EPS เป็นสาเหตุหนึ่งที่ระบบบำบัดทางชีวภาพไม่สามารถกำจัดค่าซีโอดีให้ต่ำกว่ามาตรฐานเนื่องจากการสร้าง substrate ของเซลล์ขึ้นมาเองหรือที่เรียกว่า Soluble Microbial Products (SMPs) โดย soluble EPS เป็นส่วนหนึ่งของ SMPs ซึ่งเกิดจากการไฮโดรไลซ์ bound EPS (Wichisathain, 2004; Jarusutthirak et. al., 2007; Yan et. al., 2007) และในการศึกษาพบว่าในน้ำทึบจากระบบ DHS มีความเข้มข้นของโปรตีนและคาร์โบไฮเดรตซึ่งเป็นองค์ประกอบของ EPS ถึงประมาณ 60-70% ดังแสดงในตารางที่ 4.7

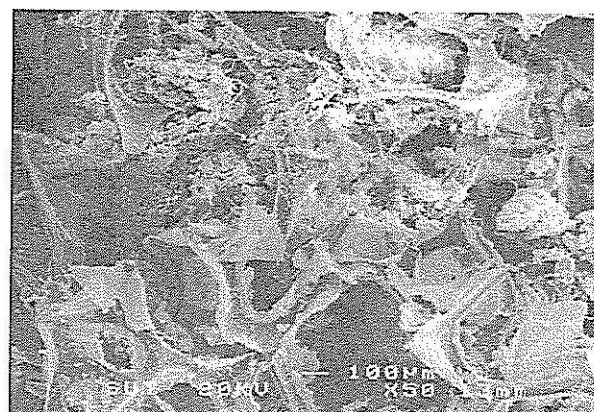
ตารางที่ 4.7 ความเข้มข้นของค่า soluble EPS ในน้ำทึบจากระบบ DHS

DHS Profiles	Soluble EPS (mg/L)		Soluble EPS/SCOD	
	BDHS	FDHS	BDHS	FDHS
Segment 1	132.8	199.8	0.56	0.61
Segment 2	126.0	187.3	0.63	0.66
Segment 3	123.0	175.5	0.67	0.68
Segment 4	121.6	170.2	0.70	0.69

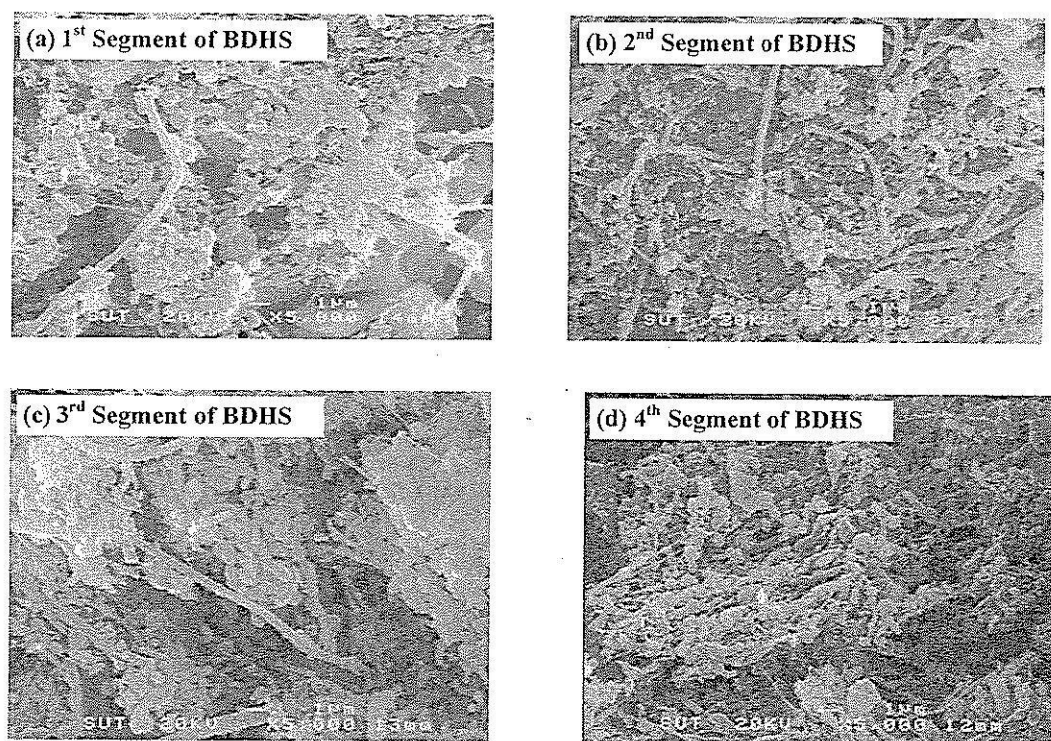
4.9.4 การศึกษาโครงสร้างของเซลล์ (Cell Morphology Study)

การศึกษาโครงสร้างของ Cells ด้วย Scanning electron microscopic (SEM) พบลักษณะการสะสมและการยึดเกาะของชุลชีพในฟองน้ำดังรูปที่ 4.12, 4.13 และ 4.14 โดยชุลชีพจะสะสมในส่วนลักษณะ คือ การเกิด biofilms ที่ผิวสัมผัสของฟองน้ำ และการเกิดโครงสร้างแบบเส้นใย (filamentous) หุ้มสารแขวนลอย (suspended solids) และสะสมในรูป flocs ในบริเวณซ่องว่าง

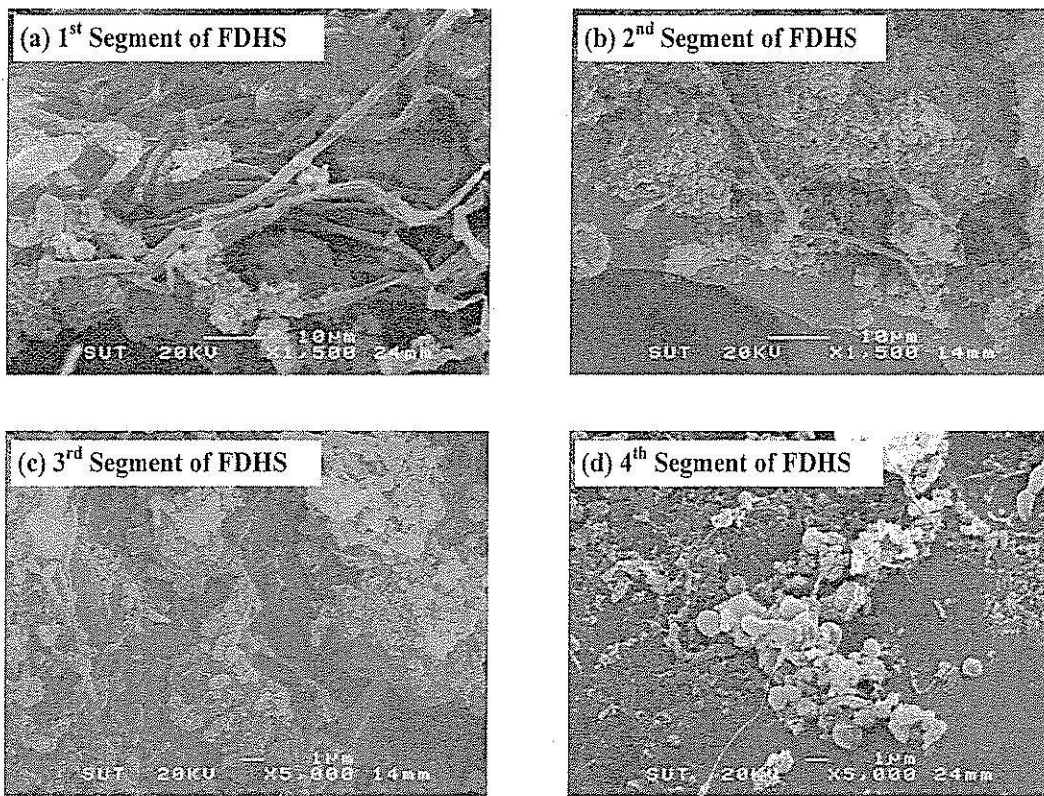
ภายในตัวกลางฟองน้ำ ซึ่งทำให้ระบบ DHS สามารถกำจัดสารแขวนลอยในน้ำโดยการกักไว้ในระบบและเกิดการย่อยสลายทางชีวภาพในเวลาต่อมา



รูปที่ 4.12 ลักษณะการบีดเกาะของตะกอนในตัวกลางฟองน้ำ



รูปที่ 4.13 ลักษณะของเซลล์ในระบบ BDHS ภาพถ่ายขยายด้วย SEM



รูปที่ 4.14 ลักษณะของเซลล์ในระบบ BDHS ภาพถ่ายขยายด้วย SEM

4.10 การจำแนกจุลชีพในตะกอน DHS

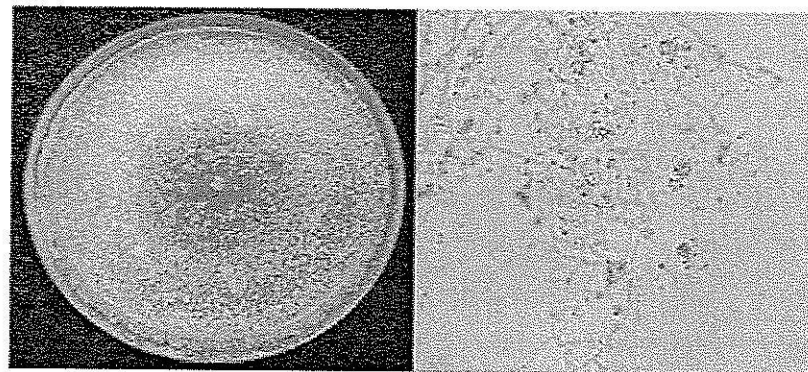
4.10.1 จุลชีพในระบบ FDHS

จากการศึกษาการจำแนกเชื้อในระบบ FDHS เพื่อทำการจำแนกชนิดของ genus ที่เป็นจุลชีพหลักในตะกอนของระบบ DHS ทั้งสี่ส่วน (Segments) พบ genus ที่เป็นจุลชีพหลักในระบบ FDHS 3 genus คือ (i) *Trichoderma* (ii) *Aspergillus* และ (iii) *Candida* ซึ่งทั้งสาม genus เป็นเชื้อร้าที่โดยมีรายละเอียดดังต่อไปนี้

(i) *Trichoderma* เป็นจุลินทรีย์เชื้อร้าที่มีประโยชน์ชนิดหนึ่ง ขยายพันธุ์โดยการสร้างสปอร์ เมื่อนำมาเพาะเลี้ยงจะเห็นเส้นใยและสปอร์สีเขียว สามารถตอบได้ทั่วไปในคืนที่มีความอุ่นสมบูรณ์และมีอินทรีย์วัสดุสูง (Williams and Kirk, 1988) เชื้อร้าไตรโโคเดอร์มาสามารถเจริญเติบโตได้อย่างรวดเร็วที่อุณหภูมิ 25-30°C และส่วนใหญ่จะหยุดการเจริญเติบโตเมื่ออุณหภูมิ 35°C (Wikipedia, 2009) *Trichoderma* สามารถผลิต extracellular enzyme เพื่อย่อย cellulose หรือ

สารอินทรีย์ที่มีโมเลกุลขนาดใหญ่กากยานอกเซลล์ได้ โดย Paterson (1988) ได้ระบุว่า *Trichoderma reesei* สามารถผลิต extracellular enzyme จากกลไกภายในของเซลล์ 3 ชนิดซึ่งได้แก่

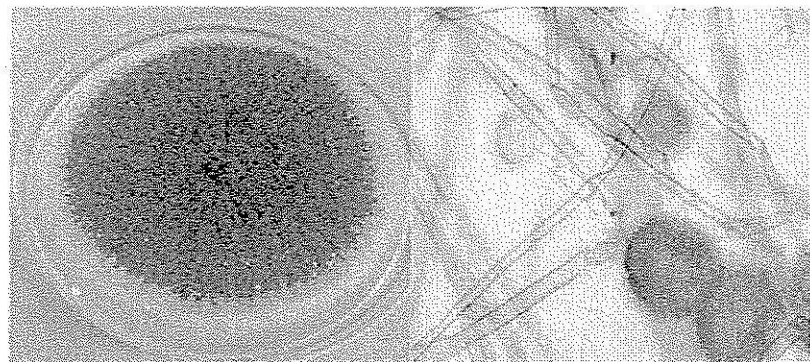
- **Cellobiohydrolase (CBH):** จะย่อยสลายเซลลูโลสซึ่งเกิดไม่สมบูรณ์จะได้เซลลูโลบิโอล (Cellobiose) ซึ่งเป็นไดแซคคาไรด์ (Disaccharide) และได้ผลิตภัณฑ์เป็นโอลิโกลแซคคาไรด์ (Oligosaccharide) ฯลฯ
- **1,4- β -glucanohydrolases (EC 3.2.1.91) หรือ endoglucanases (EG):** จะย่อยสลายเซลลูโลสไปเป็นกลูโคส เซลลูโลส ไอลูโนส และโอลิโกลแซคคาไรด์ โดยจะย่อยสลายด้านในของสายเซลลูโลสแบบสุ่ม (Random)
- **β -glucosidases (BG):** จะย่อยสลายเซลลูโลสไปเป็นกลูโคส



รูปที่ 4.15 Genus of *Trichoderma* cultures

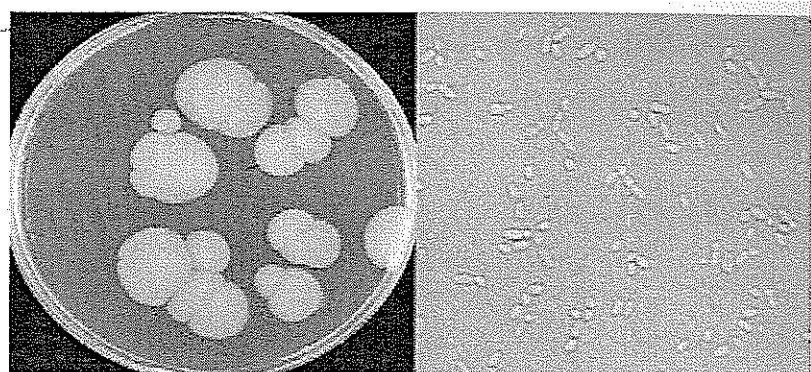
(ii) *Aspergillus* เป็นเชื้อร่าที่เจริญเติบโตในสภาพแวดล้อมที่มีออกซิเจนสูง อุณหภูมิที่เหมาะสมในการเจริญเติบโตประมาณ 20-30°C ซึ่งทำให้พัฒนาการเจริญเติบโตของ *Aspergillus* ที่บริเวณผิวน้ำของ Substrate เท่านั้น โดยทั่วไปแล้วเชื้อร่าจะเจริญเติบโตได้ในสภาพแวดล้อมที่มีความเข้มข้นของสารอินทรีย์สูง *Aspergillus* พบรücke ในสิ่งแวดล้อมทั่วไปที่มีการปนเปื้อนของสารอาหารในกลุ่มแบ่ง เช่น ขันมเปี๊ย มันฝรั่ง และตามต้นไม้หลายชนิดเป็นต้น แต่ในบางครั้งก็สามารถเจริญเติบโตในสภาวะที่ขาดแคลนสารอาหาร ได้เช่นกัน การศึกษาที่ผ่านมาในกลุ่มวิจัยเทคโนโลยีการหมักที่เกี่ยวกับการย่อยสลายตัวเองของรา *Aspergillus oryzae* UI521 สรุปได้ว่า สาเหตุหนึ่งของการย่อยสลายตัวเองในราเนื่องจากเอ็นไซม์อัลตราไนโตรติกซึ่งรับประทานนิสัยสร้างและปลดปล่อยออกมา นอกจากนี้ก็มีเอ็นไซม์ในกลุ่มโปรตีโนไลดิก ซึ่งเกี่ยวข้องกับการย่อยเซลล์ (cellular breakdown enzyme) ซึ่งมีอยู่หลายชนิด งานวิจัยที่ผ่านมาได้ศึกษาเรื่องเอ็นไซม์ที่สำคัญไปแล้ว

3 ชนิด คือ Chitinase, N-acetyl- β -D glucosaminidase และ β -1,3-glucanases พบว่าเอ็นไซม์ทั้งสามชนิดมีความเกี่ยวข้องกับการย่อยสลายตัวของของราชนิคในระดับหนึ่ง กล่าวคือสามารถตรวจสอบปริมาณเอ็นไซม์เหล่านี้เพิ่มขึ้นเมื่อการย่อยสลายตัวของเพิ่มขึ้น แต่คาดว่าเอ็นไซม์เหล่านี้อาจใช้สาเหตุของการเกิดการย่อยตัวของในราชนิคที่หักหมก โดยเฉพาะเอ็นไซม์ β -N-acetylglucosaminidase ซึ่งสันนิษฐานเบื้องต้นว่าปริมาณเอ็นไซม์ที่เพิ่มขึ้นในช่วงที่เกิดการย่อยตัวของร้านน้ำจะเป็นผลมาจากการผลิตภัณฑ์ที่เพิ่มขึ้นซึ่งได้จากการย่อยสลายของเอ็นไซม์ Chitinase และผลิตภัณฑ์ที่สามารถเป็นสับสเตรทของเอ็นไซม์ β -N-acetylglucosaminidase ได้ดังนั้นจึงเป็นการเร่งให้เกิดการปลดปล่อยเอ็นไซม์ β -N-acetylglucosaminidase มากขึ้น (Dandusitapunth and Limpocharoenchai, 2004)



รูปที่ 4.16 Genus of *Aspergillus* cultures

(iii) *Candida* เป็น genus ของ yeast สามารถเจริญเติบโตได้ที่อุณหภูมิระหว่าง 25-35°C แหล่งการรับอนของ yeast โดยทั่วไปคือน้ำตาลแต่ไม่มีความสามารถผลิตเอมไชด์เพื่อย่อยสลายแป้งได้ แต่จากการศึกษาของ Cammarota and Freire (2006) ได้อธิบายถึงความสามารถของ yeast ชนิด *Candida rugosa* ซึ่งสามารถผลิตเอมไชด์ lipases ในกระบวนการ hydrolysis ไขมันและน้ำมันที่ปั่นเมือนในน้ำเดือย



รูปที่ 4.17 Genus of *Candida* cultures

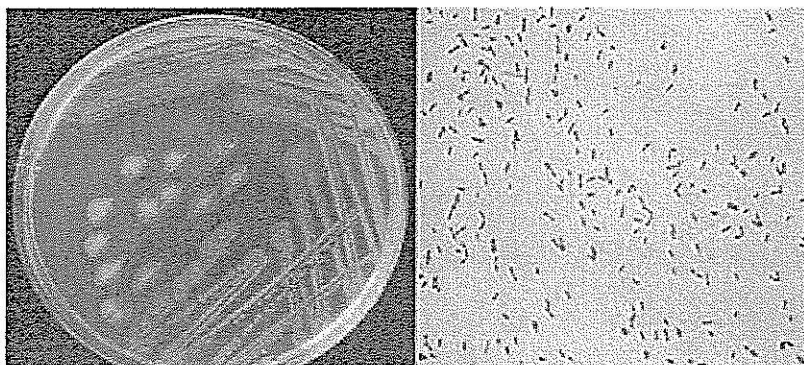
ในปัจจุบันเรื่องรายจุดนำมานี้เป็นเชลล์เข้าบ้านสำหรับผลิต heterologous protein หลายชนิด เนื่องจากรามีข้อดีหลายประการเมื่อเปรียบเทียบกับสิ่งมีชีวิตในระบบอื่น เช่น (1) รามีกลไกในการผลิตและส่งโปรตีนออกมานอกเซลล์ได้ในปริมาณสูง (2) รามีกลไก post-transcription และ post-translation (3) รามางชนิดซึ่งได้รับการยอมรับจากองค์การอาหารและยา (FDA) ว่ามีความปลอดภัยต่อการนำไปใช้งานในอุตสาหกรรมอาหาร และ (4) รายจุดมีความสามารถเดินทางพันธุกรรมสูง รวมทั้งมีบทบาทในการผลิต heterologous protein ในระดับอุตสาหกรรมได้แก่ กลุ่ม *Aspergillus* spp. (*A. awamori A. niger A. oryzae* และ *A. nidulans*) กลุ่ม *Mucor* spp. (*M. miehie* และ *M. circinelloides*) กลุ่ม *Mortierella* spp. (*M. isabellina*) และกลุ่ม *Trichoderma* spp. (*T. reesei*) (Ruenwai and Tachaleat, 2005)

4.10.2 จุลชีพในระบบ BDHS

จากการศึกษาการจำแนกเชื้อแบคทีเรียในระบบ BDHS เพื่อทำการจำแนกชนิดของ Genus ที่เป็นจุลชีพหลักในตะกอนของระบบ BDHS ทั้งสี่ส่วน (segments) พบ genus ที่เป็นจุลชีพหลักในระบบ BDHS 4 Genus คือ (i) *Psuedomonas* (ii) *Bacillus* (iii) *Nitrosomonas* และ (iv) *Nitrobacter* ซึ่งทั้งสี่ genus เป็นเชื้อแบคทีเรียมีรายละเอียดดังต่อไปนี้

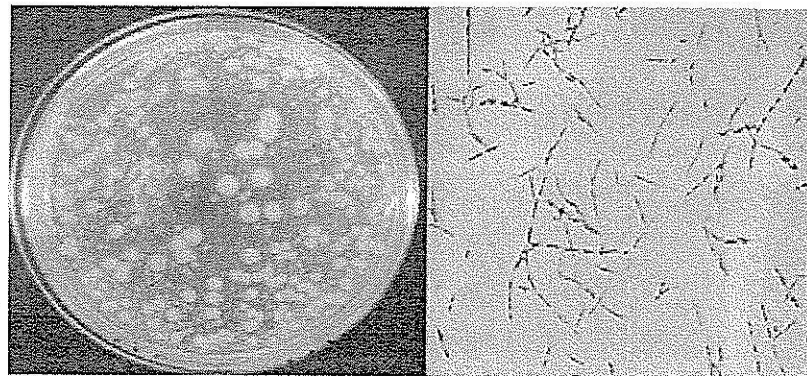
(i) *Psuedomonas* พบในทั้ง 4 segments ของระบบ BDHS เป็น heterotroph bacteria เป็น Gram-negative มีรูปร่างแบบ rod shape จัดอยู่ในกลุ่ม aerobic bacteria แต่มีบางชนิดที่สามารถเจริญเติบโตในสภาวะ facultative anaerobes ได้ เช่น *P. aeruginosa* ซึ่งสามารถใช้ในกระบวนการเพื่อเป็นตัวรับอิเลคตรอนในกระบวนการ denitrification *Psuedomonas* สามารถผลิต EPS และเกิดโครงสร้างแบบ biofilms ได้ ทำให้ในหลายกรณีการศึกษาจึงพบ *Psuedomonas* เป็นจุลชีพเด่นในระบบ Trickling filter (Peixoto and Motam, 1998; Sa' and Boaventura, 2001) *Psuedomonas* สามารถผลิต extracellular enzyme เพื่อให้เกิดการย่อยสลายสารอินทรีย์ที่มีโมเลกุลขนาดใหญ่ภายใต้กระบวนการออกเซลล์ เช่น

ในกลุ่มของ β -ketoadipate, carboxymuconate lactonizing enzyme และ carboxymuconolactone decarboxylase ซึ่งสามารถย่อยสลาย aromatic compounds ได้ (Stanier et. al., 1970) และ Lipase ในการไฮโดรไลซีสสารประกอบในกลุ่มของ Triacylglycerol , fatty acids และ acylglycerols (Litthauer et. al, 2002) เป็นต้น



รูปที่ 4.18 Genus of *Psuedomonas* cultures

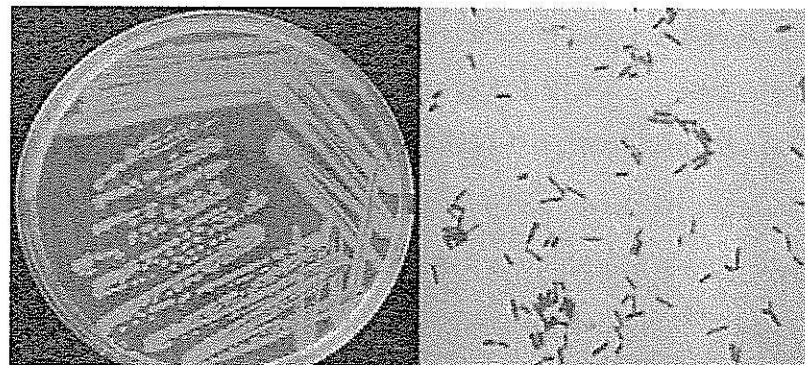
(ii) *Bacillus* พบในทั้ง 4 segments ของระบบ BDHS เป็นแบคทีเรีย Genus หนึ่งที่มีรูปร่างเป็น rod shape จัดอยู่ในกลุ่มของ heterotroph bacteria สามารถอาศัยอยู่ในสภาพที่มีการขาดออกซิเจน ได้ (obligate or facultative aerobes) *Bacillus* สามารถสร้างเอนไซด์ได้หลายชนิด เช่น ในกลุ่มของ alpha amylase เพื่อใช้ในการไฮโดรไลซีสแป้ง และ extracellular endoproteinase, phospholipase ที่สามารถย่อยสารอินทรีย์ในกลุ่มของ โปรตีน (Bertagnolli et. al., 1996) เป็นต้น อีกทั้ง *Bacillus* ยังเป็นจุลชีพที่พบมากในน้ำเสียชุมชนและประบุกต์ใช้ในระบบ Trickling filter เพื่อบำบัดน้ำเสียในหลายประเภท เช่น ระบบ Trickling filter เพื่อกำจัด Cr (IV) น้ำเสีย (Dermou et. al., 2005), การกำจัดในไตรเจนด้วยกระบวนการ denitrification ในระบบเพาะเติ่งสัตว์น้ำแบบปิด (กนกิตศ 2551)



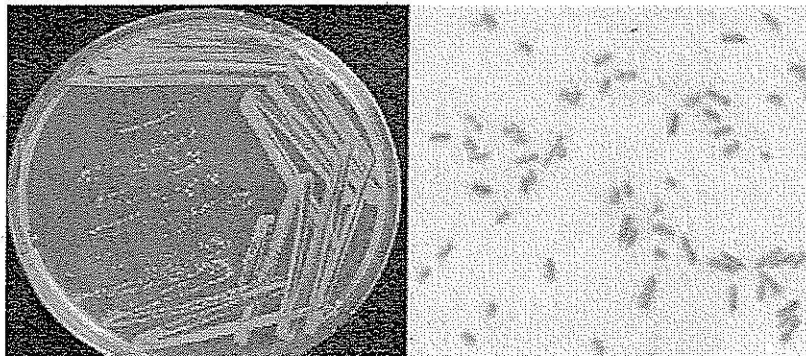
รูปที่ 4.19 Genus of *Bacillus* cultures

(iii) *Nitrosomonas* เป็น autotroph bacteria ที่สามารถเปลี่ยนแอมโมเนียมในไตรเจนให้เป็นไนโตรทในกระบวนการเมทตาโนบิเดซิม โดยในการศึกษาพบว่าเป็นจุลชีพเด่นในระบบ BDHS segment 2 และ 3 ของระบบ ซึ่งทั้งสอง segments นี้เป็น segments ที่พบประสิทธิภาพในการเกิด nitrification อิกลด้วย

(iv) *Nitrobacter* เป็น autotroph bacteria ที่สามารถเปลี่ยนไนโตรทให้เป็นไนเตรตในกระบวนการเมทตาโนบิเดซิม โดยในการศึกษาพบว่าเป็นจุลชีพเด่นในระบบ BDHS segment 3 และ 4 ของระบบ ซึ่งทั้งสอง segments นี้เป็นบริเวณที่พบประสิทธิภาพในการเกิด nitrification อิกลด้วย



รูปที่ 4.20 Genus of *Nitrosomonas* cultures



รูปที่ 4.21 Genus of *Nitrobacter* cultures

4.11 การควบคุมปัมพาในการเดินระบบ DHS

4.11.1 ปัมพาเรื่องแมลงและหนอนในระบบ

ในการพัฒนาระบบ biofilter ส่วนใหญ่จะประสบปัมพาในเรื่องของการเกิด predators เช่น หนอน แมลงหวีชน (filter flies) หรือทาก เป็นต้น (Parker et. al., 1997) โดย predators เหล่านี้จะทำให้ค่า VSS ในระบบลดลงอย่างรวดเร็วเช่นเดียวกันในการทดลองเดินระบบ FDHS และ BDHS

ในระบบ FDHS ปัมพาเรื่องแมลงหวีชนและหนอนแมลงพบร่วมกับการเริ่มเดินระบบ (start-up period) เท่านั้น ในการศึกษาจึงทำการควบคุมโดยใช้ยาฆ่าแมลงในกลุ่ม Pyrethroids โดยใช้ Cypermethrin 10% จำนวน 60 mL เติมในน้ำเสียจำนวน 100 ลิตร (ความเข้มข้น 60 mg/L) จ่ายเข้าสู่ระบบทุก 2 สัปดาห์เพื่อด้วยจรร์วิตของแมลงหวีชน โดยอ้างอิงตามการศึกษาของ Mohamed et. al. (1987) ระบุว่าเชื้อรานมีความสามารถในการต้านทานยาฆ่าแมลงในกลุ่ม Pyrethroids โดยไม่ส่งผลกระทบต่อการสร้างสปอร์และการเจริญเติบโตของ mycelial ที่ความเข้มข้น 5,000 mg/L และเมื่อเชื้อรานเจริญเติบโตจนระบบเข้าสู่ภาวะสมดุล (steady state) ไม่พบปัมพาเรื่องแมลงหวีชนและหนอนแมลงในระบบ FDHS เลย เนื่องจากเกิดเชื้อรานซึ่งจัดเป็นพวก parasite ในแมลง โดยสปอร์จะแพร่กระจายไปทางอากาศและตกลงบนตัวหนอน เมื่อสภาพแวดล้อมเหมาะสมกับการเจริญเติบโต สปอร์จะออกเข้าทำลายภายในตัวหนอนแมลง จากผลการวิจัยพบว่า เชื้อรานสามารถเข้าทำลายแมลงและหนอนต่างๆ ได้ (Prakash et. al., 2008)

ส่วนในระบบ BDHS ปัมพาเรื่องแมลงหวีชนและหนอนแมลง พบร่วมกับกลอคในถุงกาลเพร ระบบดของแมลงหวีชนคือในช่วงหน้าฝน (ช่วงเดือนตุลาคม-พฤษภาคม) การควบคุมแมลงหวีชน และหนอนแมลงดำเนินเช่นเดียวกันกับในระบบ FDHS โดยจะทำการเติม Cypermethrin ในน้ำเสียที่จ่ายเข้าสู่ระบบเมื่อพบแมลงหวีชนมากที่ระบบ BDHS ทุก 2 สัปดาห์ ไม่พบแมลงหวีชนจากใน

ระบบ BDHS ซึ่งความเข้มข้น Cypermethrin ที่เติมลงในน้ำเสียมีให้ผลค่า COD ในน้ำเข้าและออกจากระบบ BDHS สูงขึ้นประมาณ 30% โดยประสิทธิภาพจะกลับสู่ภาวะปกติประมาณ 3 วันหลังการเติม Cypermethrin และคงไว้เห็นว่า Cypermethrin ไม่ส่งผลกระทบต่อการเจริญเติบโตของเชื้อแบคทีเรียนเนื่องจาก Cypermethrin จะออกฤทธิ์กับ eukaryotic organisms เท่านั้น อีกทั้งในการศึกษาของ Grant et. al. (2002) ว่าแบคทีเรียชนิด *Pseudomonas* และ *Serratia* สามารถในการย่อยสลายยาฆ่าแมลงในกลุ่ม Pyrethroids ได้อย่างมีประสิทธิภาพ

4.11.2 ปัญหาเรื่องการอุดตันของชั้นกรอง

ปัญหาการอุดตันชั้นกรองพบในการเดินระบบ BDHS ในช่วง RUN I เท่านั้น ในการศึกษาทำการควบคุมโดยการถ่ายระบบ BDHS ด้วยน้ำสะอาดทุก 60 วันด้วยอัตราการไหล 550 ลิตรต่อวัน เป็นระยะเวลา 6 ชั่วโมง ส่วนใน RUN II และ RUN III เป็นการเดินระบบด้วยภาระบรรทุกชลศาสตร์สูง (อัตราการไหลเท่ากับ 550 ลิตรต่อวัน) ทำให้ไม่พนกรอกรอกรองเนื่องจากแรงเฉือนของน้ำเสียในระบบสูงกว่า RUN I และระยะเวลาในการเดินระบบอาจถันเกินไปจึงยังไม่เกิดการอุดตันของชั้นกรอง

บทที่ 5

สรุปผลการศึกษา

5.1 สรุปผลการศึกษา

จากการศึกษาการเดินระบบ Bacterial Downflow Hanging Sponge (BDHS) และระบบ Fungal Downflow Hanging Sponge (FDHS) โดยทำการเดินระบบเป็นระยะเวลาทั้งหมด 522 วัน ซึ่งแบ่งเป็นการศึกษาใน RUN I เป็นระยะเวลา 320 วัน RUN II เป็นระยะเวลา 95 วัน และ RUN III เป็นระยะเวลา 107 วัน พนประสิทธิภาพและเตี้ยรภาพในการเดินระบบ BDHS และ FDHS โดยสรุป ดังต่อไปนี้

- การศึกษาลักษณะทางชลศาสตร์ของระบบ DHS ด้วยสารติดตาม (Tracer Study) พบแนวของการไหลในถังปฏิกรณ์ DHS เป็นแบบท่อ (plug flow regime) และ fraction of dead volume มีค่าลดลงเมื่ออัตราการไหลของน้ำเสียที่เข้าสู่ระบบเพิ่มขึ้น
- การศึกษาประสิทธิภาพในการเดินอากาศของระบบ DHS พนสภาวะขาดแคลนออกซิเจนเกิดขึ้นในระบบ BDHS segment 1 และ 2 ใน การเดินระบบ RUN I ซึ่งเกิดเนื่องจากเชื้อแบคทีเรียมีแนวโน้มการใช้ออกซิเจนต่ำปริมาณสารอินทรีย์ที่กำจัดได้สูงกว่าเชื้อรา
- การศึกษาประสิทธิภาพในการกำจัดสารอินทรีย์พบว่าในระบบ FDHS สามารถเกิดปฏิกริยาการย่อยสลายทางชีวภาพได้เร็วกว่าแบคทีเรีย อีกทั้งยังมีประสิทธิภาพในการย่อยสลายตะกอนจุลชีพที่สะสมในชั้นกรองซึ่งเป็นสาเหตุหลักของการอุดตันชั้นกรองได้ดีกว่าระบบ BDHS
- ระบบ BDHS เป็นระบบที่มีประสิทธิภาพในการกำจัดในโตรเจน แต่อย่างไรก็ตาม ปริมาณสารอินทรีย์ในน้ำทิ้งของระบบ UASB ที่เข้าสู่ระบบมีค่าสูงทำให้เกิดการยับยั้งการเจริญเติบโตของชีวภาพในคริฟลาบอี้นแบคทีเรียในระบบ BDHS จึงมีความต้องการระบบบำบัดสารอินทรีย์ก่อนที่จะทำการกำจัดในโตรเจน
- การแยกสัดส่วนในองค์ประกอบค่า COD ในระบบ DHS พนว่าเชื้อราสามารถเปลี่ยนองค์ประกอบของค่า COD ที่ย่อยสลายทางชีวภาพไม่ได้ให้อยู่ในรูปที่สามารถย่อยสลายทางชีวภาพได้อย่างมีประสิทธิภาพ
- การศึกษาค่าคงที่ทางชลศาสตร์ของ aerobic heterotroph microorganisms ในระบบ DHS พนค่า substrate utilization rate (r_x) และ maximum specific growth (μ_{max}) สูงสุดใน

ตะกอนของระบบ FDHS segment 1 และค่า sludge yield ของระบบ FDHS มีค่าต่ำกว่า BDHS

- จากผลการศึกษาการจำแนกชนิดของจุลชีพในระบบ DHS พบว่าการควบคุมค่า pH ของทึ้งจากระบบ UASB ให้เท่า 4.0 ± 0.2 และ 7.0 ± 0.2 เพื่อเข้าสู่ระบบ FDHS และ BDHS ตามลำดับ ทำให้เชื้อราสามารถเจริญเติบโตและเป็นจุลชีพเด่นในระบบ FDHS และเชื้อแบคทีเรียเจริญเติบโตและเป็นจุลชีพเด่นในระบบ BDHS

5.2 ข้อเสนอแนะ

จากการดำเนินการศึกษาระบบ FDHS และ BDHS ในการศึกษานี้พบข้อเสนอแนะเพื่อเป็นประโยชน์ในการศึกษาต่อไปดังนี้

- การนำตะกอนจากเชื้อราซึ่งเป็นเซลล์โปรตีนกลับมาใช้ประโยชน์
- การศึกษาและพัฒนาประสิทธิภาพการกำจัดในโตรเรนในระบบ BDHS ควรมีการลดสารอินทรีย์ในระบบเพื่อให้กระบวนการ nitrifications เกิดสมบูรณ์ขึ้น

บรรณานุกรม

- กนิศกิ หนูทอง. (2551). การบำบัดในไตรเงนในระบบการเพาะเลี้ยงสัตว์น้ำแบบปีก. วารสารพระ
ขอมาเกล้าดาดกระปัง. 16(1): หน้า 11-22.
- Al-Ahmady, K. (2005). Effect of organic loading on rotating biological contactor efficiency.
International Journal of Environmental Research and Public Health. 2(3): 469-477.
- Ahmadi, M., Vahabzadeh, F., Bonakdarpour, B. and Mehranian, M. (2006). Empirical modeling
loofa-immobilized *Phanerochaete chrysoporum*. **Process Biochemistry.** 41. pp1148-
1154.
- Agrawal, L., Ohashi, Y., Mochida, E., Okui, H., Ueki, Y., Harada, H. and Ohashi, A. (1997).
Treatment of raw sewage in a temperature climate using a UASB reactor and the hanging
sponge cubs process. **Water Sci. and Technol.** 36(6-7). pp433-440.
- Alam, M. Z., Fakhru-Razi, A., Abd-Aziz, S. and Molla, A. H. (2003). Optimization of
compatible mixed cultures for liquid state bioconversion of municipal wastewater sludge.
Water, Air, and Soil Pollution. 149. pp113-126.
- Amatya, P.L. (1996). **Anaerobic Treatment of Tapioca Starch Industry Wastewater by
Bench Scale Upflow Anaerobic Sludge Blanket (UASB) Reactor.** Master thesis. Asian
Institute of Technology. Bangkok, Thailand.
- Annachhatre A.P. and Amatya P.L. (2000). UASB Treatment of Tapioca Starch Wastewater. **J.
Envi. Eng.** 126(12). pp 1149-1152.
- Annachhatre A.P. and Amornkaew A. (2001). Upflow Anaerobic Sludge Blanket Treatment of
Starch Wastewater Containing Cyanide. **Water Environmental Research.** 73(5). pp 622-
632.
- APHA, AWWA, WEF, 1998. **Standard Methods for the Examination of Water and
Wastewater.** 19th ed. Washington, DC, USA.
- Araki, N., Ohashi, A., Mechadar, I. and Harada, H. (1999). Behaviors of nitrifiers in a novel
biofilm reactor employing hanging sponge cubs as attachment site. **Water Sci. and
Technol.** 39(7). pp23-31.

- Barana A.C. and Cereda M.P. (2000). Cassava Wastewater (Manipureira) Treatment Using A Two-phase Anaerobic Biogester. **Ciênc Technol Aliment [Online]**. 20(2). Available <http://www.scielo.br/scielo.php>.
- Bertagnolli, B. L., Dol Soglio, F. K. and Sinclair, J. B. (1996). Extracellular enzyme profiles of the fungal pathogen *Rhizoctonia solani* isolate 2B-12 and two antagonists, *Bacillus megaterium* strain B153-2-2 and *Trichoderma harzianum* isolate Th008. I. Possible correlations with inhibition of growth and biocontrol. **Physiology and Molecular Plant Pathology**. 48: pp145-160.
- Blánquez, P., Caminal, G., Sarrá, M. and Vicent, T. (2007). The effect of HRT the decolorisation of the Grey Lanaset G textile dye by *Trametes versicolor*. **Chemical Engineering Journal**. 126. pp163-169.
- Cammarota and Freire (2006). A review on hydrolytic enzymes in the treatment of wastewater with high oil and grease content. **Bioresource Technology**. 97: pp2195-2210.
- Chaiprasert, C., et.al. (2003). **Thai Biogas Plants High Rate Anaerobic Fixed Film Technology for Agroindustrial Wastewater**. The Award Contest of Best Program on New and Renewable Sources of Energy (Off-Grid) in Year 2003. Research and development cluster unit of waste utilization and management laboratory. King Mongkut's University of Technology Thonburi (KMUTT). Bangkok, Thailand.
- Chang, I.S., and Lee, C.H. (1998). Membrane filtration characteristics in membrane coupled activated sludge system-the effect of physiological states of activated sludge on membran~ fouling. **Desalination**. 120: pp221-233.
- Chea, K.J., Yim, S.K. and Choi, K. H. (2004). Application of a sponge media (BioCube) process for upgrading and expansion of existing caprolactam wastewater treatment plant for nitrogen removal. **International Conference on Wastewater Treatment for Nutrient Removal and Reuse 2004**. Phatumthanee, Thailand: Asian Institute of Technology.
- Chuang, H., Ohashi, A., Imachi, H, Tandukar, M, Harada, H. (2007). Effective partial nitrification to nitrite by down-flow hanging sponge reactor under limited oxygen condition. **Water Research**. 41: 295-302.
- Confer, D. R. and Logan, B. E. (1991). Increased bacterial uptake of macromolecular substrates with fluid shear. **Applied and Environmental Microbiology**. 57(11): 3093-3100.

- Coulibaly, H., Naveau, H. and Agathos, S. N. (2002). A tanks-in-series bioreactor to simulate macromolecule-laden wastewater pretreatment under sewer conditions by *Aspergillus niger*. **Water Research.** 36: pp3941-3948.
- Dandusitapunth, Y and Limpocharoenchai, S. (2004). **The Relationship between Lytic Enzymes and the Autolysis Process of Aspergillus oryzae** [Online]. Available: <http://www.kmutt.ac.th/rippc/lytic.htm>.
- Deng, W., Zheng, P. and Chen, Z. (2006). Anaerobic digestion and post-treatment of swine wastewater using IC-SBR process with bypass of raw wastewater. **Process of Biochemistry.** 41: pp965-969.
- Demetrios N. H., Ioannis D. M., Sotirios G. G. (2004). Organic and nitrogen removal in a two-stage rotating biological contactor treating municipal wastewater. **Bioresource Technology.** 93. 91-98.
- Dermou, E., Velissariou, Xenos, A. D. and Vayenas, D.V. (2005). Biological chromium(VI) reduction using a trickling filter. **Journal of Hazardous Materials.** B126: pp78-85.
- Dhouib, A., Aloui, F., Hamad, N. and Sayadi, S. (2006). Pilot-plant treatment of olive mill wastewater by *Phanerochaete chrysosporium* coupled to anaerobic digestion and ultrafiltration. **Process Biochemistry.** 41: pp159-167.
- Dubois, M., Gilles, K.A., Hamilton, J.K., Rebers R.A. and Smith, F. (1956). Colorimetric method for the determination of sugars and related substances. **Analytical Chemistry.**, 28(3): pp350-356.
- Eding, E. H., Kamstra, A., Verreth, J. A. J., Huisman, E. A. and Klapwijk, A. (2006). Design and operation of nitrifying trickling filters in recirculating aquaculture: A review. **Aquacultural Engineering.** 34: pp234-260.
- Elmaleh S., Defrance M.B., Ghommidh C. and Navarro J.M. (1996). Technical note: Acidogenic effluents treatment in a yeast reactor. **Water Research.** 30 (10): pp2526-2529.
- Elmaleh S., Defrance M.B., Ghommidh C. and Navarro J.M. (1996). Technical note: Acidogenic effluents treatment in a yeast reactor. **Water Research.** 30 (10): pp2526-2529.
- Fakhru'l-Razi, A. and Molla, A. H. (2007). Enhancement of bioseparation and dewaterability of domestic wastewater sludge by fungal treated dewatered sludge. **J. Hazardous Material.** 147: pp350-356.

- Fu, Y. and Viraraghavan, T. (2001). Fungal decolorization of dye wastewater: a review. **Bioresource Technology.** 79. pp251-262.
- Geng, A.L., Lim, A. E., Soh, E. W., Zhao, B. and Leck, T. S. (2004). **Physiological and Proteomic Analysis of EPS Production and Biofilm Formation for Phenol Degrading Bacterium.** Taylor & Francis Group. ISBN 90 5809 653 X. London. pp195-198.
- Grady Jr C. P. L., Daigger, T. G., and Lim H. C. (1999). **Biological Wastewater Treatment,** Marcel Dekker Inc. New York, USA.
- Grant, R. J., Daniell, T. J. and Betts, W. B. (2002). Isolation and identification of synthetic pyrethroid-degrading bacteria. **J. of Applied Microbiology.** 92: pp534-540.
- Guest R.K. and Smith (2002). A potential new role for fungi in a wastewater MBR biological nitrogen reduction system. **J. Environ. Sci.** 1. pp433-437.
- Hai, F. I., Yamamoto, K. and Fukushi, K. (2006). Development of a submerged membrane fungi reactor for textile wastewater treatment. **Desalination.** 192. pp315-322.
- Hein, P.G., Oanh, L.T.K., Viet, N.T. and Lettingga, G. (1999). Closed Wastewater System in the Tapioca Industry in Vietnam. **Water Sci and Technol.** 39(5): pp89-96.
- Iliuta, I. and Larachi, F. (2005). Modeling simultaneous biological clogging and physical plugging in trickle-bed bioreactor for wastewater treatment. **Chemical Engineering Science.** 60: pp1477 – 1489.
- Jasti, N., Khanal, S. K., Anthony, L. P. and Leeuwen, J. (2006). Fungal treatment of corn processing wastewater in an attached growth system. **Water Practice & Technology.** 1(3).
- Jin, B., Leeuwen, H. J., Patel, B., Doelle, H. W. and Yu, Q. (1999). Production of fungal protein and glucoamylase by Rhizopus oligosporus from starch processing wastewater. **Process Biochemistry.** 34. pp59-65.
- Laspidou, C. S. (2003). **Modeling Heterogeneous Biofilms Including Active Biomass, Inert Biomass and Extracellular Polymeric Substances.** Ph.D. thesis. Evanston. Illinois. USA.
- Lettinga, G., and Hulshoff Pol, L. W. (1991). UASB-Process Design for Various Types of Wastewaters. **Water Sci. Technol.** 24(8): pp87-107.
- Levenspiel, O. (1972). **Chemical Reaction Engineering.** 2nd edition. John Wiley & Sons. Canada.

- Litthauer, D., Ginster, A. and Skein, E. E. (2002). *Pseudomonas luteola* lipase: A new member of the 320-residue *Pseudomonas* lipase family. **Enzyme and Microbial Technology.** 30: pp209-215.
- Loha, V., Chaiprasert, P., Neungchaknин, C., Phattaravichien, S. and Amonmongkol, M. (2003). **Wastewater Treatment Technology Transfer and Cleaner Production Demonstration Project: Cleaner Production in Tapioca Starch Factory [Online].** Available : <http://www.Aprscp.org/articles/papers/loha.html>.
- Lowry, O.H., Rosebrough, N.J., Farr, A.L. and Randall, R.J. (1951). Protein measurement with the Folin-Phenol reagents. **J. Biol. Chem.** 193: pp 265–275.
- Machdar, I., Harada, H., Ohashi, A., Sekiguchi, Y., Okui, H. and Ueki, K. (1997). A novel & cost effective sewage treatment system consisting of UASB pre treatment and aerobic post treatment units for developing countries. **Water Sci. and Technol.** 36(12). pp189-197.
- Machdar, I., Sekiguchi, Y., Sumino, H. and Harada, H. (2000). Combination of a UASB reactor and a curtain DHS reactor as cost effective sewage treatment system for developing countries. **Water Sci. and Technol.** 42(3). pp83-89.
- Mai, H.N.P., Duong, H.T., Trang, T.T.T., and Viet, N.T. (2004). Sustainable treatment of tapioca processing wastewater in South Vietnam. **International Conference on Wastewater Treatment for Nutrient Removal and Ruse.** Asian Institute of Technology. Vol. 2. Bangkok: Thailand.
- Mannan, S., Fakhu'l-Razi, A. and Alam, M. Z. (2005). Use of fungi improve bioconversion of activated sludge. **Water Research.** 39. pp2935-2943.
- Mohamed, A. K., Pratt, J. P. and Nelson, F. R. S. (1987). Compatibility of Matarhizium anisopliae var. anisopliae with chemical pesticides. **Mycopathologia.** 99: pp99-105.
- Nakamura, Y., Sungusia, M. G., Sawada, T. and Kuwahara, M. (1999). Lignin-Degrading enzyme production by *Bjerkandera adusta* immobilized on polyurethane foam. **J. of Bioscience and Bioengineering.** 88(1): pp41-47.
- O'Neill, C., Hawkes, F. R., Hawkes, D. L., Lourenço, N. D. Pinheiro, H. M. and Delée, W. (1999). Colour
- Ohashi, K., Hiroyuki, I., Harada, H. (2006). Anaerobic/Aerobic Treatment of Actual Dye Wastewater Using System Combining UASB and DHS Reactors. **J. Japan Society on**

- Water Environment** [Online]. 29(10): 613-620. Available: <http://sciencelinks.jp/east/article/200622/000020062206A0921183.php>.
- Oliveira, M.A. Reis, E. and Nozaki, J. (1999). Biological treatment of wastewater from the cassava meal industry. **Environmental Research.** A85. pp 177-183.
- Parker, D. S., Jacobs, T., Bower, E., Stowe, D. W. and Farmer, G. (1997). Maximizing trickling filter nitrification rates through biofilm control: research review and full scale application. **Wat. Sci. Tech.** 36(1): pp225-262.
- Peterson, A. (1998). Fungal enzymes, D. R. (ed). **Physiology of Industrial Fungi** (pp101-129). London: Blackwell Scientific Publications.
- Peixoto, J. and Motam. (1998). Biodegradation of toluene in a trickling filter. **Bioprocess engineering.** 19(5): pp 393-397.
- Polprasert C. and Chatsangthai S. (1989). Sulfide Production during Anaerobic Lagoon Treatment of Tapioca Wastewater. **Environmental International.** 14. pp563-567.
- Prakash, M., Jayakumar, M. and Kaemegam, N. (2008). Physico-chemical characteristics and fungal flora in the casts of the earthworm, *Perionyx ceylanensis* mich. reared in *Polyalthia longifolia* leaf litter. **J. of Applied Sciences Research.** 4(1): 53-57.
- Quek, E., Ting, Y. and Tan, H. M. (2006). Rhodococcus sp. F92 immobilized on polyurethane foam shows ability to degrade various petroleum products. **Bioresource Technology.** 97: pp32-38.
- Racho, P., Wichisathian, B., Jindal, R. (2008). Feasibility of low cost post-treatment options for the anaerobic processes of tapioca starch wastewater: Fungal Downflow Hanging Sponge (DHS) and Bacterial DHS systems. **KKU Res. J.** 13(10):pp 1172-1184.
- Rajbhandari, B.K., Annachhatre, A.P. (2004). Anaerobic ponds treatment of starch wastewater: case study in Thailand. **Bioresource Technology.** 95. pp135-143.
- Roh, S., Chum, Y. N., Nah, J., Shin, H. and Kim, S. (2006). Wastewater treatment by anaerobic digestion coupled with membrane processing. **J. Ind. Eng. Chem.** 12(3). pp489-493.
- Ruenwai, R.. and Tachaleat, A. (2005). **The Improvement of Heterologous Protein Productivity in *Aspergillus oryzae* by Reduction of Protease Activity** [Online]. Available: <http://www.kmutt.ac.th/rippc/hetero2.htm>.

- Rukvichitkul, T. (2002). **Treatment of Tapioca Starch Wastewater Using Anaerobic Attached Growth Pond.** M.S. thesis (ISBN 974-533-164-3). Suranaree University of Technology. Bangkok, Thailand.
- Sá, C. S. A. and Boaventura, R. A. R. (2001). Biodegradation of phenol by *Pseudomonas purita* DMS 548 in trickling filter bed reactor. **Biochemical Engineering Journal.** 9: pp211-219.
- Seejuhn, R. (2002). **Waste Audit in a Tapioca Starch Milk Processing Factory.** M.S. thesis. M.S. thesis. Asian Institute of Technology. Pathunthani, Thailand.
- Stanier, R. Y., Wachter, D., Gasser, C. and Wi, A. C. Comparative Immunological Studies of Two *Pseudomonas* Enzymes. **J. of Bacteriology.** 102(2): pp351-362.
- Tandukar, M., Uemura, S., Machdar, I., Ohashi, A. and Harada, H. (2005). A low cost municipal sewage treatment system with a combination of UASB and the “forth generation” downflow hanging sponge reactors. **Water Sci. and Technol.** 52(1-2). pp323-329.
- Tandukar, M., Mechdar, I., Uemura, S., Ohashi, A. and Harada, H. (2006a). Potential of a novel sewage treatment system for developing countries: long term evaluation. **J. Environ. Eng.** 32(2). pp166-172.
- Tandukar, M., Uemura, S., Ohashi, A. and Harada, H. (2006b). Combining UASB and the “fourth generation” down-flow hanging sponge reactor for municipal wastewater treatment. **Wat. Sci. Tech.** 53(3). pp209-218.
- Tawfik, A., Klapwijk, B., el-Gohary, F. and Lettiuga, G. (2002). Treatment of anaerobically pre-treated domestic sewage by a rotating biological contactor. **Water Research.** 36(1): pp147-155.
- Tawfik, A. Machdar, I., Uemura, S., Ohashi, A. and Harada, H. (2006a). Sewage treatment in a combined upflow anaerobic sludge blanket (UASB)-DHS system. **Biochemical Engineering J.** 26. pp210-219.
- Tawfik, El-Gohary, F., Ohashi, A. and Harada, H. (2006b). The influence of physical-chemical and biological factors on the removal a fecal coliform through down-flow hanging sponge (DHS) system treating UASB reactor effluent. **Water Research.** 40. pp1877-1883.

- Thanh, N. C. and Simard, R. E. (1973). Biological treatment of domestic sewage by fungi. *Mycopathologia et Mycologia Applicata*. 51(2-3): pp223-232.
- Thullner, M., Schroth, M. H., Zeyer, J. and Kinzelbach, W. (2004). Modeling of microbial growth experiment with bio-clogging in two-dimensional saturated porous media flow field. 70: pp37-62.
- Tripathi, A. K., Harsh, N. S. K. and Gupta, N. (2007). Fungal treatment of industrial effluent: a mini review. *Life Science Journal*. 4(2): pp78-81.
- Tung, T. Q., Miyata, N. and Iwahori, K. (2004). Growth of Aspergillus oryzae during treatment of cassava starch processing wastewater with high content of suspended solids. *Journal of Bioscience and Bioengineering*. 97(5): pp329-335.
- Wichitsathian, B. (2004). **Application of Membrane Bioreactor System for Landfill Leachate Treatment.** Ph.D. thesis. Asian Institute of Technology, Pathumthani, Thailand.
- Williams, M. A. J. and Kirk, P. M. (1998). Introduction: characteristics of fungi. Berry, D. R. (ed). **Physiology of Industrial Fungi** (pp1-17). London: Blackwell Scientific Publications.
- Uemara, S., Takahashi, K., Takaishi, A., Machdar, I., Ohashi, A. and Harada, H. (2002). Removal of indigenous coliphages and fecal coliforms by a novel sewage treatment system consisting of UASB and DHS units. *Water Sci. and Technol.* 46(1). pp303-309.

ภาคผนวก ก

**การเสนอผลงานในงานประชุมวิชาการ
และบทความวารสารวิชาการ**



ผลงานในงานประชุมวิชาการและนทกความร่วงสารวิชาการ

1. Racho, P. and Witchitsathian, B. and Jindal, R. (2009) Biokinetic Parameters as an Indicator to Biodegradability Assessment of Down-flow Hanging Sponge (DHS) System. *การประชุมวิชาการสิ่งแวดล้อมแห่งชาติครั้งที่ 8.* สมาคมวิศวกรรมสิ่งแวดล้อมแห่งประเทศไทย. มหาวิทยาลัยเทคโนโลยีสุรนารี นครราชสีมา
2. พัชรินทร์ ราโช ศิริกานดา ธรรมพร บุญชัย วิจิตรเสถีร และ รัญญา จินดา. คุณภาพมูลเพื่อประเมินประสิทธิภาพการกำจัดค่าซีโอดีและไนโตรเจนของระบบ Down-flow Hanging Sponge (DHS). *การประชุมวิชาการสิ่งแวดล้อมแห่งชาติครั้งที่ 8.* สมาคมวิศวกรรมสิ่งแวดล้อมแห่งประเทศไทย. มหาวิทยาลัยเทคโนโลยีสุรนารี นครราชสีมา
3. Racho, P. and Wichitsathian, B. and Jindal, R. (2008). Feasibility of low cost post-treatment options for the anaerobic processes of tapioca starch wastewater: Fungal Down-flow Hanging Sponge (DHS) and Bacterial DHS systems. *KKU Res. J.* 13(10): pp1-12.
4. Racho, P. and Wichitsathian, B. (2008). Feasibility of low cost post-treatment options for the anaerobic processes of tapioca starch wastewater: Fungal Down-flow Hanging Sponge (DHS) and Bacterial DHS systems. *12th International Conference on Integrated Diffuse Pollution Management (IWA DIPCON 2008).* Research Center for Environmental and Hazardous Substance Management (EHSM), Khon Kaen University, Thailand; 25-29 August 2008.
5. Wichitsatian, B. and Racho, P. (2009). Quantification of Organic and Nitrogen Removal in Downflow Hanging Sponge (DHS) Systems as a Post-Treatment of UASB Effluent. *IWA Specialist Conference Chemical Industries,* November 30-December 2. Massey University, Palmerston North, New-Zealand.

- Thanh, N. C. and Simard, R. E. (1973). Biological treatment of domestic sewage by fungi. *Mycopathologia et Mycologia Applicata.* 51(2-3): pp223-232.
- Thullner, M., Schroth, M. H., Zeyer, J. and Kinzelbach, W. (2004). Modeling of microbial growth experiment with bio-clogging in two-dimensional saturated porous media flow field. 70: pp37-62.
- Tripathi, A. K., Harsh, N. S. K. and Gupta, N. (2007). Fungal treatment of industrial effluent: a mini review. *Life Science Journal.* 4(2): pp78-81.
- Tung, T. Q., Miyata, N. and Iwahori, K. (2004). Growth of Aspergillus oryzae during treatment of cassava starch processing wastewater with high content of suspended solids. *Journal of Bioscience and Bioengineering.* 97(5): pp329-335.
- Wichitsathian, B. (2004). **Application of Membrane Bioreactor System for Landfill Leachate Treatment.** Ph.D. thesis. Asian Institute of Technology. Pathumthani, Thailand.
- Williams, M. A. J. and Kirk, P. M. (1998). Introduction: characteristics of fungi. Berry, D. R. (ed). **Physiology of Industrial Fungi** (pp1-17). London: Blackwell Scientific Publications.
- Uemara, S., Takahashi, K., Takaishi, A., Machdar, I., Ohashi, A. and Harada, H. (2002). Removal of indigenous coliphages and fecal coliforms by a novel sewage treatment system consisting of UASB and DHS units. *Water Sci. and Technol.* 46(1). pp303-309.

ภาคผนวก ก

การเสนอผลงานในงานประชุมวิชาการ

และบทความวารสารวิชาการ

ผลงานในงานประชุมวิชาการและบทความวารสารวิชาการ

1. Rach, P. and Witchitsathian, B. and Jindal, R. (2009) Biokinetic Parameters as an Indicator to Biodegradability Assessment of Down-flow Hanging Sponge (DHS) System. การประชุมวิชาการสิ่งแวดล้อมแห่งชาติครั้งที่ 8. สมาคมวิศวกรรมสิ่งแวดล้อมแห่งประเทศไทย. มหาวิทยาลัยเทคโนโลยีสุรนารี นครราชสีมา
2. พัชรินทร์ ราช ศิริกานดา ธรรมพร บุญชัย วิจิตรเสถีร และ รัญญา จินดา. ดุลยภาพมวลเพื่อประเมินประสิทธิภาพการกำจัดค่าซีไอดีและไนโตรเจนของระบบ Down-flow Hanging Sponge (DHS). การประชุมวิชาการสิ่งแวดล้อมแห่งชาติครั้งที่ 8. สมาคมวิศวกรรมสิ่งแวดล้อมแห่งประเทศไทย. มหาวิทยาลัยเทคโนโลยีสุรนารี นครราชสีมา
3. Rach, P. and Wichitsathian, B. and Jindal, R. (2008). Feasibility of low cost post-treatment options for the anaerobic processes of tapioca starch wastewater: Fungal Down-flow Hanging Sponge (DHS) and Bacterial DHS systems. *KKU Res. J.* 13(10): pp1-12.
4. Rach, P. and Wichitsathian, B. (2008). Feasibility of low cost post-treatment options for the anaerobic processes of tapioca starch wastewater: Fungal Down-flow Hanging Sponge (DHS) and Bacterial DHS systems. **12th International Conference on Integrated Diffuse Pollution Management (IWA DIPCON 2008)**. Research Center for Environmental and Hazardous Substance Management (EHSM), Khon Kaen University, Thailand; 25-29 August 2008.
5. Wichitsatian, B. and Rach, P. (2009). Quantification of Organic and Nitrogen Removal in Downflow Hanging Sponge (DHS) Systems as a Post-Treatment of UASB Effluent. **IWA Specialist Conference Chemical Industries**, November 30-December 2. Massey University, Palmerston North, New-Zealand.

ภาคผนวก ข

ข้อมูลการศึกษาลักษณะทางชลศาสตร์ด้วยสารติดตาม

ตารางที่ ข.1 ข้อมูลการศึกษาลักษณะทางชลศาสตร์ด้วยสารติดตามที่ค่า HRT 0.9 ชั่วโมง

Time (min)	mL of AgNO ₃ 0.141 N	C (mgCl ⁻ /L)	dt _i	C _i = C/C ₀	t _i C _i	t _i C _i dt _i	C _i dt _i	t _i ² C _i	t _i ² C _i dt _i
0	0.0	0.0	0	0.0	0.0	0.0	0.0	0.0	0.0
10	6.0	1119.7	10	0.4	4.0	40.3	4.0	40.3	402.9
20	7.0	1319.6	10	0.5	9.5	95.0	4.7	189.9	1899.4
30	9.5	1819.4	10	0.7	19.6	196.4	6.5	589.2	5892.4
40	12.4	2399.3	10	0.9	34.5	345.3	8.6	1381.4	13813.6
50	13.5	2619.2	10	0.9	47.1	471.2	9.4	2356.2	23562.3
60	8.0	1519.5	10	0.5	32.8	328.1	5.5	1968.4	19684.4
70	6.0	1119.7	10	0.4	28.2	282.0	4.0	1974.2	19742.0
80	5.5	1019.7	10	0.4	29.4	293.5	3.7	2348.3	23483.2
90	4.0	719.8	10	0.3	23.3	233.1	2.6	2097.9	20979.5
100	3.5	619.8	10	0.2	22.3	223.0	2.2	2230.3	22303.3
110	3.1	539.8	10	0.2	21.4	213.7	1.9	2350.5	23504.8
120	1.2	160.0	10	0.1	6.9	69.1	0.6	828.8	8288.2
130	0.8	80.0	10	0.0	3.7	37.4	0.3	486.4	4863.6
140	0.6	40.0	10	0.0	2.0	20.1	0.1	282.0	2820.3
150	0.7	60.0	10	0.0	3.2	32.4	0.2	485.6	4856.4
160	0.6	40.0	10	0.0	2.3	23.0	0.1	368.4	3683.6
170	0.5	20.0	10	0.0	1.2	12.2	0.1	207.9	2079.2
180	0.5	20.0	10	0.0	1.3	13.0	0.1	233.1	2331.1
190	0.5	20.0	10	0.0	1.4	13.7	0.1	259.7	2597.3
200	0.4	0.0	10	0.0	0.0	0.0	0.0	0.0	0.0
210	0.4	0.0	10	0.0	0.0	0.0	0.0	0.0	0.0
220	0.4	0.0	10	0.0	0.0	0.0	0.0	0.0	0.0
230	0.4	0.0	10	0.0	0.0	0.0	0.0	0.0	0.0
240	0.4	0.0	10	0.0	0.0	0.0	0.0	0.0	0.0
250	0.4	0.0	10	0.0	0.0	0.0	0.0	0.0	0.0
260	0.4	0.0	10	0.0	0.0	0.0	0.0	0.0	0.0
270	0.4	0.0	10	0.0	0.0	0.0	0.0	0.0	0.0
280	0.4	0.0	10	0.0	0.0	0.0	0.0	0.0	0.0
310	0.4	0.0	30	0.0	0.0	0.0	0.0	0.0	0.0
340	0.4	0.0	30	0.0	0.0	0.0	0.0	0.0	0.0
370	0.4	0.0	30	0.0	0.0	0.0	0.0	0.0	0.0
Total				5.5	294.3	2942.6	54.9	20,678.7	20,6787.3

ตารางที่ บ.2 ข้อมูลการศึกษาลักษณะทางชลศาสตร์ด้วยสารติดตามที่ค่า HRT 1.7 ชั่วโมง

Time (min)	mL of AgNO ₃ 0.141 N	C (mgCl ⁻ /L)	dt _i	C _i = C/C _o	t _i C _i	t _i C _i dt _i	C _i dt _i	t _i ² C _i	t _i ² C _i dt _i
0.0	0.0	0.0	0.0	0.0	0.0	0.0	0.0	0.0	0.0
10.0	0.5	20.0	10.0	0.0	0.1	0.7	0.1	0.7	7.2
20.0	4.5	819.7	10.0	0.3	5.9	59.0	2.9	118.0	1179.9
30.0	8.9	1699.5	10.0	0.6	18.3	183.5	6.1	550.4	5503.9
40.0	9.7	1859.4	10.0	0.7	26.8	267.6	6.7	1070.6	10705.6
50.0	12.4	2399.3	10.0	0.9	43.2	431.7	8.6	2158.4	21583.8
60.0	13.4	2599.2	10.0	0.9	56.1	561.2	9.4	3367.1	33670.7
70.0	13.2	2559.2	10.0	0.9	64.5	644.6	9.2	4512.5	45124.5
80.0	12.0	2319.3	10.0	0.8	66.8	667.7	8.3	5341.3	53412.7
90.0	10.4	1999.4	10.0	0.7	64.8	647.5	7.2	5827.6	58276.3
100.0	9.4	1799.4	10.0	0.6	64.8	647.5	6.5	6475.1	64751.4
110.0	8.2	1559.5	10.0	0.6	61.7	617.3	5.6	6790.3	67902.7
120.0	6.4	1199.6	10.0	0.4	51.8	518.0	4.3	6216.1	62161.4
130.0	3.4	599.8	10.0	0.2	28.1	280.6	2.2	3647.7	36476.6
140.0	1.0	120.0	10.0	0.0	6.0	60.4	0.4	846.1	8460.9
150.0	1.0	120.0	10.0	0.0	6.5	64.8	0.4	971.3	9712.7
160.0	0.9	100.0	10.0	0.0	5.8	57.6	0.4	920.9	9209.1
170.0	0.9	100.0	10.0	0.0	6.1	61.2	0.4	1039.6	10396.2
180.0	0.9	100.0	10.0	0.0	6.5	64.8	0.4	1165.5	11655.3
190.0	0.8	80.0	10.0	0.0	5.5	54.7	0.3	1038.9	10389.0
200.0	0.8	80.0	10.0	0.0	5.8	57.6	0.3	1151.1	11511.4
210.0	0.7	60.0	10.0	0.0	4.5	45.3	0.2	951.8	9518.5
220.0	0.7	60.0	10.0	0.0	4.7	47.5	0.2	1044.7	10446.6
230.0	0.7	60.0	10.0	0.0	5.0	49.6	0.2	1141.8	11417.8
240.0	0.6	40.0	10.0	0.0	3.5	34.5	0.1	828.8	8288.2
250.0	0.4	0.0	10.0	0.0	0.0	0.0	0.0	0.0	0.0
260.0	0.4	0.0	10.0	0.0	0.0	0.0	0.0	0.0	0.0
270.0	0.4	0.0	10.0	0.0	0.0	0.0	0.0	0.0	0.0
280.0	0.4	0.0	10.0	0.0	0.0	0.0	0.0	0.0	0.0
310.0	0.4	0.0	30.0	0.0	0.0	0.0	0.0	0.0	0.0
340.0	0.4	0.0	30.0	0.0	0.0	0.0	0.0	0.0	0.0
370.0	0.4	0.0	30.0	0.0	0.0	0.0	0.0	0.0	0.0
Total				8.0	612.5	6124.8	80.4	57,176.2	57,176.2

ตารางที่ ข.3 ข้อมูลการศึกษาลักษณะทางชลศาสตร์ด้วยสารติดตามที่ค่า HRT 2.6 ชั่วโมง

Time (min)	mL of AgNO ₃ 0.141 N	C (mgCl ⁻ /L)	dt _i	C _i = C/C ₀	t _i C _i	t _i C _i dt _i	C _i dt _i	t _i ² C _i	t _i ² C _i dt _i
0	0.0	0.0	0.0	0.0	0.0	0.0	0.0	0.0	0.0
10	0.9	90.0	10.0	0.0	0.3	3.2	0.3	3.2	32.4
20	6.6	1245.6	10.0	0.4	9.0	89.6	4.5	179.3	1792.9
30	10.6	2039.4	10.0	0.7	22.0	220.2	7.3	660.5	6604.6
40	12.0	2319.3	10.0	0.8	33.4	333.8	8.3	1335.3	13353.2
50	12.6	2445.2	10.0	0.9	44.0	439.9	8.8	2199.7	21997.5
60	12.7	2465.2	10.0	0.9	53.2	532.3	8.9	3193.5	31935.4
70	12.9	2489.2	10.0	0.9	62.7	627.0	9.0	4389.1	43890.7
80	12.7	2459.2	10.0	0.9	70.8	707.9	8.8	5663.6	56635.9
90	12.4	2399.3	10.0	0.9	77.7	777.0	8.6	6993.2	69931.5
100	11.1	2147.3	10.0	0.8	77.3	772.7	7.7	7727.0	77270.0
110	8.2	1565.5	10.0	0.6	62.0	619.7	5.6	6816.4	68163.8
120	5.1	943.7	10.0	0.3	40.8	407.5	3.4	4890.0	48900.3
130	3.1	541.8	10.0	0.2	25.3	253.5	1.9	3295.1	32950.6
140	2.1	345.9	10.0	0.1	17.4	174.3	1.2	2439.5	24395.5
150	1.2	165.9	10.0	0.1	9.0	89.6	0.6	1343.6	13435.9
160	1.0	120.0	10.0	0.0	6.9	69.1	0.4	1105.1	11050.9
170	1.0	118.0	10.0	0.0	7.2	72.2	0.4	1226.8	12267.5
180	1.0	112.0	10.0	0.0	7.3	72.5	0.4	1305.4	13053.9
190	0.9	108.0	10.0	0.0	7.4	73.8	0.4	1402.5	14025.2
200	0.8	84.0	10.0	0.0	6.0	60.4	0.3	1208.7	12086.9
210	0.7	60.0	10.0	0.0	4.5	45.3	0.2	951.8	9518.5
220	0.7	52.0	10.0	0.0	4.1	41.2	0.2	905.4	9053.7
230	0.6	30.0	10.0	0.0	2.5	24.8	0.1	570.9	5708.9
240	0.6	30.0	10.0	0.0	2.6	25.9	0.1	621.6	6216.1
250	0.6	30.0	10.0	0.0	2.7	27.0	0.1	674.5	6744.9
260	0.6	30.0	10.0	0.0	2.8	28.1	0.1	729.5	7295.3
270	0.5	20.0	10.0	0.0	1.9	19.4	0.1	524.5	5244.9
280	0.4	0.0	10.0	0.0	0.0	0.0	0.0	0.0	0.0
310	0.4	0.0	30.0	0.0	0.0	0.0	0.0	0.0	0.0
340	0.4	0.0	30.0	0.0	0.0	0.0	0.0	0.0	0.0
370	0.4	0.0	30.0	0.0	0.0	0.0	0.0	0.0	0.0
Total				8.8	660.8	6607.9	88.0	62355.7	623556.9

ตารางที่ ข.4 ข้อมูลการศึกษาด้วยทางชลศาสตร์ด้วยสารติดตามที่ค่า HRT 6.9 ชั่วโมง

Time (min)	mL of AgNO ₃ 0.141 N	C (mgCl ⁻ /L)	dt _i	C _i = C/C ₀	t _i C _i	t _i C _i dt _i	C _i dt _i	t _i ² C _i	t _i ² C _i dt _i
0.0	0.0	0.0	0.0	0.0	0.0	0.0	0.0	0.0	0.0
30.0	0.4	0.0	30.0	0.0	0.0	0.0	0.0	0.0	0.0
60.0	3.0	519.8	30.0	0.2	10.9	327.3	5.5	654.6	19,637.1
90.0	6.7	1,259.6	30.0	0.4	39.7	1,189.6	13.2	3,568.7	107,060.2
120.0	10.5	2,019.4	30.0	0.7	84.8	2,542.8	21.2	10,171.0	305,131.0
150.0	12.4	2,399.3	30.0	0.8	125.9	3,776.4	25.2	18,881.9	566,456.0
180.0	12.5	2,419.2	30.0	0.8	152.3	4,569.4	25.4	27,416.5	822,494.2
210.0	12.9	2,499.2	30.0	0.9	183.6	5,507.2	26.2	38,550.5	1,156,514.4
240.0	12.8	2,479.2	30.0	0.9	208.1	6,243.6	26.0	49,948.8	1,498,465.0
270.0	10.2	1,959.4	30.0	0.7	185.0	5,551.3	20.6	49,961.4	1,498,842.7
300.0	9.0	1,719.5	30.0	0.6	180.4	5,412.8	18.0	54,128.0	1,623,840.6
330.0	8.0	1,519.5	30.0	0.5	175.4	5,261.7	15.9	57,879.2	1,736,376.6
360.0	6.0	1,119.7	30.0	0.4	141.0	4,229.5	11.7	50,754.5	1,522,633.8
390.0	4.2	759.8	30.0	0.3	103.6	3,109.2	8.0	40,419.8	1,212,593.5
405.0	3.2	559.8	15.0	0.2	79.3	1,189.6	2.9	32,118.1	481,770.9
420.0	2.5	419.9	15.0	0.1	61.7	925.2	2.2	25,905.9	388,588.8
435.0	2.2	359.9	15.0	0.1	54.8	821.4	1.9	23,819.5	357,292.1
450.0	1.5	219.9	15.0	0.1	34.6	519.3	1.2	15,577.5	233,663.1
465.0	1.4	199.9	15.0	0.1	32.5	487.8	1.0	15,121.2	226,818.4
480.0	1.2	160.0	15.0	0.1	26.9	402.8	0.8	12,890.0	193,350.3
495.0	1.1	146.0	15.0	0.1	25.3	379.1	0.8	12,508.8	187,631.5
510.0	0.9	100.0	15.0	0.0	17.8	267.5	0.5	9,094.8	136,421.5
525.0	0.8	80.0	15.0	0.0	14.7	220.3	0.4	7,710.1	115,651.4
540.0	0.8	80.0	15.0	0.0	15.1	226.6	0.4	8,157.0	122,354.5
555.0	0.8	80.0	15.0	0.0	15.5	232.9	0.4	8,616.4	129,246.4
570.0	0.6	40.0	15.0	0.0	8.0	119.6	0.2	4,544.2	68,163.5
585.0	0.6	40.0	15.0	0.0	8.2	122.7	0.2	4,786.6	71,798.3
600.0	0.6	40.0	15.0	0.0	8.4	125.9	0.2	5,035.2	75,527.5
615.0	0.6	46.0	15.0	0.0	9.9	148.4	0.2	6,083.6	91,253.7
645.0	0.6	40.0	30.0	0.0	9.0	270.6	0.4	5,818.8	174,562.9
675.0	0.6	40.0	30.0	0.0	9.4	283.2	0.4	6,372.6	191,178.9
705.0	0.6	40.0	30.0	0.0	9.9	295.8	0.4	6,951.7	208,550.2
Total				8.1	2,031.6	54,759.3	231.7	613,446.7	15,523,869.2

ตารางที่ ข.5 ข้อมูลการศึกษาลักษณะทางชลศาสตร์ด้วยสารติดตามที่ค่า HRT 11.5 ชั่วโมง

Time (min)	mL of AgNO ₃ 0.141 N	C (mgCl ⁻ /L)	dt _i	C _i = C/C ₀	t _i C _i	t _i C _i dt _i	C _i dt _i	t _i ² C _i	t _i ² C _i dt _i
0	0.0	-80.0	0.0	0.0	0.0	0.0	0.0	0.0	0.0
30	0.8	72.0	30.0	0.0	0.8	22.7	0.8	22.7	679.7
60	2.2	353.9	30.0	0.1	7.4	222.8	3.7	445.6	13,368.4
90	9.5	1,825.4	30.0	0.6	57.5	1,723.9	19.2	5171.7	15,5152.3
120	11.9	2,299.3	30.0	0.8	96.5	2,895.2	24.1	11,580.9	34,7426.4
150	13.0	2,519.2	30.0	0.9	132.2	3,965.2	26.4	19,826.0	59,4778.8
180	13.2	2,559.2	30.0	0.9	161.1	4,833.8	26.9	29,002.5	870,076.5
210	13.7	2,659.2	30.0	0.9	195.3	5,859.7	27.9	41,017.7	1,230,531.3
240	13.6	2,639.2	30.0	0.9	221.5	6,646.4	27.7	53,171.3	1,595,140.2
270	13.3	2,579.2	30.0	0.9	243.6	7,307.3	27.1	65,765.5	1,972,966.4
300	13.0	2,519.2	30.0	0.9	264.3	7,930.4	26.4	79,303.8	2,379,115.3
330	12.1	2,339.3	30.0	0.8	270.0	8,100.3	24.5	89,103.5	2,673,106.0
360	6.2	1,159.6	30.0	0.4	146.0	4,380.6	12.2	52,567.1	1577013.6
390	3.3	579.8	30.0	0.2	79.1	2,372.8	6.1	30,846.7	925,400.3
405	2.6	439.9	15.0	0.2	62.3	934.7	2.3	25,235.6	378,534.2
420	2.2	359.9	15.0	0.1	52.9	793.0	1.9	22,205.1	333,076.1
435	1.9	299.9	15.0	0.1	45.6	684.5	1.6	19,849.6	297743.5
450	1.4	199.9	15.0	0.1	31.5	472.0	1.0	14,161.4	212,421.0
465	1.3	179.9	15.0	0.1	29.3	439.0	0.9	13,609.1	204,136.6
480	1.2	160.0	15.0	0.1	26.9	402.8	0.8	12,890.0	193,350.3
495	1.1	146.0	15.0	0.1	25.3	379.1	0.8	12,508.8	187,631.5
510	1.0	120.0	15.0	0.0	21.4	321.0	0.6	10,913.7	163,705.8
525	1.0	114.0	15.0	0.0	20.9	313.9	0.6	10,986.9	164,803.3
540	1.0	114.0	15.0	0.0	21.5	322.9	0.6	11,623.7	174,355.2
555	0.8	80.0	15.0	0.0	15.5	232.9	0.4	8,616.4	129,246.4
570	0.7	66.0	15.0	0.0	13.2	197.3	0.3	7,498.0	112,469.8
585	0.7	60.0	15.0	0.0	12.3	184.1	0.3	7,179.8	107,697.5
600	0.7	60.0	15.0	0.0	12.6	188.8	0.3	7,552.7	113,291.2
615	0.6	46.0	15.0	0.0	9.9	148.4	0.2	6,083.6	91,253.7
645	0.6	40.0	30.0	0.0	9.0	270.6	0.4	5,818.8	174,562.9
675	0.6	40.0	30.0	0.0	9.4	283.2	0.4	6,372.6	191,178.9
705	0.5	26.0	30.0	0.0	6.4	192.3	0.3	4,518.6	135,557.6
Total				9.3	2,301.2	63,021.5	266.9	68,5449.6	17,699,770.8

ภาคผนวก ค

ข้อมูลจากการศึกษาประสิทธิภาพการกำจัดสารอินทรีย์

ตารางที่ ก.1 ประสิทธิภาพการกำจัดค่า SCOD ในช่วงศึกษาการเดินระบบระยะเวลา 522 วัน

DATE	Influent (mg/L)	SCOD Effluent			
		FDHS		BDHS	
		SCOD (mg/L)	% COD removal	SCOD (mg/L)	% COD removal
23 Sep 07	350.0	190.0	45.7	264.0	24.6
25 Sep 07	320.0	157.0	50.9	180.0	43.8
27 Sep 07	341.0	168.0	50.7	236.0	30.8
29 Sep 07	350.0	197.0	43.7	242.0	30.9
1 Oct 07	329.0	152.0	53.8	290.0	11.9
3 Oct 07	307.0	164.5	46.4	230.4	25.0
5 Oct 07	376.0	192.0	48.9	230.0	38.8
7 Oct 07	367.0	170.0	53.7	192.0	47.7
9 Oct 07	340.0	160.0	52.9	206.0	39.4
11 Oct 07	309.0	196.0	36.6	227.0	26.5
13 Oct 07	332.0	162.0	51.2	198.0	40.4
15 Oct 07	363.0	124.3	65.8	148.0	59.2
17 Oct 07	424.0	144.0	66.0	240.0	43.4
19 Oct 07	424.0	144.0	66.0	184.0	56.6
21 Oct 07	364.0	221.0	39.3	182.0	50.0
23 Oct 07	337.1	141.1	58.1	180.3	46.5
25 Oct 07	313.6	141.0	55.0	141.1	55.0
27 Oct 07	284.2	165.1	41.9	153.6	46.0
29 Oct 07	392.0	187.8	52.1	196.0	50.0
31 Oct 07	320.0	160.0	50.0	108.0	66.3
2 Nov 07	439.0	247.0	43.7	207.8	52.7
4 Nov 07	495.4	227.2	54.1	192.0	61.2
6 Nov 07	345.4	171.6	50.3	194.0	43.8
8 Nov 07	441.1	162.8	63.1	232.8	47.2
10 Nov 07	441.1	175.5	60.2	232.8	47.2
12 Nov 07	375.1	165.0	56.0	258.7	31.0
14 Nov 07	370.3	165.9	55.2	219.9	40.6
16 Nov 07	313.3	213.1	32.0	200.5	36.0
18 Nov 07	376.0	138.0	63.3	238.1	36.7
20 Nov 07	338.4	213.1	37.0	200.5	40.7
22 Nov 07	338.4	178.1	47.4	200.5	40.7
24 Nov 07	323.7	185.6	42.7	198.4	38.7
26 Nov 07	312.5	160.8	48.5	199.6	36.1
28 Nov 07	297.6	184.4	38.0	212.0	28.8
30 Nov 07	517.0	308.8	40.3	251.0	51.5

ตารางที่ ก.1 ประสิทธิภาพการกำจัดค่า SCOD ในช่วงศึกษาการเดินระบบระยะเวลา 522 วัน (ต่อ)

DATE	Influent (mg/L)	SCOD Effluent			
		FDHS		BDHS	
		SCOD (mg/L)	% COD removal	SCOD (mg/L)	% COD removal
2 Dec 07	383.2	166.4	56.6	223.0	41.8
4 Dec 07	469.0	271.0	42.2	246.0	47.5
6 Dec 07	493.0	399.6	18.9	260.0	47.3
8 Dec 07	442.3	298.8	32.4	271.6	38.6
10 Dec 07	442.3	271.6	38.6	271.6	38.6
12 Dec 07	411.3	294.9	28.3	244.4	40.6
14 Dec 07	411.3	271.6	34.0	244.4	40.6
16 Dec 07	434.6	254.6	41.4	232.8	46.4
18 Dec 07	434.6	243.2	44.0	232.8	46.4
20 Dec 07	410.4	254.6	38.0	254.6	38.0
22 Dec 07	410.4	243.2	40.7	254.6	38.0
24 Dec 07	325.0	146.0	55.1	209.0	35.7
26 Dec 07	442.7	169.2	61.8	282.7	36.1
28 Dec 07	487.3	159.2	67.3	245.5	49.6
31 Dec 07	346.0	171.1	50.5	122.8	64.5
2 Jan 08	359.6	148.8	58.6	260.4	27.6
4 Jan 08	399.3	173.6	56.5	212.0	46.9
6 Jan 08	436.5	173.6	60.2	174.8	60.0
8 Jan 08	359.6	137.6	61.7	260.4	27.6
10 Jan 08	399.3	173.6	56.5	212.0	46.9
12 Jan 08	436.5	137.6	68.5	174.8	60.0
14 Jan 08	440.8	137.6	68.8	315.4	28.4
16 Jan 08	241.0	112.0	53.5	133.2	44.7
18 Jan 08	324.0	178.6	44.9	154.8	52.2
20 Jan 08	309.2	178.6	42.2	169.2	45.3
22 Jan 08	388.8	133.2	65.7	216.0	44.4
24 Jan 08	324.0	144.0	55.6	154.8	52.2
26 Jan 08	309.2	187.2	39.5	169.2	45.3
28 Jan 08	388.8	154.8	60.2	216.0	44.4
30 Jan 08	457.2	154.8	66.1	180.0	60.6
1 Feb 08	400.4	162.0	59.5	192.9	51.8
3 Feb 08	411.3	218.4	46.9	207.5	49.6
5 Feb 08	415.0	171.1	58.8	243.9	41.2
7 Feb 08	296.6	141.2	52.4	171.1	42.3
9 Feb 08	456.7	291.2	36.2	254.8	44.2

ตารางที่ ก.1 ประสิทธิภาพการกำจัดค่า SCOD ในช่วงศึกษาการเดินระบบระยะเวลา 522 วัน (ต่อ)

DATE	Influent (mg/L)	SCOD Effluent			
		FDHS		BDHS	
		SCOD (mg/L)	% COD removal	SCOD (mg/L)	% COD removal
11 Feb 08	498.7	229.3	54.0	309.4	38.0
13 Feb 08	498.0	238.5	52.1	309.4	37.9
15 Feb 08	232.9	72.8	68.7	87.4	62.5
17 Feb 08	243.9	110.2	54.8	160.2	34.3
19 Feb 08	245.0	123.8	49.5	109.2	55.4
21 Feb 08	218.4	110.2	49.5	160.2	26.6
23 Feb 08	345.8	129.3	62.6	156.5	54.7
25 Feb 08	345.8	110.2	68.1	156.5	54.7
27 Feb 08	345.8	123.8	64.2	156.5	54.7
29 Feb 08	211.9	110.2	48.0	112.8	46.8
2 Mar 08	345.8	110.2	68.1	156.5	54.7
4 Mar 08	320.1	123.8	61.3	156.5	51.1
6 Mar 08	296.9	110.2	62.9	99.4	66.5
8 Mar 08	296.9	110.2	62.9	99.4	66.5
10 Mar 08	296.9	123.8	58.3	99.4	66.5
12 Mar 08	284.7	110.2	61.3	124.0	56.4
14 Mar 08	284.7	155.2	45.5	124.0	56.4
16 Mar 08	505.0	221.2	56.2	231.4	54.2
18 Mar 08	505.0	249.2	50.7	231.4	54.2
20 Mar 08	235.1	112.0	52.4	39.2	83.3
22 Mar 08	235.1	110.2	53.1	39.2	83.3
24 Mar 08	356.8	155.2	56.5	90.2	74.7
26 Mar 08	235.1	67.0	71.5	39.2	83.3
28 Mar 08	260.0	140.0	46.2	194.0	25.4
30 Mar 08	465.6	155.2	66.7	170.7	63.3
1 Apr 08	465.6	221.2	52.5	170.7	63.3
3 Apr 08	492.8	276.0	44.0	182.4	63.0
5 Apr 08	372.0	148.0	60.2	80.0	78.5
7 Apr 08	298.5	148.0	50.4	104.0	65.2
9 Apr 08	536.0	276.0	48.5	287.1	46.4
11 Apr 08	536.0	110.2	79.4	287.1	46.4
13 Apr 08	536.0	155.2	71.0	287.1	46.4
15 Apr 08	418.5	67.0	84.0	195.0	53.4
17 Apr 08	418.5	140.0	66.5	195.0	53.4
19 Apr 08	418.5	155.2	62.9	195.0	53.4

ตารางที่ ก.1 ประสิทธิภาพการกำจัดค่า SCOD ในช่วงศึกษาการเดินระบบระยะเวลา 522 วัน (ต่อ)

DATE	Influent (mg/L)	SCOD Effluent			
		FDHS		BDHS	
		SCOD (mg/L)	% COD removal	SCOD (mg/L)	% COD removal
21 Apr 08	237.7	102.0	57.1	123.0	48.3
23 Apr 08	273.9	187.4	31.6	140.0	48.9
25 Apr 08	238.5	140.0	41.3	135.0	43.4
27 Apr 08	356.0	155.2	56.4	132.0	62.9
29 Apr 08	356.0	102.0	71.3	132.0	62.9
1 May 08	238.5	187.4	21.4	135.0	43.4
3 May 08	356.0	248.3	30.3	132.0	62.9
5 May 08	356.0	155.2	56.4	132.0	62.9
7 May 08	356.0	221.2	37.9	132.0	62.9
9 May 08	358.5	156.0	56.5	135.0	62.3
11 May 08	356.0	148.0	58.4	132.0	62.9
13 May 08	295.3	148.0	49.9	131.0	55.6
15 May 08	370.1	276.0	25.4	131.0	64.6
17 May 08	370.1	110.2	70.2	131.0	64.6
19 May 08	370.1	102.0	72.4	131.0	64.6
21 May 08	295.3	116.9	60.4	131.0	55.6
23 May 08	273.4	116.9	57.2	150.7	44.9
25 May 08	265.2	116.9	55.9	154.9	41.6
27 May 08	207.7	119.7	42.4	112.6	45.8
29 May 08	325.5	102.0	68.7	199.0	38.9
31 May 08	262.0	87.7	66.5	153.0	41.6
2 Jun 08	262.0	87.7	66.5	153.0	41.6
4 Jun 08	265.6	133.6	49.7	115.5	56.5
6 Jun 08	266.8	102.0	61.8	147.6	44.7
8 Jun 08	266.8	187.4	29.8	147.6	44.7
10 Jun 08	359.9	140.0	61.1	162.2	54.9
12 Jun 08	370.2	155.2	58.1	194.7	47.4
14 Jun 08	359.9	102.0	71.7	162.2	54.9
16 Jun 08	429.2	229.3	46.6	278.4	35.1
18 Jun 08	310.8	238.5	23.3	271.6	12.6
20 Jun 08	343.4	72.8	78.8	252.2	26.6
22 Jun 08	456.0	110.2	75.8	290.3	36.3
24 Jun 08	440.0	123.8	71.9	306.4	30.4
26 Jun 08	359.9	110.2	69.4	162.2	54.9
28 Jun 08	370.2	129.3	65.1	194.7	47.4

ตารางที่ ก.1 ประสิทธิภาพการกำจัดค่า SCOD ในช่วงศึกษาการเดินระบบระยะเวลา 522 วัน (ต่อ)

DATE	Influent (mg/L)	SCOD Effluent			
		FDHS		BDHS	
		SCOD (mg/L)	% COD removal	SCOD (mg/L)	% COD removal
30 Jun 08	359.9	110.2	69.4	162.2	54.9
2 Jul 08	370.2	243.2	34.3	194.7	47.4
4 Jul 08	234.3	146.0	37.7	144.6	38.3
6 Jul 08	456.0	169.2	62.9	290.3	36.3
8 Jul 08	440.0	159.2	63.8	306.4	30.4
10 Jul 08	370.2	171.1	53.8	194.7	47.4
12 Jul 08	359.9	148.8	58.7	162.2	54.9
14 Jul 08	349.2	173.6	50.3	192.0	45.0
16 Jul 08	349.2	173.6	50.3	192.0	45.0
18 Jul 08	404.5	137.6	66.0	260.0	35.7
20 Jul 08	340.4	155.2	54.4	217.6	36.1
22 Jul 08	395.6	67.0	83.1	302.1	23.6
24 Jul 08	340.4	140.0	58.9	217.6	36.1
26 Jul 08	340.4	155.2	54.4	217.6	36.1
28 Jul 08	263.4	102.0	61.3	201.0	23.7
30 Jul 08	370.2	187.4	49.4	194.7	47.4
1 Aug 08	359.9	140.0	61.1	162.2	54.9
3 Aug 08	349.2	155.2	55.6	192.0	45.0
5 Aug 08	349.2	102.0	70.8	192.0	45.0
7 Aug 08	370.2	187.4	49.4	194.7	47.4
9 Aug 08	359.9	137.6	61.8	162.2	54.9
11 Aug 08	368.7	175.4	52.4	183.0	50.4
13 Aug 08	296.0	123.0	58.4	102.0	65.5
15 Aug 08	363.5	213.8	41.2	144.6	60.2
17 Aug 08	204.8	110.0	46.3	98.2	52.1
19 Aug 08	277.8	166.4	40.1	93.4	66.4
21 Aug 08	179.2	97.0	45.9	93.4	47.9
23 Aug 08	290.5	136.9	52.9	89.6	69.2
25 Aug 08	373.5	142.0	62.0	190.0	49.1
27 Aug 08	293.7	120.0	59.1	145.0	50.6
29 Aug 08	279.5	110.0	60.6	124.6	55.4
31 Aug 08	279.5	142.0	49.2	124.6	55.4
2 Sep 08	235.3	100.0	57.5	78.1	66.8
4 Sep 08	476.0	110.0	76.9	120.0	74.8
6 Sep 08	325.6	130.6	59.9	107.0	67.1

ตารางที่ ก.1 ประสิทธิภาพการกำจัดค่า SCOD ในช่วงศึกษาการเดินระบบระยะเวลา 522 วัน (ต่อ)

DATE	Influent (mg/L)	SCOD Effluent			
		FDHS		BDHS	
		SCOD (mg/L)	% COD removal	SCOD (mg/L)	% COD removal
8 Sep 08	236.8	122.0	48.5	105.0	55.7
10 Sep 08	471.0	96.0	79.6	173.9	63.1
12 Sep 08	435.2	88.7	79.6	100.9	76.8
14 Sep 08	435.2	130.0	70.1	67.5	84.5
16 Sep 08	340.0	92.0	72.9	108.8	68.0
18 Sep 08	353.6	141.4	60.0	103.4	70.8
20 Sep 08	427.8	113.0	73.6	89.2	79.1
22 Sep 08	340.0	103.0	69.7	108.8	68.0
24 Sep 08	279.0	116.0	58.4	111.6	60.0
26 Sep 08	279.0	98.0	64.9	111.6	60.0
28 Sep 08	279.0	96.7	65.3	96.7	65.3
30 Sep 08	297.6	85.0	71.4	111.6	62.5
2 Oct 08	409.2	113.0	72.4	134.0	67.3
4 Oct 08	297.6	86.0	71.1	120.0	59.7
6 Oct 08	502.2	108.3	78.4	113.0	77.5
8 Oct 08	253.2	98.0	61.3	104.2	53.3
10 Oct 08	223.2	87.0	61.0	108.0	51.6
12 Oct 08	260.4	97.0	62.7	109.0	58.1
14 Oct 08	340.0	143.8	57.7	108.8	68.0
16 Oct 08	340.0	118.6	65.1	108.8	68.0
18 Oct 08	279.0	85.0	69.5	111.6	60.0
20 Oct 08	279.0	113.0	59.5	96.7	65.3
22 Oct 08	427.8	86.0	79.9	89.2	79.1
24 Oct 08	409.2	108.0	73.6	134.0	67.3
26 Oct 08	297.6	98.0	67.1	120.0	59.7
28 Oct 08	297.6	87.0	70.8	111.6	62.5
30 Oct 08	502.2	97.0	80.7	113.0	77.5
1 Nov 08	279.0	103.8	62.8	96.7	65.3
3 Nov 08	427.8	143.8	66.4	89.2	79.1
5 Nov 08	409.2	128.2	68.7	134.0	67.3
7 Nov 08	297.6	85.0	71.4	120.0	59.7
9 Nov 08	340.0	113.0	66.8	108.8	68.0
11 Nov 08	298.4	86.0	71.2	114.0	61.8
13 Nov 08	298.4	82.7	72.3	114.0	61.8
16 Nov 08	298.4	115.7	61.2	114.0	61.8

ตารางที่ ก.1 ประสิทธิภาพการกำจัดค่า SCOD ในช่วงศึกษาการเดินระบบระยะเวลา 522 วัน (ต่อ)

DATE	Influent (mg/L)	SCOD Effluent			
		FDHS		BDHS	
		SCOD (mg/L)	% COD removal	SCOD (mg/L)	% COD removal
19 Nov 08	389.0	107.5	72.4	82.7	78.7
22 Nov 08	410.0	115.7	71.8	82.7	79.8
25 Nov 08	396.8	133.6	66.3	134.0	66.2
28 Nov 08	385.2	97.0	74.8	143.0	62.9
1 Dec 08	396.0	98.0	75.3	156.0	60.6
4 Dec 08	425.0	123.0	71.1	203.0	52.2
7 Dec 08	512.0	154.0	69.9	198.0	61.3
10 Dec 08	595.2	164.0	72.4	323.0	45.7
13 Dec 08	617.5	124.0	79.9	234.0	62.1
16 Dec 08	520.8	148.0	71.6	249.2	52.2
19 Dec 08	647.3	134.0	79.3	271.6	58.0
22 Dec 08	578.0	241.0	58.3	360.8	37.6
25 Dec 08	446.4	102.0	77.2	223.0	50.0
28 Dec 08	639.8	103.0	83.9	334.8	47.7
31 Dec 08	367.8	96.0	73.9	208.3	43.4
3 Jan 09	468.7	145.0	69.1	133.9	71.4
6 Jan 09	491.0	142.0	71.1	186.0	62.1
9 Jan 09	319.0	123.0	61.4	186.0	41.7
12 Jan 09	425.0	145.0	65.9	154.0	63.8
15 Jan 09	417.0	123.0	70.5	165.0	60.4
18 Jan 09	389.0	89.0	77.1	125.0	67.9
21 Jan 09	458.0	128.0	72.1	106.0	76.9
24 Jan 09	465.0	165.0	64.5	204.0	56.1
27 Jan 09	521.0	127.0	75.6	219.0	58.0
30 Jan 09	426.0	123.0	71.1	165.0	61.3
2 Feb 09	437.0	115.0	73.7	154.0	64.8
5 Feb 09	445.0	124.0	72.1	123.0	72.4
8 Feb 09	426.0	132.0	69.0	145.0	66.0
11 Feb 09	478.0	126.0	73.6	165.0	65.5
14 Feb 09	426.0	141.0	66.9	102.0	76.1
17 Feb 09	454.0	119.0	73.8	121.0	73.3
20 Feb 09	521.0	118.0	77.4	145.0	72.2
23 Feb 09	475.0	116.0	75.6	162.0	65.9
26 Feb 09	485.0	119.0	75.5	154.0	68.2

ตารางที่ ก.2 ผลการตีกันย่าง TCOD, TBOD, SCOD และ SBOD ในน้ำเสียที่เข้าระบบน้ำ DHS (RUN 1)

DHS Profiles	DATE	BDHS						FDHS					
		TCOD (mg/L)	SCOD (mg/L)	TBOD (mg/L)	SBOD (mg/L)	A [*]	B [*]	TCOD (mg/L)	SCOD (mg/L)	TBOD (mg/L)	SBOD (mg/L)	A [*]	B [*]
Inlet	10 Dec 08	729.4	442.3	330.0	193.8	0.45	0.44	729.4	442.3	330.0	193.8	0.45	0.44
	23 Feb 08	1,106.6	436.8	416.0	234.0	0.38	0.54	1,106.6	436.8	416.0	234.0	0.38	0.54
	4 Mar 08	538.7	254.8	280.0	180.0	0.52	0.71	538.7	254.8	280.0	180.0	0.52	0.71
	18 Mar 08	1,685.0	605.0	308.0	257.0	0.18	0.42	1,685.0	605.0	308.0	257.0	0.18	0.42
	7 Jun 08	754.0	432.0	397.0	211.0	0.53	0.49	754.0	432.0	397.0	211.0	0.53	0.49
	30 May 08	1,830.0	297.0	230.0	170.0	0.13	0.57	1,830.0	297.0	230.0	170.0	0.13	0.57
	7 Jul 08	1,285.0	537.0	340.0	215.0	0.26	0.40	1,285.0	537.0	340.0	215.0	0.26	0.40
	8 Jul 08	1,343.0	521.5	350.0	230.0	0.26	0.44	1,343.0	521.5	350.0	230.0	0.26	0.44
	9 Jul 08	1,567.0	366.1	340.0	250.0	0.22	0.68	1,567.0	366.1	340.0	250.0	0.22	0.68
	10 Jul 08	1,890.0	497.0	370.0	230.0	0.20	0.46	1,890.0	497.0	370.0	230.0	0.20	0.46
AVE		1,272.9	439.0	336.1	217.1	0.3	0.5	1,272.9	439.0	336.1	217.1	0.3	0.5
SD		481.2	108.9	54.5	28.8	0.1	0.1	481.2	108.9	54.5	28.8	0.1	0.1

หมายเหตุ: A = TBOD/TCOD, B=SBOD/SBOD

ตารางที่ ก.๓ ผลการตีน้ำท่า TCOD, TBOD, SCOD และ SBOD ในแม่น้ำชาก segment 1 ของระบบ DHS (RUN I)

DHS profiles	DATE	BDHS						FDHS					
		TCOD (mg/L)	SCOD (mg/L)	TBOD (mg/L)	SBOD (mg/L)	A [*]	B [*]	TCOD (mg/L)	SCOD (mg/L)	TBOD (mg/L)	SBOD (mg/L)	A [*]	B [*]
Segment 1	10 Dec 08	541.4	399.6	225.1	159.1	0.42	0.40	342.0	415.2	83.0	32.0	0.24	0.08
	23 Feb 08	786.2	254.8	298.0	116.0	0.38	0.46	655.2	269.0	60.0	50.0	0.09	0.19
	4 Mar 08	385.8	207.5	230.0	113.0	0.60	0.54	364.0	207.5	90.0	45.0	0.25	0.22
	18 Mar 08	795.0	284.0	224.0	131.0	0.28	0.46	450.0	397.0	87.0	67.0	0.19	0.17
	7 Jun 08	398.0	97.2	135.0	50.6	0.34	0.52	340.0	162.0	67.5	45.0	0.20	0.28
	30 May 08	1,651.0	257.0	245.0	180.0	0.15	0.70	340.0	257.0	56.0	68.0	0.16	0.26
	7 Jul 08	865.0	413.0	267.0	132.0	0.31	0.32	265.0	467.7	86.0	56.0	0.32	0.12
	8 Jul 08	765.0	451.6	256.0	145.0	0.33	0.32	450.0	505.3	76.0	47.0	0.17	0.09
	9 Jul 08	780.0	262.1	245.0	156.0	0.31	0.60	387.0	353.6	78.0	65.0	0.20	0.18
	10 Jul 08	789.0	282.9	276.0	143.0	0.35	0.51	399.0	249.6	68.0	77.0	0.17	0.31
AVE		775.6	291.0	240.1	132.6	0.31	0.46	399.2	328.4	75.2	55.2	0.19	0.17
SD		353.5	105.6	43.8	35.2			105.6	115.8	11.8	13.8		

หมายเหตุ: A = TBOD/TCOD, B=SBOD/SBOD

ตารางที่ ๓.๔ ผลการพิสูจน์ค่า TCOD, TBOD, SCOD และ SBOD ในน้ำทิ้งจาก segment 2 ของระบบ DHS (RUN I)

DHS profiles	DATE	BDHS						FDHS					
		TCOD (mg/L)	SCOD (mg/L)	TBOD (mg/L)	SBOD (mg/L)	A*	B*	TCOD (mg/L)	SCOD (mg/L)	TBOD (mg/L)	SBOD (mg/L)	A*	B*
	10 Dec 08	451.2	349.2	196.4	89.0	0.44	0.25	579.0	388.0	50.0	35.0	0.09	0.09
	23 Feb 08	567.8	193.0	154.0	69.0	0.27	0.36	582.4	256.5	43.0	30.0	0.07	0.12
	4 Mar 08	990.0	145.6	143.0	45.0	0.14	0.31	458.6	265.7	34.0	45.0	0.07	0.17
	18 Mar 08	676.0	178.0	134.0	52.0	0.20	0.29	557.0	231.0	35.0	65.0	0.06	0.28
Segment 2	7 Jun 08	1,204.0	55.1	234.0	22.5	0.19	0.41	356.0	184.7	42.2	35.0	0.12	0.19
	30 May 08	894.0	222.0	127.0	67.0	0.14	0.30	344.0	208.0	67.0	50.0	0.19	0.24
	7 Jul 08	980.0	397.8	145.0	54.0	0.15	0.14	450.0	376.3	87.0	49.0	0.19	0.13
	8 Jul 08	750.0	344.1	134.0	45.0	0.18	0.13	356.0	467.7	98.0	45.0	0.28	0.10
	9 Jul 08	670.0	228.8	154.0	67.0	0.23	0.29	445.0	303.7	88.0	54.0	0.20	0.18
	10 Jul 08	890.0	193.4	144.0	66.0	0.16	0.34	427.0	235.0	95.0	45.0	0.22	0.19
	A VE	807.3	230.7	156.5	57.7	0.19	0.25	455.5	291.7	63.9	45.3	0.14	0.16
	SD	225.7	104.7	33.3	18.1			91.2	91.2	26.0	10.3		

หมายเหตุ: A = TBOD/TCOD, B=SBOD/SBOD

ตารางที่ 5 ผลการศึกษาค่า TCOD, TBOD, SCOD และ SBOD ในน้ำเสียจาก segment 3 ของระบบ DHS (RUN I)

DHS profiles	DATE	BDHS						FDHS					
		TCOD (mg/L)	SCOD (mg/L)	TBOD (mg/L)	SBOD (mg/L)	A [*]	B [*]	TCOD (mg/L)	SCOD (mg/L)	TBOD (mg/L)	SBOD (mg/L)	A [*]	B [*]
	10 Dec 08	376.0	310.4	144.4	123.7	0.38	0.40	451.2	399.6	80.0	40.0	0.18	0.10
	23 Feb 08	313.0	182.0	99.0	77.0	0.32	0.42	509.6	229.3	85.0	36.0	0.17	0.16
	4 Mar 08	231.0	83.7	123.0	112.0	0.53	1.34	269.4	163.8	78.0	54.0	0.29	0.33
	18 Mar 08	534.0	249.0	134.0	57.0	0.25	0.23	581.0	207.0	79.0	38.0	0.14	0.18
	7 Jun 08	786.0	48.6	194.0	22.5	0.25	0.46	469.0	178.2	39.4	19.7	0.08	0.11
Segment 3	30 May 08	708.0	191.0	123.0	65.0	0.17	0.34	206.0	142.0	69.0	36.0	0.33	0.25
	7 Jul 08	480.0	306.4	145.0	77.0	0.30	0.25	250.0	376.3	79.0	47.0	0.32	0.12
	8 Jul 08	342.0	306.4	132.0	98.0	0.39	0.32	235.0	290.3	76.0	44.0	0.32	0.15
	9 Jul 08	456.0	194.7	112.0	89.0	0.25	0.46	243.0	182.2	78.0	34.0	0.32	0.19
	10 Jul 08	234.0	190.9	156.0	78.0	0.67	0.41	267.0	232.1	77.0	32.0	0.29	0.14
	AVE	446.0	206.3	136.2	79.9	0.31	0.39	348.1	240.1	74.0	38.1	0.21	0.16
	SD	200.7	110.3	57.9	39.8			138.2	88.5	12.8	9.3		

หมายเหตุ: A = TBOD/TCOD, B=SBOD/SBOD

ตารางที่ ๗.๖ ผลการศึกษาสำหรับ TCOD, TBOD, SCOD และ SBOD ในแม่น้ำทิ่งหา segment 4 ของระบบ DHS (RUN 1)

DHS profiles	DATE	BDHS						FDHS					
		TCOD (mg/L)	SCOD (mg/L)	TBOD (mg/L)	SBOD (mg/L)	A'	B'	TCOD (mg/L)	SCOD (mg/L)	TBOD (mg/L)	SBOD (mg/L)	A'	B'
Segment 4	10 Dec 08	278.2	271.6	60.0	50.0	0.22	0.18	353.4	298.8	40.0	32.0	0.11	0.11
	23 Feb 08	1,092.0	156.5	50.0	45.0	0.05	0.29	509.6	229.3	62.0	30.0	0.12	0.13
	4 Mar 08	240.2	156.5	45.0	67.0	0.19	0.43	342.2	192.9	50.0	40.0	0.15	
	18 Mar 08	676.0	231.0	65.0	36.0	0.10	0.16	391.0	249.0	45.0	60.0	0.12	0.24
	7 Jun 08	1,095.4	45.6	30.9	16.9	0.03	0.37	256.0	204.0	30.9	25.3	0.12	0.12
	30 May 08	571.0	199.0	67.0	32.0	0.12	0.16	206.0	102.0	67.0	32.0	0.33	0.31
	7 Jul 08	567.0	290.3	45.0	19.0	0.08	0.07	232.0	267.0	68.0	33.0	0.29	0.12
	8 Jul 08	398.0	306.4	75.0	24.0	0.19	0.08	234.0	306.4	85.0	27.0	0.36	0.09
	9 Jul 08	654.0	162.2	87.0	32.0	0.13	0.20	256.0	215.9	45.0	29.0	0.18	0.13
	10 Jul 08	765.0	194.7	78.0	27.0	0.10	0.14	277.0	153.5	67.0	28.0	0.24	0.18
AVE		633.7	201.4	60.3	34.9	0.10	0.17	305.7	221.9	56.0	33.6	0.18	0.15
SD		295.9	77.9	17.5	15.4			93.5	63.4	16.4	10.1		

หมายเหตุ: A = TBOD/TCOD, B=SBOD/SBOD

ตารางที่ 7 ผลการศึกษาถ้า TCOD, TBOD, SCOD และ SBOD ในน้ำเสียที่เข้าสู่ระบบ DHS (RUN II)

DHS profiles	DATE	BDHS					FDHS						
		TCOD (mg/L)	SCOD (mg/L)	TBOD ₅ (mg/L)	SBOD ₅ (mg/L)	A'	B'	TCOD (mg/L)	SCOD (mg/L)	TBOD ₅ (mg/L)	SBOD ₅ (mg/L)	A'	B'
Inlet	2 Sep 08	1,358.0	420.0	410.0	165.0	0.30	0.39	1,358.0	420.0	410.0	165.0	0.30	0.39
	3 Sep 08	1,657.0	416.0	396.0	175.0	0.24	0.42	1,657.0	416.0	396.0	175.0	0.24	0.42
	11 Sep 08	1,537.0	465.0	430.0	259.0	0.28	0.56	1,537.0	465.0	430.0	259.0	0.28	0.56
	15 Sep 08	1,442.0	445.0	425.0	210.0	0.29	0.47	1,442.0	445.0	425.0	210.0	0.29	0.47
	20 Sep 08	1,647.0	398.0	410.0	220.0	0.25	0.55	1,647.0	398.0	410.0	220.0	0.25	0.55
	AVE	1,528.2	428.8	414.2	205.8	0.27	0.48	1,528.2	428.8	414.2	205.8	0.27	0.48
SD		129.6	26.3	13.5	37.6	0.03	0.07	129.6	26.3	13.5	37.6	0.03	0.07

หมายเหตุ: A = TBOD/TCOD, B=SBOD/SBOD

ตารางที่ ๑.๘ ผลการศึกษาต่อ TCOD, TBOD, SCOD และ SBOD บนช่วงทาง segment 1 ของระบบ DHS (RUN II)

DHS profiles	DATE	BDHS						FDHS					
		TCOD (mg/L)	SCOD (mg/L)	TBOD _s (mg/L)	SBOD _s (mg/L)	A*	B*	TCOD (mg/L)	SCOD (mg/L)	TBOD _s (mg/L)	SBOD _s (mg/L)	A*	B*
Segment 1	2 Sep 08	448.8	220.0	52.0	32.0	0.12	0.15	364.0	198.0	25.0	20.0	0.07	0.10
	3 Sep 08	344.0	182.0	49.0	25.0	0.09	0.14	320.0	142.1	32.0	19.2	0.10	0.14
	11 Sep 08	380.0	186.0	42.2	28.0	0.11	0.15	432.0	133.8	33.8	19.5	0.08	0.15
	15 Sep 08	325.0	175.0	39.0	23.0	0.12	0.13	432.0	174.0	28.0	16.0	0.06	0.09
	20 Sep 08	354.0	195.0	35.0	24.0	0.10	0.12	368.0	156.0	27.0	21.0	0.07	0.13
	AVE	410.4	191.6	43.4	26.4	0.11	0.14	383.2	160.8	29.2	19.1	0.08	0.12
SD		87.6	17.4	7.0	3.6	0.01	0.01	48.4	25.8	3.6	1.9	0.01	0.02

หมายเหตุ: A = TBOD/TCOD, B=SBOD/SBOD

ตารางที่ ๗.๙ ผลการศึกษาค่า TCOD, TBOD, SCOD และ SBOD ที่มีทั้งหมด segment 2 ของริบบัน DHS (RUN II)

DHS profiles	DATE	BDHS						FDHS					
		TCOD (mg/L)	SCOD (mg/L)	TBOD _s (mg/L)	SBOD _s (mg/L)	A [*]	B [*]	TCOD (mg/L)	SCOD (mg/L)	TBOD _s (mg/L)	SBOD _s (mg/L)	A [*]	B [*]
Segment 2	2 Sep 08	336.0	256.0	32.0	21.0	0.10	0.08	320.0	102.0	22.0	18.0	0.07	0.18
	3 Sep 08	230.0	185.0	40.2	19.0	0.17	0.10	297.0	149.0	29.0	19.0	0.10	0.13
	11 Sep 08	310.0	175.0	36.6	22.5	0.12	0.13	275.0	113.1	28.1	19.6	0.10	0.17
	15 Sep 08	257.0	165.0	32.0	21.0	0.12	0.13	310.0	182.4	28.1	19.6	0.09	0.11
	20 Sep 08	295.0	187.0	35.0	22.0	0.12	0.12	254.0	156.0	25.0	19.6	0.10	0.13
	AVE	285.6	193.6	35.2	21.1	0.13	0.11	291.2	140.5	26.4	19.2	0.09	0.14
	SD	42.2	36.0	3.4	1.3	0.03	0.02	26.8	32.8	2.9	0.7	0.01	0.03

หมายเหตุ; A = TBOD/TCOD, B=SBOD/SBOD

ตารางที่ ค.10 ผลการศึกษาค่า TCOD, TBOD, SCOD และ SBOD ในแม่น้ำชาก segment 3 ของระบบ DHS (RUN II)

DHS profiles	DATE	BDHS						FDHS					
		TCOD (mg/L)	SCOD (mg/L)	TBOD _s (mg/L)	SBOD _s (mg/L)	A*	B*	TCOD (mg/L)	SCOD (mg/L)	TBOD _s (mg/L)	SBOD _s (mg/L)	A*	B*
Segment 3	2 Sep 08	408.0	210.0	32.0	25.0	0.08	0.12	321.0	120.0	25.0	19.7	0.08	0.16
	3 Sep 08	236.0	220.0	32.0	30.0	0.14	0.14	310.0	177.6	20.0	19.3	0.06	0.11
	11 Sep 08	210.0	89.0	28.1	19.5	0.13	0.10	235.0	81.5	25.3	18.0	0.11	0.22
	15 Sep 08	234.0	179.0	23.0	15.0	0.10	0.08	289.0	170.2	23.0	19.0	0.08	0.11
	20 Sep 08	256.0	165.0	24.0	17.0	0.09	0.10	275.0	164.0	25.0	17.0	0.09	0.10
	AVE	268.8	192.6	27.8	21.3	0.11	0.11	286.0	142.7	23.7	18.6	0.08	0.14
	SD	79.5	22.4	4.3	6.1	0.03	0.02	33.7	40.9	2.2	1.1	0.02	0.05

หมายเหตุ: A = TBOD/TCOD, B=SBOD/SBOD

ตารางที่ ค.11 ผลการศึกษาค่า TCOD, TBOD, SCOD และ SBOD ในแม่น้ำ段 4 ของระบบ DHS (RUN II)

DHS profiles	DATE	BDHS					FDHS						
		TCOD (mg/L)	SCOD (mg/L)	TBOD ₅ (mg/L)	SBOD ₅ (mg/L)	A [*]	B [*]	TCOD (mg/L)	SCOD (mg/L)	TBOD ₅ (mg/L)	SBOD ₅ (mg/L)	A [*]	B [*]
Segment 4	2 Sep 08	225.0	118.0	27.0	23.0	0.12	0.19	265.0	98.0	20.0	17.0	0.08	0.17
	3 Sep 08	223.0	114.0	25.0	24.0	0.11	0.21	256.0	101.0	19.4	16.0	0.08	0.16
	11 Sep 08	267.0	95.0	28.0	22.0	0.10	0.23	178.0	93.6	23.4	16.5	0.13	0.18
	15 Sep 08	245.0	114.0	27.0	19.0	0.11	0.17	232.0	122.0	23.0	17.0	0.10	0.14
	20 Sep 08	221.0	112.0	27.0	19.0	0.12	0.17	214.0	95.0	19.0	15.0	0.09	0.16
	AVE	236.2	110.6	26.8	21.4	0.11	0.19	229.0	101.9	21.0	16.3	0.09	0.16
SD		19.7	9.0	1.1	2.3	0.01	0.03	34.9	11.6	2.1	0.8	0.02	0.01

หมายเหตุ: A = TBOD/TCOD, B=SBOD/SBOD

ตารางที่ ค.12 ผลการตีผ่อนคลาย TCOD, TBOD, SCOD และ SBOD ในแม่น้ำเจ้าพระยา รัฐบุน DHS (RUN III)

DHS profiles	DATE	BDHS						FDHS					
		TCOD (mg/L)	SCOD (mg/L)	TBOD _s (mg/L)	SBOD _s (mg/L)	A*	B*	TCOD (mg/L)	SCOD (mg/L)	TBOD _s (mg/L)	SBOD _s (mg/L)	A*	B*
Inlet	12 Jan 09	1,421.0	541.0	541.0	297.0	0.38	0.55	1,421.0	541.0	541.0	297.0	0.38	0.55
	15 Jan 09	954.0	421.0	457.0	234.0	0.48	0.56	954.0	421.0	457.0	234.0	0.48	0.56
	25 Feb 09	754.0	365.0	386.0	168.0	0.51	0.46	754.0	365.0	386.0	168.0	0.51	0.46
	15 Mar 09	1,141.0	485.0	534.0	256.0	0.47	0.53	1,141.0	485.0	534.0	256.0	0.47	0.53
	17 Mar 09	1,259.0	435.0	621.0	254.0	0.49	0.58	1,259.0	435.0	621.0	254.0	0.49	0.58
	A VE	1,105.8	449.4	507.8	241.8	0.47	0.54	1,105.8	449.4	507.8	241.8	0.47	0.54
	SD	260.2	66.7	89.5	47.2	0.05	0.05	260.2	66.7	89.5	47.2	0.05	0.05

หมายเหตุ: A = TBOD/TCOD, B=SBOD/SBOD

ตารางที่ ค.13 ผลการศึกษา TCOD, TBOD, SCOD และ SBOD ใหม่ที่จาก segment 1 ของระบบ DHS (RUN III)

DHS profiles	DATE	BDHS					FDHS						
		TCOD (mg/L)	SCOD (mg/L)	TBOD _s (mg/L)	SBOD _s (mg/L)	A'	B'	TCOD (mg/L)	SCOD (mg/L)	TBOD _s (mg/L)	SBOD _s (mg/L)	A'	B'
Segment 1	12 Jan 09	745.0	425.0	325.0	132.0	0.44	0.31	650.0	112.0	52.0	32.0	0.08	0.29
	15 Jan 09	525.0	321.0	315.0	103.0	0.60	0.32	418.0	154.0	42.0	25.0	0.10	0.16
	25 Feb 09	421.0	312.0	298.0	98.0	0.71	0.31	398.0	132.0	45.0	34.0	0.11	0.26
	15 Mar 09	589.0	410.0	330.0	120.0	0.56	0.29	417.0	147.0	52.0	29.0	0.12	0.20
	17 Mar 09	621.0	394.0	256.0	104.0	0.41	0.26	425.0	132.0	30.0	25.0	0.07	0.19
	AVE	580.2	372.4	304.8	111.4	0.54	0.30	461.6	135.4	44.2	29.0	0.10	0.22
	SD	119.7	52.3	29.9	14.2	0.12	0.02	105.8	16.2	9.1	4.1	0.02	0.05

หมายเหตุ: A = TBOD/TCOD, B=SBOD/SBOD

ตารางที่ ๑.๔ ผลการศึกษา TCOD, TBOD, SCOD และ SBOD จุดแข็ง segment 2 ของระบบ DHS (RUN III)

DHS profiles	DATE	BDHS						FDHS					
		TCOD (mg/L)	SCOD (mg/L)	TBOD ₅ (mg/L)	SBOD ₅ (mg/L)	A*	B*	TCOD (mg/L)	SCOD (mg/L)	TBOD ₅ (mg/L)	SBOD ₅ (mg/L)	A*	B*
Segment 2	12 Jan 09	350.0	287.0	134.0	99.0	0.38	0.34	450.0	102.0	22.0	18.0	0.05	0.18
	15 Jan 09	325.0	241.0	119.0	82.0	0.37	0.34	360.0	92.0	29.0	19.0	0.08	0.21
	25 Feb 09	312.0	169.0	108.0	95.0	0.35	0.56	325.0	113.1	28.1	19.6	0.09	0.17
	15 Mar 09	351.0	269.0	127.0	102.0	0.36	0.38	310.0	125.0	28.1	19.6	0.09	0.16
	17 Mar 09	294.0	287.0	121.0	110.0	0.41	0.38	298.0	103.0	30.0	18.0	0.10	0.17
	A V E	326.4	250.6	121.8	97.6	0.37	0.40	348.6	107.0	27.4	18.8	0.08	0.18
	S D	24.6	49.3	9.7	10.3	0.02	0.09	61.3	12.5	3.1	0.8	0.02	0.02

หมายเหตุ: A = TBOD/TCOD, B=SBOD/SBOD

ตารางที่ ค.15 ผลการศึกษาถ้า TCOD, TBOD, SCOD และ SBOD ใหม่ทั้งจาก segment 3 ของระบบ DHS (RUN III)

DHS profiles	DATE	BDHS					FDHS						
		TCOD (mg/L)	SCOD (mg/L)	TBOD _s (mg/L)	SBOD _s (mg/L)	A [*]	B [*]	TCOD (mg/L)	SCOD (mg/L)	TBOD _s (mg/L)	SBOD _s (mg/L)	A [*]	B [*]
Segment 3	12 Jan 09	569.0	256.0	165.0	25.0	0.29	0.10	359.0	109.0	25.0	19.7	0.07	0.18
	15 Jan 09	457.0	248.0	108.0	30.0	0.24	0.12	310.0	104.0	20.0	19.3	0.06	0.19
	25 Feb 09	362.0	198.0	145.0	27.0	0.40	0.14	286.0	98.0	25.3	18.0	0.09	0.18
	15 Mar 09	378.0	196.0	165.0	29.0	0.44	0.15	289.0	154.0	23.0	19.0	0.08	0.12
	17 Mar 09	396.0	213.0	109.0	28.0	0.28	0.13	294.0	75.0	34.0	19.0	0.12	0.25
	A VE	432.4	222.2	138.4	27.8	0.33	0.13	307.6	108.0	25.5	19.0	0.08	0.19
	SD	84.4	28.1	28.5	1.9	0.09	0.02	30.2	28.8	5.2	0.6	0.02	0.05

หมายเหตุ: A = TBOD/TCOD, B=SBOD/SBOD

ตารางที่ ค.16 ผลการศึกษา TCOD, TBOD, SCOD และ SBOD ในช่วงจาก segment 4 ของระบบ DHS (RUN III)

DHS profiles	DATE	BDHS				FDHS							
		TCOD (mg/L)	SCOD (mg/L)	TBOD _s (mg/L)	SBOD _s (mg/L)	A [*]	B [*]	TCOD (mg/L)	SCOD (mg/L)	TBOD _s (mg/L)	SBOD _s (mg/L)	A [*]	B [*]
Segment 4	12 Jan 09	654.0	184.0	135.0	29.0	0.21	0.16	289.0	110.0	20.0	18.0	0.07	0.16
	15 Jan 09	546.0	126.0	129.0	26.0	0.24	0.21	265.0	133.8	19.4	16.0	0.07	0.12
	25 Feb 09	436.0	135.0	109.0	26.0	0.25	0.19	254.0	93.6	25.3	18.5	0.10	0.20
	15 Mar 09	397.0	189.0	98.0	27.0	0.25	0.14	216.0	149.6	34.0	19.0	0.16	0.13
	17 Mar 09	395.0	174.0	114.0	19.0	0.29	0.11	274.0	107.0	25.0	17.0	0.09	0.16
	AVE	485.6	161.6	117.0	25.4	0.25	0.16	259.6	118.8	24.7	17.7	0.10	0.15
	SD	112.4	29.1	15.0	3.8	0.03	0.04	27.5	22.5	5.9	1.2	0.04	0.03

หมายเหตุ: A = TBOD/TCOD, B=SBOD/SBOD

ภาคผนวก ง

ข้อมูลการศึกษาประถิทชิภาพการกำจัดในโตรเจน

ตารางที่ 4.1 ตารางเพิ่มขึ้นของไนโตรเจนในช่องทางระบบน้ำ UASB ที่อยู่บ้านเดือนน้ำเสียจากอุตสาหกรรมเคมีภัณฑ์ประปาห้อง (RUN 1)

DHS profiles	DATE	BDHS (mg-N/L)					FDHS (mg-N/L)				
		Org-N	NH ₄ -N	NO ₂ -N	NO ₃ -N	Total-N	Org-N	NH ₄ -N	NO ₂ -N	NO ₃ -N	Total-N
Inlet	10 Dec 08	38.9	156.0	0.1	0.1	195.1	38.9	156.0	0.1	0.1	195.1
	23 Feb 08	45.0	175.0	0.1	0.1	220.2	45.0	175.0	0.1	0.1	220.2
	4 Mar 08	25.9	145.0	0.1	0.1	171.1	25.9	145.0	0.1	0.1	171.1
	18 Mar 08	18.0	169.0	0.1	0.1	187.2	18.0	169.0	0.1	0.1	187.2
	7 Jun 08	38.0	184.0	0.1	0.1	222.2	38.0	184.0	0.1	0.1	222.2
	30 May 08	15.6	132.0	0.1	0.1	147.8	15.6	132.0	0.1	0.1	147.8
	7 Jul 08	28.9	165.0	0.1	0.1	194.1	28.9	165.0	0.1	0.1	194.1
	8 Jul 08	42.0	185.0	0.1	0.1	227.2	42.0	185.0	0.1	0.1	227.2
	9 Jul 08	38.5	175.8	0.1	0.1	214.5	38.5	175.8	0.1	0.1	214.5
	10 Jul 08	35.8	166.0	0.1	0.1	202.0	35.8	166.0	0.1	0.1	202.0
AVE		32.7	165.3	0.1	0.1	198.1	32.7	165.3	0.1	0.1	198.1
SD		10.1	16.9	0.0	0.0	25.0	10.1	16.9	0.0	0.0	25.0

ตารางที่ 3.2 ค่าความชื้นในดินใน段落 Segment 1 ของร่อง DHS (RUN 1)

DHS profiles	DATE	BDHS (mg-N/L)				FDHS (mg-N/L)					
		Org-N	NH ₄ -N	NO ₂ -N	NO ₃ -N	Total-N	Org-N	NH ₄ -N	NO ₂ -N	NO ₃ -N	Total-N
Segment 1	10 Dec 08	25.0	125.0	0.3	0.7	151.0	96.0	184.0	0.1	0.1	280.2
	23 Feb 08	29.0	145.0	0.2	0.6	174.8	95.0	171.0	0.1	0.1	266.2
	4 Mar 08	15.0	123.0	0.3	0.8	139.1	87.0	175.0	0.1	0.1	262.2
	18 Mar 08	12.0	137.0	0.2	0.9	150.1	94.3	166.0	0.1	0.1	260.5
	7 Jun 08	25.0	142.0	0.4	0.4	167.8	97.0	174.0	0.1	0.1	271.2
	30 May 08	9.0	104.0	0.6	0.5	114.1	92.0	171.0	0.1	0.1	263.2
	7 Jul 08	20.5	123.0	0.1	0.6	144.2	94.0	173.0	0.1	0.1	267.2
	8 Jul 08	16.0	142.0	0.3	0.8	159.1	99.0	172.0	0.1	0.1	271.2
	9 Jul 08	22.0	134.0	0.3	0.7	157.0	102.0	171.0	0.1	0.1	273.2
	10 Jul 08	19.0	136.0	0.3	0.7	156.0	97.0	168.0	0.1	0.1	265.2
AVE		19.3	131.1	0.3	0.7	151.3	95.3	172.5	0.1	0.1	268.0
SD		6.3	12.5	0.1	0.1	16.7	4.0	4.8	0.0	0.0	6.0

ตารางที่ 4.3 ความตื้นของอนุโณตในไทรเอนในพื้นที่段 Segment 2 ของรากบ DHS (RUN I)

DHS profiles	DATE	BDHS (mg-N/L)					FDHS (mg-N/L)				
		Org-N	NH ₄ -N	NO ₂ -N	NO ₃ -N	Total-N	Org-N	NH ₄ -N	NO ₂ -N	NO ₃ -N	Total-N
Segment 2	10 Dec 08	23	86.0	4.1	0.6	113.7	71.0	195.0	0.1	0.1	266.2
	23 Feb 08	25	89.0	5.2	0.5	119.7	85.0	178.0	0.1	0.1	263.2
	4 Mar 08	19	96.0	2.3	0.8	118.1	74.0	210.0	0.1	0.1	284.2
	18 Mar 08	19	68.0	1.3	0.4	88.7	70.0	212.0	0.1	0.1	282.2
	7 Jun 08	22	75.0	3.0	0.3	100.3	69.0	190.0	0.1	0.1	259.2
	30 May 08	26	83.0	3.0	0.7	112.7	65.0	189.0	0.1	0.1	254.2
	7 Jul 08	28	87.0	1.9	0.9	117.8	71.0	187.0	0.1	0.1	258.2
	8 Jul 08	26	94.0	2.9	0.4	123.3	69.0	195.0	0.1	0.1	264.2
	9 Jul 08	22	93.0	3.6	0.7	119.3	67.0	196.0	0.1	0.1	263.2
	10 Jul 08	21	88.0	4.1	0.5	113.6	69.0	198.0	0.1	0.1	267.2
AVE		23.1	85.9	3.1	0.6	112.7	71.0	195.0	0.1	0.1	266.2
SD		3.1	8.7	1.2	0.2	10.5	5.5	10.2	0.0	0.0	9.8

ตารางที่ 4.4 ความถี่มูลค่าในไตรгонในน้ำพื้นที่ Segment 3 ของระบบ DHS (RUN I)

DHS profiles	DATE	BDHS (mg-N/L)				FDHS (mg-N/L)					
		Org-N	NH ₄ -N	NO ₂ -N	NO ₃ -N	Total-N	Org-N	NH ₄ -N	NO ₂ -N	NO ₃ -N	Total-N
Segment 3	10 Dec 08	12.0	59.0	12.0	6.0	89.0	60.0	189.0	0.1	0.1	266.2
	23 Feb 08	13.0	65.0	20.0	3.0	101.0	52.0	175.0	0.1	0.1	263.2
	4 Mar 08	9.0	63.0	23.0	2.0	97.0	67.0	179.0	0.1	0.1	284.2
	18 Mar 08	8.0	62.0	25.0	6.0	101.0	57.0	186.0	0.1	0.1	282.2
	7 Jun 08	13.0	54.0	15.0	5.0	87.0	50.0	179.0	0.1	0.1	259.2
	30 May 08	14.0	55.0	19.0	3.9	91.9	63.0	189.0	0.1	0.1	254.2
	7 Jul 08	12.0	57.0	20.0	4.2	93.2	62.0	192.0	0.1	0.1	258.2
	8 Jul 08	15.0	54.0	24.0	4.6	97.6	56.0	174.0	0.1	0.1	264.2
	9 Jul 08	11.0	52.0	19.0	4.9	86.9	62.0	176.0	0.1	0.1	263.2
	10 Jul 08	9.0	46.0	17.0	4.8	76.8	61.0	177.0	0.1	0.1	267.2
AVE		11.6	56.7	19.4	4.4	92.1	59.0	181.6	0.1	0.1	240.8
SD		2.3	5.7	4.0	1.2	7.5	5.2	6.7	0.0	0.0	9.8

ตารางที่ 4.5 ความเสี่ยงของไนโตรเจนในน้ำทั้งจาก Segment 4 ณ ระยะทาง DHS (RUN I)

DHS profiles	DATE	BDHS (mg-N/L)					FDHS (mg-N/L)				
		Org-N	NH4-N	NO2-N	NO3-N	Total-N	Org-N	NH4-N	NO2-N	NO3-N	Total-N
Segment 4	10 Dec 08	15.0	36.0	7.8	9.6	68.4	52.0	198.0	0.1	0.1	195.1
	23 Feb 08	11.0	31.0	8.9	9.6	60.5	56.0	165.0	0.1	0.1	220.2
	4 Mar 08	11.0	37.0	6.0	6.7	60.7	59.0	174.0	0.1	0.1	171.1
	18 Mar 08	14.0	41.0	9.0	7.5	71.5	68.0	169.0	0.1	0.1	187.2
	7 Jun 08	9.0	39.0	6.0	5.7	59.7	49.0	162.0	0.1	0.1	222.2
	30 May 08	17.0	28.0	7.0	9.6	61.6	39.0	170.0	0.1	0.1	147.8
	7 Jul 08	8.0	29.0	10.2	8.2	55.4	53.0	185.0	0.1	0.1	194.1
	8 Jul 08	22.0	32.0	6.0	10.1	70.1	33.0	186.0	0.1	0.1	227.2
	9 Jul 08	9.2	37.0	9.0	8.6	63.8	52.0	183.0	0.1	0.1	214.5
	10 Jul 08	8.5	38.0	8.0	7.9	62.4	55.0	186.0	0.1	0.1	202
AVE		12.5	34.8	7.8	8.4	63.4	51.6	177.8	0.1	0.1	229.6
SD		4.5	4.5	1.5	1.4	5.1	9.8	11.5	0.0	0.0	13.6

ตารางที่ 3.6 ความเข้มข้นของ น้ำในต่อเนื่องในหน้างานการรับน้ำดิบจากตัวกรอง UASB เพื่อป้องกันการซึมซึบของสารประหลัง (RUN II)

DHS profiles	DATE	BDHS (mg-N/L)					FDHS (mg-N/L)				
		Org-N	NH ₄ -N	NO ₂ -N	NO ₃ -N	Total-N	Org-N	NH ₄ -N	NO ₂ -N	NO ₃ -N	Total-N
Inlet	2 Sep 08	46.0	77.0	0.1	0.1	123.2	46.0	77.0	0.1	0.1	123.2
	3 Sep 08	39.0	164.9	0.1	0.1	204.1	39.0	164.9	0.1	0.1	204.1
	11 Sep 08	37.0	187.0	0.1	0.1	224.2	37.0	187.0	0.1	0.1	224.2
	15 Sep 08	32.0	168.0	0.1	0.1	200.2	32.0	168.0	0.1	0.1	200.2
	20 Sep 08	48.2	252.0	0.1	0.1	300.4	48.2	252.0	0.1	0.1	300.4
	A VE	40.4	169.8	0.1	0.1	210.4	40.4	169.8	0.1	0.1	210.4
	SD	6.6	62.6	0.0	0.0	63.3	6.6	62.6	0.0	0.0	63.3

ตารางที่ 3.7 ความเสื่อมพูนของไนโตรเจนในแม่น้ำ段 Segment 1 ของระบบ DHS (RUN II)

DHS profiles	DATE	BDHS (mg-N/L)				FDHS (mg-N/L)					
		Org-N	NH ₄ -N	NO ₂ -N	NO ₃ -N	Total-N	Org-N	NH ₄ -N	NO ₂ -N	NO ₃ -N	Total-N
Segment 1	2 Sep 08	10.0	86.0	0.0	7.3	103.3	20.5	193.0	0.1	0.1	123.2
	3 Sep 08	16.0	71.5	0.3	4.6	92.4	20.1	180.0	0.1	0.1	204.1
	11 Sep 08	11.5	64.7	0.5	9.2	85.9	21.1	179.0	0.1	0.1	224.2
	15 Sep 08	7.6	79.5	0.3	8.4	95.8	24.0	195.7	0.1	0.1	200.2
	20 Sep 08	10.4	81.0	0.4	7.1	98.9	17.0	188.0	0.1	0.1	300.4
	AVE	11.1	76.5	0.3	7.3	95.3	20.5	187.1	0.1	0.1	207.9
SD		3.1	8.4	0.2	1.7	6.6	2.5	7.5	0.0	0.0	8.7

ตารางที่ 3.8 ความเข้มข้นของไนโตรเจนในต่อ流段 Segment 2 ของระบบ DHS (RUN II)

DHS profiles	DATE	BDHS (mg-N/L)				FDHS (mg-N/L)					
		Org-N	NH ₄ -N	NO ₂ -N	NO ₃ -N	Total-N	Org-N	NH ₄ -N	NO ₂ -N	NO ₃ -N	Total-N
Segment 2	2 Sep 08	10.7	71.0	0.2	9.0	90.9	13.0	201.0	0.1	0.1	214.2
	3 Sep 08	14.9	62.0	0.2	7.5	84.6	16.0	198.0	0.1	0.1	214.2
	11 Sep 08	8.9	79.0	0.2	6.7	94.8	12.7	185.0	0.1	0.1	197.9
	15 Sep 08	6.7	62.0	0.3	8.1	77.1	11.0	198.0	0.1	0.1	209.2
	20 Sep 08	12.3	66.0	0.1	7.9	86.3	12.5	210.0	0.1	0.1	222.7
	AVE	10.7	68.0	0.2	7.8	86.7	13.0	198.4	0.1	0.1	211.6
SD		3.1	7.2	0.1	0.8	6.7	1.8	9.0	0.0	0.0	9.1

ตารางที่ 4.9 ความเข้มข้นของน้ำในครื่องใน段ที่ 3 ของระบบ DHS (RUN II)

DHS profiles	DATE	BDHS (mg-N/L)					FDHS (mg-N/L)				
		Org-N	NH ₄ -N	NO ₂ -N	NO ₃ -N	Total-N	Org-N	NH ₄ -N	NO ₂ -N	NO ₃ -N	Total-N
Segment 3	2 Sep 08	14.0	64.2	0.3	9.0	87.5	15.0	194.0	0.1	0.1	209.2
	3 Sep 08	15.0	61.0	0.3	7.2	83.5	25.0	180.0	0.1	0.1	205.2
	11 Sep 08	12.0	69.0	0.2	9.2	90.4	14.0	179.0	0.1	0.1	193.2
	15 Sep 08	16.0	62.8	0.1	7.9	86.8	13.0	191.5	0.1	0.1	204.7
	20 Sep 08	13.8	66.0	0.5	7.4	87.7	15.0	168.0	0.1	0.1	183.2
	AVE	14.2	64.6	0.3	8.1	87.2	16.4	182.5	0.1	0.1	199.1
	SD	1.5	3.1	0.1	0.9	2.5	4.9	10.5	0.0	0.0	10.7

ตารางที่ 3.10 ความเข้มข้นของนิتروเจนในน้ำพื้นที่ Segment 4 ของรัฐ DHs (RUN II)

DHS profiles	DATE	BDHS (mg-N/L)				FDHS (mg-N/L)					
		Org-N	NH ₄ -N	NO ₂ -N	NO ₃ -N	Total-N	Org-N	NH ₄ -N	NO ₂ -N	NO ₃ -N	Total-N
Segment 4	2 Sep 08	9.0	63.0	0.4	7.5	79.9	17.0	186.7	0.1	0.1	203.9
	3 Sep 08	14.0	64.0	0.1	7.9	86.0	15.0	178.0	0.1	0.1	193.2
	11 Sep 08	3.0	62.0	0.3	6.8	72.1	18.0	174.0	0.1	0.1	192.2
	15 Sep 08	14.0	57.0	0.3	7.2	78.5	14.0	183.5	0.1	0.1	197.7
	20 Sep 08	10.0	64.0	0.3	7.0	81.3	17.0	179.4	0.1	0.1	196.6
	AVE	10.0	62.0	0.3	7.3	79.6	16.2	180.3	0.1	0.1	196.7
SD		4.5	2.9	0.1	0.4	5.0	1.6	4.9	0.0	0.0	4.6

ตารางที่ 4.11 ความชื้นของน้ำในตระกูลในน้ำพองทางร่อง UASEB เพื่อประเมินสูญเสียจากดีเซลตากองร่มปีงบประมาณ พ.ศ.๒๕๖๗ (RUN III)

DHS profiles	DATE	BDHS (mg-N/L)				FDHS (mg-N/L)					
		Org-N	NH ₄ -N	NO ₂ -N	NO ₃ -N	Total-N	Org-N	NH ₄ -N	NO ₂ -N	NO ₃ -N	Total-N
Inlet	12 Jan 09	36.0	179.0	0.1	0.1	215.2	36.0	179.0	0.1	0.1	215.2
	15 Jan 09	36.0	156.0	0.1	0.1	192.2	36.0	156.0	0.1	0.1	192.2
	25 Feb 09	32.0	165.0	0.1	0.1	197.2	32.0	165.0	0.1	0.1	197.2
	15 Mar 09	34.0	156.0	0.1	0.1	190.2	34.0	156.0	0.1	0.1	190.2
	17 Mar 09	37.0	167.0	0.1	0.1	204.2	37.0	167.0	0.1	0.1	204.2
	AVE	35.0	164.6	0.1	0.1	199.8	35.0	164.6	0.1	0.1	199.8
SD		2.0	9.5	0.0	0.0	10.2	2.0	9.5	0.0	0.0	10.2

ตารางที่ 3.12 ความถ้วนอนุพันธ์ของน้ำในต่อหน่วย Segment I ของระบบ DHS (RUN III)

DHS profiles	DATE	BDHS (mg-N/L)				FDHS (mg-N/L)					
		Org-N	NH ₄ -N	NO ₂ -N	NO ₃ -N	Total-N	Org-N	NH ₄ -N	NO ₂ -N	NO ₃ -N	Total-N
Segment 1	12 Jan 09	15.0	86.0	0.3	7.5	108.8	12.0	195.0	0.1	0.1	207.20
	15 Jan 09	16.0	77.0	0.2	6.8	100.0	9.0	174.0	0.1	0.1	183.20
	25 Feb 09	14.0	95.0	0.4	9.5	118.9	8.0	179.0	0.1	0.1	187.20
	15 Mar 09	12.0	75.0	0.3	6.8	94.1	14.0	181.0	0.1	0.1	195.20
	17 Mar 09	17.0	90.0	0.3	7.1	114.4	9.0	197.0	0.1	0.1	206.20
	AVE	14.8	84.6	0.3	7.5	107.2	10.4	185.2	0.1	0.1	195.80
SD		1.9	8.5	0.1	1.1	10.2	2.5	10.2	0.0	0.0	10.85

ตารางที่ 4.13 ความตื้นของสารเคมีใน段落 Segment 2 ของรัฐวิสาหกิจ DHS (RUN III)

DHS profiles	DATE	BDHS (mg-N/L)				FDHS (mg-N/L)					
		Org-N	NH ₄ -N	NO ₂ -N	NO ₃ -N	Total-N	Org-N	NH ₄ -N	NO ₂ -N	NO ₃ -N	Total-N
Segment 2	12 Jan 09	12.0	85.0	0.2	7.9	105.1	10.0	182.0	0.1	0.1	192.20
	15 Jan 09	11.0	77.0	0.2	7.5	95.7	16.0	174.0	0.1	0.1	190.20
	25 Feb 09	9.6	68.0	0.1	9.3	87.0	8.0	196.0	0.1	0.1	204.20
	15 Mar 09	8.5	64.0	0.3	7.4	80.2	7.0	164.0	0.1	0.1	171.20
	17 Mar 09	17.0	79.0	0.2	9.1	105.3	10.0	176.0	0.1	0.1	186.20
	AVE	11.6	74.6	0.2	8.2	94.7	10.2	178.4	0.1	0.1	188.80
	SD	3.3	8.5	0.1	0.9	11.1	3.5	11.8	0.0	0.0	11.91

ตารางที่ 3.14 ความเข้มข้นของไนโตรเจนในแม่น้ำที่段 Segment 3 ของระบบ DHS (RUN III)

DHS profiles	DATE	BDHS (mg-N/L)				FDHS (mg-N/L)					
		Org-N	NH ₄ -N	NO ₂ -N	NO ₃ -N	Total-N	Org-N	NH ₄ -N	NO ₂ -N	NO ₃ -N	Total-N
Segment 3	12 Jan 09	12.0	71.0	0.2	10.6	93.8	9.0	198.0	0.1	0.1	207.2
	15 Jan 09	14.0	68.0	0.1	9.5	91.6	7.0	191.0	0.1	0.1	198.2
	25 Feb 09	19.0	54.0	0.3	8.3	81.6	12.0	187.0	0.1	0.1	199.2
	15 Mar 09	15.0	64.5	0.3	8.2	88.0	7.0	185.0	0.1	0.1	192.2
	17 Mar 09	13.0	67.5	0.1	9.5	90.1	11.0	201.0	0.1	0.1	212.2
	AVE	14.6	65.0	0.2	9.2	89.0	9.2	192.4	0.1	0.1	201.8
	SD	2.7	6.6	0.1	1.0	4.7	2.3	6.9	0.0	0.0	7.9

ตารางที่ 4.15 ความเข้มข้นของไนโตรเจนในน้ำทิ้งจาก Segment 4 ของน้ำ DHS (RUN III)

DHS profiles	DATE	BDHS (mg-N/L)				FDHS (mg-N/L)					
		Org-N	NH ₄ -N	NO ₂ -N	NO ₃ -N	Total-N	Org-N	NH ₄ -N	NO ₂ -N	NO ₃ -N	Total-N
Segment 4	12 Jan 09	12.0	67.0	0.2	7.8	87.0	6.0	189.0	0.1	0.1	195.2
	15 Jan 09	11.0	63.0	0.3	6.4	80.7	5.0	175.0	0.1	0.1	180.2
	25 Feb 09	9.0	58.0	0.1	8.5	75.6	8.0	194.0	0.1	0.1	202.2
	15 Mar 09	6.0	56.0	0.4	7.1	69.5	9.0	176.0	0.1	0.1	185.2
	17 Mar 09	4.0	67.0	0.1	7.2	78.3	7.0	185.0	0.1	0.1	192.2
	AVE	8.4	62.2	0.2	7.4	78.2	7.0	183.8	0.1	0.1	191.0
	SD	3.4	5.1	0.1	0.8	6.4	1.6	8.2	0.0	0.0	8.58

ภาคผนวก จ
ข้อมูลจากการศึกษาสัดส่วนของค่า COD

ตารางที่ บ.1 ผลการศึกษาการแยกตัวของ COD (COD fractionations) ในระบบ BDHS (RUN I)

Profiles	COD Concentrations (mg/L)						Soluble COD (mg/L)			Particulate COD (mg/L)			Soluble COD (%)		Particulate COD (%)	
	T COD	SCOD	PCOD	T BOD ₂₀	S BOD ₂₀	P BOD	USSCOD	BSSCOD	UP COD	BPCOD	US COD	BSCOD	UP COD	BPCOD	UP COD	BPCOD
Inlet	1,273	439	834	335	211	124	228	211	710	124	18	17	56	10		
Segment 1	776	291	485	234	115	119	176	115	366	119	23	15	47	15		
Segment 2	807	231	577	552	93	459	138	93	117	459	17	12	15	57		
Segment 3	446	206	240	260	75	185	131	75	55	185	29	17	12	42		
Segment 4	634	201	432	76	68	8	133	68	50	382	21	11	8	60		

การวิเคราะห์ 9.2 ผลการวิเคราะห์ค่า COD (COD fractionations) ที่ระบุบน FDHS (RUN)

Profiles	COD Concentrations (mg/L)						Particulate COD (mg/L)			Soluble COD (%)			Particulate COD (%)	
	TCOD	SCOD	PCOD	TBOD ₂₀	SBOD ₂₀	PBOD	USCOD	BSCOD	UPCOD	BPCOD	USCOD	BSCOD	UPCOD	
Inlet	1,273	439	834	335	211	124	228	211	710	124	18	17	56	10
Segment 1	427	328	99	138	93	45	236	93	53	45	55	22	13	11
Segment 2	356	292	64	101	45	56	247	45	8	56	69	13	2	16
Segment 3	469	240	229	96	56	39	184	56	190	39	39	12	40	8
Segment 4	256	222	34	65	56	8	166	56	26	8	65	22	10	3

ตารางที่ 3.3 ผลการศึกษาการแยกตัวของ COD (COD fractionations) ในระบบ BDHS (RUN II)

Profiles	COD Concentrations (mg/L)						Soluble COD (mg/L)			Particulate COD (mg/L)			Soluble COD (%)		Particulate COD (%)	
	TCOD	SCOD	PCOD	TBOD ₂₀	SBOD ₂₀	PBOD	USCOD	BSCOD	UPCOD	BPCOD	USCOD	BSCOD	UPCOD	BPCOD	USCOD	BSCOD
Inlet	1,528	429	1,099	550	379	171.0	49.8	379.0	928.2	171.0	3.3	24.8	60.7	60.7	11.2	11.2
Segment 1	410	192	219	95	82	13.0	109.6	82.0	205.8	13.0	26.7	20.0	50.1	50.1	3.2	3.2
Segment 2	286	194	92	65	56	9.0	137.6	56.0	83.0	9.0	48.2	19.6	29.1	29.1	4.5	4.5
Segment 3	269	193	76	57	45	12.0	147.6	45.0	64.2	12.0	54.9	16.7	23.9	23.9	4.2	4.2
Segment 4	236	111	125	55	45	10.0	65.6	45.0	115.4	10.0	27.8	19.1	48.9	48.9	4.2	4.2

ตารางที่ 3.4 ผลการศึกษาการแยกตัวของ COD (COD fractionations) ในระบบ FDHS (RUN II)

Profiles	COD Concentrations (mg/L)						Soluble COD (mg/L)			Particulate COD (mg/L)			Soluble COD (%)		Particulate COD (%)	
	TCOD	SCOD	PCOD	TBOD ₂₀	SBOD ₂₀	PBOD	USCOD	BSCOD	UPCOD	BPCOD	USCOD	BSCOD	UPCOD	BPCOD	USCOD	BSCOD
Inlet	1,528	429	1,099	520	379	141	50	379	958	141	3	25	63	63	9	9
Segment 1	383	161	222	42.0	42	0.0	119	42	222	0	31	11	58	58	0	0
Segment 2	291	141	151	35.0	25	10	116	25	140	10	40	9	48	48	3	3
Segment 3	286	143	143	32.0	25	7	118	25	136	7	41	9	48	48	2	2
Segment 4	229	102	127	32.0	25	7	77	25	120	7	34	11	52	52	3	3

ตารางที่ ๗.๕ ผลการศึกษาการแยกตัวน้ำของ COD (COD fractionations) ในระบบ BDHS (RUN III)

Profiles	COD Concentrations (mg/L)						Soluble COD (mg/L)			Particulate COD (mg/L)			Soluble COD (%)		Particulate COD (%)	
	TCOD	SCOD	PCOD	TBOD ₂₀	SBOD ₂₀	PBOD	USCOD	BSCOD	UPCOD	BPCOD	USCOD	BSCOD	UPCOD	BPCOD	UPCOD	BPCOD
Inlet	1,106	449	656	508	242	266	208	242	390	266	19	22	35	24		
Segment 1	580	372	208	305	111	193	261	111	14	193	45	19	2	33		
Segment 2	326	251	76	122	98	24	153	98	52	24	47	30	16	7		
Segment 3	432	222	210	138	28	111	194	28	100	111	45	6	23	26		
Segment 4	486	162	324	117	25	92	136	25	232	92	28	5	48	19		

ພາຍໃນກົມ 6 ດອກເຮົາວິທະຍາກອງການກົດກັບກົດຫຼັກສົດຕ່າງໆ ຂອງ COD (COD fractionations) [Huang et al. 2014 EDHS (RUN III)]

Profiles	Concentrations (mg/L)						Soluble COD (mg/L)			Particulate COD (mg/L)			Soluble COD (%)		Particulate COD (%)	
	TCOD	SCOD	PCOD	TBOD ₂₀	SBOD ₂₀	PBOD	USCOD	BSCOD	UPCOD	BPCOD	USCOD	BSCOD	UPCOD	BPCOD	USCOD	BSCOD
Inlet	1,106	449	656	508	242	266	208	242	390	266	19	22	35	24		
Segment 1	462	135	326	44	29	15	106	29	311	15	23	6	67	3		
Segment 2	349	107	242	27	19	9	88	19	233	9	25	5	67	2		
Segment 3	308	108	200	26	19	7	89	19	193	7	29	6	63	2		
Segment 4	260	119	141	25	18	7	101	18	134	7	39	7	52	3		

ภาคผนวก ณ
ข้อมูลของการศึกษาค่าคงที่ทางจลศาสตร์

ตรางาท ฉ.1 ผู้การศึกษาค่าครองท างคงต ามต่อไปนี้ BDHS

DHS profiles	S/ X_0	S (mg/L)	DATE	OUR _{x,t} (mgO ₂ /mgVSS·h)	OUR _{x,e} (mgO ₂ /mgVSS·h)	OC (mgO ₂ /L)	OUR _{x,ox} (mgO ₂ /mgVSS·h)	OC/S	rx (mgCOD/mgVSS·h)	Y _{ss} (mgVSS/mgCOD)	μ (d ⁻¹)
Segment 1	0.05	20	24 May 08	0.011610	0.003000	5.72	0.00861	0.286	0.030	0.638	0.461
	0.10	40	24 May 08	0.011464	0.003900	6.58	0.00756	0.165	0.046	0.746	0.823
	0.20	80	24 May 08	0.014470	0.008100	7.02	0.00637	0.088	0.073	0.815	1.419
	0.30	120	24 May 08	0.017800	0.010650	7.61	0.00715	0.063	0.113	0.836	2.263
	0.50	200	24 May 08	0.020740	0.016950	8.28	0.00379	0.041	0.092	0.856	1.880
	0.80	320	3 Jun 08	0.021300	0.019200	8.30	0.00210	0.026	0.081	0.870	1.690
	0.05	20	29 May 08	0.005870	0.001230	4.77	0.00464	0.239	0.019	0.680	0.317
	0.10	40	29 May 08	0.012590	0.007020	6.03	0.00557	0.151	0.037	0.758	0.672
	0.20	80	29 May 08	0.014040	0.007800	6.68	0.00624	0.084	0.075	0.818	1.468
	0.30	120	29 May 08	0.016890	0.008900	7.02	0.00799	0.059	0.137	0.841	2.756
Segment 2	0.40	160	29 May 08	0.017890	0.010580	7.22	0.00731	0.045	0.162	0.853	3.315
	0.50	200	29 May 08	0.018200	0.012600	7.52	0.00560	0.038	0.149	0.859	3.071
	0.80	320	3 Jun 08	0.019260	0.016580	7.66	0.00268	0.024	0.112	0.871	2.342
	0.05	20	2 Jun 08	0.00766	0.00240	5.13	0.00526	0.257	0.021	0.664	0.327
	0.10	40	2 Jun 08	0.00900	0.00480	5.22	0.00420	0.131	0.032	0.776	0.600
	0.20	80	3 Jun 08	0.00905	0.00600	5.40	0.00305	0.068	0.045	0.833	0.903
	0.30	120	3 Jun 08	0.01044	0.00630	5.69	0.00414	0.047	0.087	0.851	1.782
	0.40	160	3 Jun 08	0.01130	0.00860	6.03	0.00270	0.038	0.072	0.859	1.477
	0.50	200	3 Jun 08	0.01218	0.00990	6.13	0.00328	0.031	0.074	0.865	1.545
	0.80	320	3 Jun 08	0.01309	0.01234	6.35	0.00075	0.020	0.038	0.875	0.794
Segment 3	0.05	20	3 Jun 08	0.00748	0.00150	4.82	0.00998	0.241	0.025	0.678	0.404
	0.10	40	3 Jun 08	0.00831	0.00330	5.13	0.00420	0.131	0.032	0.776	0.600
	0.20	80	3 Jun 08	0.00962	0.00360	5.27	0.00305	0.068	0.045	0.833	0.903
	0.30	120	3 Jun 08	0.00985	0.00390	5.59	0.00595	0.047	0.128	0.851	2.610
	0.40	160	3 Jun 08	0.01198	0.00640	5.91	0.00358	0.037	0.151	0.860	3.118
	0.50	200	3 Jun 08	0.01605	0.01160	5.99	0.00445	0.030	0.149	0.866	3.089
	0.8	320	3 Jun 08	0.01890	0.01650	6.33	0.00240	0.020	0.121	0.875	2.551

ตารางที่ บ.2 ผลการศึกษาค่าคงที่ทางชลศาสตร์ในระบบ FDHS

DHS profiles	S_0/X_0	S (mg/L)	DATE	OUR _{x,t} (mgO ₂ /mgVSS-h)	OUR _{x,e} (mgO ₂ /mgVSS-h)	OC (mgO ₂ /L)	OUR _{x,OX} (mgO ₂ /mgVSS-h)	OC/S	r_X (mgCOD/mgVSS-h)	Y _{VSS} (mgVSS/mgCOD)	μ (d ⁻¹)
Segment 1	0.05	20	29 May 08	0.005550	0.000730	6.03	0.00482	0.151	0.032	0.551	0.423
	0.10	40	29 May 08	0.007180	0.000900	6.16	0.00628	0.154	0.041	0.549	0.538
	0.20	80	29 May 08	0.007640	0.010920	6.35	0.00672	0.079	0.085	0.598	1.215
	0.30	120	29 May 08	0.010350	0.001500	6.37	0.00885	0.053	0.167	0.615	2.460
	0.40	160	3 May 08	0.011310	0.003700	6.64	0.00761	0.042	0.183	0.622	2.739
	0.50	200	29 May 08	0.013370	0.006240	6.88	0.00713	0.034	0.207	0.627	3.119
Segment 2	0.80	320	3 Jun 08	0.014225	0.010135	7.25	0.00409	0.023	0.181	0.635	2.750
	0.05	20	3 May 08	0.003920	0.000923	5.86	0.00300	0.293	0.010	0.459	0.113
	0.10	40	3 May 08	0.004950	0.001200	5.88	0.00375	0.147	0.026	0.554	0.339
	0.20	80	3 May 08	0.005020	0.001500	6.15	0.00352	0.077	0.046	0.599	0.659
	0.30	120	24 May 08	0.005329	0.001880	6.85	0.00345	0.057	0.060	0.612	0.888
	0.40	160	3 May 08	0.006675	0.002600	6.89	0.00408	0.043	0.095	0.621	1.411
Segment 3	0.50	200	3 May 08	0.007670	0.004300	7.01	0.00337	0.035	0.096	0.627	1.446
	0.05	20	2 Jun 08	0.005490	0.000670	5.83	0.00482	0.292	0.017	0.460	0.183
	0.10	40	2 Jun 08	0.006840	0.001570	5.90	0.00527	0.148	0.036	0.554	0.475
	0.20	80	2 Jun 08	0.008300	0.003530	6.30	0.00497	0.079	0.063	0.598	0.906
	0.30	120	2 Jun 08	0.008740	0.004870	6.51	0.00387	0.054	0.071	0.614	1.051
	0.40	160	3 Jun 08	0.009020	0.005580	6.80	0.00304	0.043	0.072	0.622	1.067
Segment 4	0.50	200	3 Jun 08	0.010100	0.007200	6.85	0.00290	0.034	0.085	0.627	1.274
	0.80	320	3 Jun 08	0.012130	0.010811	7.56	0.00132	0.024	0.056	0.634	0.850
	0.05	20	3 Jun 08	0.004230	0.001200	2.53	0.00303	0.127	0.024	0.567	0.326
	0.10	40	3 Jun 08	0.004350	0.001500	4.94	0.00285	0.124	0.023	0.569	0.315
	0.20	80	29 May 08	0.004450	0.001500	5.14	0.00295	0.064	0.046	0.608	0.670
	0.30	120	2 Jun 08	0.005050	0.001700	5.42	0.00335	0.045	0.074	0.620	1.104
	0.40	160	3 Jun 08	0.008290	0.004600	6.02	0.00369	0.038	0.098	0.625	1.471
	0.50	200	3 Jun 08	0.009600	0.006800	6.23	0.00280	0.031	0.090	0.629	1.357
	0.80	320	3 Jun 08	0.010500	0.008912	6.5	0.001588	0.020	0.078	0.636	1.194

ภาคผนวก ช

ข้อมูลจากการศึกษาลักษณะของตะกอน

ตารางที่ ช.1 ผลการศึกษาค่า MLSS และ MLVSS ในระบบ DHS (RUN I)

DHS profiles	RUN I				
	Date	BDHS (g/L-sponge)		FDHS (g/L-sponge)	
		MLSS	MLVSS	MLSS	MLVSS
Segment 1	30 May 08	39.4	33.4	78.6	77.0
	7 Jul 08	39.0	34.0	79.4	78.0
	8 Jul 08	34.0	29.0	78.0	72.0
	9 Jul 08	42.0	28.0	76.0	74.0
	10 Jul 08	45.0	27.0	77.5	77.0
	AVE	39.9	30.3	77.9	75.6
Segment 2	SD	4.1	3.2	1.3	2.5
	30 May 08	36.0	24.0	13.9	13.2
	7 Jul 08	32.0	26.0	12.8	12.0
	8 Jul 08	26.0	20.0	10.8	10.0
	9 Jul 08	30.5	19.0	13.4	13.0
	10 Jul 08	24.0	18.0	12.9	12.5
Segment 3	AVE	29.7	21.4	12.8	12.1
	SD	4.8	3.4	1.2	1.3
	30 May 08	32.0	18.0	34.2	30.0
	7 Jul 08	29.0	22.0	32.0	29.0
	8 Jul 08	30.0	23.0	28.7	27.0
	9 Jul 08	28.0	18.0	31.0	28.4
Segment 4	10 Jul 08	32.5	19.2	30.5	29.5
	AVE	30.3	20.0	31.3	28.8
	SD	1.9	2.3	2.0	1.2
	30 May 08	62.5	52.0	48.9	46.0
	7 Jul 08	57.9	48.0	45.4	42.7
	8 Jul 08	61.0	54.0	42.0	39.5
Segment 4	9 Jul 08	56.0	47.0	41.4	38.9
	10 Jul 08	58.9	51.0	45.3	42.6
	AVE	59.3	50.4	44.6	41.9
	SD	2.6	2.9	3.0	2.9

ตารางที่ ช.2 ผลการศึกษาค่า MLSS และ MLVSS ในระบบ DHS (RUN II)

DHS profiles	RUN II				
	Date	BDHS (g/L-sponge)		FDHS (g/L-sponge)	
		MLSS	MLVSS	MLSS	MLVSS
Segment 1	30 May 08	27.0	19.6	56.0	55.0
	7 Jul 08	29.0	18.4	58.3	48.0
	8 Jul 08	25.0	26.0	51.4	57.0
	9 Jul 08	24.0	17.0	57.4	47.0
	10 Jul 08	26.3	18.7	50.4	47.5
	AVE	26.3	19.9	54.7	50.9
Segment 2	SD	1.9	3.5	3.6	4.7
	30 May 08	28.0	21.0	11.5	11.2
	7 Jul 08	24.5	17.0	14.5	14.0
	8 Jul 08	26.0	17.0	13.7	13.5
	9 Jul 08	24.6	15.6	11.5	11.0
	10 Jul 08	27.5	22.1	12.4	12.0
Segment 3	AVE	26.1	18.5	12.7	12.3
	SD	1.6	2.8	1.3	1.4
	30 May 08	23.0	14.0	27.0	26.0
	7 Jul 08	24.0	19.0	28.0	27.0
	8 Jul 08	20.0	13.0	29.4	29.0
	9 Jul 08	24.4	15.0	22.0	22.0
Segment 4	10 Jul 08	22.7	16.5	26.6	25.0
	AVE	22.8	15.5	26.6	25.8
	SD	1.7	2.3	2.8	2.6
	30 May 08	36.0	32.0	39.4	37.0
	7 Jul 08	40.4	36.0	36.2	34.0
	8 Jul 08	27.0	24.0	38.3	36.0
Segment 4	9 Jul 08	31.5	28.0	39.4	37.0
	10 Jul 08	34.8	31.0	36.2	34.0
	AVE	33.9	30.2	37.9	35.6
	SD	5.0	4.5	1.6	1.5

ตารางที่ ช.3 ผลการศึกษาค่า MLSS และ MLVSS ในระบบ DHS (RUN III)

DHS profiles	RUN III				
	Date	BDHS (g/L-sponge)		FDHS (g/L-sponge)	
		MLSS	MLVSS	MLSS	MLVSS
Segment 1	30 May 08	34.0	25.6	60.0	69.0
	7 Jul 08	42.0	24.0	58.9	57.0
	8 Jul 08	28.0	29.0	57.0	51.0
	9 Jul 08	33.5	22.0	62.0	47.0
	10 Jul 08	28.2	27.0	56.5	53.5
	AVE	33.1	25.5	58.9	55.5
Segment 2	SD	5.7	2.7	2.2	8.4
	30 May 08	26.0	21.0	13.4	13.0
	7 Jul 08	27.0	18.0	16.0	15.0
	8 Jul 08	25.0	22.0	13.0	12.0
	9 Jul 08	24.6	17.5	15.0	14.5
	10 Jul 08	26.0	18.5	13.0	12.4
Segment 3	AVE	25.7	19.4	14.1	13.4
	SD	0.9	2.0	1.4	1.3
	30 May 08	25.0	16.0	26.0	25.0
	7 Jul 08	19.0	14.0	27.4	26.7
	8 Jul 08	29.0	19.0	32.9	31.0
	9 Jul 08	29.6	21.5	28.0	27.0
Segment 4	10 Jul 08	33.2	21.0	27.0	26.5
	AVE	27.2	18.3	28.3	27.2
	SD	5.4	3.2	2.7	2.2
	30 May 08	50.2	42.7	40.6	39.0
	7 Jul 08	48.2	41.0	38.5	37.0
	8 Jul 08	58.8	50.0	42.7	41.0
Segment 4	9 Jul 08	45.9	39.0	38.5	37.0
	10 Jul 08	47.1	40.0	40.1	38.5
	AVE	50.0	42.5	40.1	38.5
	SD	5.2	4.4	1.7	1.7

ตารางที่ ช.4 ผลการศึกษาความถ้วนของ EPS ในการตีนระบุ DHS RUN I

DHS Profiles	DATE	Bound EPS (mg/mg-SS)						Solute EPS' (mg/mg-SS)					
		Protein (P)		Carbohydrate (C)		P/C		Protein (P)		Carbohydrate (C)		P/C	
		BDHS	FDHS	BDHS	FDHS	BDHS	FDHS	BDHS	FDHS	BDHS	FDHS	BDHS	FDHS
Segment 1	30 May 08	45.0	45.5	10.2	14.5	4.4	3.1	18.2	38.9	7.1	19.4	2.6	2.0
	7 Jul 08	56.0	38.0	11.5	13.0	4.9	2.9	15.6	35.4	8.5	17.5	1.8	2.0
	8 Jul 08	37.0	40.4	8.7	12.0	4.3	3.4	14.7	34.2	6.9	17.9	2.1	1.9
	9 Jul 08	37.4	40.0	9.4	14.0	4.0	2.9	19.7	37.2	6.5	16.1	3.0	2.3
	10 Jul 08	46.5	39.0	8.2	15.0	5.7	2.6	18.9	38.4	6.3	19.5	3.0	2.0
	AVE	44.4	40.6	9.6	13.7	4.6	3.0	17.4	36.8	7.1	18.1	2.5	2.0
	SD	7.8	2.9	1.3	1.2	0.7	0.3	2.2	2.0	0.9	1.4	0.5	0.2
Segment 2	30 May 08	26.4	32.0	11.6	12.0	2.3	2.7	13.8	32.0	7.0	19.4	2.0	1.6
	7 Jul 08	28.7	27.0	9.8	9.6	2.9	2.8	12.3	38.0	5.7	14.6	2.2	2.6
	8 Jul 08	30.2	29.0	8.7	12.0	3.5	2.4	14.5	39.0	4.8	13.0	3.0	3.0
	9 Jul 08	33.9	33.0	10.9	8.9	3.1	3.7	10.6	31.0	6.5	12.1	1.6	2.6
	10 Jul 08	25.2	28.7	10.7	9.9	2.4	2.9	12.3	35.0	6.0	16.7	2.1	2.1
	AVE	28.9	29.9	10.3	10.5	2.8	2.9	12.7	35.0	6.0	15.2	2.2	2.4
	SD	3.4	2.5	1.1	1.4	0.5	0.5	1.5	3.5	0.8	2.9	0.5	0.5

ตารางที่ ๗.๕ ผลการศึกษาความเสี่ยงของ EPS ในการติดเชื้อบน DHS RUN II

DHS Profiles	DATE	Bound EPS (mg/g-SS)						Soluble EPS (mg/g-SS)					
		Protein (P)		Carbohydrate (C)		P/C		Protein (P)		Carbohydrate (C)		P/C	
		BDHS	FDHS	BDHS	FDHS	BDHS	FDHS	BDHS	FDHS	BDHS	FDHS	BDHS	FDHS
Segment 1	2 Sep 08	15.0	17.5	5.6	10.2	2.7	1.7	2.6	11.6	3.0	9.7	0.9	1.2
	3 Sep 08	13.0	15.2	4.9	8.5	2.7	1.8	3.2	14.2	1.7	8.6	1.9	1.7
	11 Sep 08	12.0	14.8	6.3	10.2	1.9	1.5	1.9	9.6	2.3	8.7	0.8	1.1
	15 Sep 08	11.3	16.4	4.7	8.9	2.4	1.8	2.0	9.2	1.4	10.2	1.4	0.9
	20 Sep 08	14.0	14.9	5.9	9.3	2.4	1.6	1.8	12.9	1.7	9.4	1.1	1.4
	AVE	13.1	15.8	5.5	9.4	2.4	1.7	2.3	11.5	2.0	9.3	1.2	1.2
Segment 2	SD	1.5	1.2	0.7	0.8	0.3	0.2	0.6	2.1	0.6	0.7	0.4	0.3
	2 Sep 08	27.0	19.0	9.0	10.9	3.0	1.7	4.0	7.0	5.9	6.5	0.7	1.1
	3 Sep 08	22.0	24.0	8.7	10.4	2.5	2.3	4.8	4.0	5.4	4.7	0.9	0.9
	11 Sep 08	26.0	18.0	9.4	12.0	2.8	1.5	5.7	5.0	3.9	6.8	1.5	0.7
	15 Sep 08	21.0	26.0	10.8	9.4	1.9	2.8	6.2	7.0	4.2	4.9	1.5	1.4
	20 Sep 08	24.0	15.0	12.0	8.7	2.0	1.7	5.2	8.3	3.9	6.5	1.3	1.3
	AVE	24.0	20.4	10.0	10.3	2.4	2.0	5.2	6.3	4.7	5.9	1.2	1.1
	SD	2.5	4.5	1.4	1.3	0.5	0.5	0.8	1.7	0.9	1.0	0.4	0.3

ตารางที่ 5 ผลการศึกษาความเข้มข้นของ EPS ในกรดในร่อง DHS RUN II (๗๗)

DHS Profiles	DATE	Bound EPS (mg/g-SS)						Soluble EPS (mg/g-SS)					
		Protein (P)		Carbohydrate (C)		P/C		Protein (P)		Carbohydrate (C)		P/C	
		BDHS	FDHS	BDHS	FDHS	BDHS	FDHS	BDHS	FDHS	BDHS	FDHS	BDHS	FDHS
Segment 3	2 Sep 08	15.0	29.0	6.7	14.5	2.2	2.0	4.0	4.7	3.2	5.2	1.3	0.9
	3 Sep 08	16.0	21.0	5.5	9.8	2.9	2.1	2.9	6.0	3.1	4.9	0.9	1.2
	11 Sep 08	13.0	26.4	6.7	12.3	1.9	2.1	3.8	5.8	4.5	4.7	0.8	1.2
	15 Sep 08	12.5	24.0	7.1	11.7	1.8	2.1	4.1	3.4	3.2	4.8	1.3	0.7
	20 Sep 08	14.2	26.8	5.4	13.0	2.6	2.1	4.2	5.0	3.5	4.1	1.2	1.2
	AVE	14.1	25.4	6.3	12.3	2.3	2.1	3.8	5.0	3.5	4.7	1.1	1.1
Segment 4	SD	1.4	3.1	0.8	1.7	0.5	0.1	0.5	1.0	0.6	0.4	0.2	0.2
	2 Sep 08	36.0	29.0	14.0	12.0	2.6	2.4	9.7	8.4	9.3	7.4	1.0	1.1
	3 Sep 08	29.8	25.0	10.8	14.0	2.8	1.8	7.9	8.7	9.6	8.2	0.8	1.1
	11 Sep 08	29.7	30.0	17.0	9.4	1.7	3.2	10.9	7.4	7.5	6.2	1.5	1.2
	15 Sep 08	32.0	25.0	10.0	8.8	3.2	2.8	9.6	8.6	8.0	7.8	1.2	1.1
	20 Sep 08	31.9	24.0	10.7	9.9	3.0	2.4	8.7	8.3	9.8	6.7	0.9	1.2
AVE		31.9	26.6	12.5	10.8	2.7	2.5	9.4	8.3	8.8	7.3	1.1	1.1
SD		2.6	2.7	3.0	2.1	0.6	0.5	1.1	0.5	1.0	0.8	0.3	0.1

ตารางที่ ๗.๖ ผลการศึกษาความเชื่อมของ EPS ในกรดเคนเซบบ DHRS RUN III

DHS Profiles	DATE	Bound EPS (mg/g-SS)						Soluble EPS (mg/g-SS)					
		Protein (P)		Carbohydrate (C)		P/C		Protein (P)		Carbohydrate (C)		P/C	
		BDHS	FDHS	BDHS	FDHS	BDHS	FDHS	BDHS	FDHS	BDHS	FDHS	BDHS	FDHS
Segment 1	12 Jan 09	18.4	35.0	5.3	14.0	3.5	2.5	4.0	16.0	3.2	12.0	1.3	1.3
	15 Jan 09	21.2	30.1	5.6	10.0	3.8	3.0	7.5	17.2	3.0	14.0	2.5	1.2
	25 Feb 09	20.1	29.8	5.7	12.0	3.5	2.5	4.9	18.0	5.0	8.0	1.0	2.3
	15 Mar 09	18.0	34.3	6.3	11.0	2.9	3.1	5.6	21.0	3.8	12.0	1.5	1.8
	17 Mar 09	19.0	32.4	5.0	12.0	3.8	2.7	5.4	14.0	2.0	5.0	2.7	2.8
	AVE	19.3	32.3	5.6	11.8	3.5	2.8	5.5	17.2	3.4	10.2	1.8	1.9
	SD	1.3	2.4	0.5	1.5	0.4	0.3	1.3	2.6	1.1	3.6	0.8	0.7
Segment 2	12 Jan 09	36.0	22.0	10.1	14.0	3.6	1.6	6.7	8.9	4.9	6.0	1.4	1.5
	15 Jan 09	29.8	23.0	12.3	13.0	2.4	1.8	7.5	6.4	5.2	7.8	1.4	0.8
	25 Feb 09	32.0	28.0	11.4	11.0	2.8	2.5	5.8	9.7	3.8	5.6	1.5	1.7
	15 Mar 09	30.1	25.0	8.5	9.7	3.5	2.6	7.1	11.4	3.9	6.9	1.8	1.7
	17 Mar 09	32.0	24.0	9.4	16.0	3.4	1.5	5.9	8.4	4.5	5.6	1.3	1.5
	AVE	32.0	24.4	10.3	12.7	3.1	2.0	6.6	9.0	4.5	6.4	1.5	1.4
	SD	2.5	2.3	1.5	2.5	0.5	0.5	0.7	1.8	0.6	1.0	0.2	0.4

ตารางที่ ช. 6 ผลการศึกษาความเป็นชั้นของ EPS ในการตีนรูป DHS RUN III (๗๐)

DHS Profiles	DATE	Bound EPS (mg/g-SS)						Soluble EPS (mg/g-SS)					
		Protein (P)		Carbohydrate (C)		P/C		Protein (P)		Carbohydrate (C)		P/C	
		BDHS	FDHS	BDHS	FDHS	BDHS	FDHS	BDHS	FDHS	BDHS	FDHS	BDHS	FDHS
Segment 3	12 Jan 09	19.2	38.0	4.9	17.0	3.9	2.2	7.9	6.0	3.7	4.5	2.1	1.3
	15 Jan 09	17.0	30.0	7.2	19.0	2.4	1.6	8.3	4.2	3.5	5.6	2.4	0.8
	25 Feb 09	15.0	31.0	6.7	16.0	2.2	1.9	5.9	5.8	4.1	3.9	1.4	1.5
	15 Mar 09	18.0	31.0	7.8	15.0	2.3	2.1	7.4	4.8	2.8	5.1	2.6	0.9
	17 Mar 09	16.4	29.0	5.2	15.0	3.2	1.9	8.5	5.2	3.9	4.9	2.2	1.1
	AVE	17.1	31.8	6.4	16.4	2.8	2.0	7.6	5.2	3.6	4.8	2.2	1.1
	SD	1.6	3.6	1.3	1.7	0.7	0.2	1.0	0.7	0.5	0.6	0.4	0.3
Segment 4	12 Jan 09	35.0	27.0	13.4	16.0	2.6	1.7	9.2	8.5	7.8	9.0	1.2	0.9
	15 Jan 09	28.0	19.4	14.1	13.0	2.0	1.5	7.9	7.4	8.4	9.7	0.9	0.8
	25 Feb 09	27.9	25.0	12.0	17.0	2.3	1.5	8.2	5.8	6.9	7.5	1.2	0.8
	15 Mar 09	35.0	21.0	13.4	12.0	2.6	1.8	8.3	8.7	7.4	7.4	1.1	1.2
	17 Mar 09	37.0	23.0	10.5	13.0	3.5	1.8	8.3	7.9	7.2	8.4	1.2	0.9
	AVE	32.6	23.1	12.7	14.2	2.6	1.6	8.4	7.7	7.5	8.4	1.1	0.9
	SD	4.3	3.0	1.4	2.2	0.6	0.1	0.5	1.2	0.6	1.0	0.1	0.2

ประวัตินักวิจัย

1. ผู้ช่วยศาสตราจารย์ ดร.บุญชัย วิจิตรเสถียร

สถานที่ทำงาน สาขาวิชาวิศวกรรมสิ่งแวดล้อม สำนักวิชาวิศวกรรมศาสตร์

มหาวิทยาลัยเทคโนโลยีสุรนารี อำเภอเมือง จังหวัดนครราชสีมา 30000

โทรศัพท์ 044-224-451 โทรสาร 044-224-606 E-mail: boonchai@sut.ac.th

ประวัติการศึกษา

D.Tech.Sc. (Environmental Engineering), Asian Institute of Technology, Thailand.

M.Sc. (Environmental Technology), King Mongkut's Institute of Technology Thonburi Thailand.

B.Sc. (Industrial Chemistry), King Mongkut's Institute of Technology Thonburi, Thailand.

ประวัติการทำงาน

ม.ค. 40 – ม.ย. 49 อาจารย์ประจำสาขาวิชาวิศวกรรมสิ่งแวดล้อม

สำนักวิชาวิศวกรรมศาสตร์ มหาวิทยาลัยเทคโนโลยีสุรนารี

ก.ค. 49 – ปัจจุบัน ผู้ช่วยศาสตราจารย์ประจำสาขาวิชาวิศวกรรมสิ่งแวดล้อม

สำนักวิชาวิศวกรรมศาสตร์ มหาวิทยาลัยเทคโนโลยีสุรนารี

ต.ค. 48 – พ.ย. 51 รองผู้อำนวยการศูนย์บรรณสารและสื่อการศึกษา

มหาวิทยาลัยเทคโนโลยีสุรนารี

พ.ย. 51 – ปัจจุบัน ผู้อำนวยการศูนย์บรรณสารและสื่อการศึกษา

มหาวิทยาลัยเทคโนโลยีสุรนารี

งานวิจัย

1. การใช้กระบวนการตัดก่อนลอกบินการบำบัดน้ำเสียของโรงงานอุตสาหกรรมปลาทูน่า กระป่อง, 2537
2. โครงการการสร้างเตาเผาขยะชุมชนพร้อมระบบกำจัดอนุภาค (เตาเผาบะอัคต้าพี), 2542
3. Application of Membrane Bioreactor Systems for Landfill Leachate Treatment, 2004.
4. การบำบัดน้ำชาและน้ำดื่มจากน้ำเสียในอุตสาหกรรมชุบchrome, 2547.
5. Cleaner Technology in A Metal Finishing Industry in Thailand, 2005.
6. A Novel Wastewater Treatment System Using A UASB Reactor and A Downflow Hanging Sponge (DHS) Post Treatment Unit, 2005-2007.
7. การประเมินผลสัมฤทธิ์โครงการสหกิจศึกษานำร่องของประเทศไทย, 2005-2006.
8. โครงการศึกษาผลกระทบต่อแวดล้อมการทำเกลือจากน้ำ المالอีกด้านในภาคตะวันออกเฉียงเหนือ: โครงการศึกษาเพื่อพัฒนาเทคโนโลยีและการผลิตเกลือ, 2006.
9. การประยุกต์ใช้กระบวนการกรองผ่านเยื่อกรองสำหรับการบำบัดน้ำทึ่งชุมชนกลั่นมาใช้ประโยชน์ใหม่ (กรณีศึกษา : มหาวิทยาลัยเทคโนโลยีสุรนารี), 2009.

สิทธิบัตร

1. “เตาเผาบะนานาดีกปรับเปลี่ยนสีขาวสูง” เลขที่สิทธิบัตร 22984 ลงวันที่ 27 ธันวาคม 25550
ผลงานทางวิชาการ

- I. Wichitsathian, B., Sindhuja, S., Visvanathan, C., and Ahn, K. H., 2004. Landfill Leachate Treatment by Yeast and Bacteria Based Membrane Bioreactors. *Journal of Environmental Science and Health, Part A—Toxic/Hazardous Substances & Environmental Engineering*, 39(9), 2391 – 2404.
2. Wichitsathian, B., Sindhuja, S., Visvanathan, C., and Ahn, K. H., 2004. Landfill Leachate Treatment by Yeast and Bacteria Based Membrane Bioreactors. *The Fourth AIT-KIST International Joint Symposium*, Asian Institute of Technology, Thailand, 20 May.
3. Wichitsathian, B., Sindhuja, S., Visvanathan, C., and Ahn, K. H., 2004. Biokinetic Parameters As an Indicator to Ammonia Toxicity in Leachate Treatment Using

Membrane Bioreactors. *Asian Journal of Microbiology Biotechnology Environmental Science*, 6(1), 1-6.

4. บุญชัย วิจิตรเสถียร และ นารศ เขื้อสุวรรณ, 2548. การบำบัดน้ำเสียจากฟาร์มสุกรในขั้นตอนตัววิธีทางเคมีกายภาพ. การสัมมนาการพัฒนากรุ่นงานวิจัยในเครือข่ายอุดมศึกษานครราชสีมา, มหาวิทยาลัยเทคโนโลยีสุรนารี, 24 มิถุนายน 2548.
5. บุญชัย วิจิตรเสถียร และ พัชรินทร์ ราโช, 2548. การศึกษาสถานการณ์และปัญหาในการจัดการขยะติดเชื้อจากโรงพยาบาลในประเทศไทย. การสัมมนาการพัฒนากรุ่นงานวิจัยในเครือข่ายอุดมศึกษานครราชสีมา, มหาวิทยาลัยเทคโนโลยีสุรนารี, 24 มิถุนายน 2548.
6. บุญชัย วิจิตรเสถียร, 2548. การใช้เทคโนโลยีสารสนเทศในโรงงานอุตสาหกรรมผลิตภัณฑ์แต่งหน้าขั้นตอน. การประชุมเครือข่ายกลุ่มศึกษาและวิจัยด้านเทคโนโลยีสารสนเทศ ประจำปี 2548, ศูนย์เทคโนโลยีโลหะและวัสดุแห่งชาติ, 9 กันยายน 2548.
7. บุญชัย วิจิตรเสถียร และ นารศ เขื้อสุวรรณ. 2549. การบำบัดน้ำเสียจากฟาร์มสุกรในขั้นตอนตัววิธีทางเคมีกายภาพ. วารสารเทคโนโลยีสุรนารี, ปีที่ 13, ฉบับที่ 1, หน้า 29-37.
8. บุญชัย วิจิตรเสถียร. 2549. การบำบัดน้ำทะเลด้วยวิธีทางเคมีกายภาพ. การประชุมวิชาการสั่งแวดล้อมครั้งที่ 5, สมาคมวิศวกรรมสั่งแวดล้อมแห่งประเทศไทย, 8-10 มีนาคม 2549.
9. สุชาดา ปุณณสัมฤทธิ์, จริยา ขิมรัตนบวร และบุญชัย วิจิตรเสถียร. 2549. การบำบัดน้ำทิ้งจากมหาวิทยาลัยเทคโนโลยีสุรนารีโดยใช้ระบบพื้นที่ชั่วคราวประดิษฐ์. วารสาร มนก. วิชาการ, ปีที่ 9, ฉบับที่ 18, หน้า 66-78.
10. Terasut Sookkumnerd, Guntima Sirijeerachai, Rattanawan Kiattikomol and Boonchai Wichitsathian, 2006. Modeling and Simulation of Salt Crystallization in a Solar Evaporator. International Conference on Green and Sustainable Innovation, Rydges Amora Tapae Chiang Mai Hotel, Chiang Mai, Thailand, 29 November – 1 December.

11. สุนทร แสนหมุน และ บุญชัย วิจิตรเสถียร. 2550. การลดการใช้น้ำในกระบวนการผลิตเพื่อฟองอากาศในโลหะต่างๆ. การประชุมวิชาการสั่งเวลาล้อครั้งที่ 6, สมาคมวิศวกรรมสั่งเวลาล้อแห่งประเทศไทย, 7-9 มีนาคม 2550.
12. สุนทร แสนหมุน และ บุญชัย วิจิตรเสถียร. 2550. การลดการใช้น้ำในกระบวนการผลิตเพื่อฟองอากาศในโลหะต่างๆ. วารสารวิศวกรรมสั่งเวลาล้อไทย, 22(2): 91-101.
13. Patcharin Racho and Boonchai Wichitsathian, 2008. Feasibility of Low Cost Post-treatment Options for the Anaerobic Processes of Tapioca Starch Wastewater: Fungal Downflow Hanging Sponge (DHS) and Bacterial DHS Systems, 12th International Conference on Integrated Diffuse Pollution Management (IWA DIPCON 2008), Khon Kaen University, Thailand, 25-29 August.
14. Patcharin Racho, Boonchai Wichitsathian and Ranjna Jindal, 2008. Feasibility of Low Cost Post-treatment Options for the Anaerobic Processes of Tapioca Starch Wastewater: Fungal Downflow Hanging Sponge (DHS) and Bacterial DHS Systems. KKU Research Journal, 13(10): 1172-1184.
15. พัชรินทร์ รา祚, บุญชัย วิจิตรเสถียร และ รัญจนา จินดา. 2552. การประเมินการย้อมสีทางชีวภาพในระบบ Down-flow Hanging Sponge (DHS) ด้วยค่าคงที่ทางเคมีศาสตร์. การประชุมวิชาการสั่งเวลาล้อครั้งที่ 8, สมาคมวิศวกรรมสั่งเวลาล้อแห่งประเทศไทย, 25-27 มีนาคม 2552.
16. พัชรินทร์ รา祚, ศิริกานดา ธรรมพร, บุญชัย วิจิตรเสถียร และ รัญจนา จินดา. 2552. ศูนย์กากบาทเพื่อประเมินประสิทธิภาพการกำจัดค่าซีโอดีและไนโตรเจนของระบบ Down-flow Hanging Sponge (DHS). การประชุมวิชาการสั่งเวลาล้อครั้งที่ 8, สมาคมวิศวกรรมสั่งเวลาล้อแห่งประเทศไทย, 25-27 มีนาคม 2552.

2. นางสาวพัชรินทร์ ราช

การศึกษา

วิศวกรรมศาสตรดุษฎีบัณฑิต	สาขาวิชาศึกกรรมสิ่งแวดล้อม สำนักวิศวกรรมศาสตร์ มหาวิทยาลัยเทคโนโลยีสุรนารี
วิศวกรรมศาสตรบัณฑิต	สาขาวิชาศึกกรรมสิ่งแวดล้อม สำนักวิศวกรรมศาสตร์ มหาวิทยาลัยเทคโนโลยีสุรนารี
วิศวกรรมศาสตรบัณฑิต	สาขาวิชาศึกกรรมสิ่งแวดล้อม สำนักวิศวกรรมศาสตร์ มหาวิทยาลัยเทคโนโลยีสุรนารี

ประสบการณ์การทำงาน

ก.ย. 2541 – ก.ย. 2542	ผู้ช่วยวิจัย มหาวิทยาลัยเทคโนโลยีสุรนารี
ก.ย. 2545 – พ.ย. 2547	Technical Engineer บริษัท ไฮโคร โซน จำกัด
ธ.ค. 2547 - ธ.ค. 2548	Senior Product Engineer บริษัท ทอปบริชคอร์ปอเรชั่น จำกัด
ม.ค. 2548 – ก.พ. 2549	Data & Technical Engineering Manager บริษัท ทอปบริชคอร์ปอเรชั่น จำกัด
ก.ย. 2546 – ก.ย. 2551	ผู้ช่วยสอน มหาวิทยาลัยเทคโนโลยีสุรนารี
ม.ค. 2549 – พ.ย. 2551	ที่ปรึกษา บริษัท ทอปบริชคอร์ปอเรชั่น จำกัด
พ.ย. 2551– พ.ค. 2552	Engineering Manager บริษัท ครีเอชั่นเช็นเตอร์ จำกัด

บทความ

- Wichitsatian, B. and Racho, P. (2009). Quantification of Organic and Nitrogen Removal in Downflow Hanging Sponge (DHS) Systems as a Post-Treatment of UASB Effluent. **IWA Specialist Conference Chemical Industries.** November 30-December 2. Massey University, Palmerston North, New-Zealand.
- Racho, P. and Witchitsathian, B. and Jindal, R. (2552). Biokinetic Parameters as an Indicator to Biodegradability Assessment of Down-flow Hanging Sponge (DHS) System.

การประชุมวิชาการสิ่งแวดล้อมแห่งชาติครั้งที่ 8. สมาคมวิศวกรรมสิ่งแวดล้อมแห่งประเทศไทย. มหาวิทยาลัยเทคโนโลยีสุรนารี นครราชสีมา

3. พัชรินทร์ ราโช ศิริกานดา ธรรมพร บุญชัย วิจิตรเสถียร และ รัญญา จินดา. (2552). คุณภาพมวลเพื่อประเมินประสิทธิภาพการกำจัดค่าซีโอดีและไนโตรเจนของระบบ Down-flow Hanging Sponge (DHS)" การประชุมวิชาการสิ่งแวดล้อมแห่งชาติครั้งที่ 8. สมาคมวิศวกรรมสิ่งแวดล้อมแห่งประเทศไทย. มหาวิทยาลัยเทคโนโลยีสุรนารี นครราชสีมา
4. Racho, P., Wichitsathian, B. and Jindal, R. (2008). Feasibility of low cost post-treatment options for the anaerobic processes of tapioca starch wastewater: Fungal Down-flow Hanging Sponge (DHS) and Bacterial DHS systems. **KKU Res. J.** 13(10): 1-12.
5. Racho, P. and Wichitsathian, B. (2008). Feasibility of low cost post-treatment options for the anaerobic processes of tapioca starch wastewater: Fungal Down-flow Hanging Sponge (DHS) and Bacterial DHS systems. **12th International Conference on Integrated Diffuse Pollution Management (IWA DIPCON 2008)**. Research Center for Environmental and Hazardous Substance Management (EHSM), Khon Kaen University, Thailand ; 25-29 August 2008
6. บุญชัย วิจิตรเสถียร และ พัชรินทร์ ราโช. (2548). การศึกษาสถานการณ์และปัญหานในการจัดการขยะติดเชื้อจากโรงพยาบาลในประเทศไทย. การสัมมนาการพัฒนากรุงเทพฯในเครือข่ายอุดมศึกษานครราชสีมา, มหาวิทยาลัยเทคโนโลยีสุรนารี, 24 มิถุนายน 2548.
7. Racho, P. and Jindal, R. (2004). Heavy Metals in Bottom Ash from a Medical-Waste Incinerator in Thailand. **Pract. Periodical of Haz., Toxic, and Radioactive Waste Mgmt.** 8(1): 31-38.
8. พัชรินทร์ ราโช (2545). การศึกษาปริมาณโลหะหนักในเชื้อเพลิงเตาเผาขยะติดเชื้อโรงพยาบาลในจังหวัดนครราชสีมา. การประชุมเสนอผลงานวิจัยระดับบัณฑิตศึกษาของประเทศไทย ครั้งที่ 3. 18-19 กรกฎาคม 2545. มหาวิทยาลัยเทคโนโลยีสุรนารี: นครราชสีมา.

3. นางสาวศิริกานดา ธรรมพร

การศึกษา

วิศวกรรมศาสตรมหาบัณฑิต สาขาวิชาวิศวกรรมสิ่งแวดล้อม สำนักวิศวกรรมศาสตร์

มหาวิทยาลัยเทคโนโลยีสุรนารี (กำลังศึกษา)

วิศวกรรมศาสตรบัณฑิต สาขาวิชาวิศวกรรมสิ่งแวดล้อม คณะวิศวกรรมศาสตร์

มหาวิทยาลัยรามคำแหง

การทำงาน

2551-ปัจจุบัน ผู้ช่วยวิจัย/ผู้ช่วยสอน มหาวิทยาลัยเทคโนโลยีสุรนารี

บทความ

พัชรินทร์ ราชี ศิริกานดา ธรรมพร นุญชัย วิจิตรเสถียร และ รัษฎา จินดา. (2552). ดุลยภาพ
มวลเพื่อประเมินประสิทธิภาพการกำจัดค่าซีโอดีและไนโตรเจนของระบบ Down-flow
Hanging Sponge (DHS) การประชุมวิชาการสิ่งแวดล้อมแห่งชาติครั้งที่ 8. สมาคม
วิศวกรรมสิ่งแวดล้อมแห่งประเทศไทย. มหาวิทยาลัยเทคโนโลยีสุรนารี นครราชสีมา